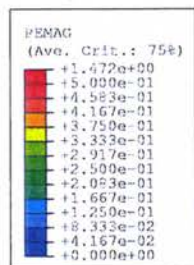
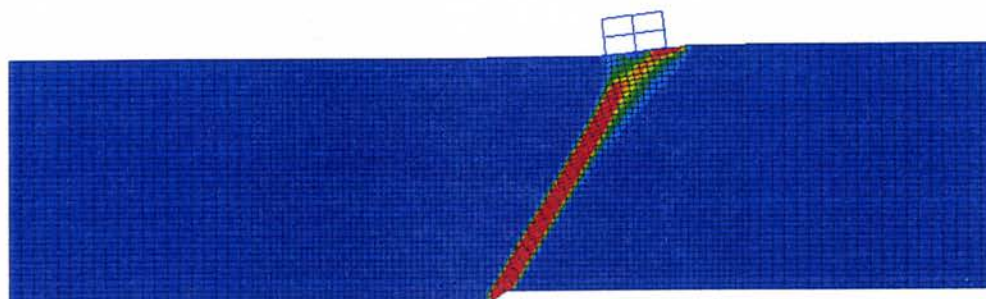


**ΣΧΗΜΑΤΑ**  
**ΚΕΦΑΛΑΙΟΥ 3**

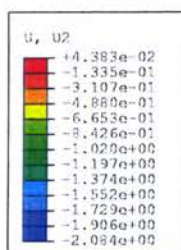


Ελεύθερο Πεδίο

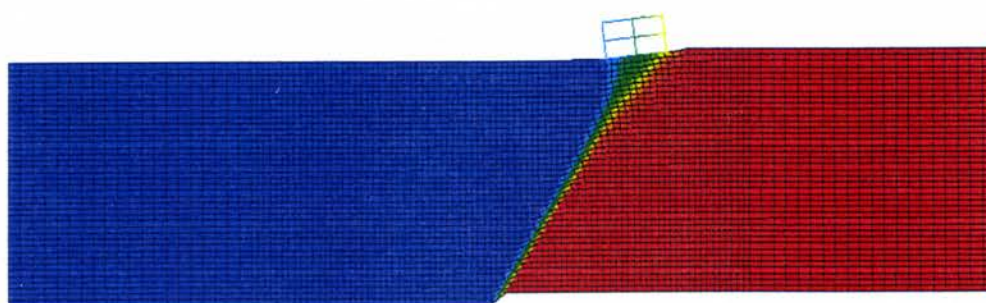


Αλληλεπίδραση Ρήγματος-Κατασκευής

### (α) Πλαστικές Παραμορφώσεις



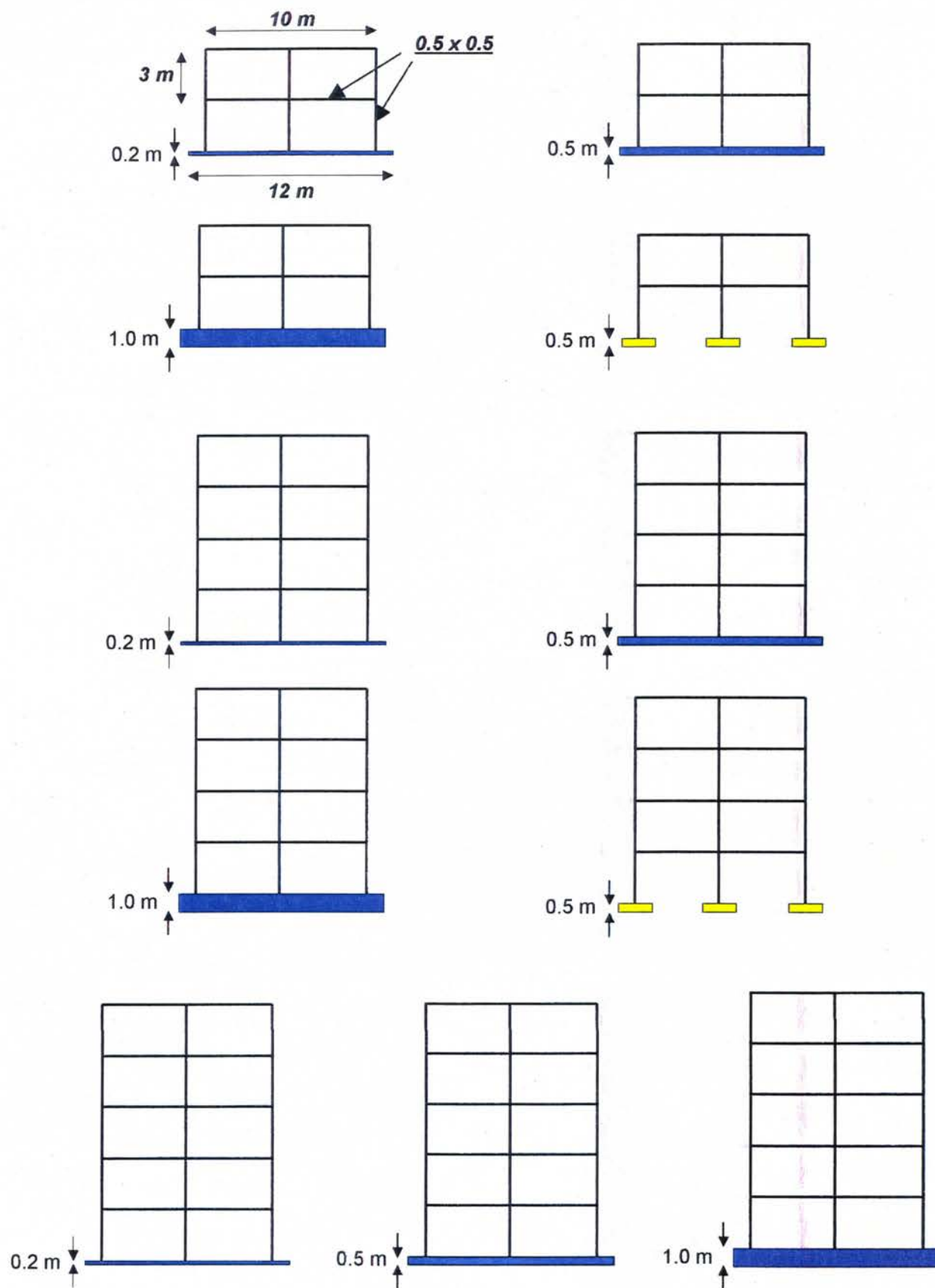
Ελεύθερο Πεδίο



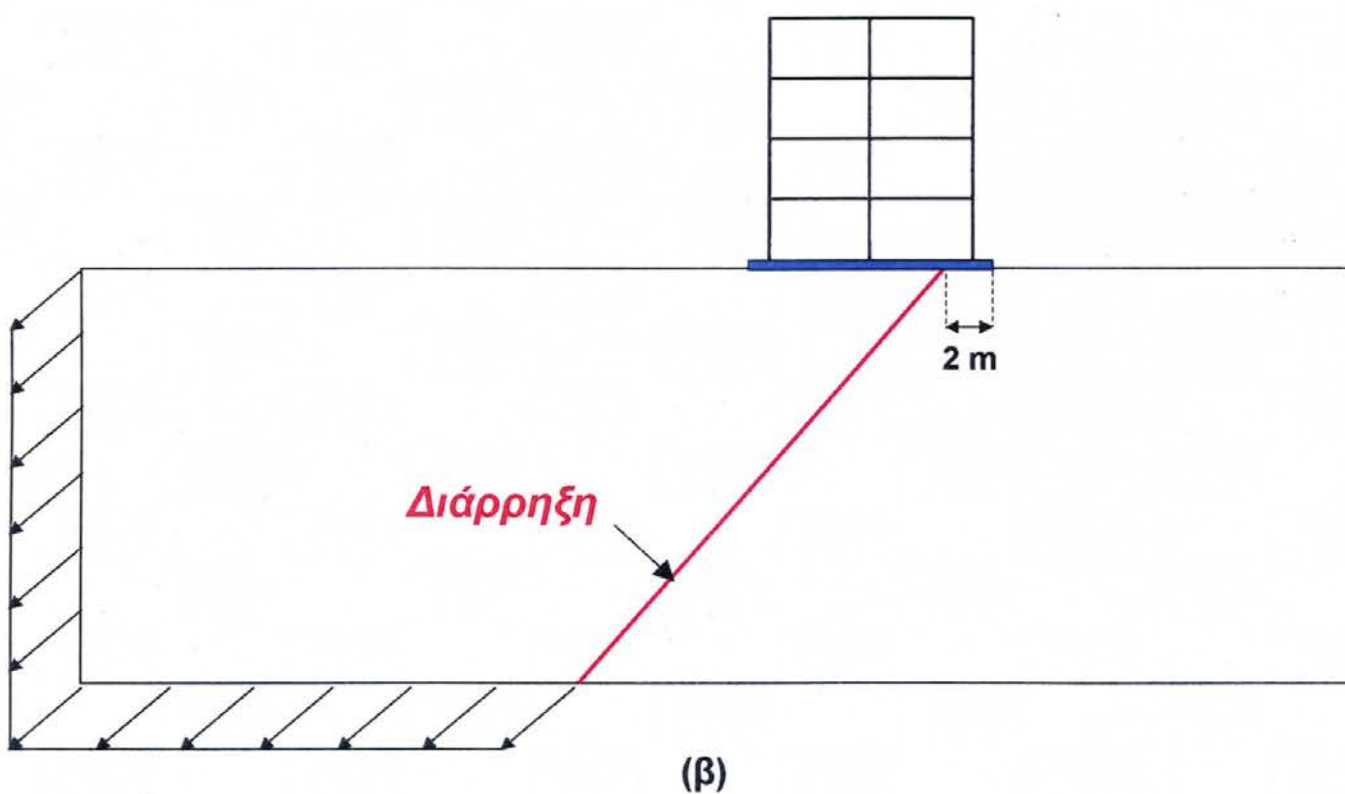
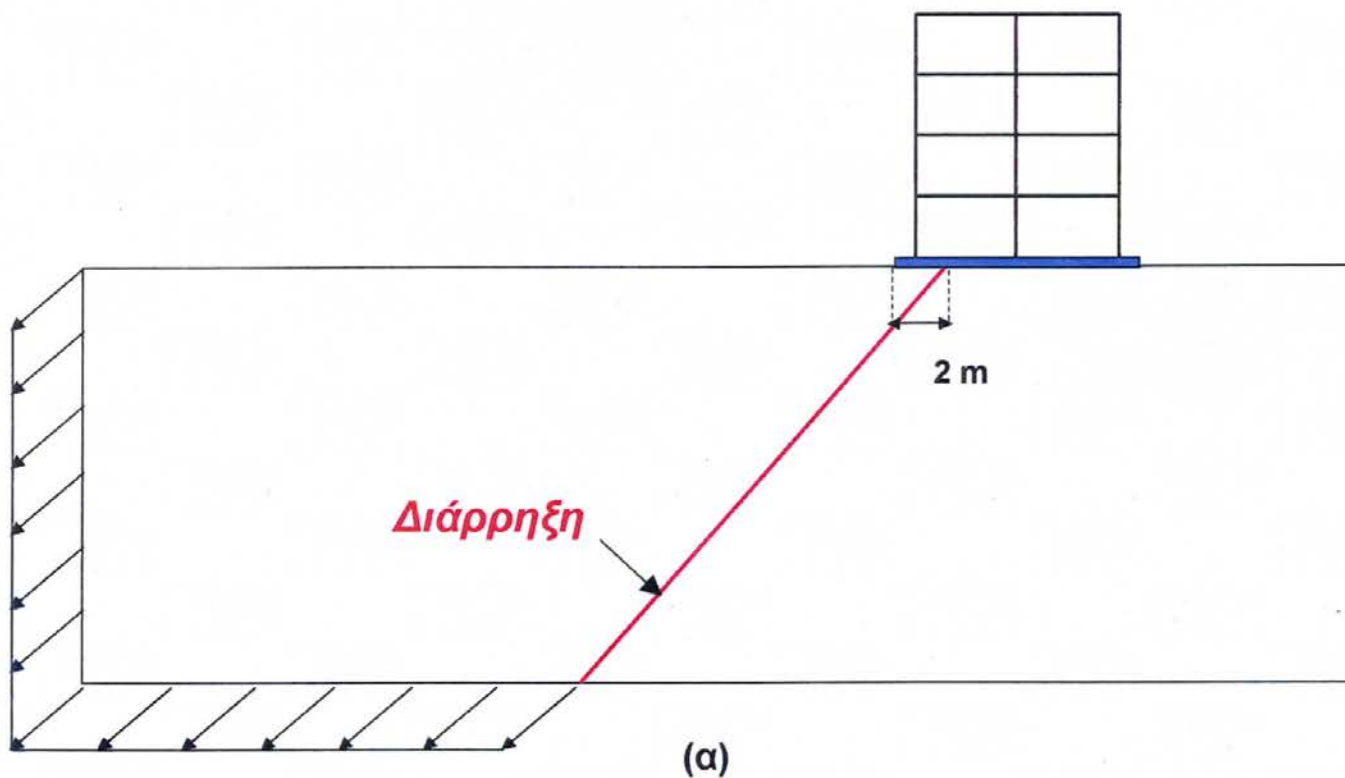
Αλληλεπίδραση Ρήγματος-Κατασκευής

### (β) Κατακόρυφες Μετακινήσεις

**Σχήμα 3.1** Αριθμητική προσομοίωση : Ενδεικτική σύγκριση διαδόσεως της διαρρήξεως στο ελεύθερο πεδίο με την τροποποίηση της λόγω αλληλεπίδρασης με την κατασκευή

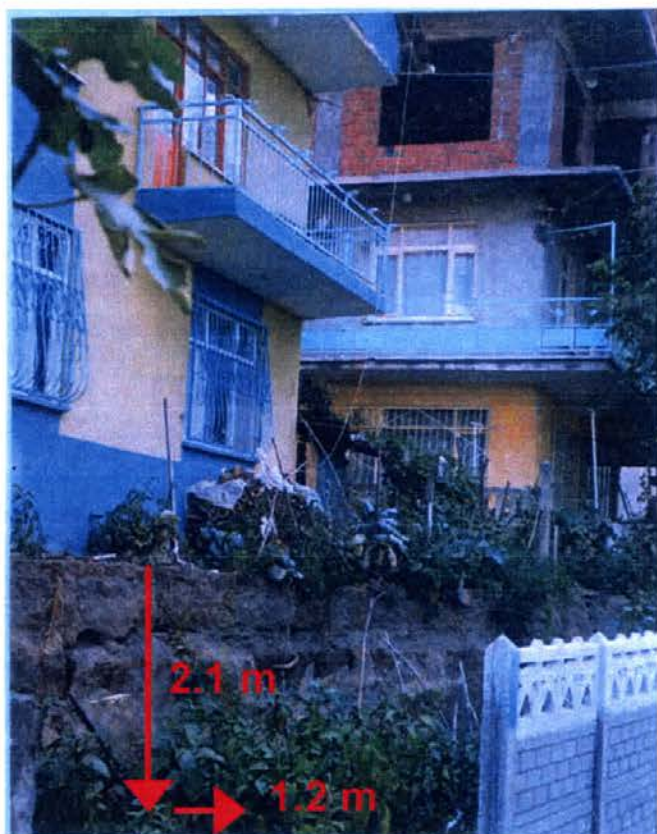
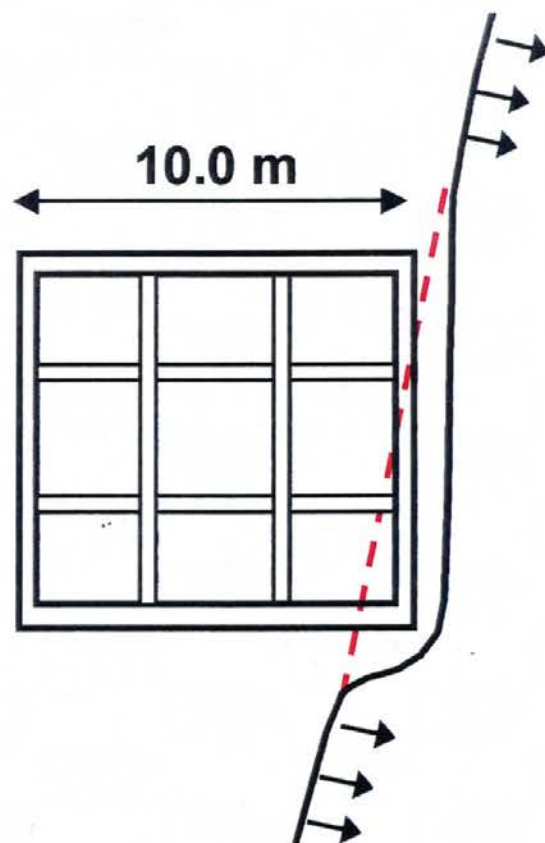
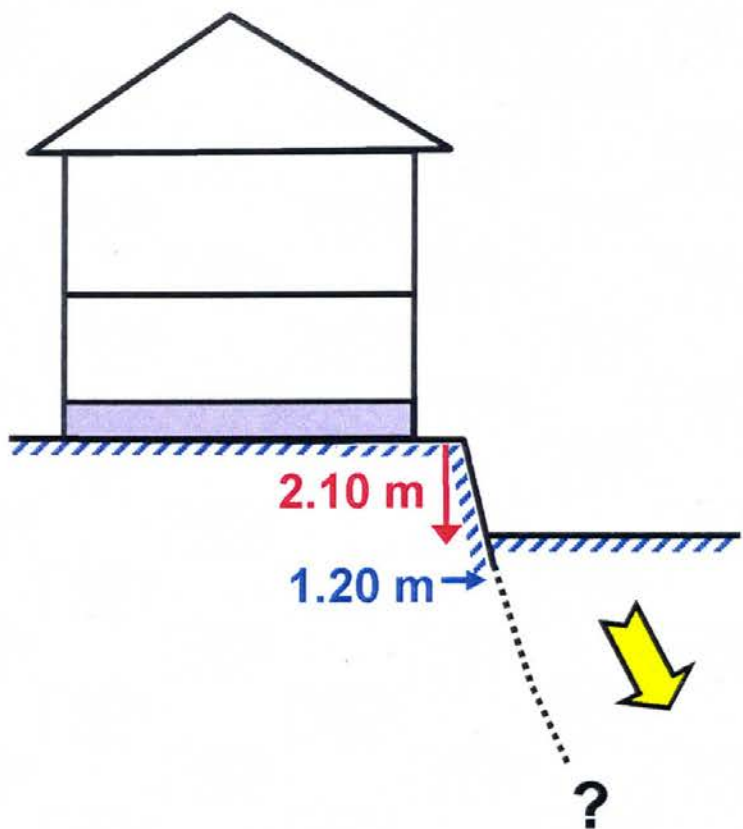


**Σχήμα 3.2** Αριθμητική προσομοίωση : Τύποι Ανωδομών



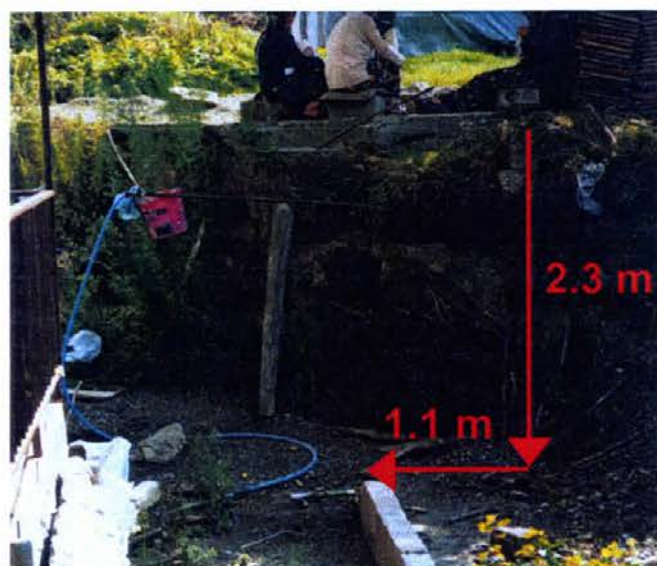
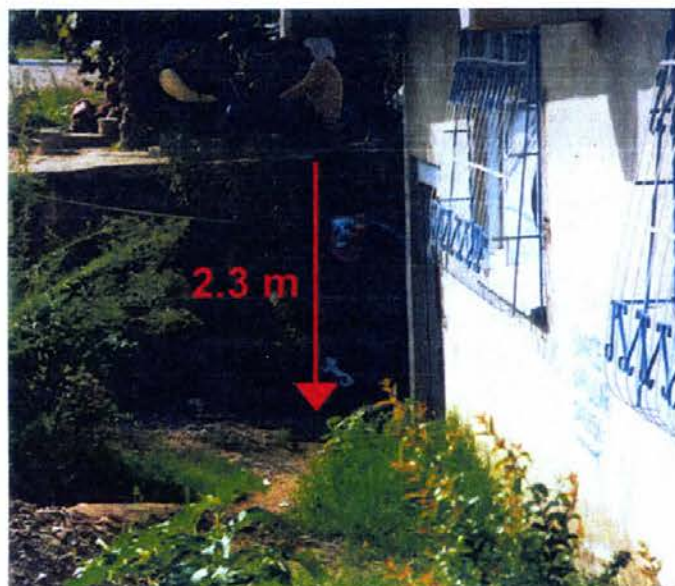
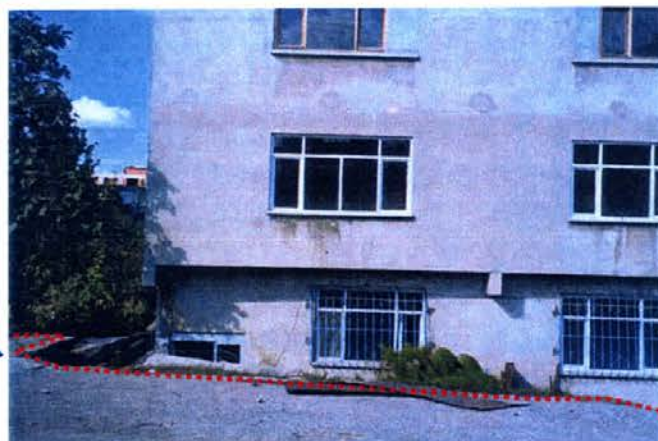
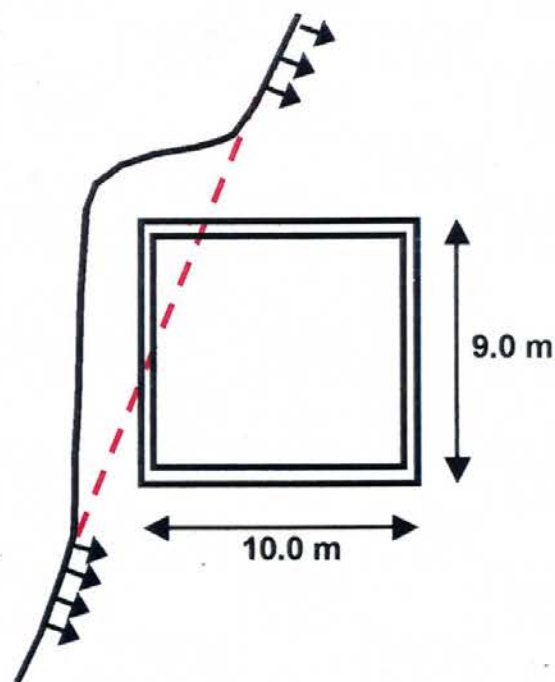
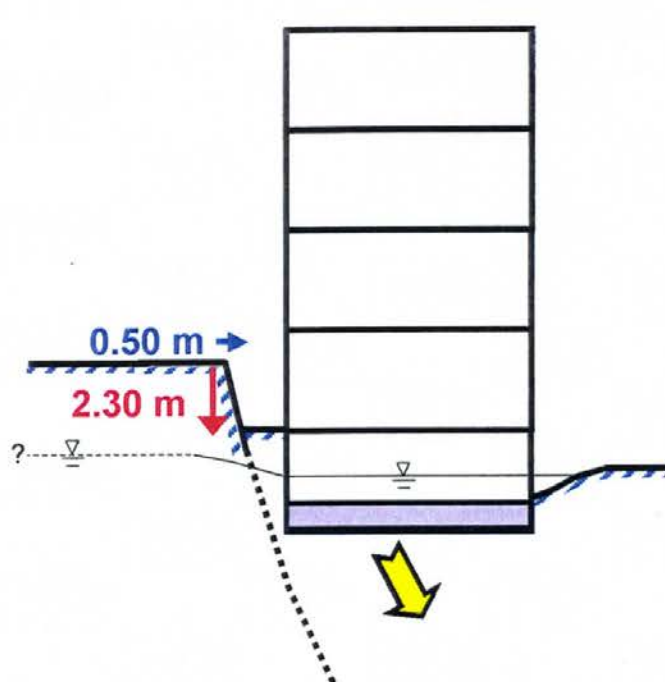
**Σχήμα 3.3** Αριθμητική προσομοίωση : Θέσεις Διαρρήξεως (α) δόμημα τοποθετημένο σε απόσταση 2 m από την επιφανειακή διάρρηξη, και (β) δόμημα τοποθετημένο σε απόσταση 10 m από την σεισμική διάρρηξη



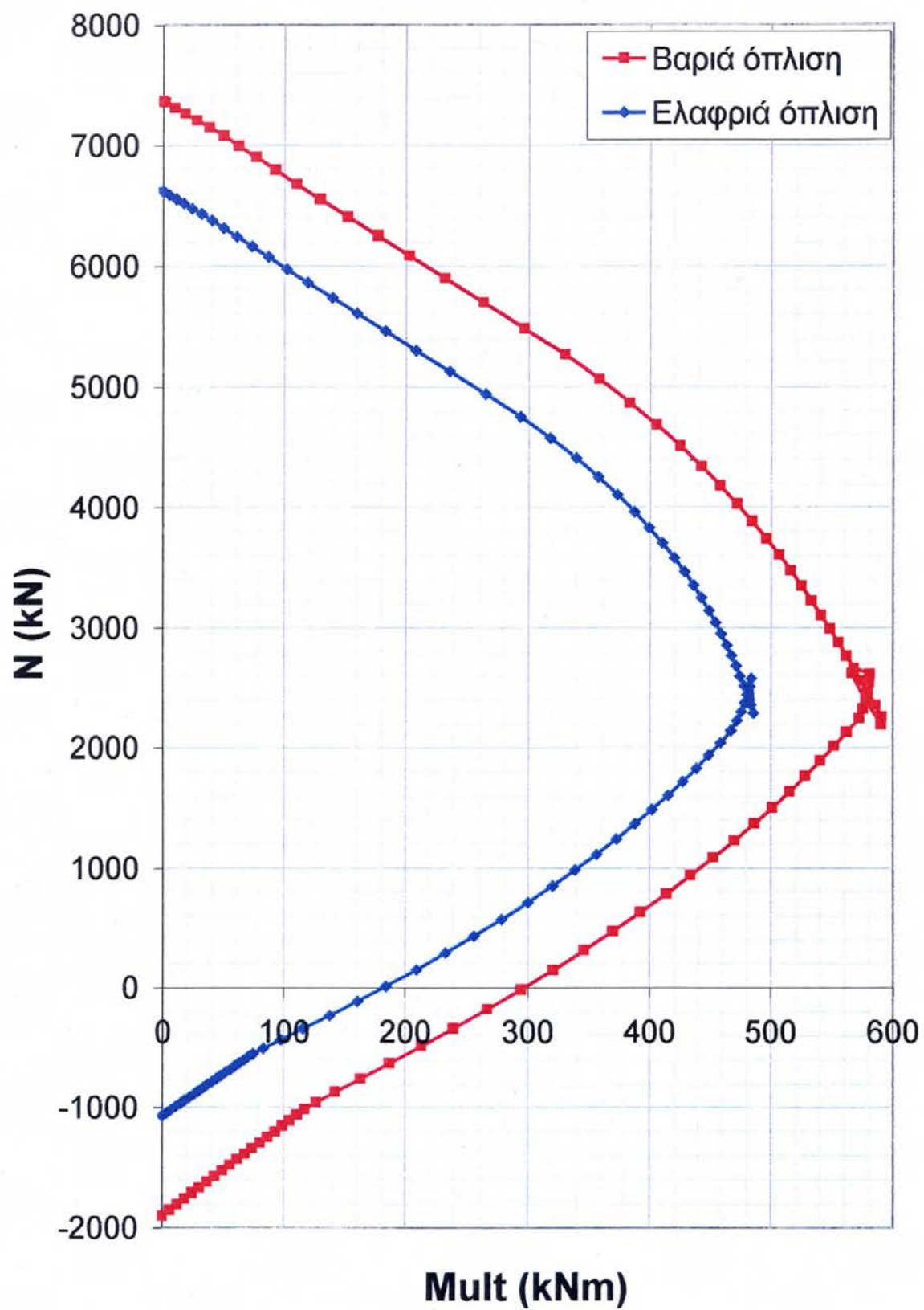


**Σχήμα 3.4** Κτίριο 3 : Διώροφο κτίριο (+σοφίτα) με άκαμπτη θεμελίωση, το οποίο βρέθηκε στο ανερχόμενο τέμαχος και σε απόσταση της τάξεως των 2 m από την επιφανειακή εκδήλωση του ρήγματος.



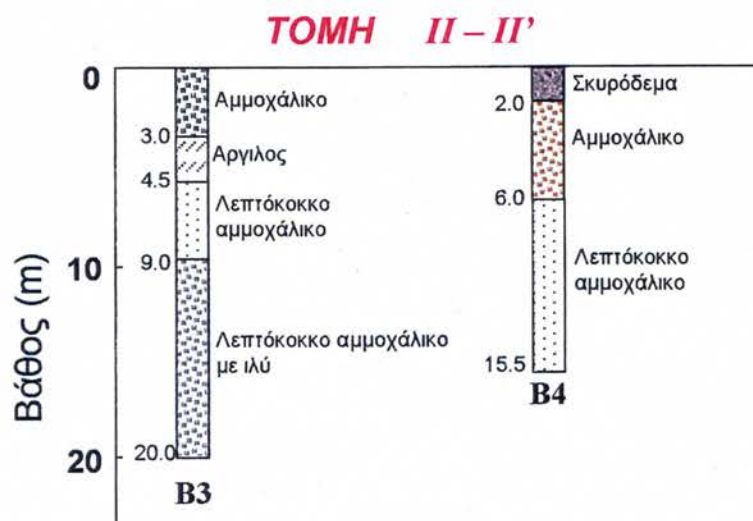
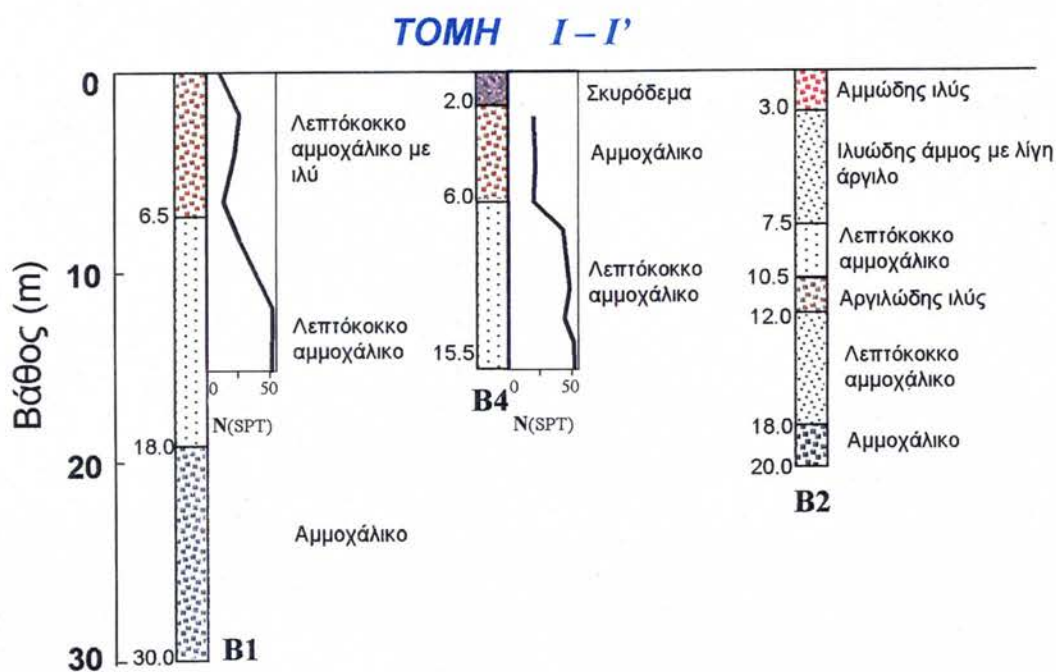
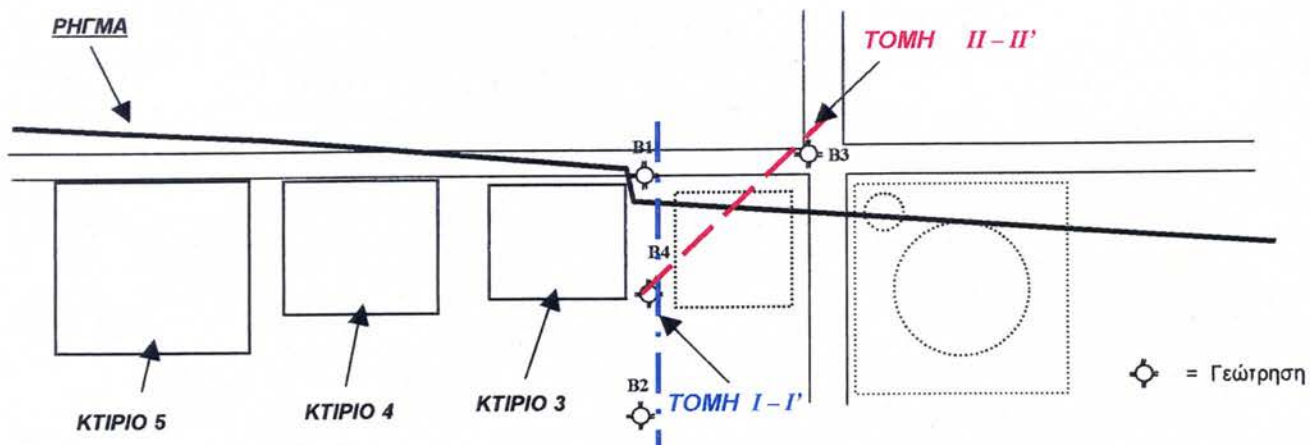


**Σχήμα 3.5** Κτίριο 1 : Τετραώροφο κτίριο με υπόγειο εδραζόμενο σε άκαμπτη θεμελίωση, το οποίο βρέθηκε στο κατερχόμενο τέμαχος και σε απόσταση της τάξεως των 2 m από την επιφανειακή εκδήλωση του ρήγματος.



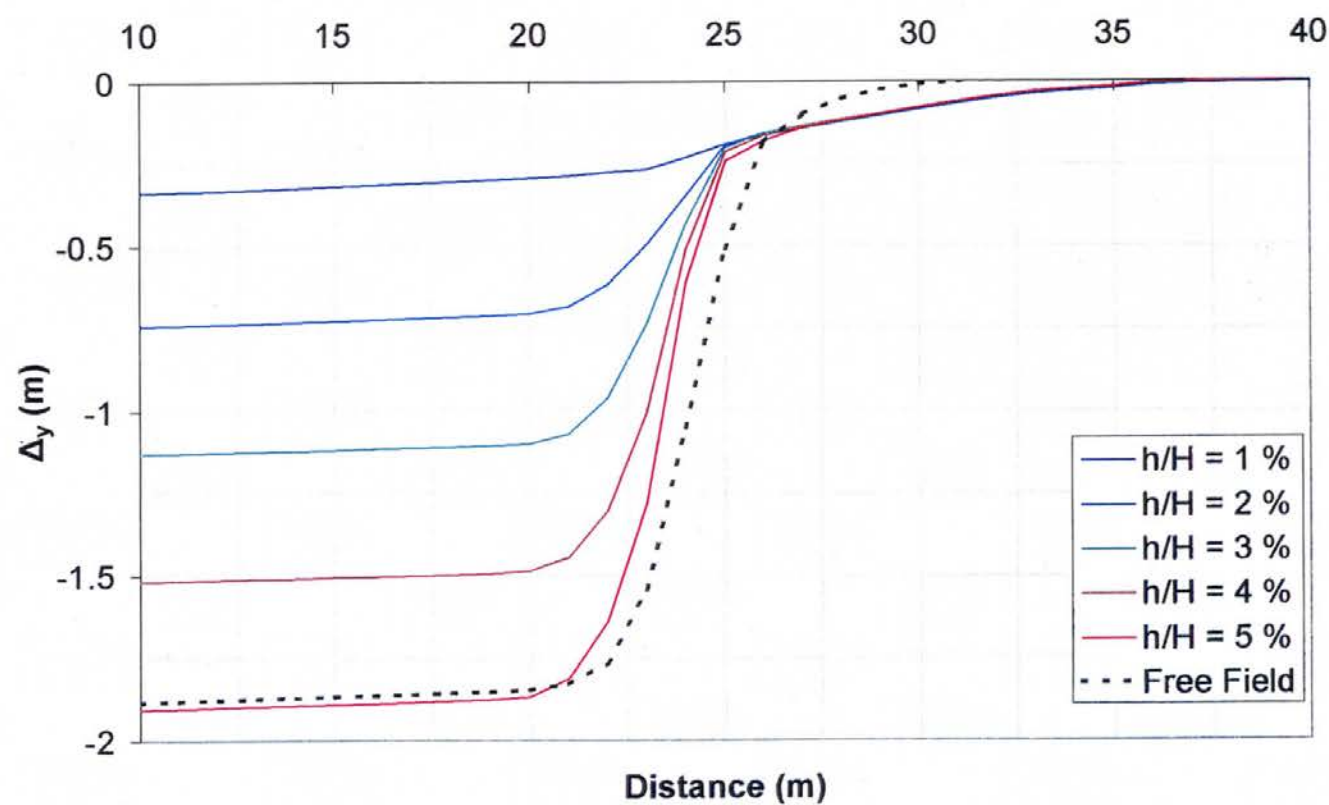
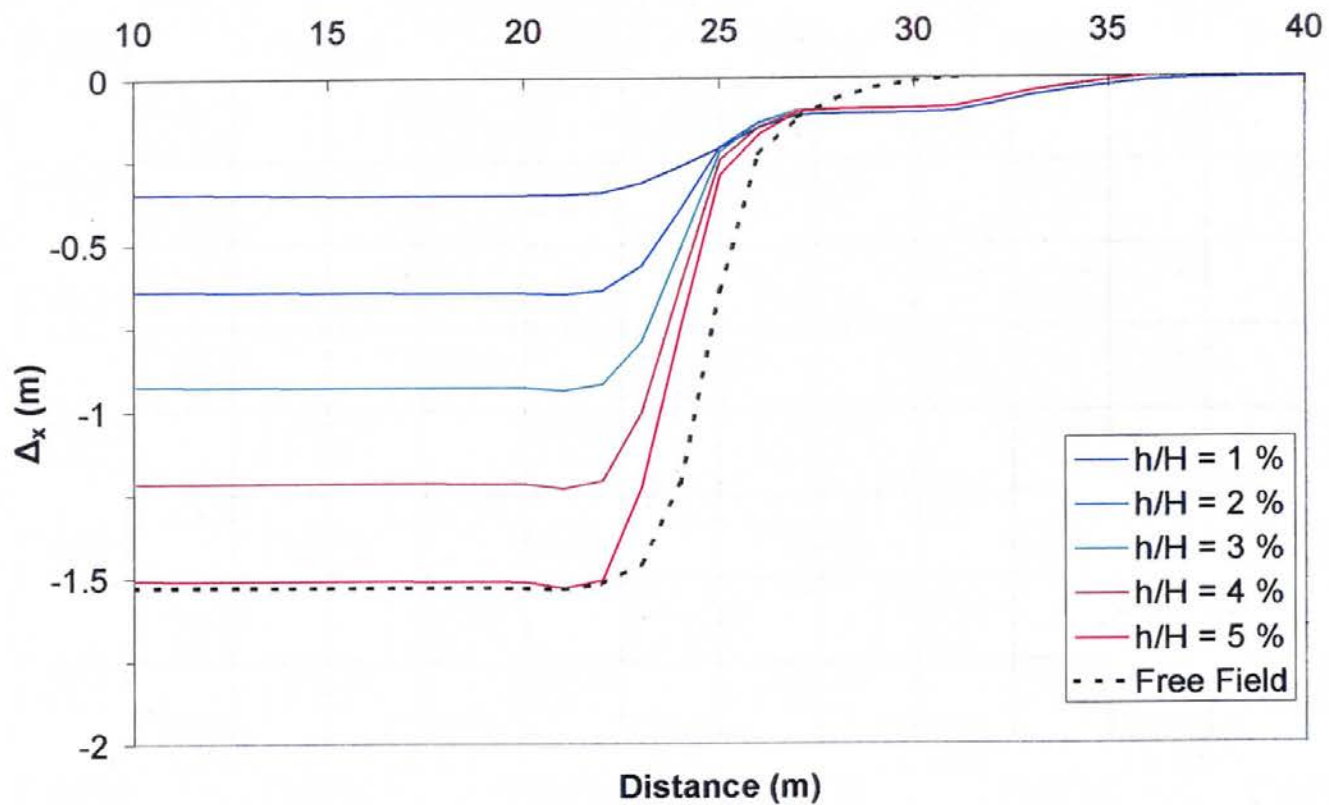
Σχήμα 3.6 Διαγράμματα αλληλεπίδρασης (α) για σχετικώς ελαφριά οπλισμένο υποστύλωμα, και (β) για σχετικώς βαριά όπλιση.



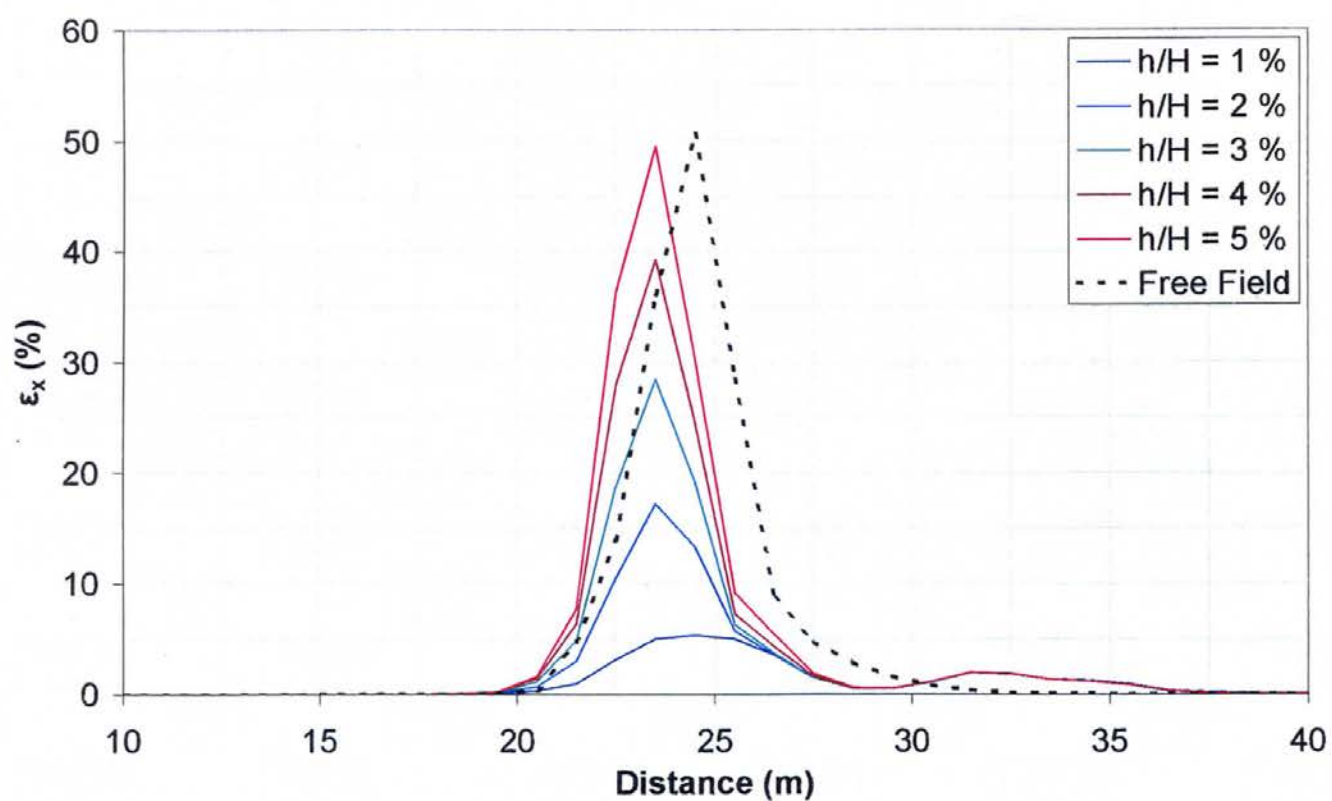
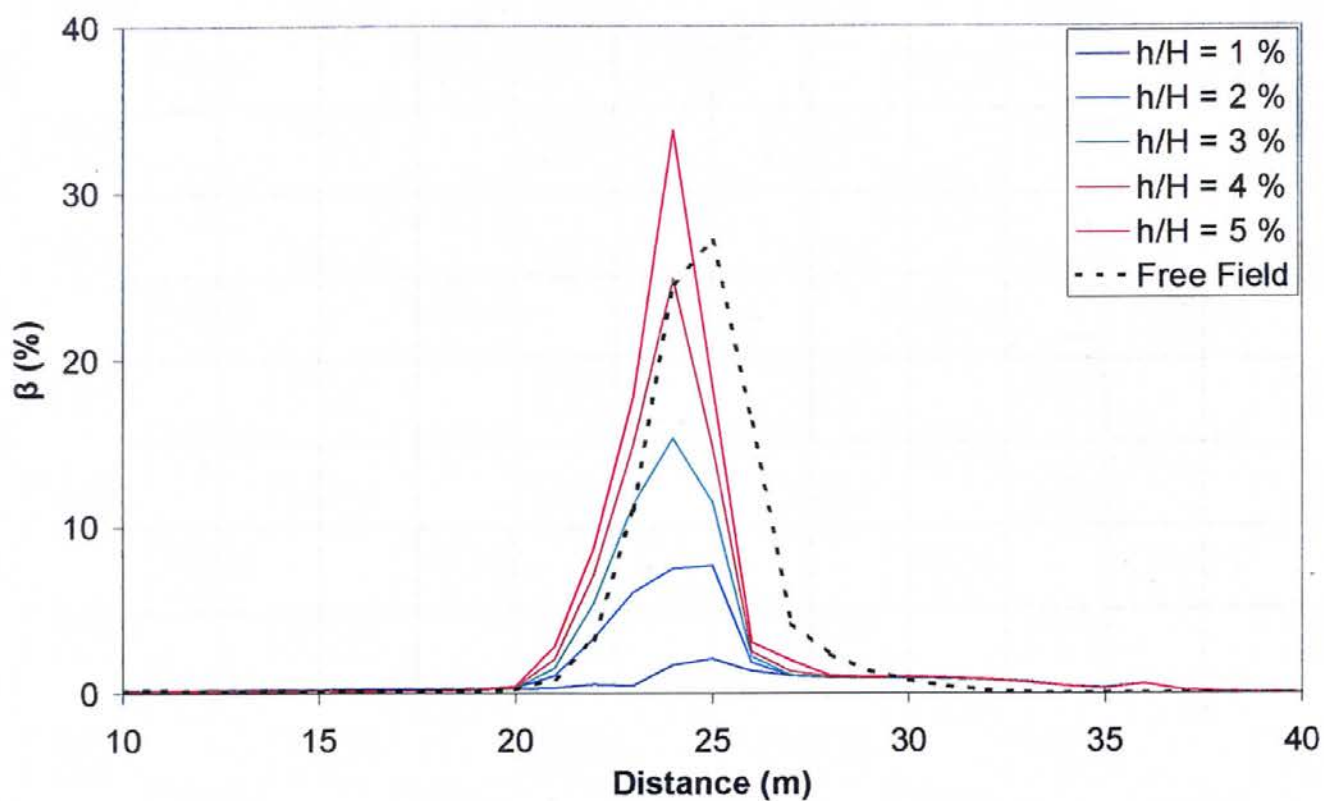


**Σχήμα 3.7** Σκαρίφημα των θέσεων των γεωτρήσεων στην περιοχή του Denizevler και παρουσίαση των εδαφικών ιδιοτήτων κατά μήκος δύο χαρακτηριστικών τομών.

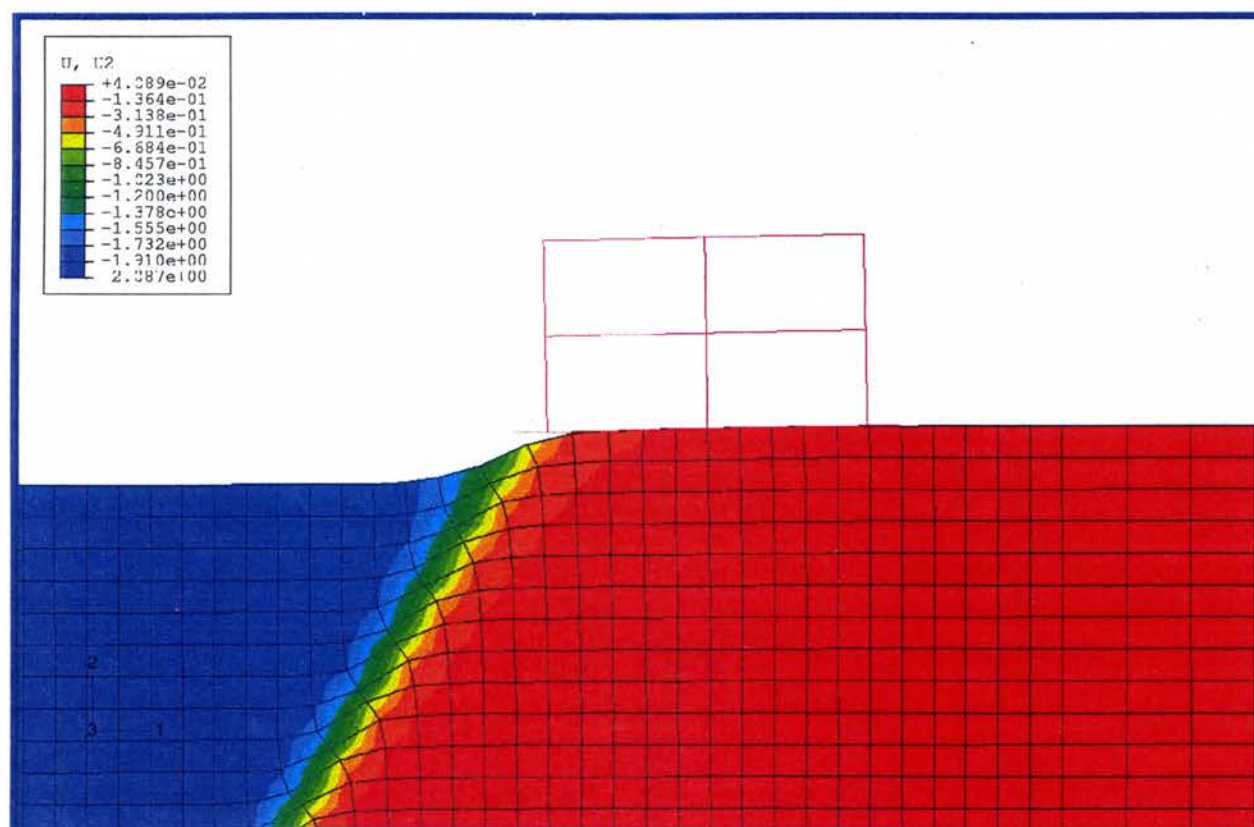
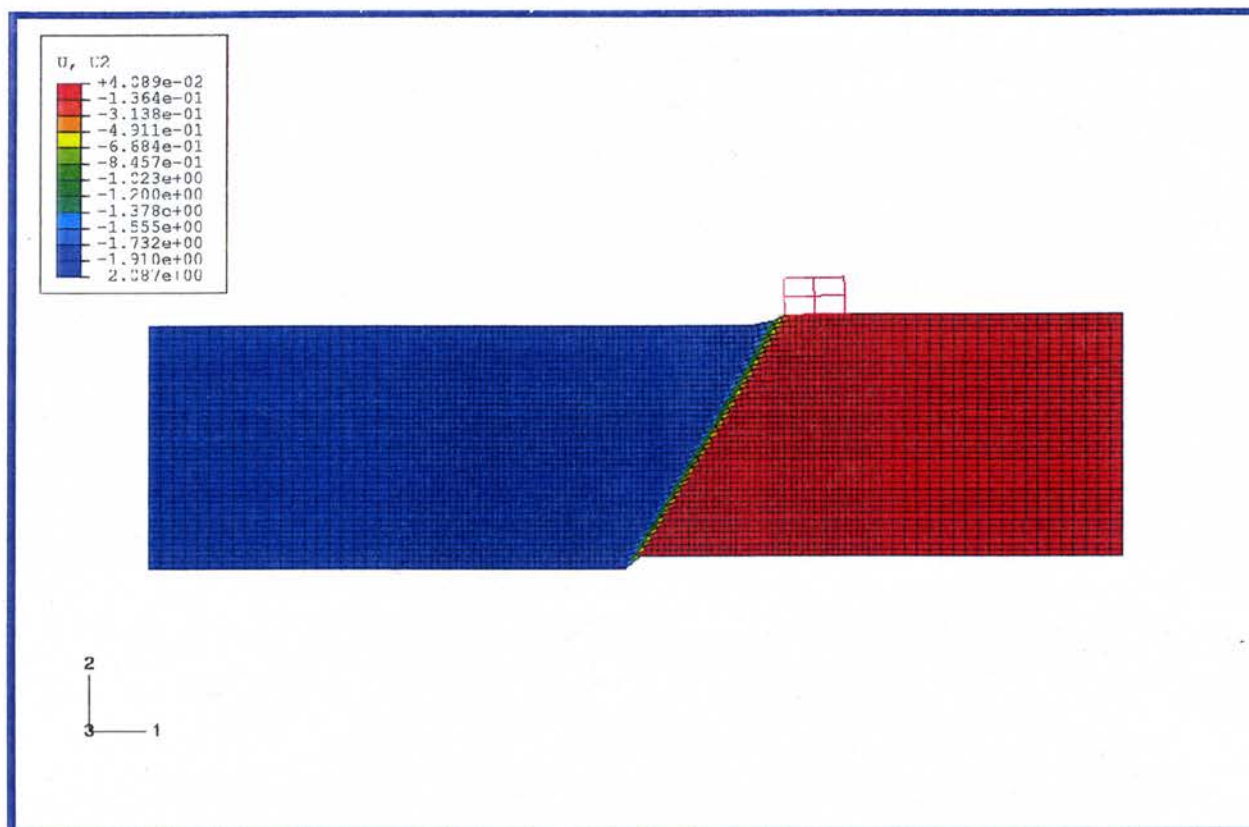




**Σχήμα 3.8** Διώροφο κτίριο με γενική κοιτόστρωση  $t = 0.2$  m, σε απόσταση 2 m από την επιφανειακή εκδήλωση του ρήγματος : Οριζόντιες και κατακόρυφες μετακινήσεις

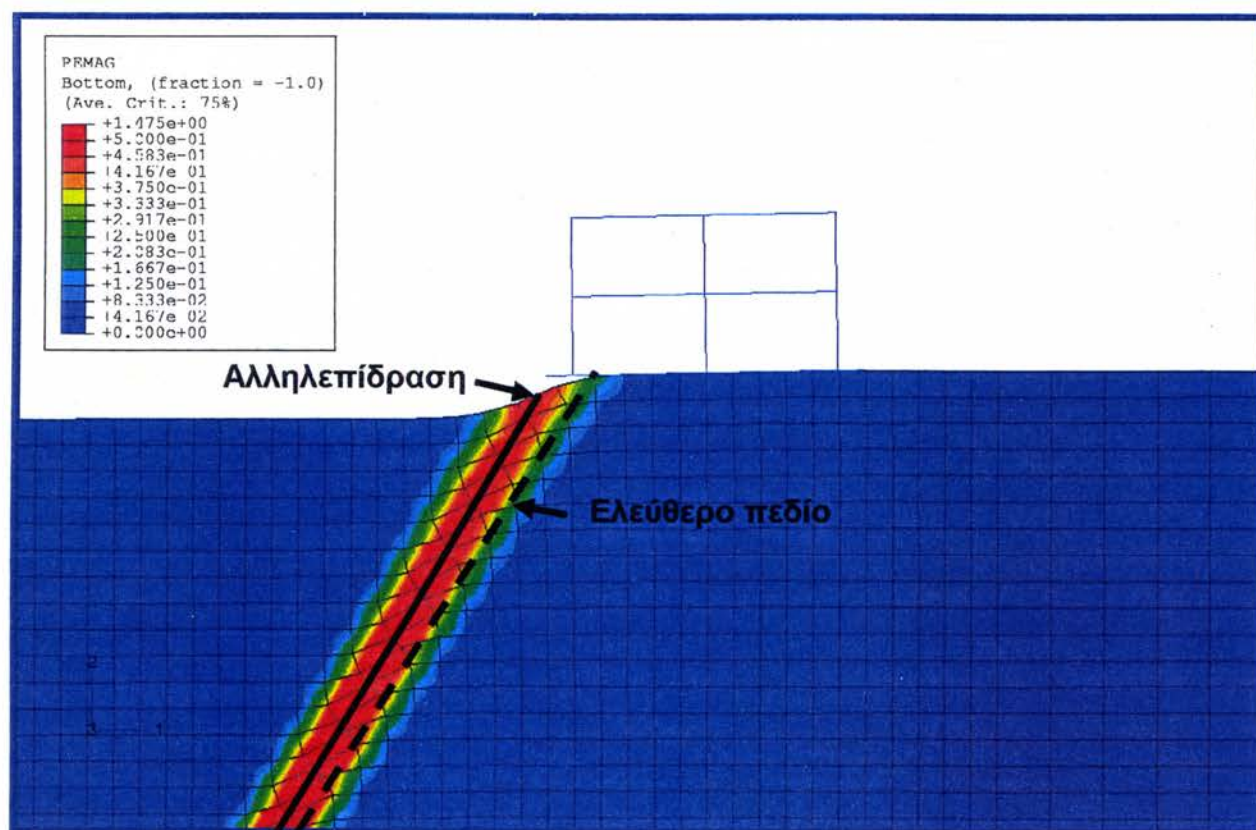
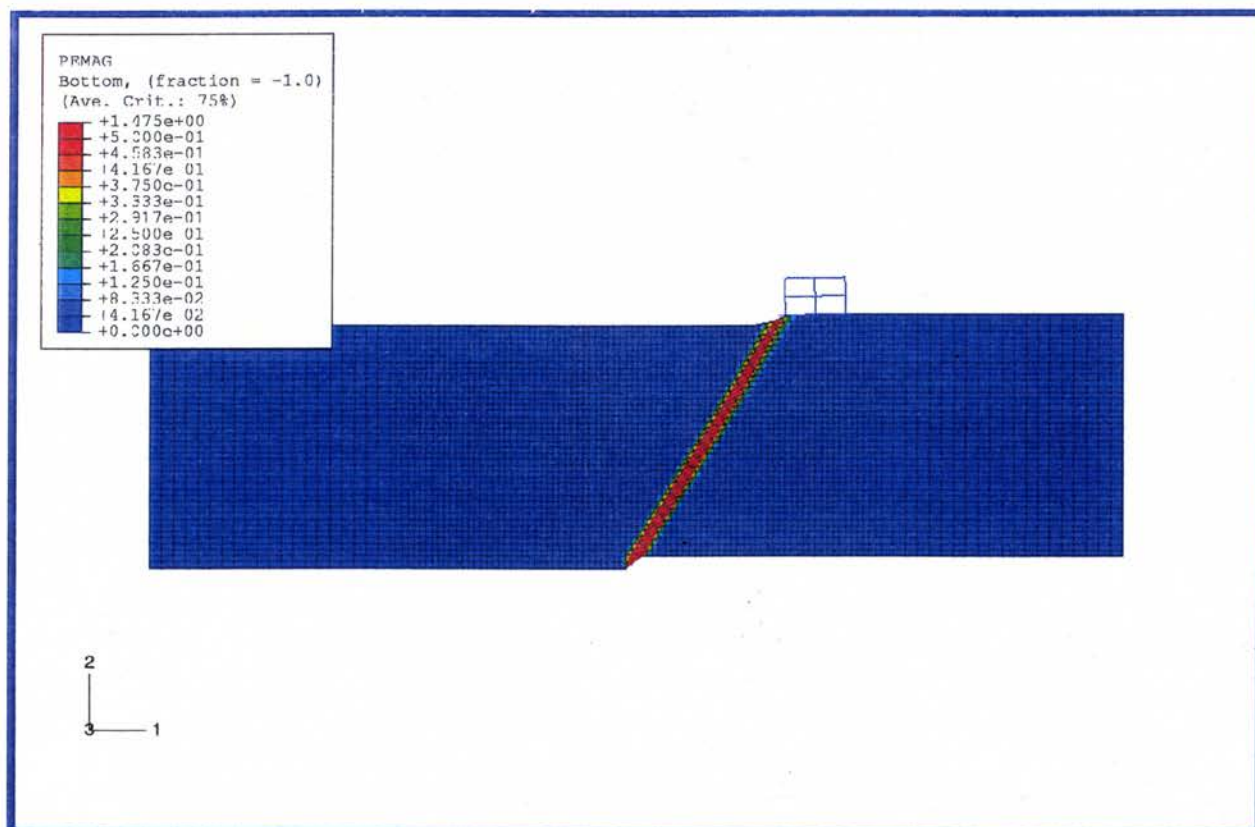


**Σχήμα 3.9** Διώροφο κτίριο με γενική κοιτόστρωση  $t = 0.2$  m, σε απόσταση 2 m από την επιφανειακή εκδήλωση του ρήγματος : Κλίση  $\beta$  και οριζόντιες παραμορφώσεις  $\varepsilon$  της επιφάνειας του εδάφους



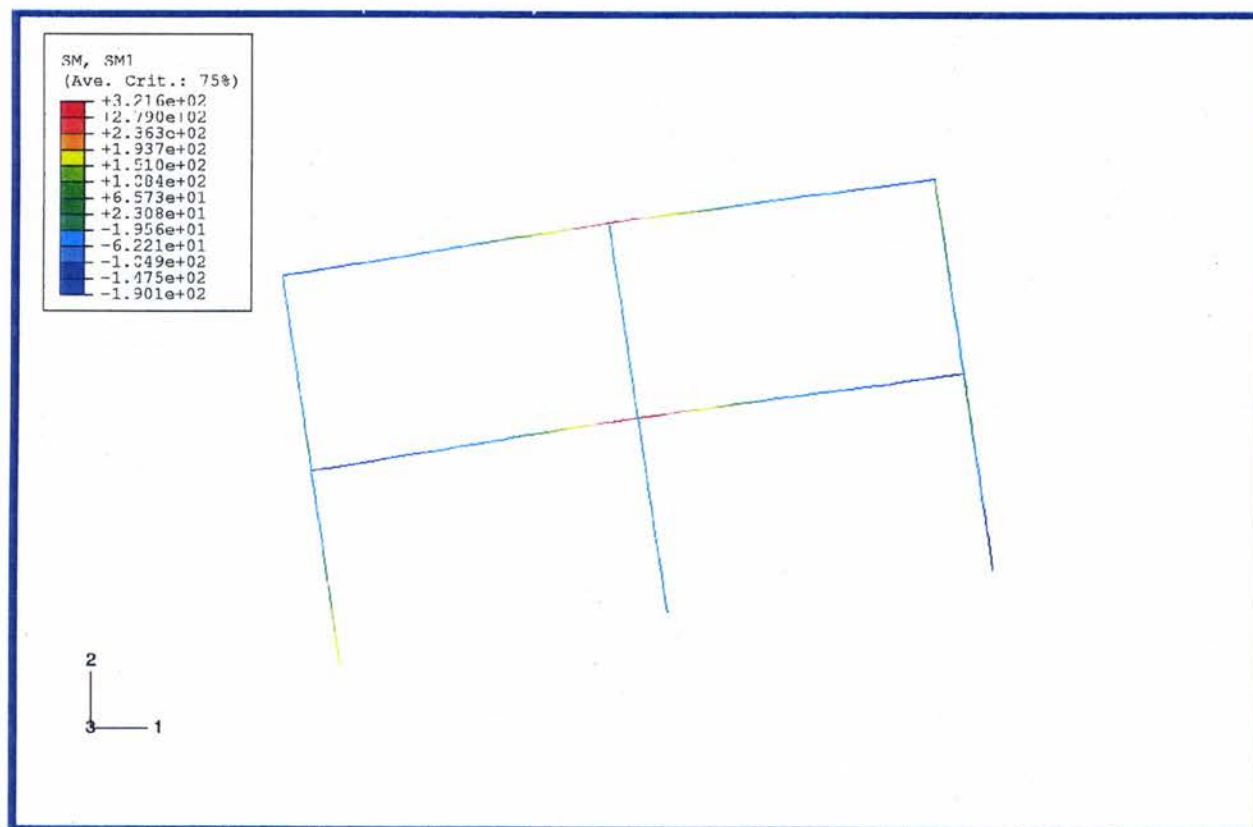
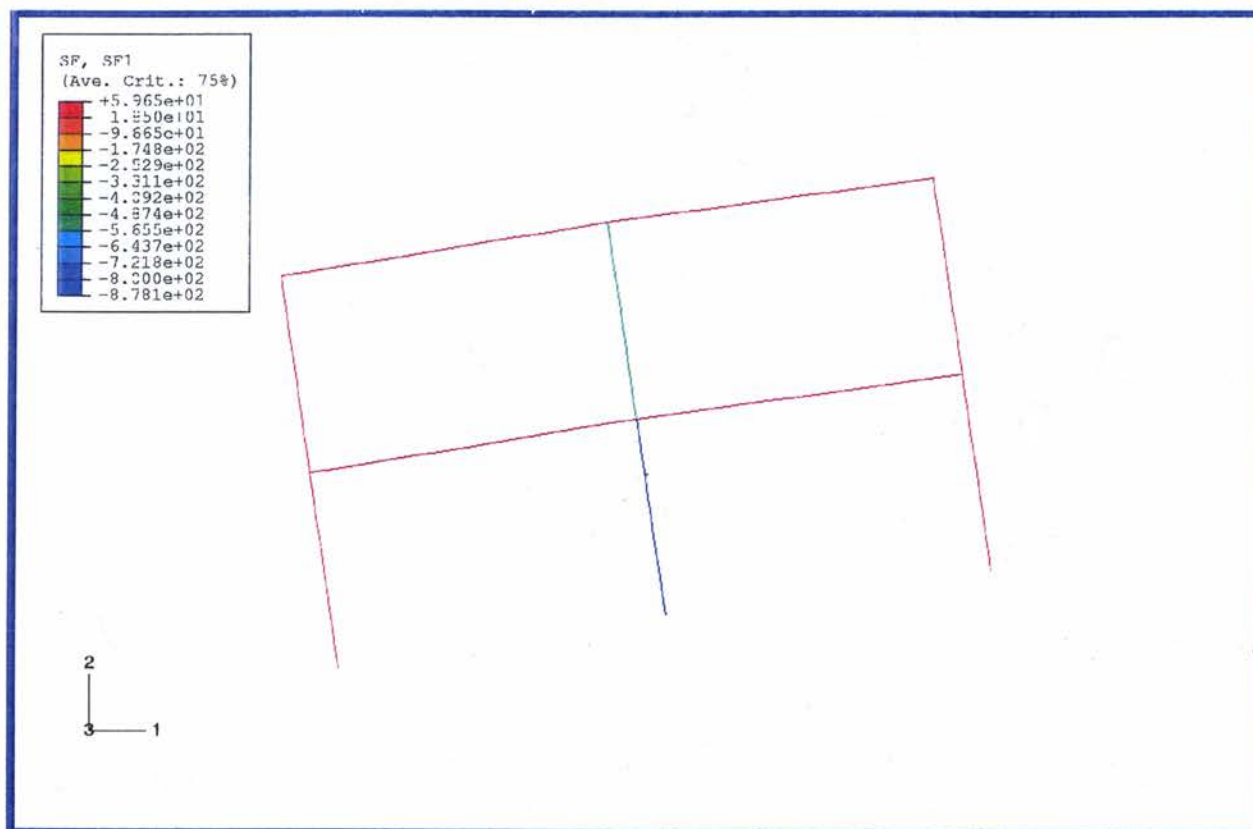
**Σχήμα 3.10** Διώροφο κτίριο με γενική κοιτόστρωση  $t = 0.2$  m, σε απόσταση 2 m από την επιφανειακή εκδήλωση του ρήγματος : Ισοϋψείς κατακορύφων μετακινήσεων



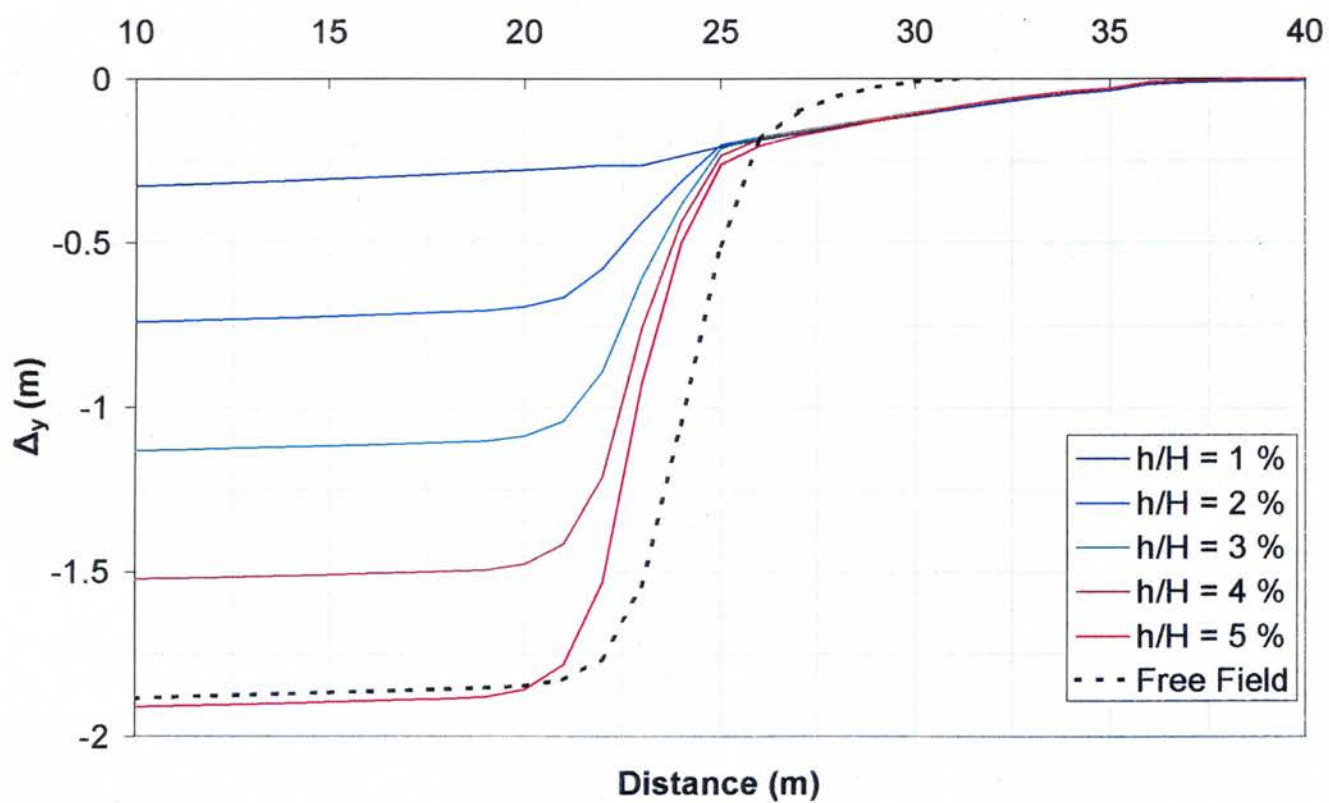
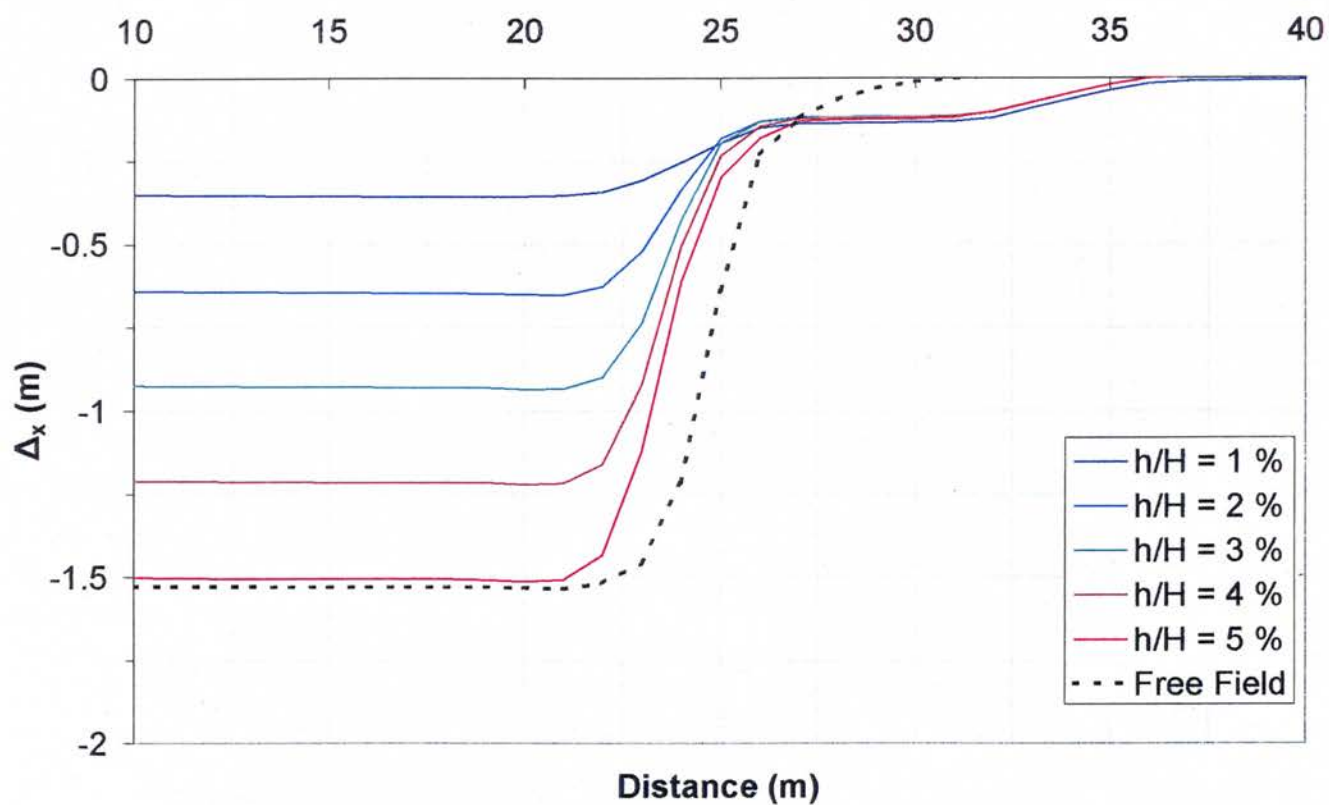


**Σχήμα 3.11** Διώροφο κτίριο με γενική κοιτόστρωση  $t = 0.2 \text{ m}$ , σε απόσταση  $2 \text{ m}$  από την επιφανειακή εκδήλωση του ρήγματος : Ισοϋψείς πλαστικών παραμορφώσεων

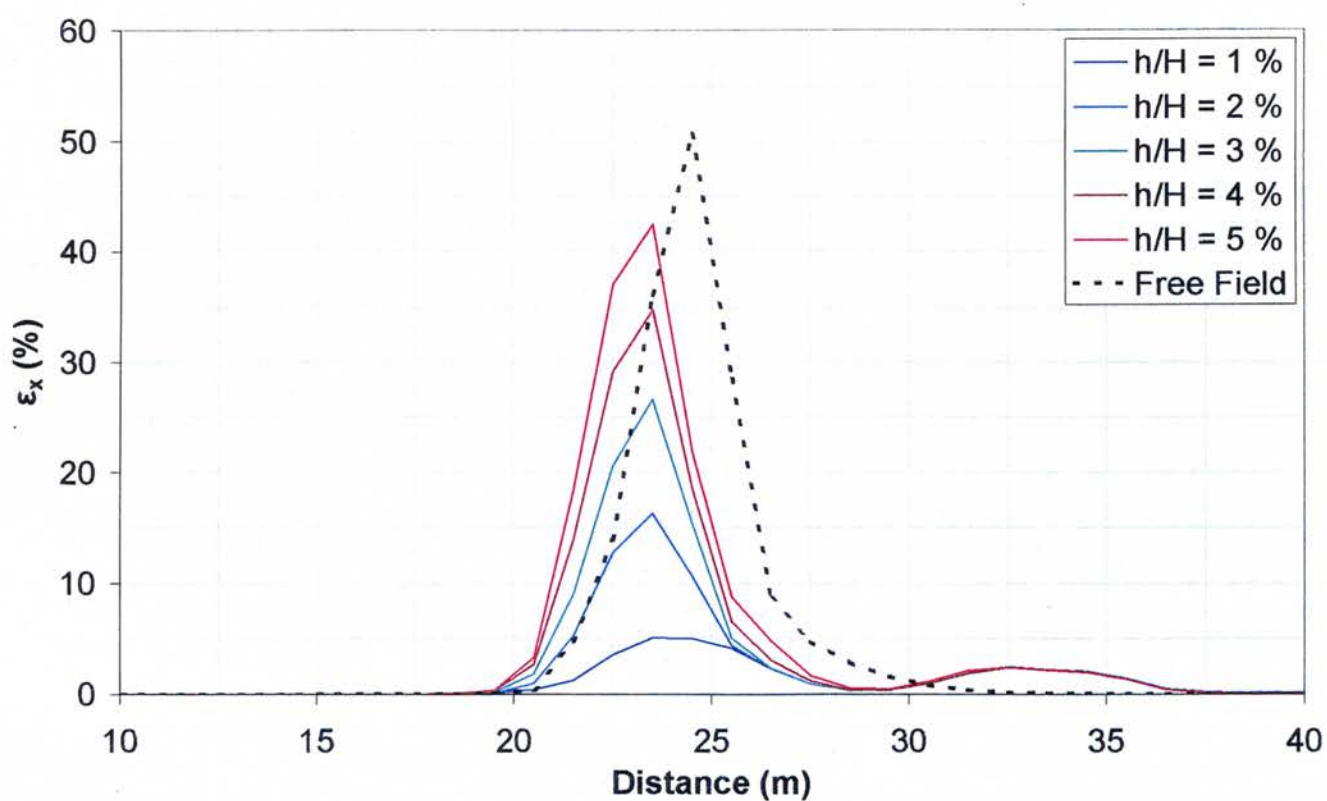
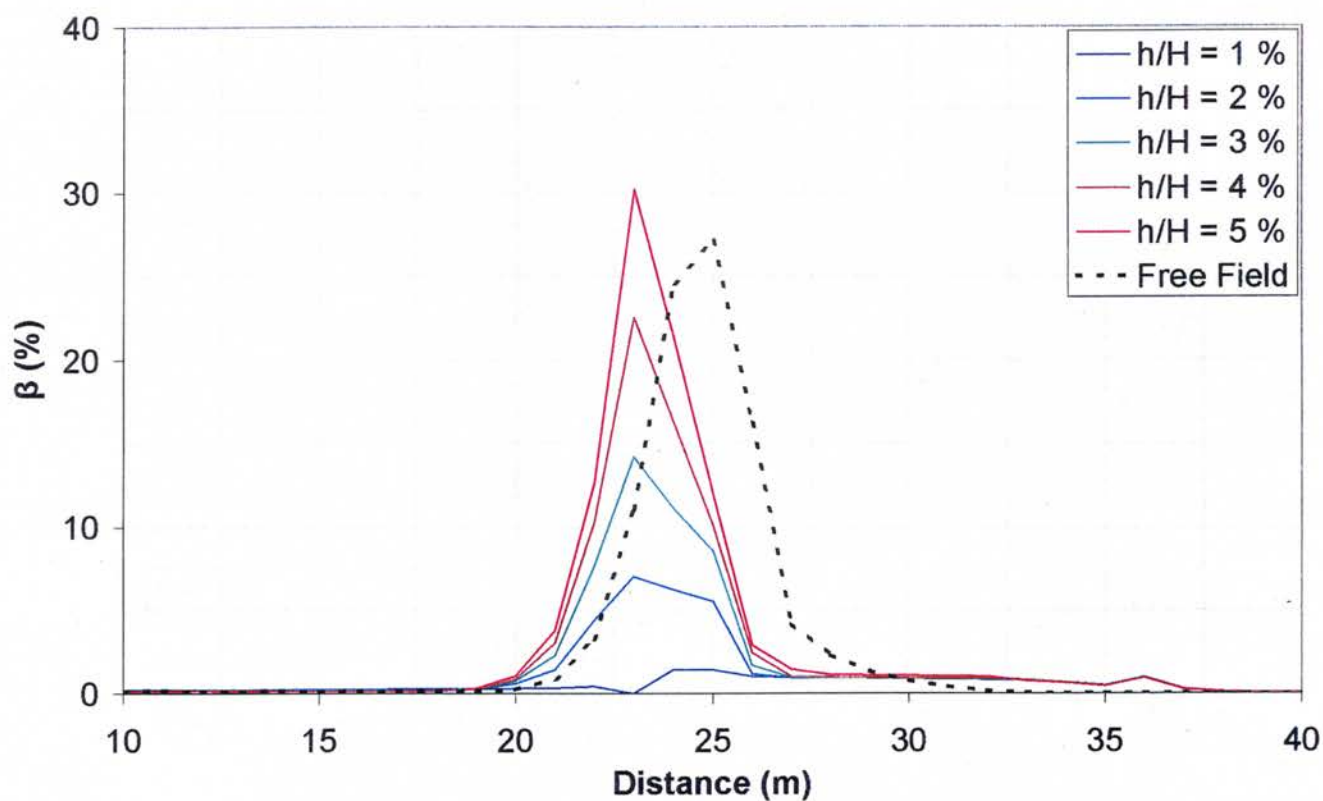




**Σχήμα 3.12** Διώροφο κτίριο με γενική κοιτόστρωση  $t = 0.2 \text{ m}$ , σε απόσταση  $2 \text{ m}$  από την επιφανειακή εκδήλωση του ρήγματος : Αναπτυσσόμενες αξονικές δυνάμεις και καμπτικές ροπές στην ανωδομή

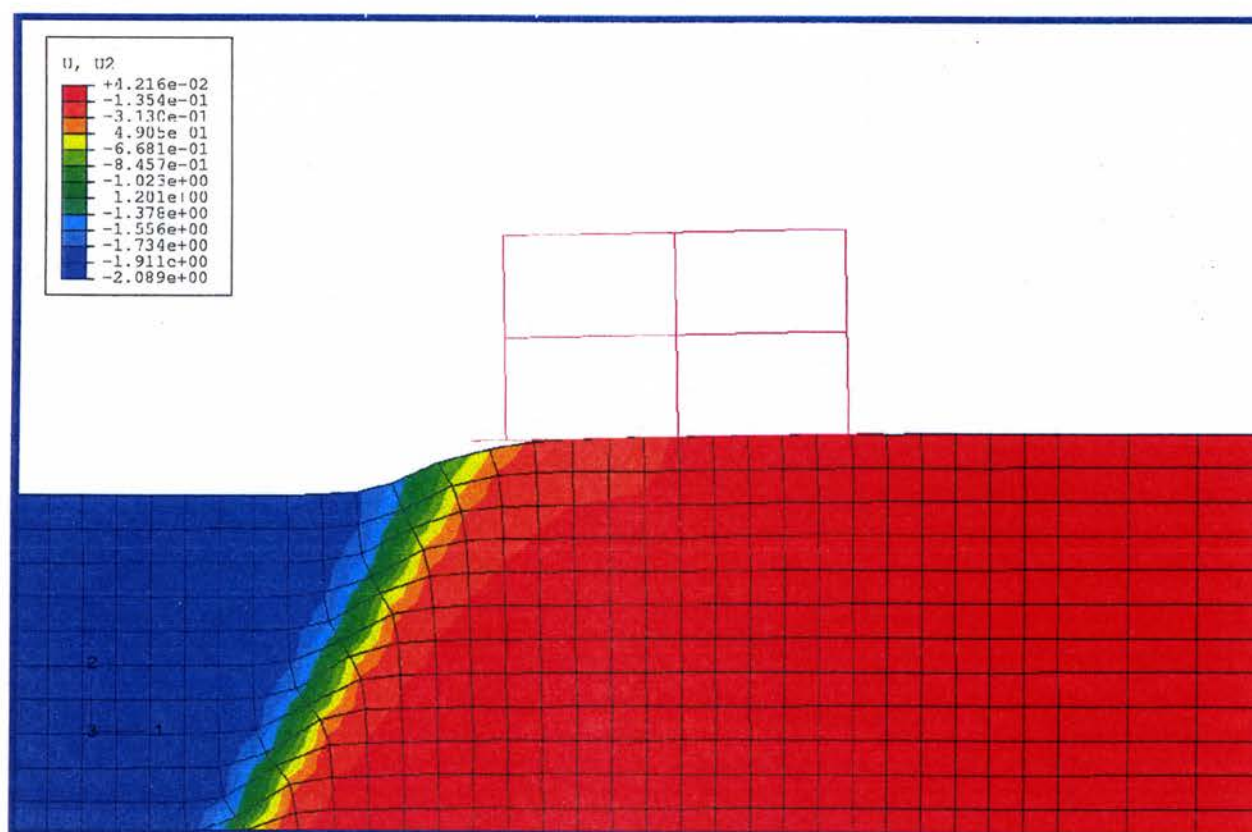
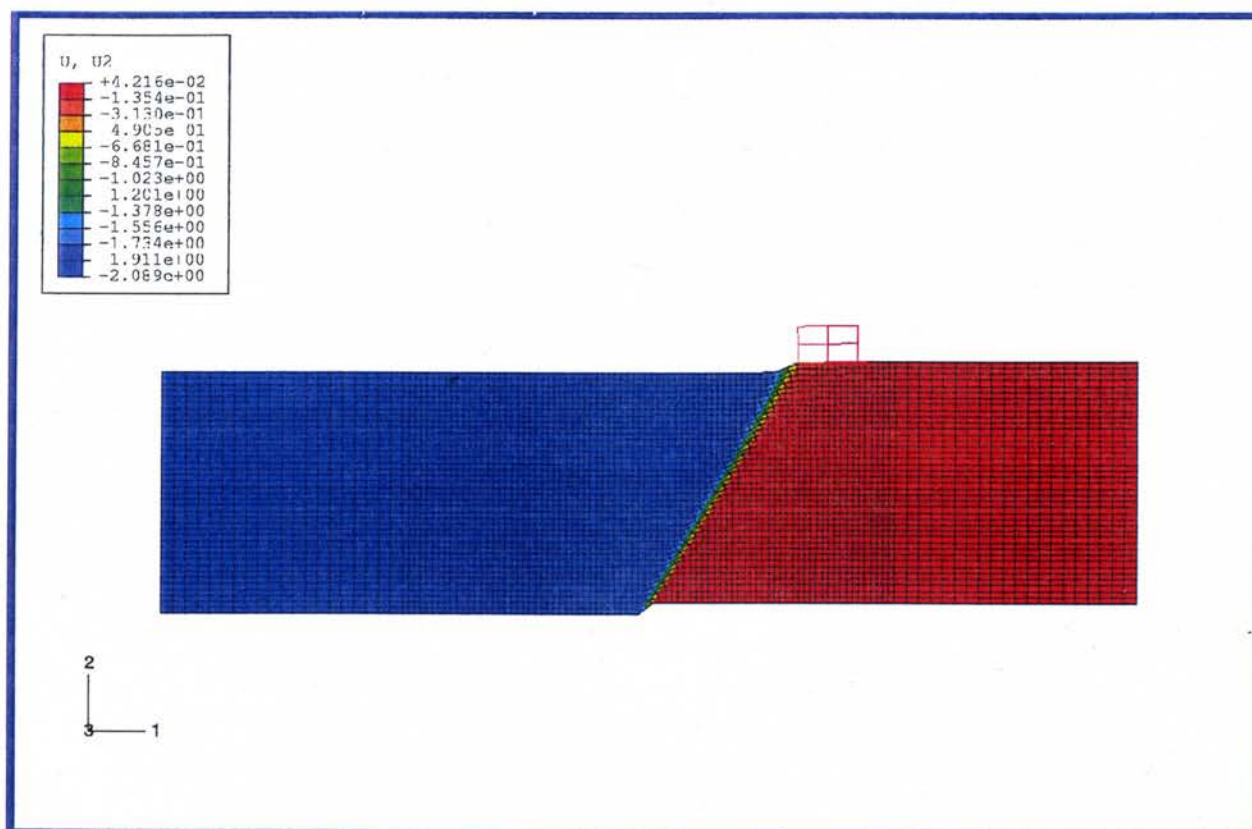


**Σχήμα 3.13** Διώροφο κτίριο με γενική κοιτόστρωση  $t = 0.5$  m, σε απόσταση 2 m από την επιφανειακή εκδήλωση του ρήγματος : Οριζόντιες και κατακόρυφες μετακινήσεις



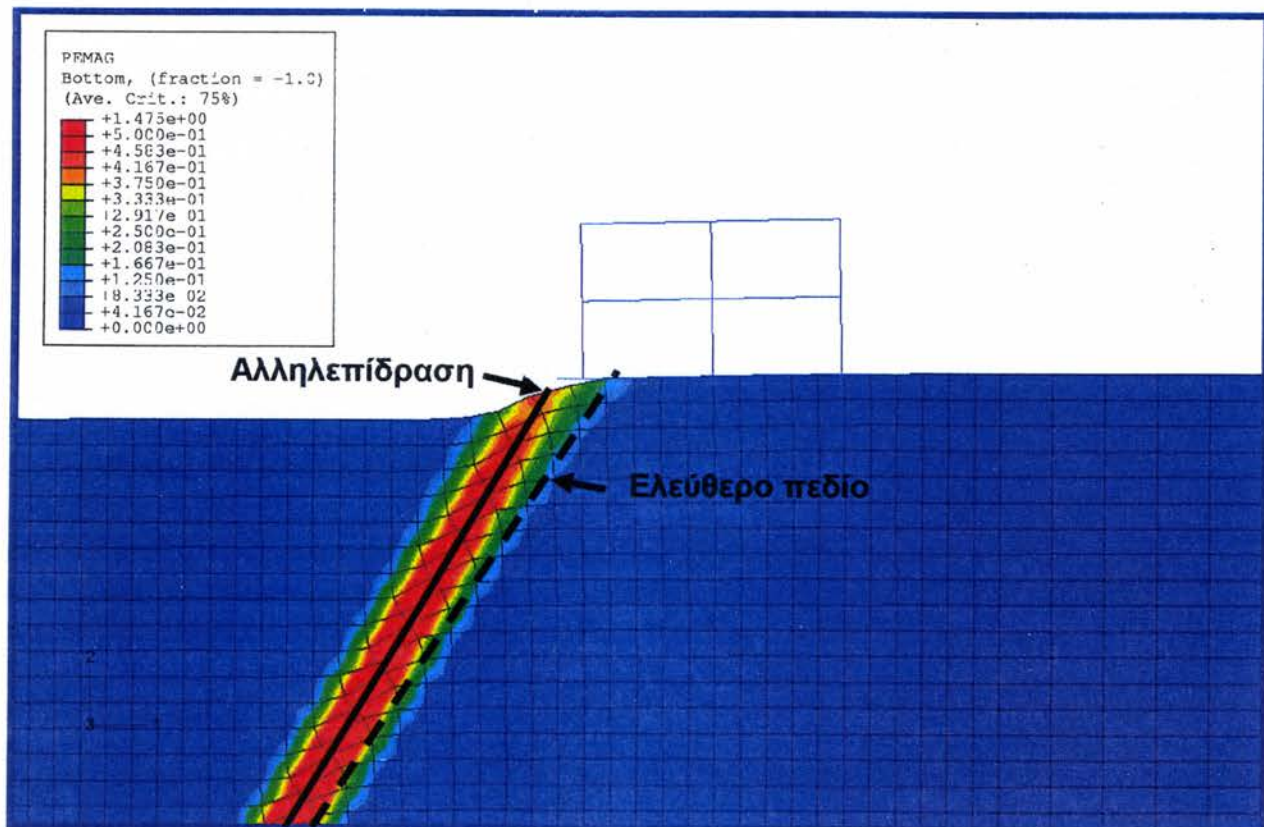
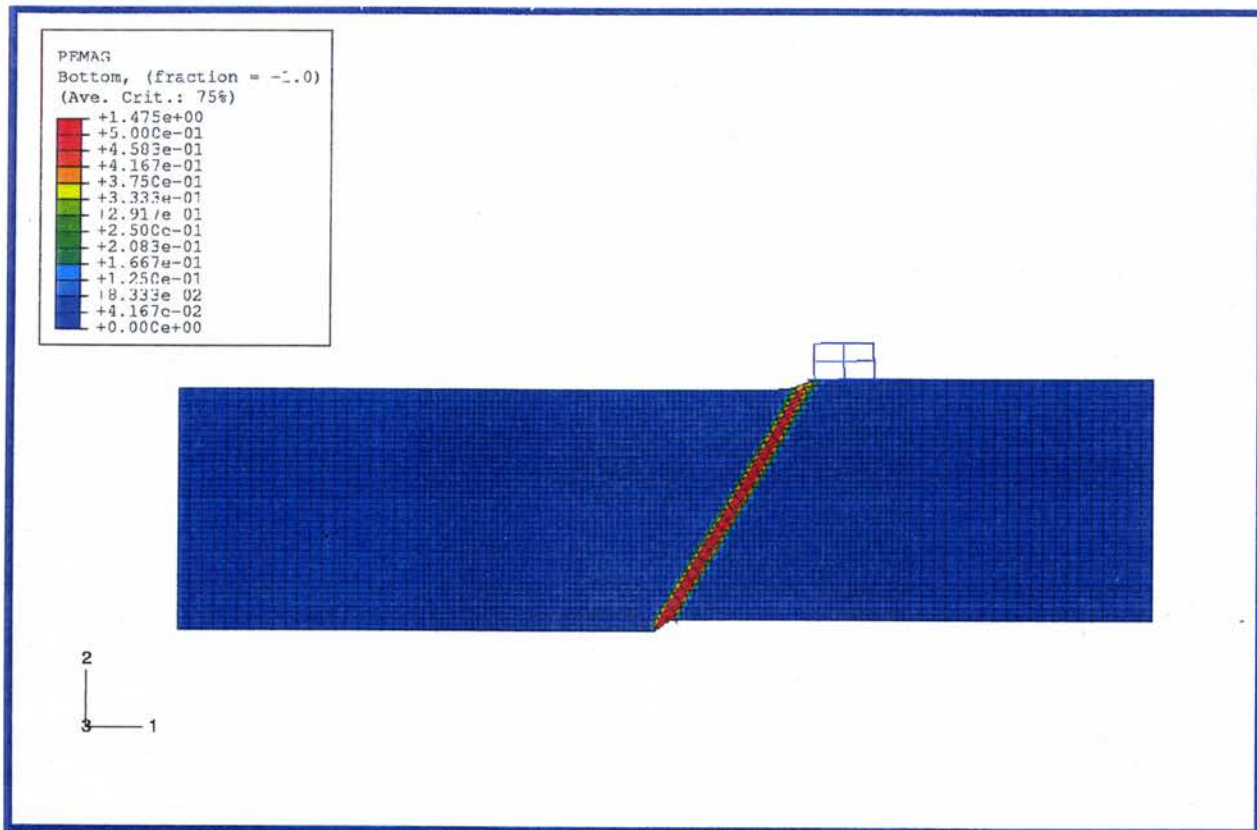
**Σχήμα 3.14** Διώροφο κτίριο με γενική κοιτόστρωση  $t = 0.5$  m, σε απόσταση 2 m από την επιφανειακή εκδήλωση του ρήγματος : Κλίση  $\beta$  και οριζόντιες παραμορφώσεις  $\varepsilon$  της επιφάνειας του εδάφους



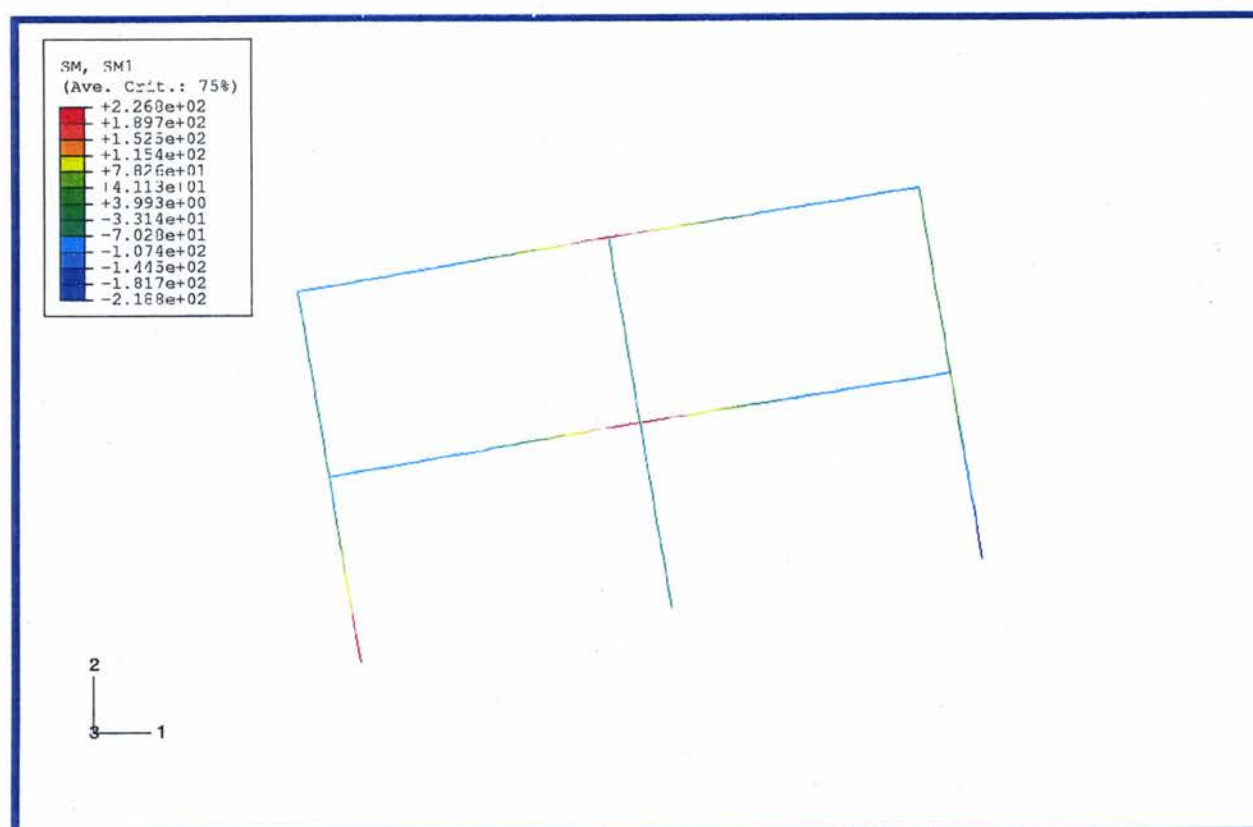
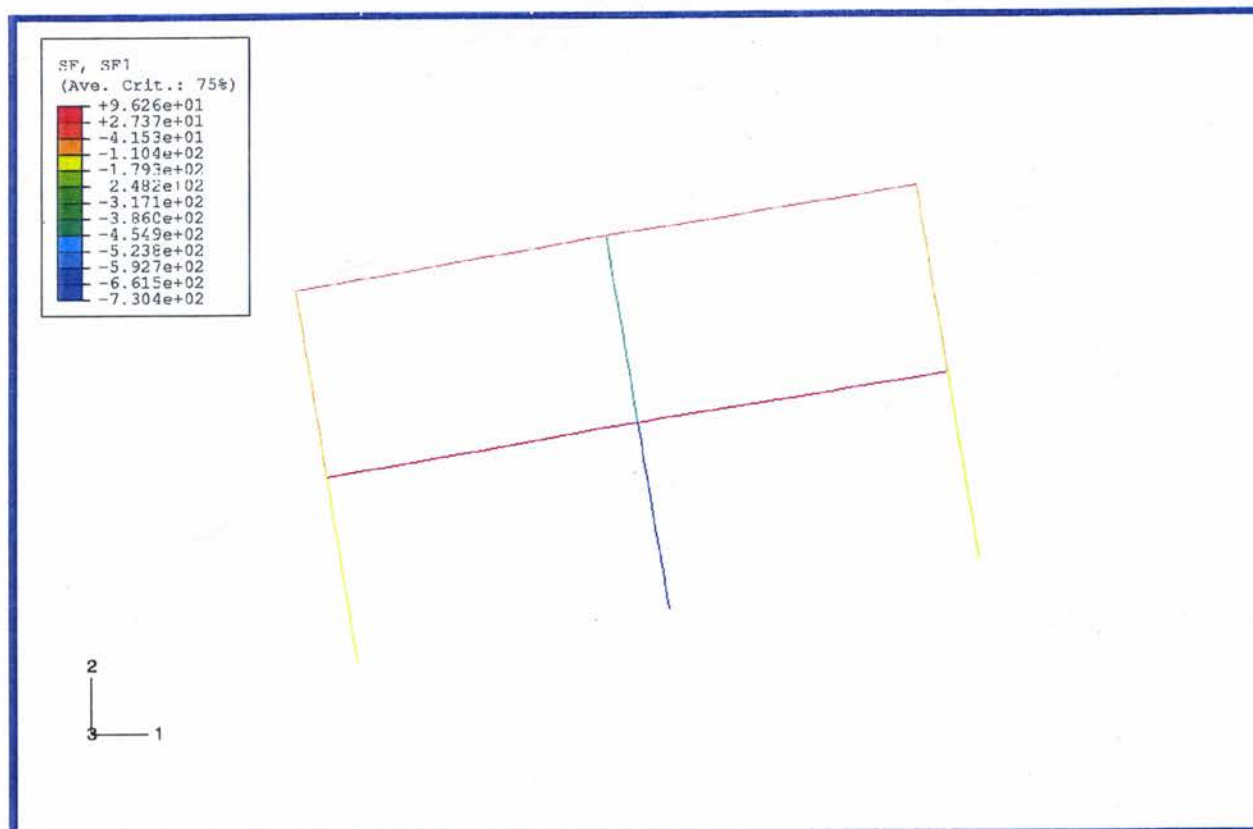


**Σχήμα 3.15** Διώροφο κτίριο με γενική κοιτόστρωση  $t = 0.5$  m, σε απόσταση 2 m από την επιφανειακή εκδήλωση του ρήγματος : Ισοϋψείς κατακορύφων μετακινήσεων

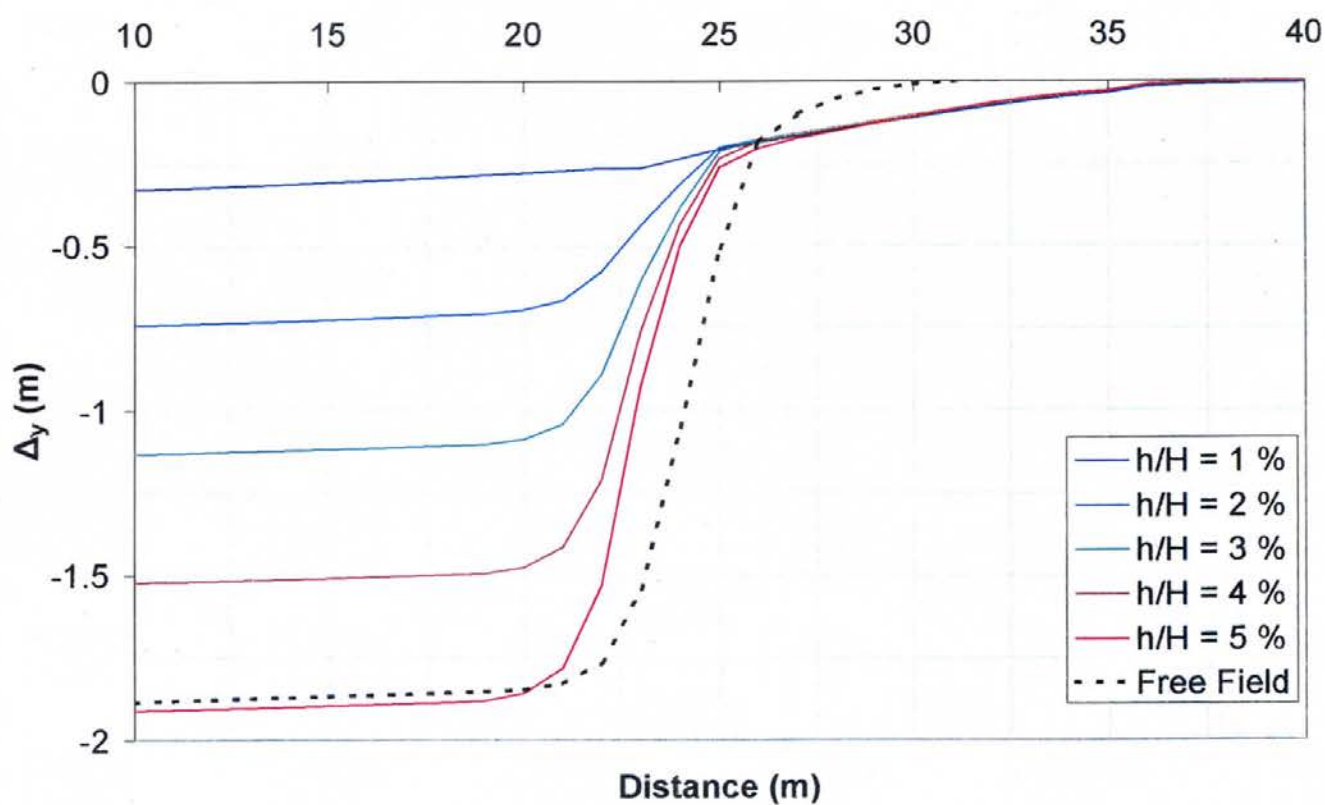
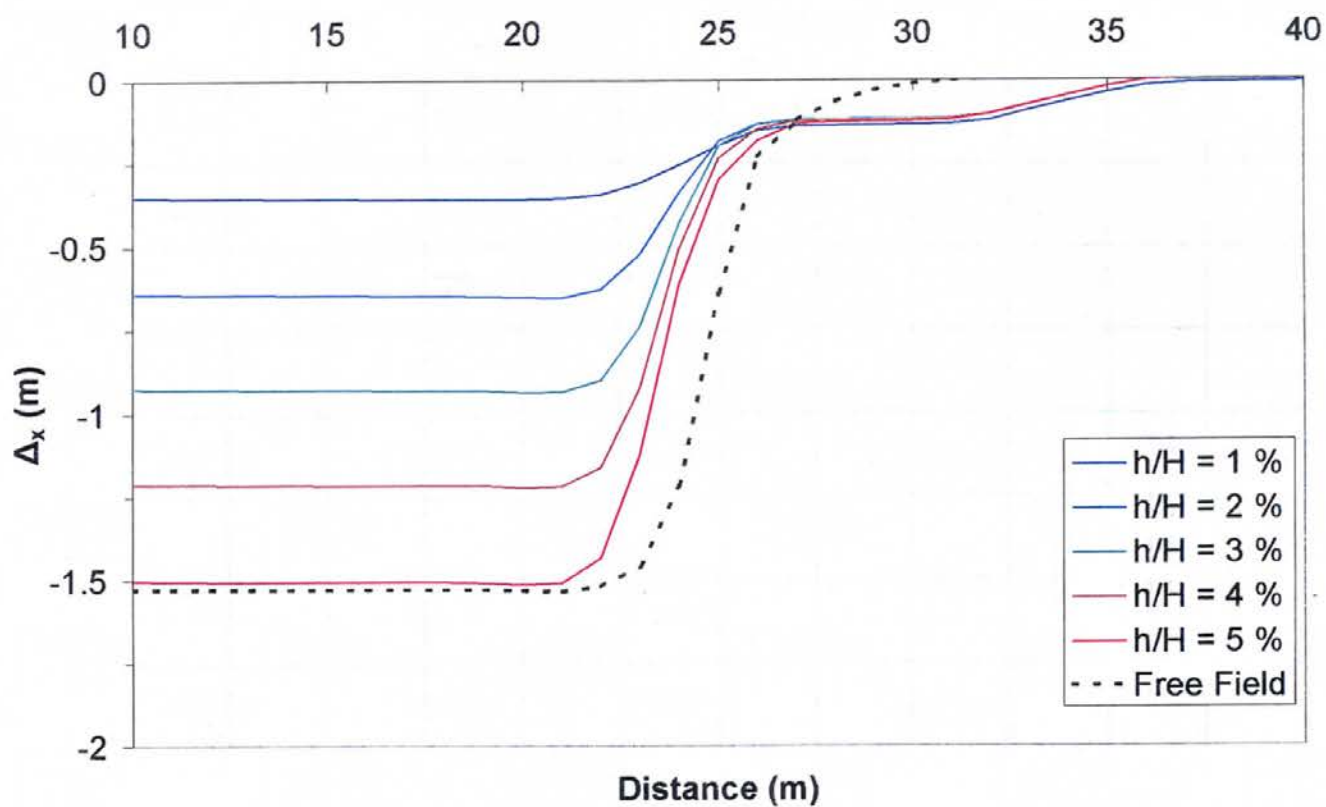




**Σχήμα 3.16** Διώροφο κτίριο με γενική κοιτόστρωση  $t = 0.5$  m, σε απόσταση 2 m από την επιφανειακή εκδήλωση του ρήγματος : Ισοϋψείς πλαστικών παραμορφώσεων

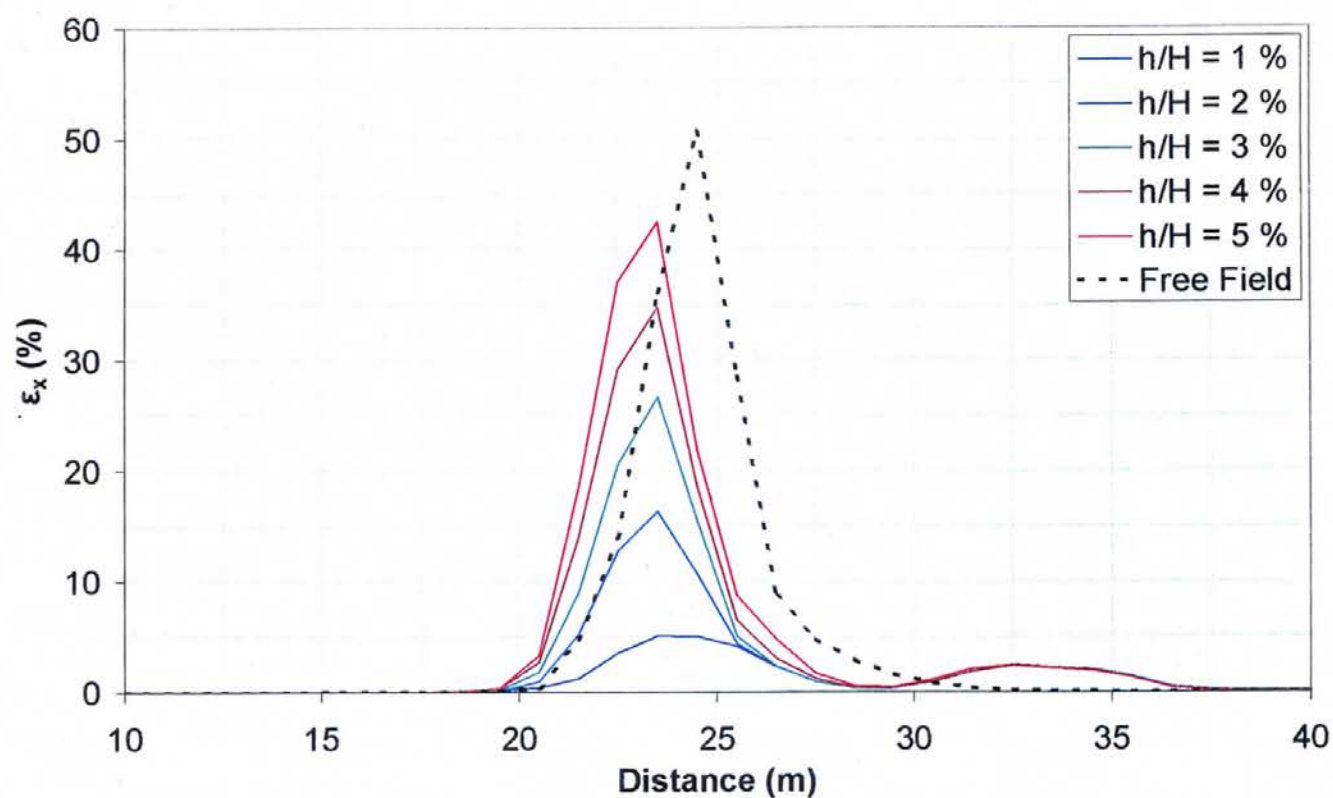
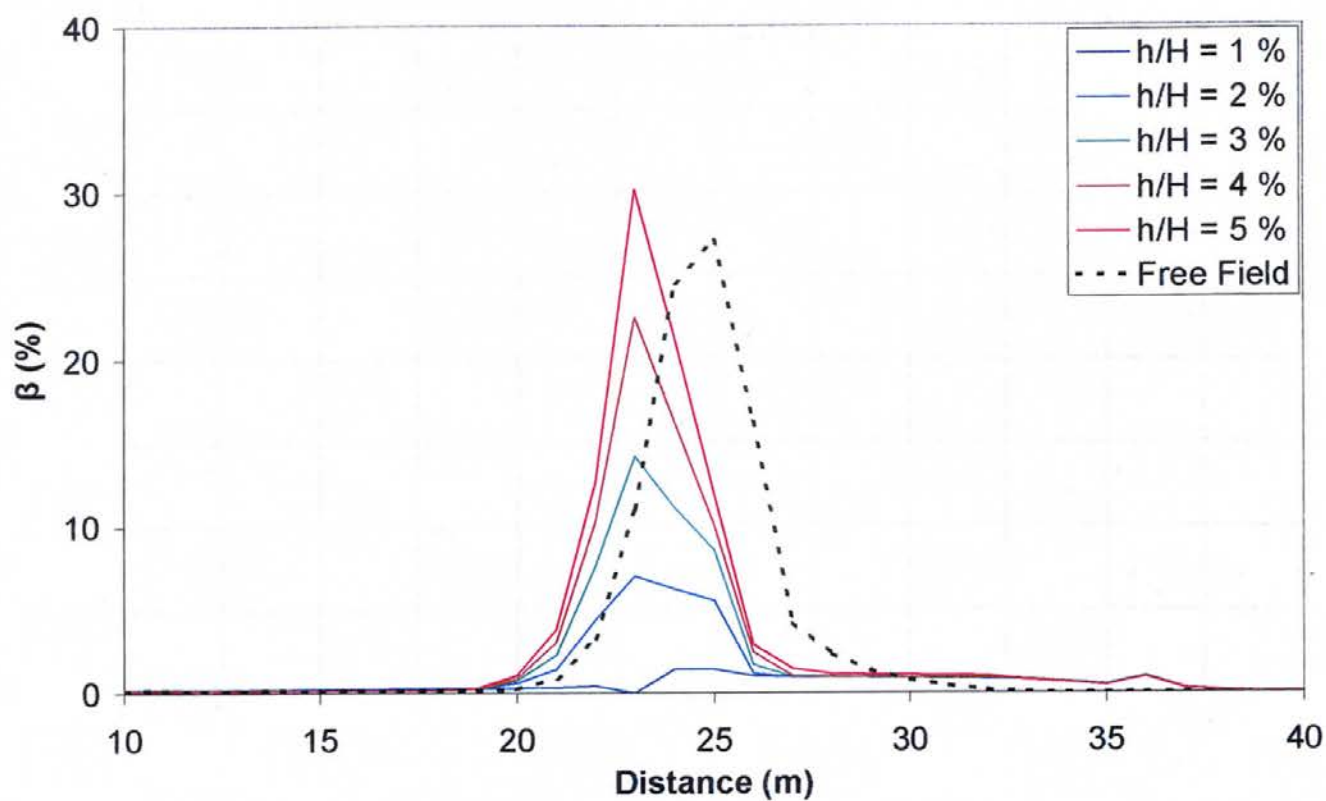


**Σχήμα 3.17** Διώροφο κτίριο με γενική κοιτόστρωση  $t = 0.5 \text{ m}$ , σε απόσταση  $2 \text{ m}$  από την επιφανειακή εκδήλωση του ρήγματος : Αναπτυσσόμενες αξονικές δυνάμεις και καμπτικές ροπές στην ανωδομή



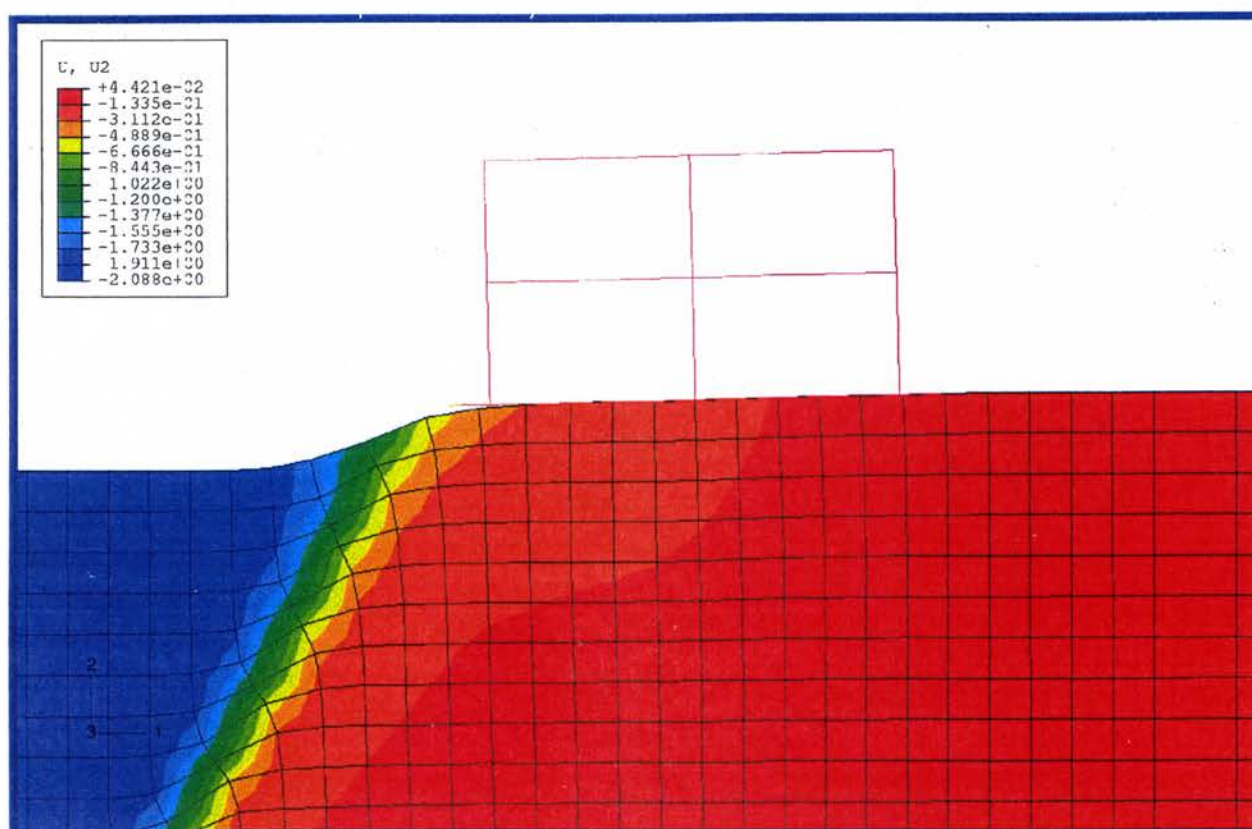
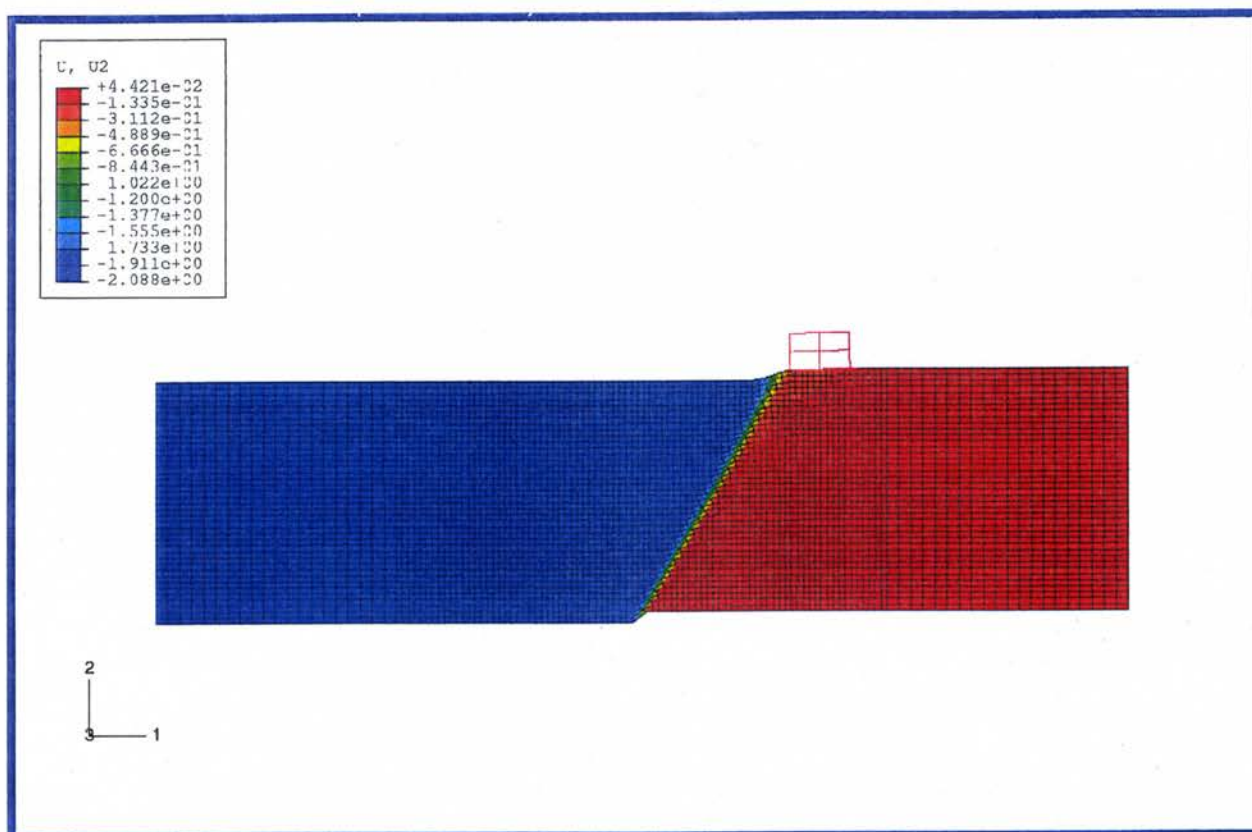
**Σχήμα 3.18** Διώροφο κτίριο με γενική κοιτόστρωση  $t = 1.0$  m, σε απόσταση 2 m από την επιφανειακή εκδήλωση του ρήγματος : Οριζόντιες και κατακόρυφες μετακινήσεις



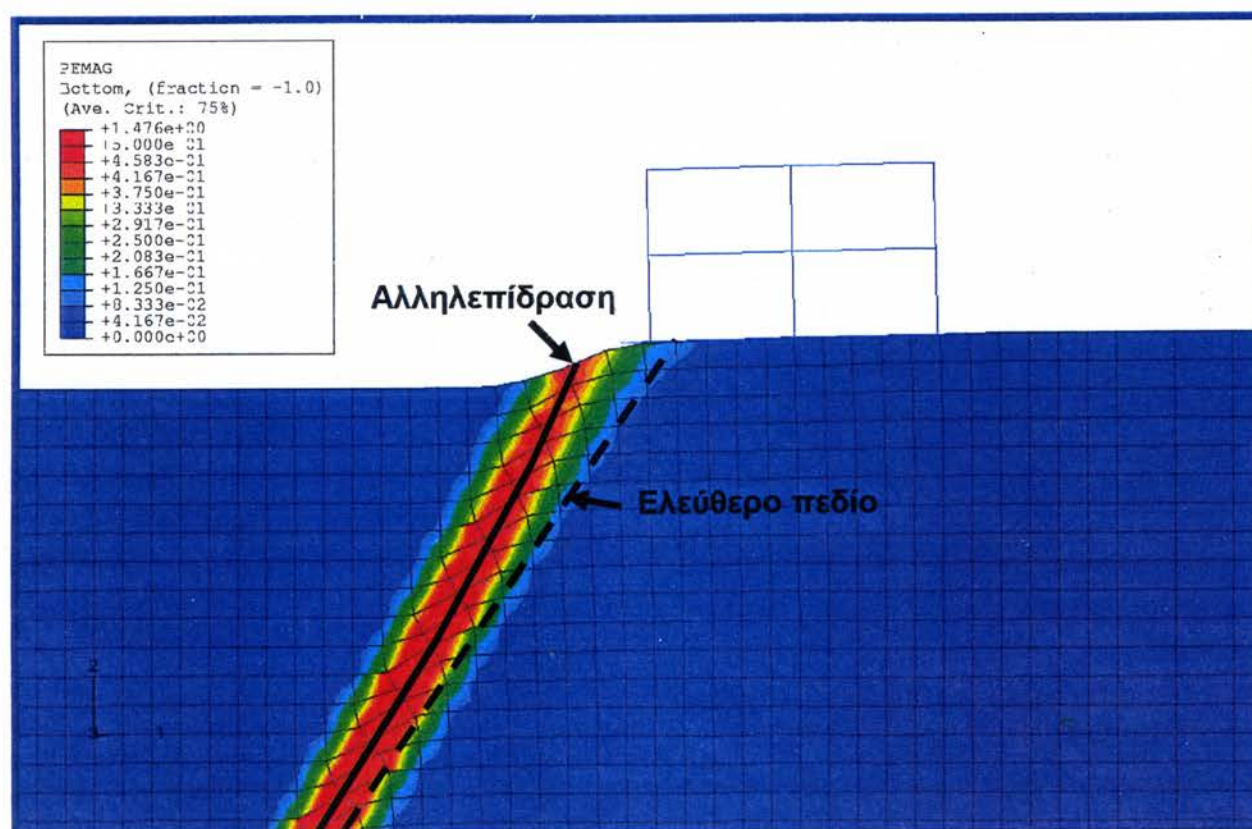
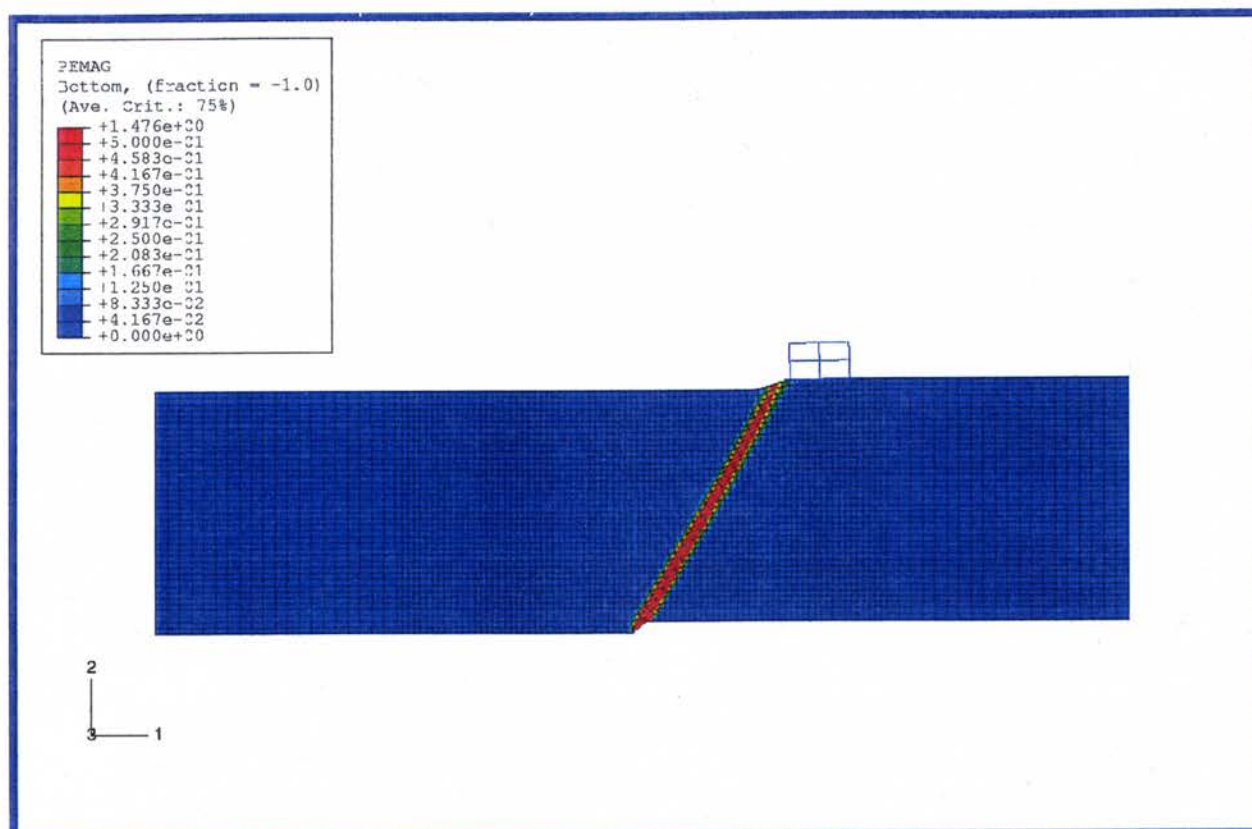


**Σχήμα 3.19** Διώροφο κτίριο με γενική κοιτόστρωση  $t = 1.0$  m, σε απόσταση 2 m από την επιφανειακή εκδήλωση του ρήγματος : Κλίση  $\beta$  και οριζόντιες παραμορφώσεις  $\epsilon$  της επιφάνειας του εδάφους



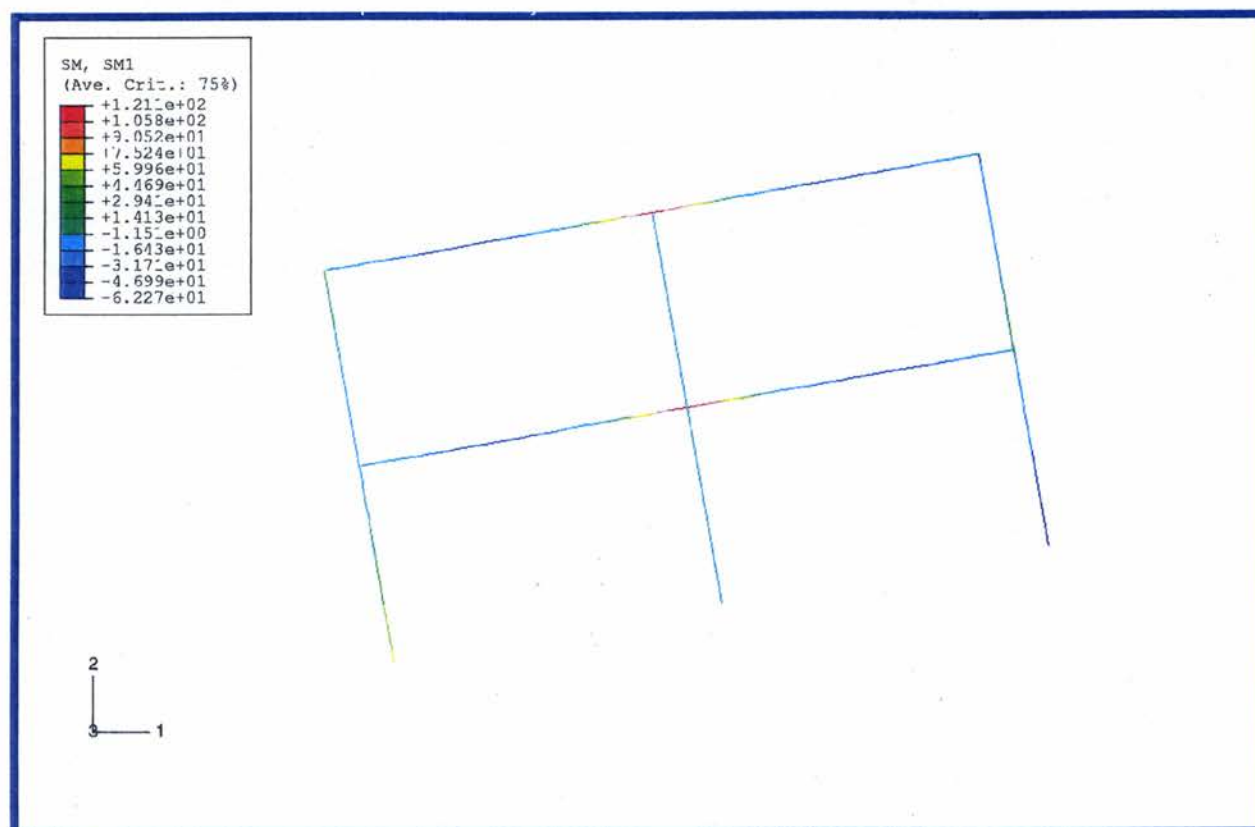
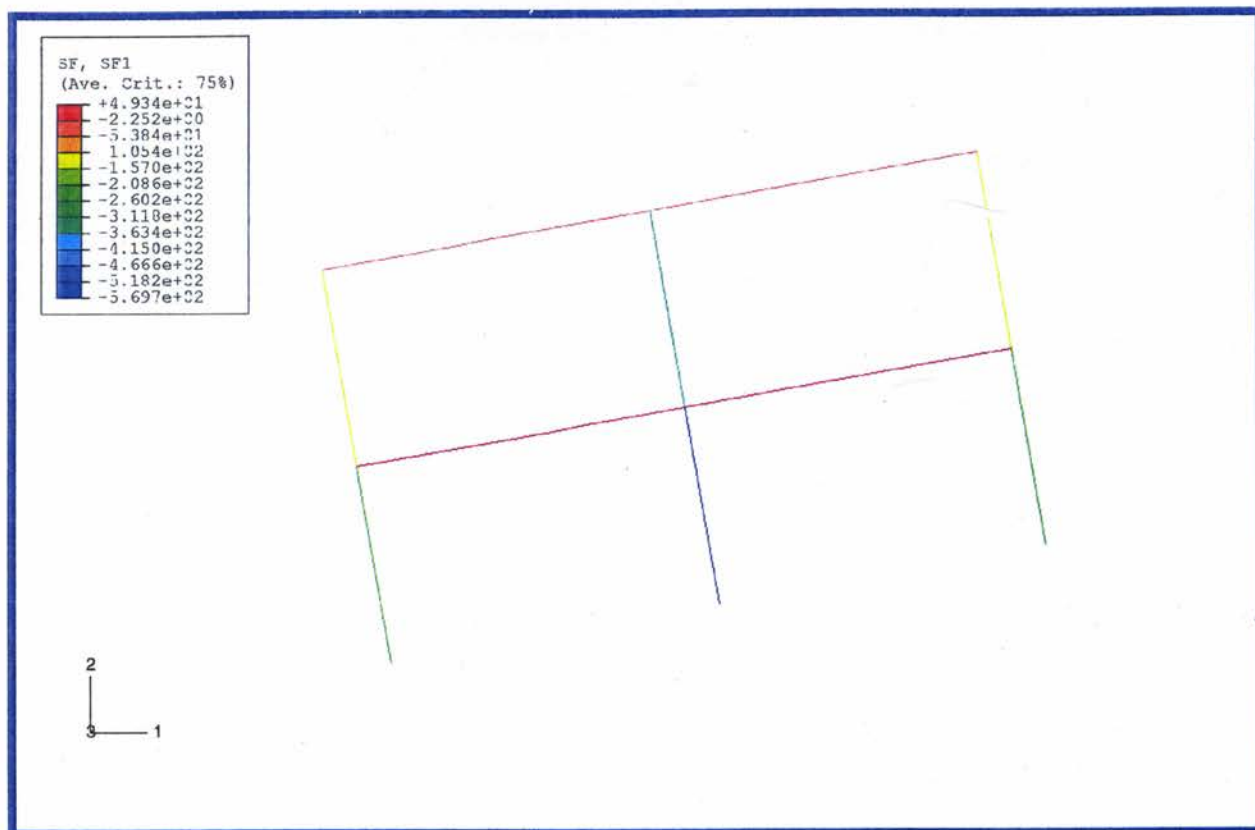


**Σχήμα 3.20** Διώροφο κτίριο με γενική κοιτόστρωση  $t = 1.0$  m, σε απόσταση 2 m από την επιφανειακή εκδήλωση του ρήγματος : Ισοϋψείς κατακορύφων μετακινήσεων



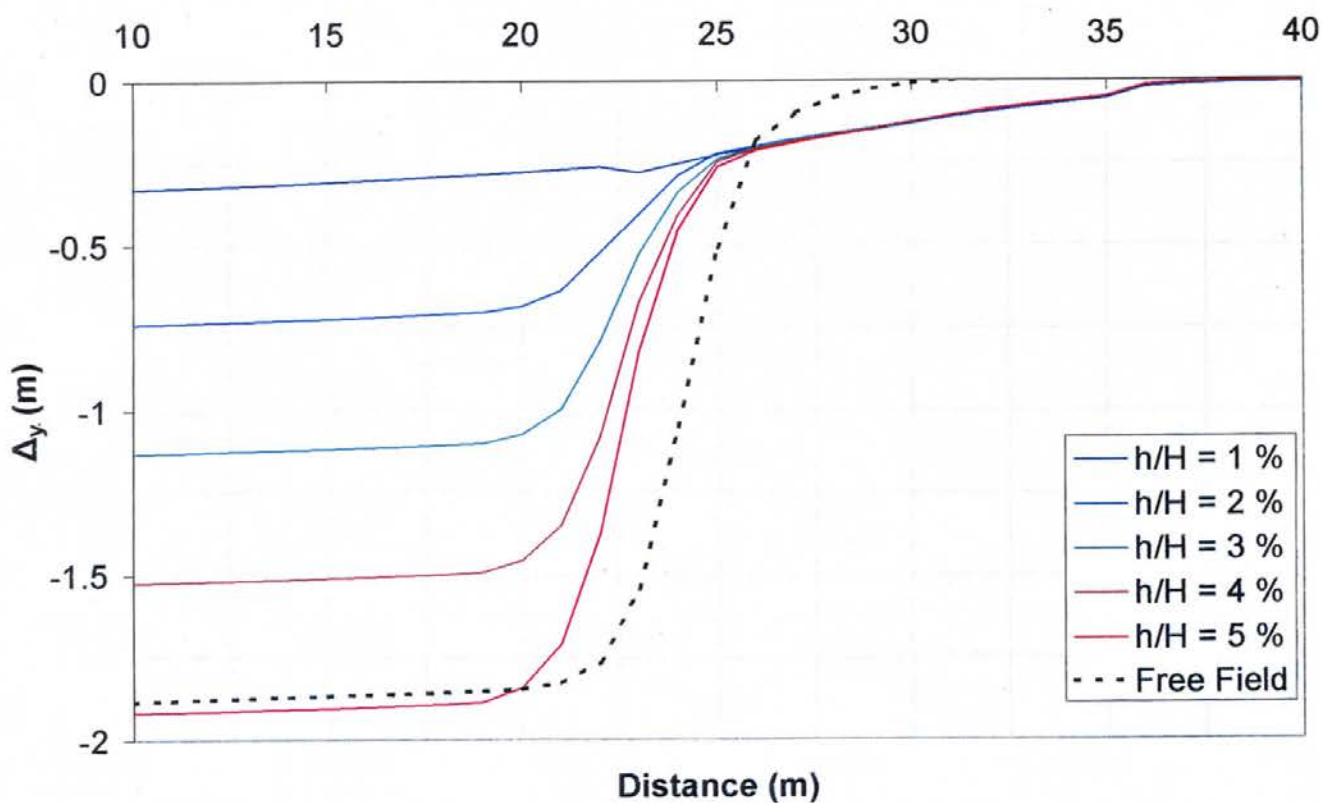
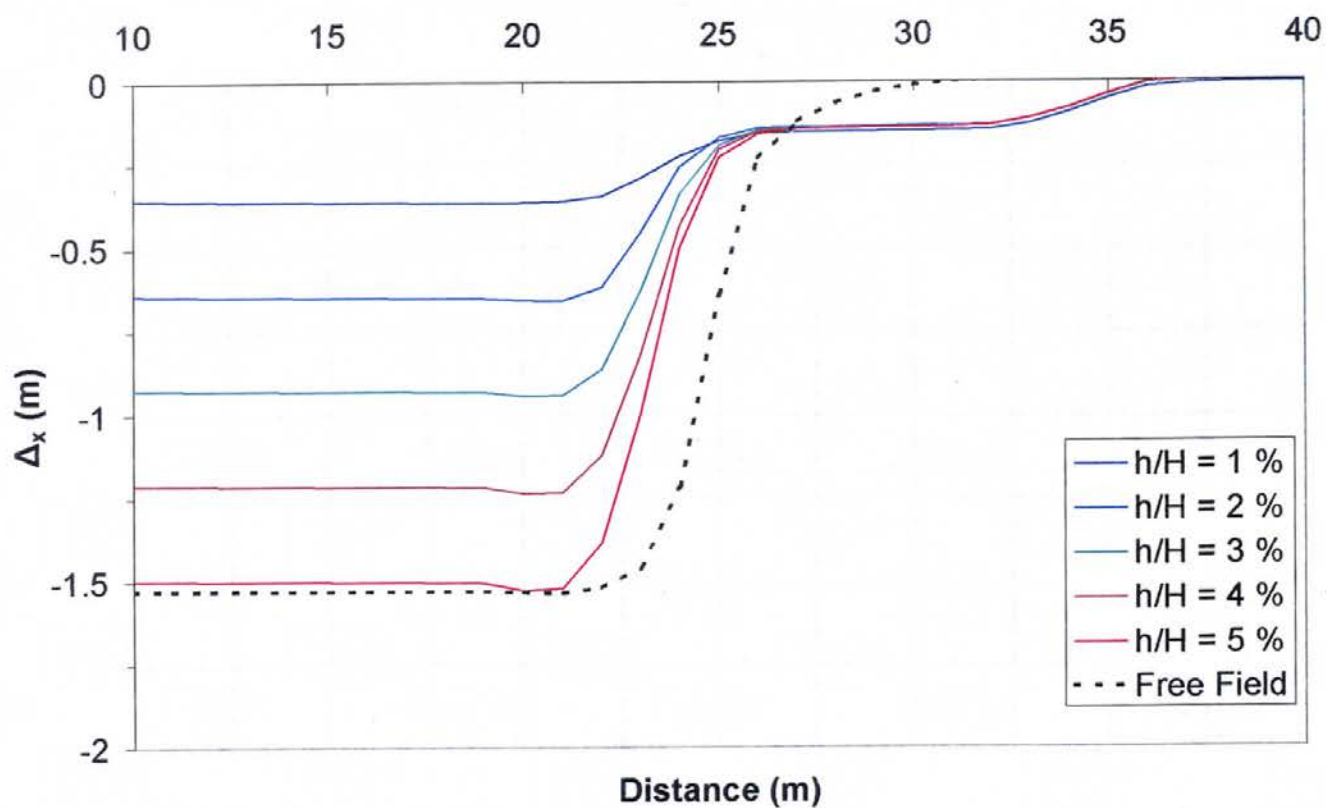
**Σχήμα 3.21** Διώροφο κτίριο με γενική κοιτόστρωση  $t = 1.0$  m, σε απόσταση 2 m από την επιφανειακή εκδήλωση του ρήγματος : Ισοϋψείς πλαστικών παραμορφώσεων



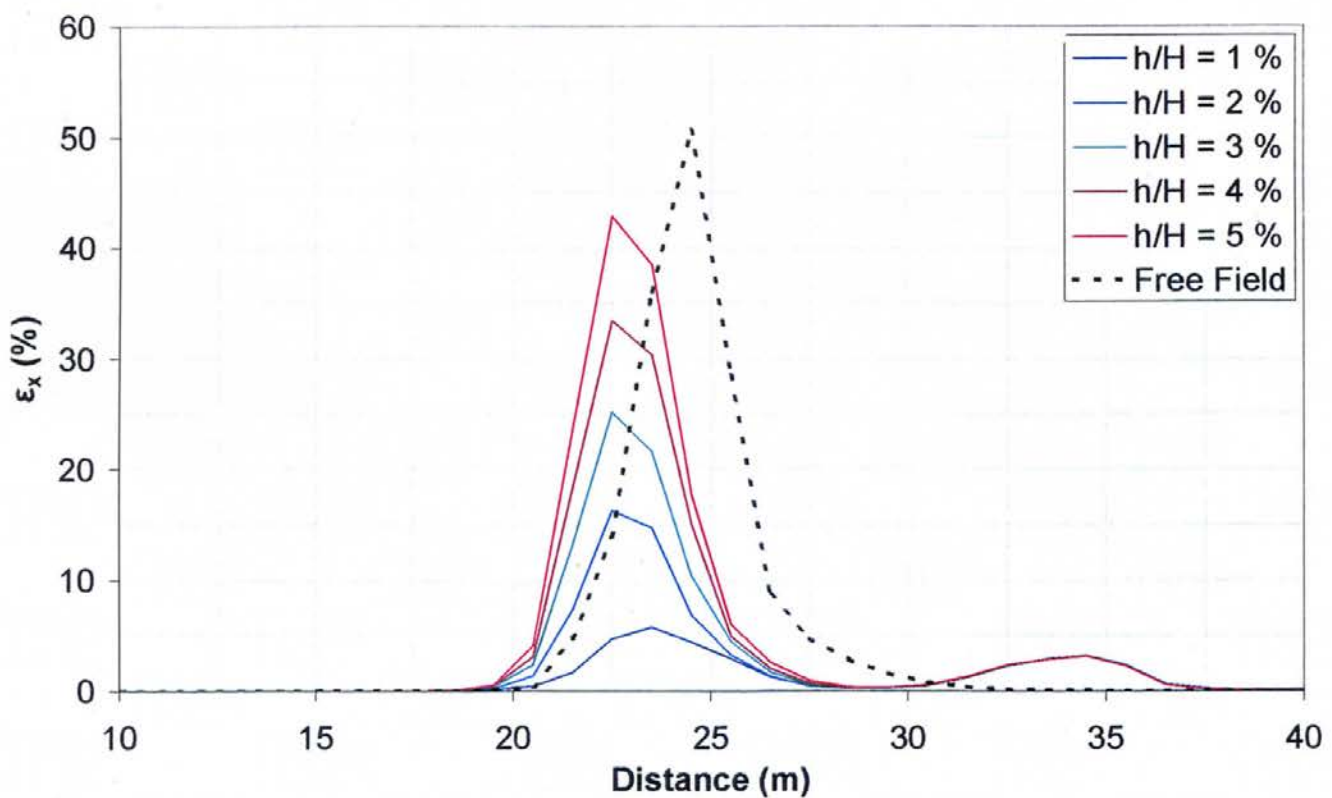
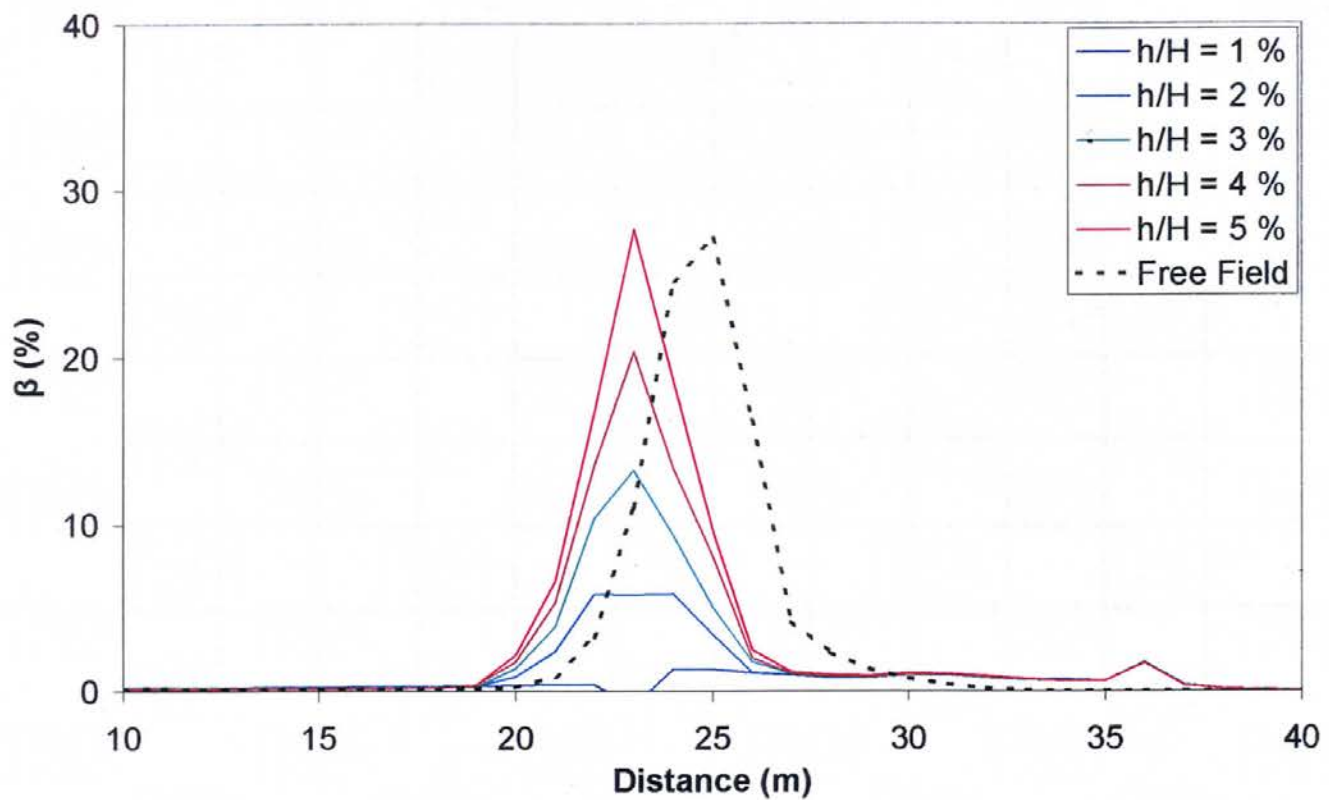


**Σχήμα 3.22** Διώροφο κτίριο με γενική κοιτόστρωση  $t = 1.0$  m, σε απόσταση 2 m από την επιφανειακή εκδήλωση του ρήγματος : Αναπτυσσόμενες αξονικές δυνάμεις και καμπτικές ροπές στην ανωδομή

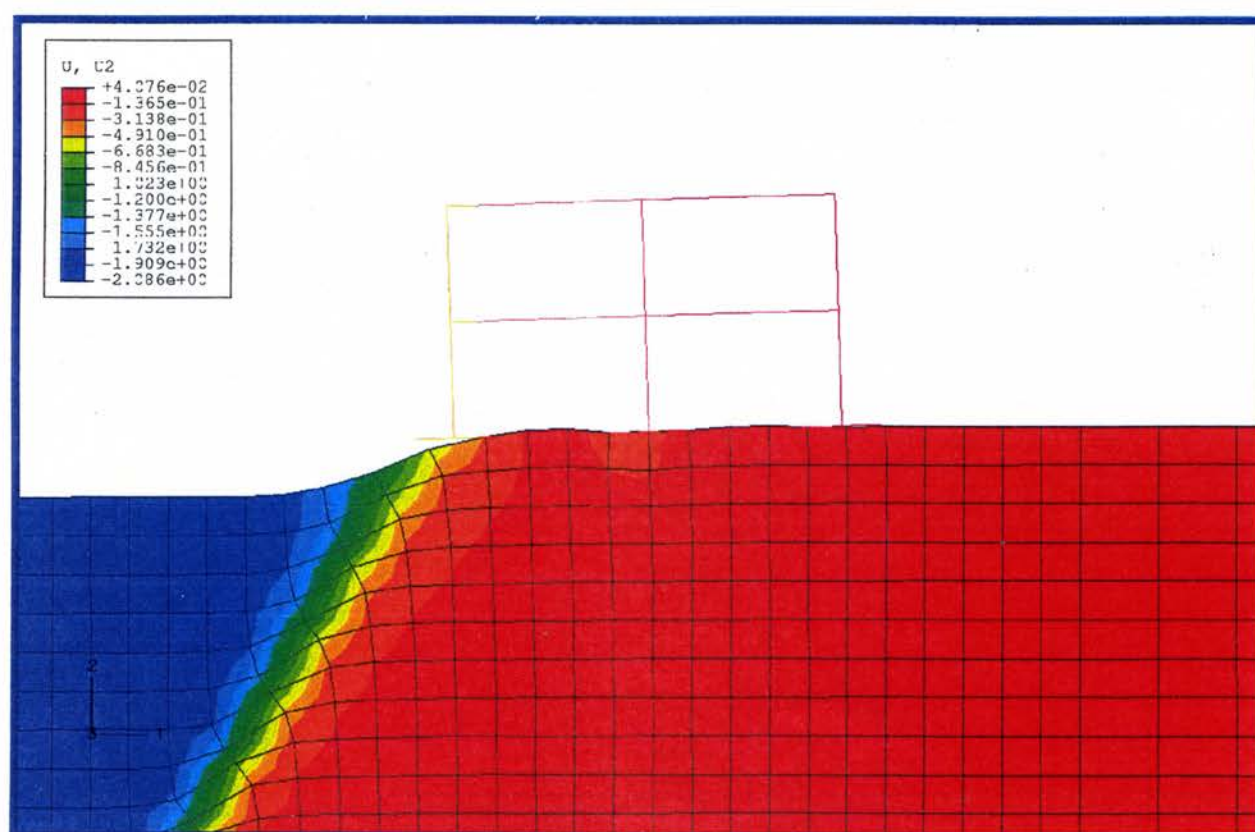
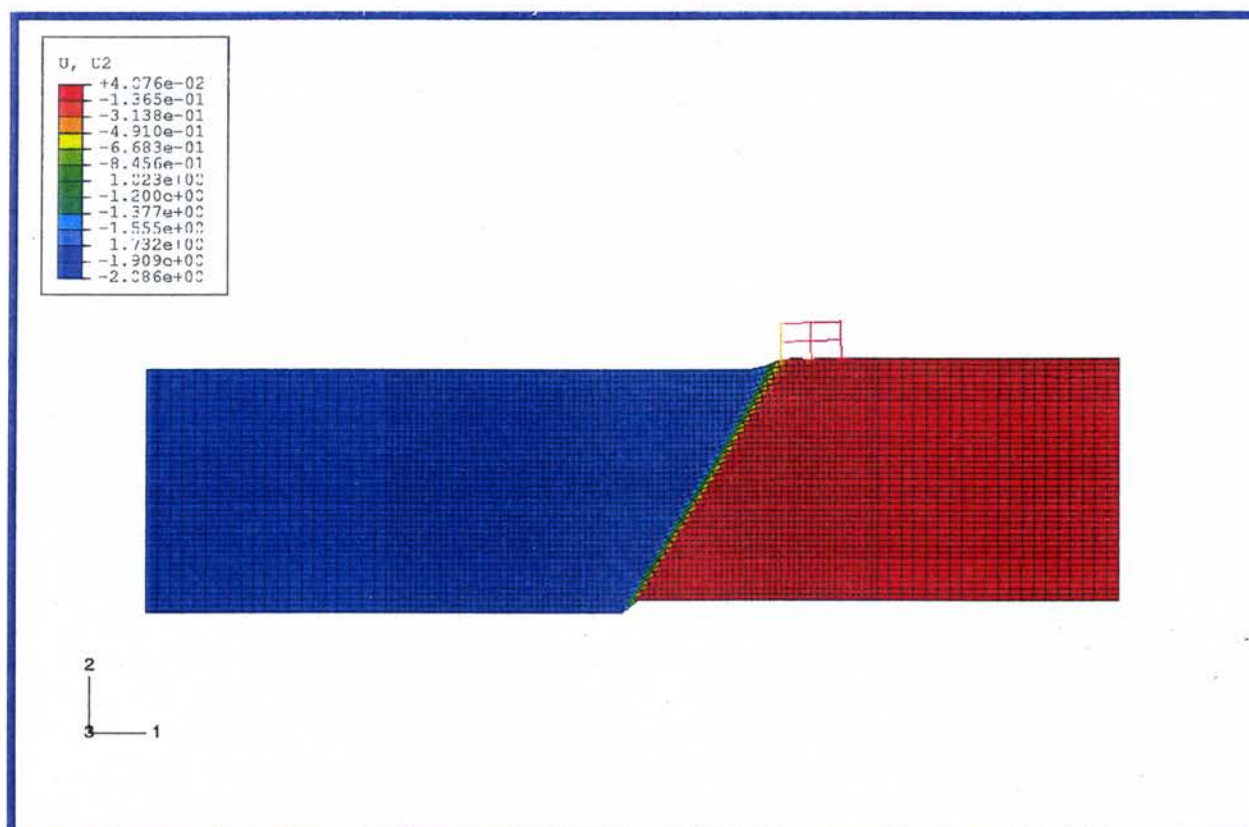




**Σχήμα 3.23** Διώροφο κτίριο με μεμονωμένα θεμέλια πλάτους 2.0 m, σε απόσταση 2 m από την επιφανειακή εκδήλωση του ρήγματος : Οριζόντιες και κατακόρυφες μετακινήσεις

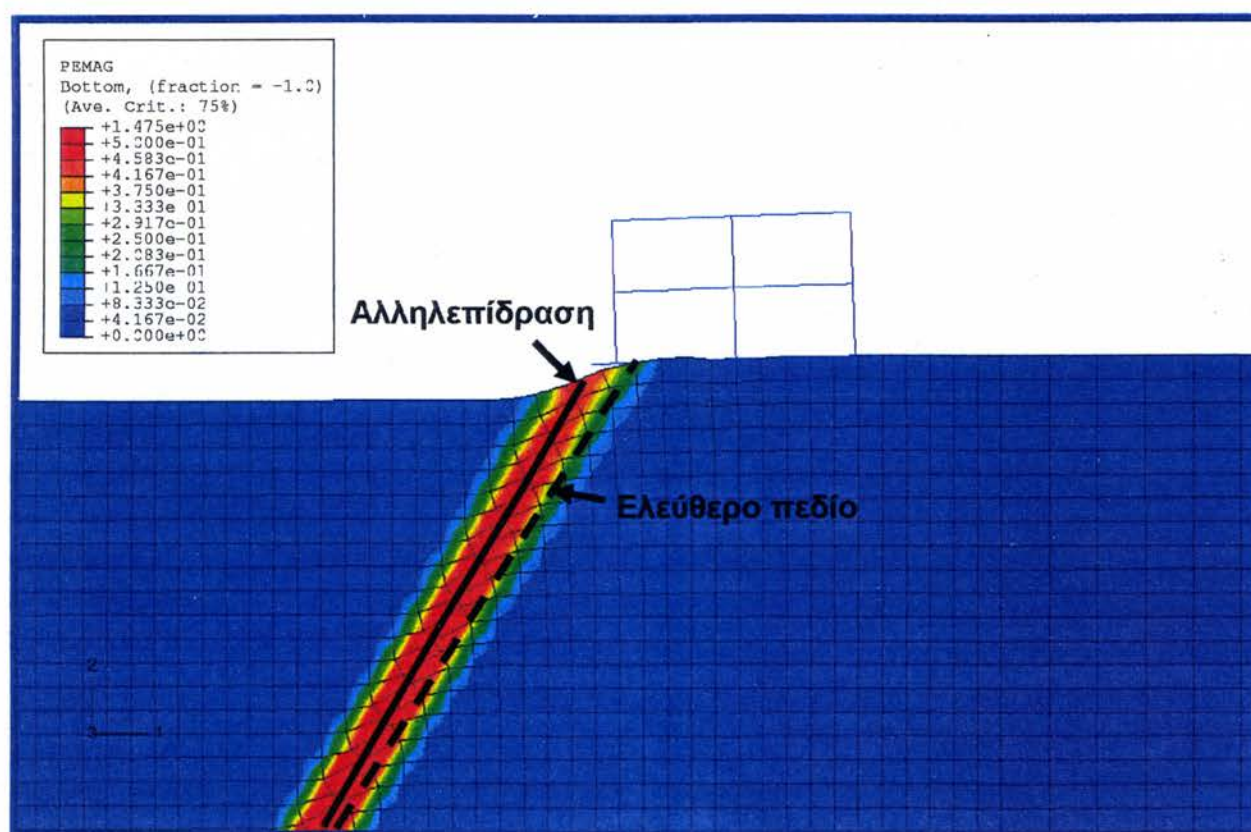
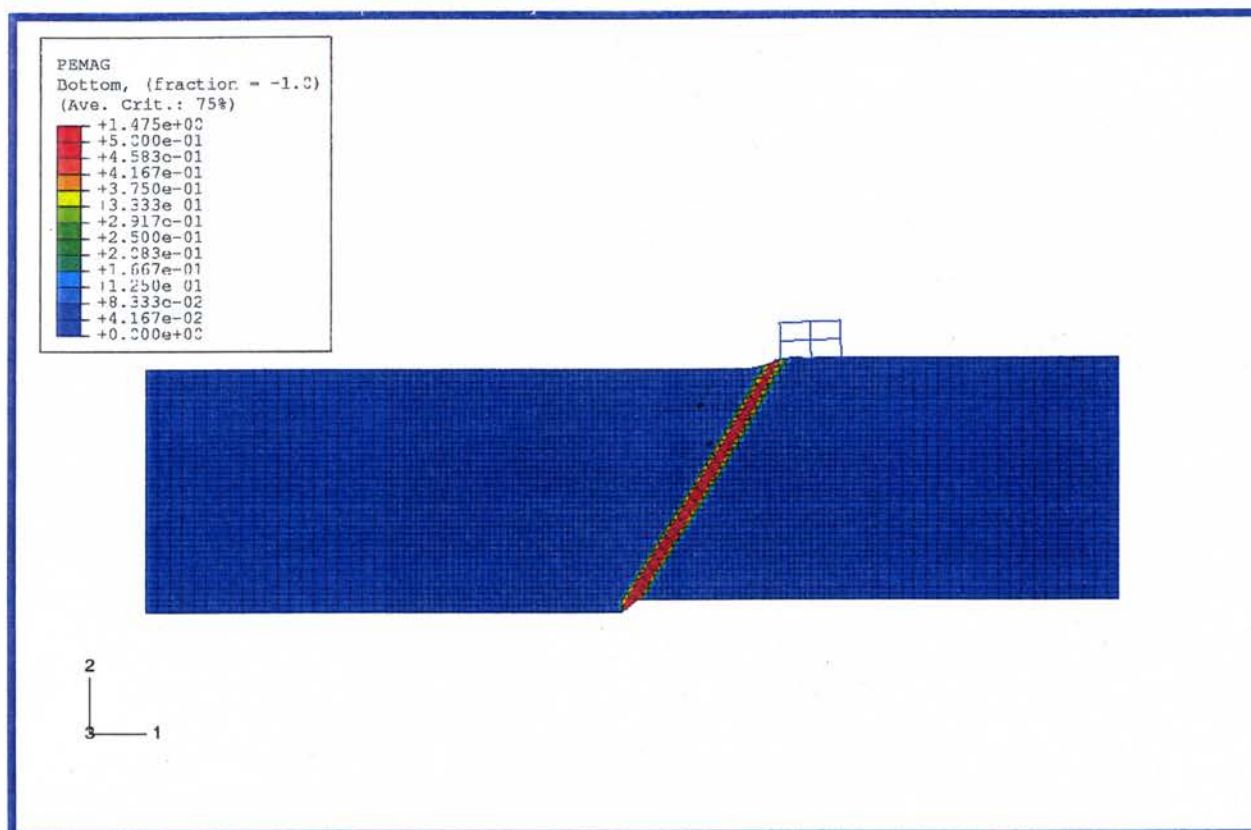


**Σχήμα 3.24** Διώροφο κτίριο με μεμονωμένα θεμέλια πλάτους 2.0 m, σε απόσταση 2 m από την επιφανειακή εκδήλωση του ρήγματος : Κλίση  $\beta$  και οριζόντιες παραμορφώσεις  $\varepsilon$  της επιφάνειας του εδάφους

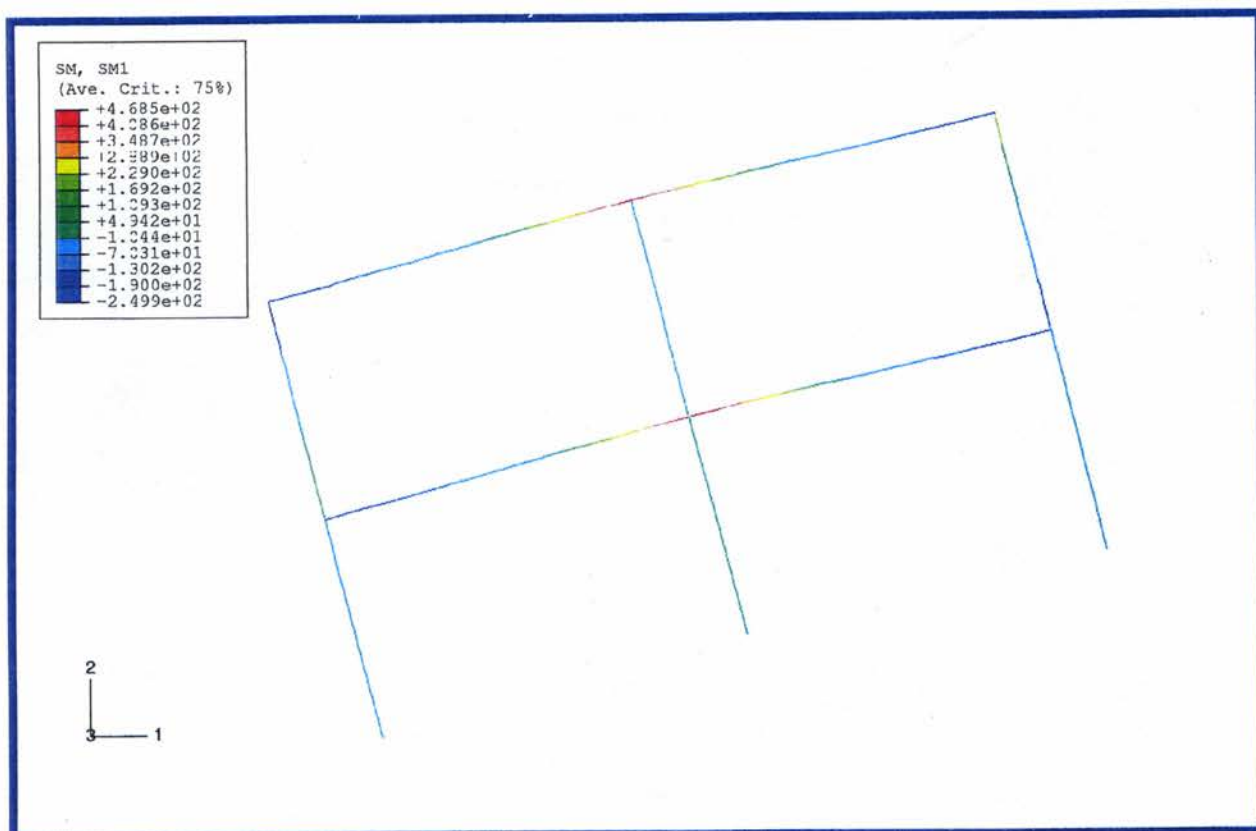
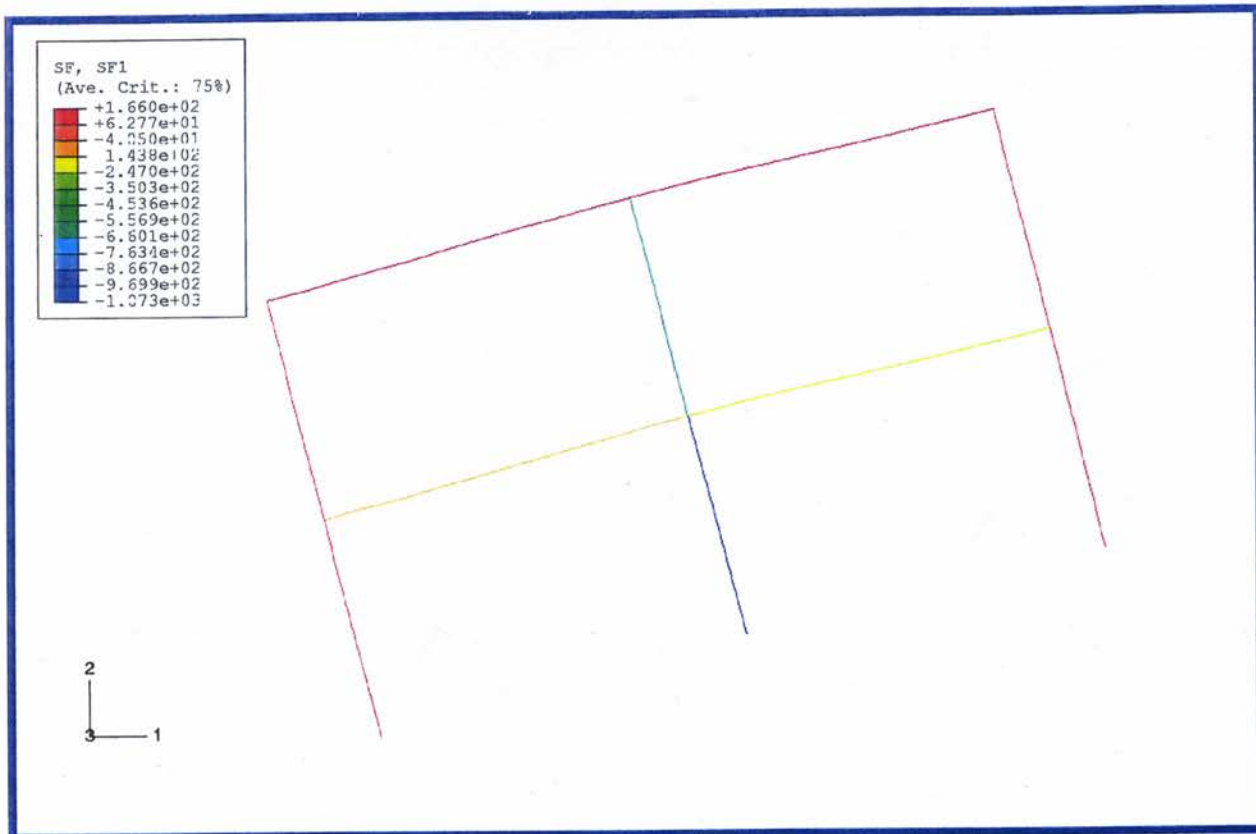


**Σχήμα 3.25** Διώροφο κτίριο με μεμονωμένα θεμέλια πλάτους 2.0 m, σε απόσταση 2 m από την επιφανειακή εκδήλωση του ρήγματος : Ισοϋψείς κατακορύφων μετακινήσεων

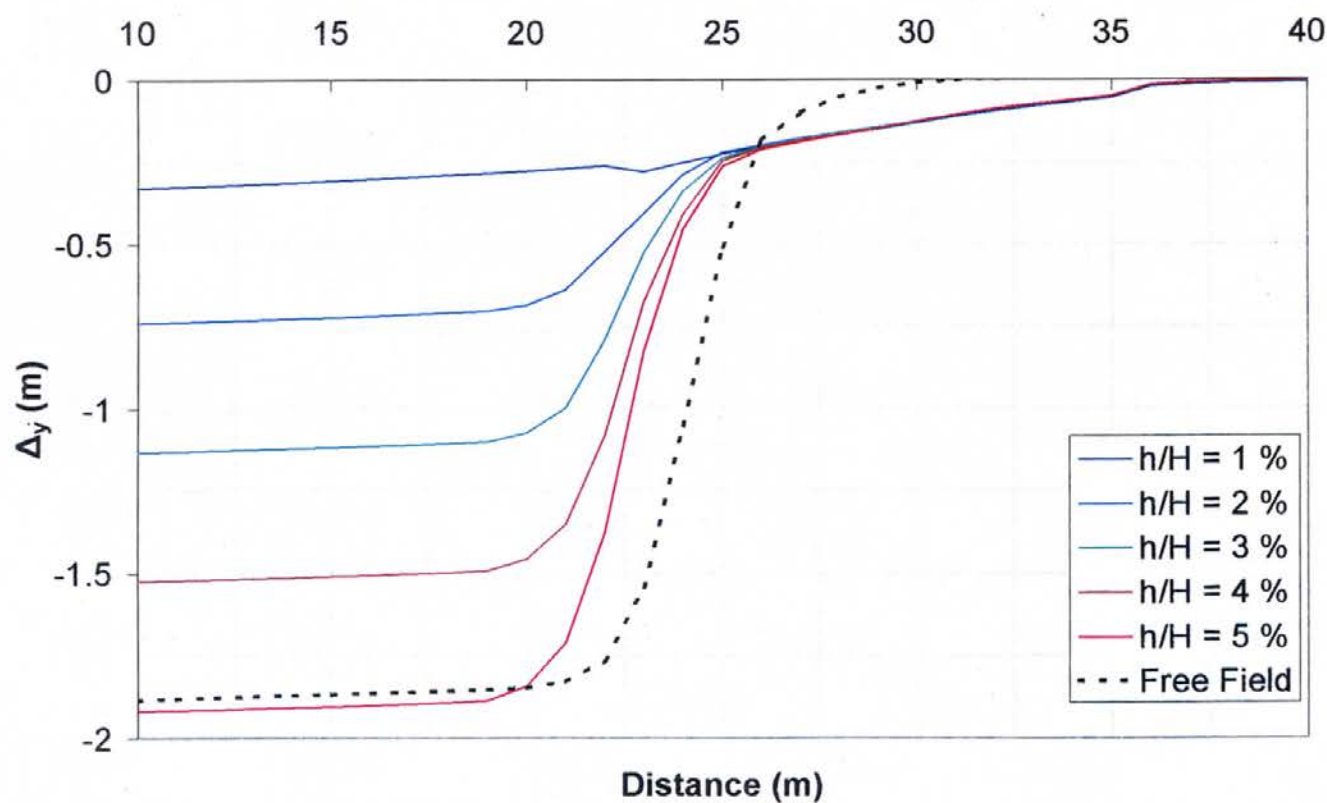
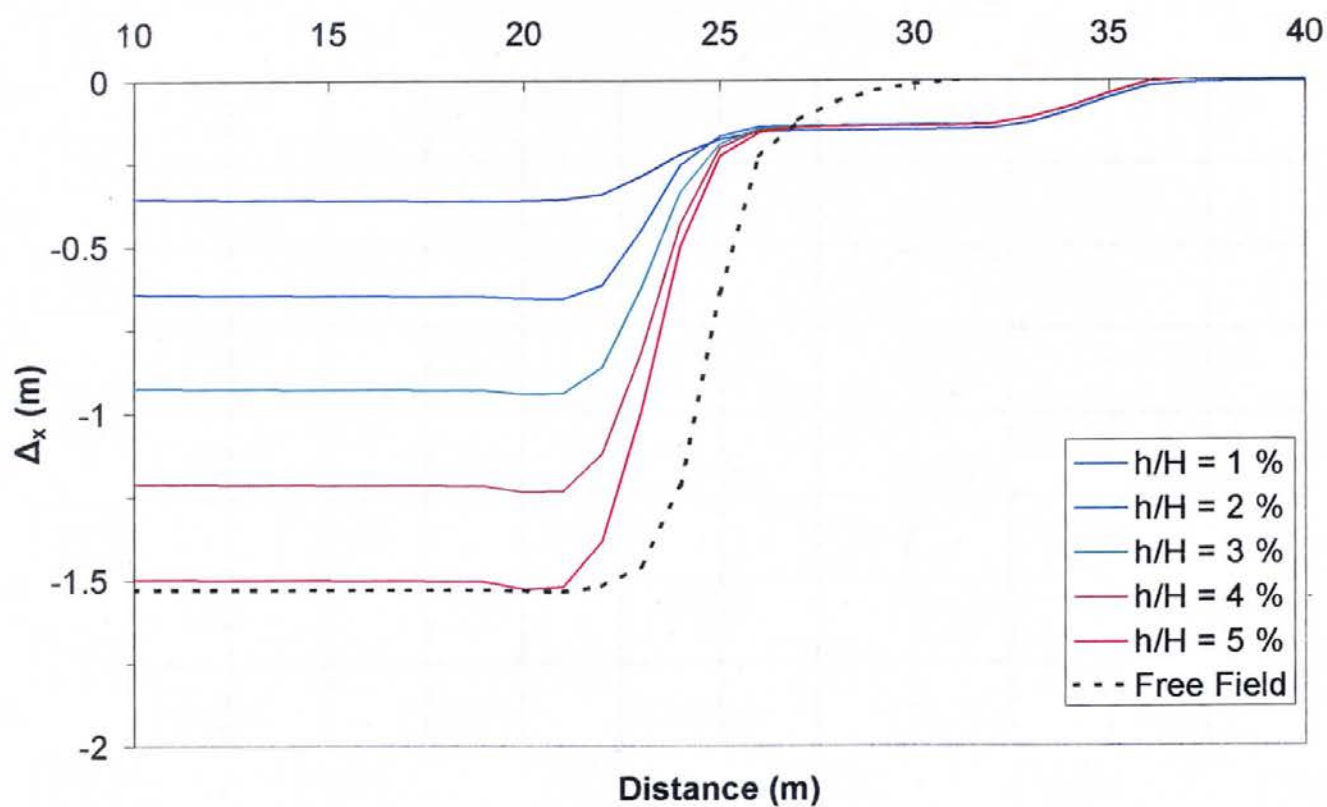




**Σχήμα 3.26** Διώροφο κτίριο με μεμονωμένα θεμέλια πλάτους 2.0 m, σε απόσταση 2 m από την επιφανειακή εκδήλωση του ρήγματος : Ισοϋψείς πλαστικών παραμορφώσεων

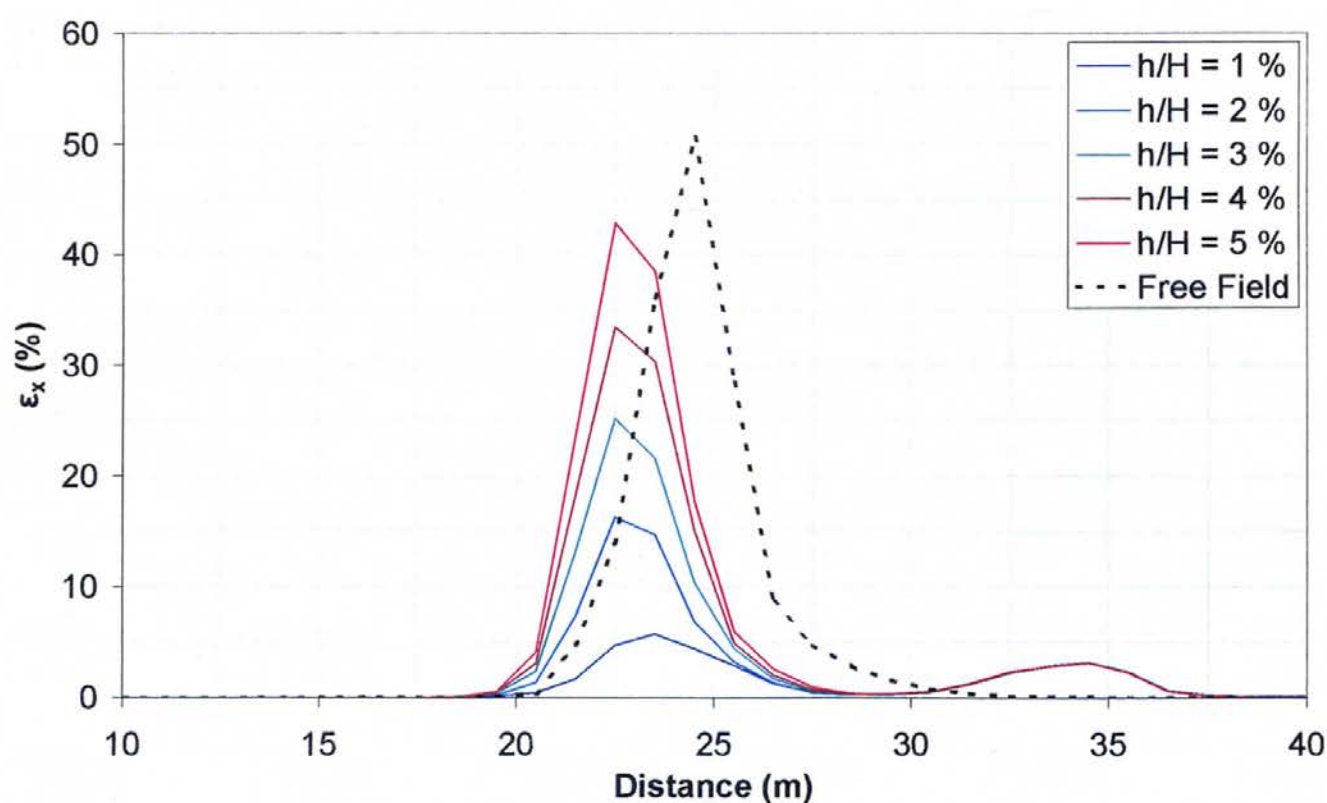
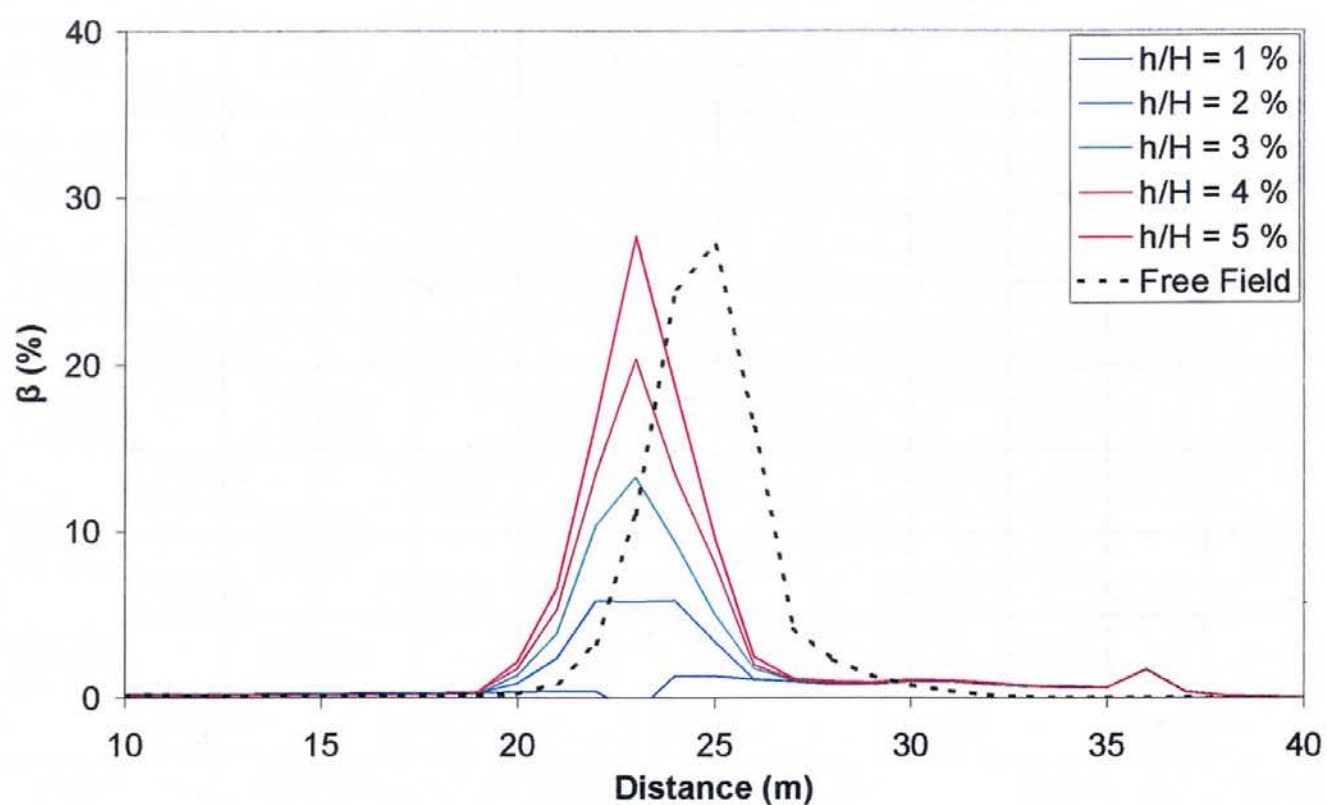


**Σχήμα 3.27** Διώροφο κτίριο με μεμονωμένα θεμέλια πλάτους 2.0 m, σε απόσταση 2 m από την επιφανειακή εκδήλωση του ρήγματος : Αναπτυσσόμενες αξονικές δυνάμεις και καμπτικές ροπές στην ανωδομή

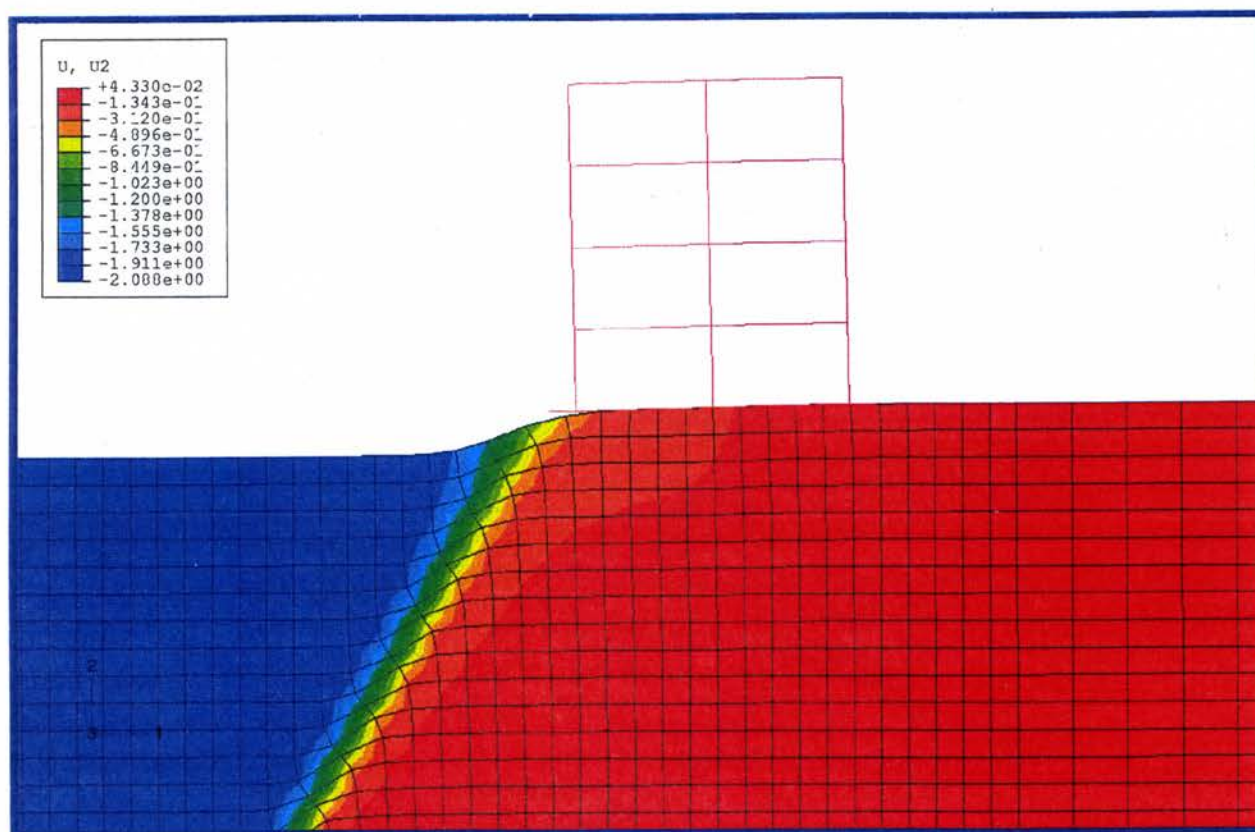
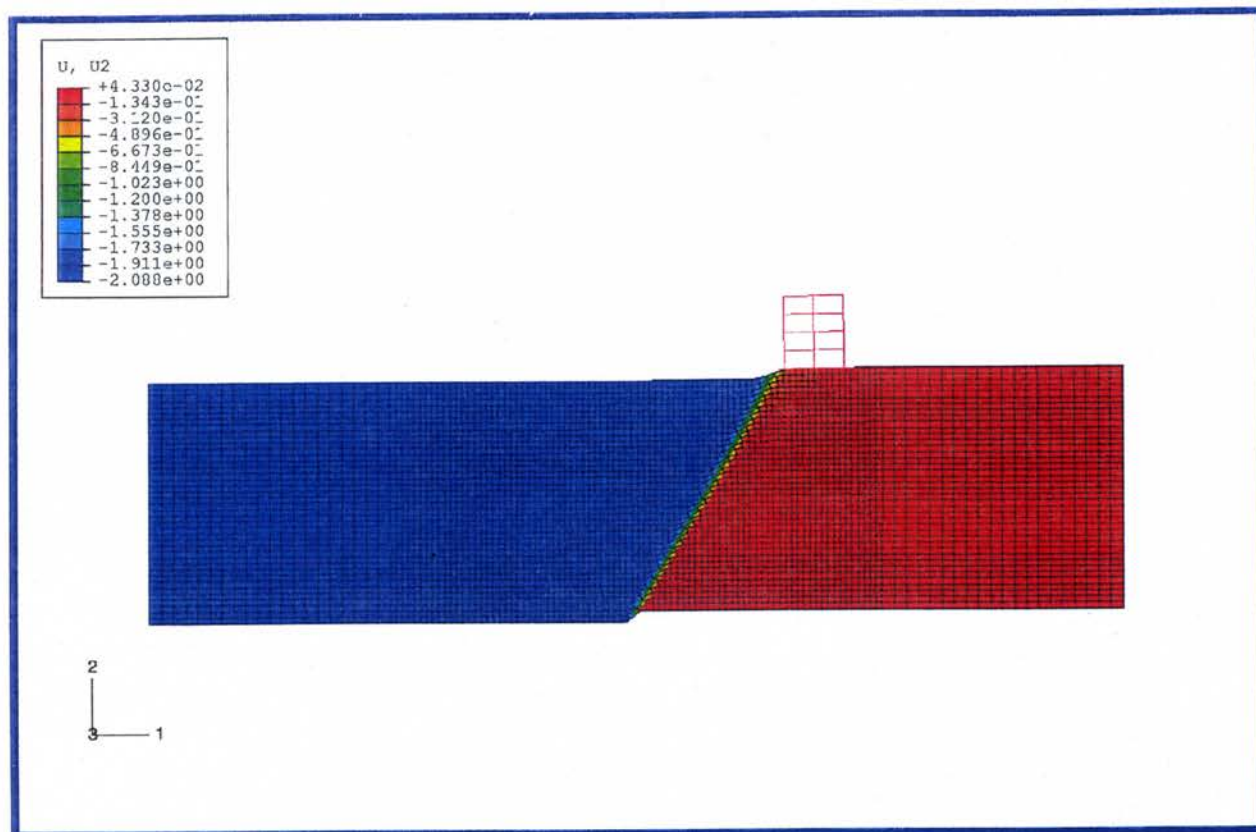


**Σχήμα 3.28** Τετραώροφο κτίριο με γενική κοιτόστρωση  $t = 0.2$  m, σε απόσταση 2 m από την επιφανειακή εκδήλωση του ρήγματος : Οριζόντιες και κατακόρυφες μετακινήσεις



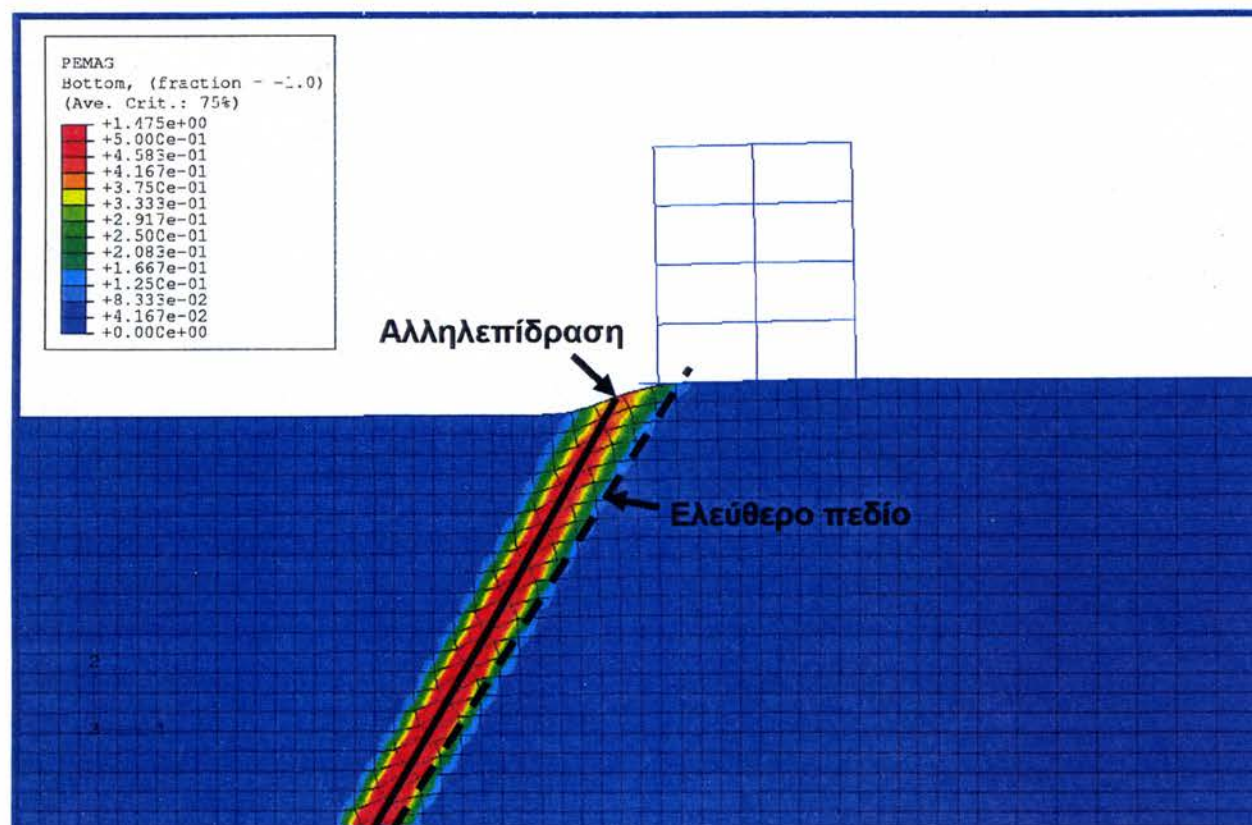
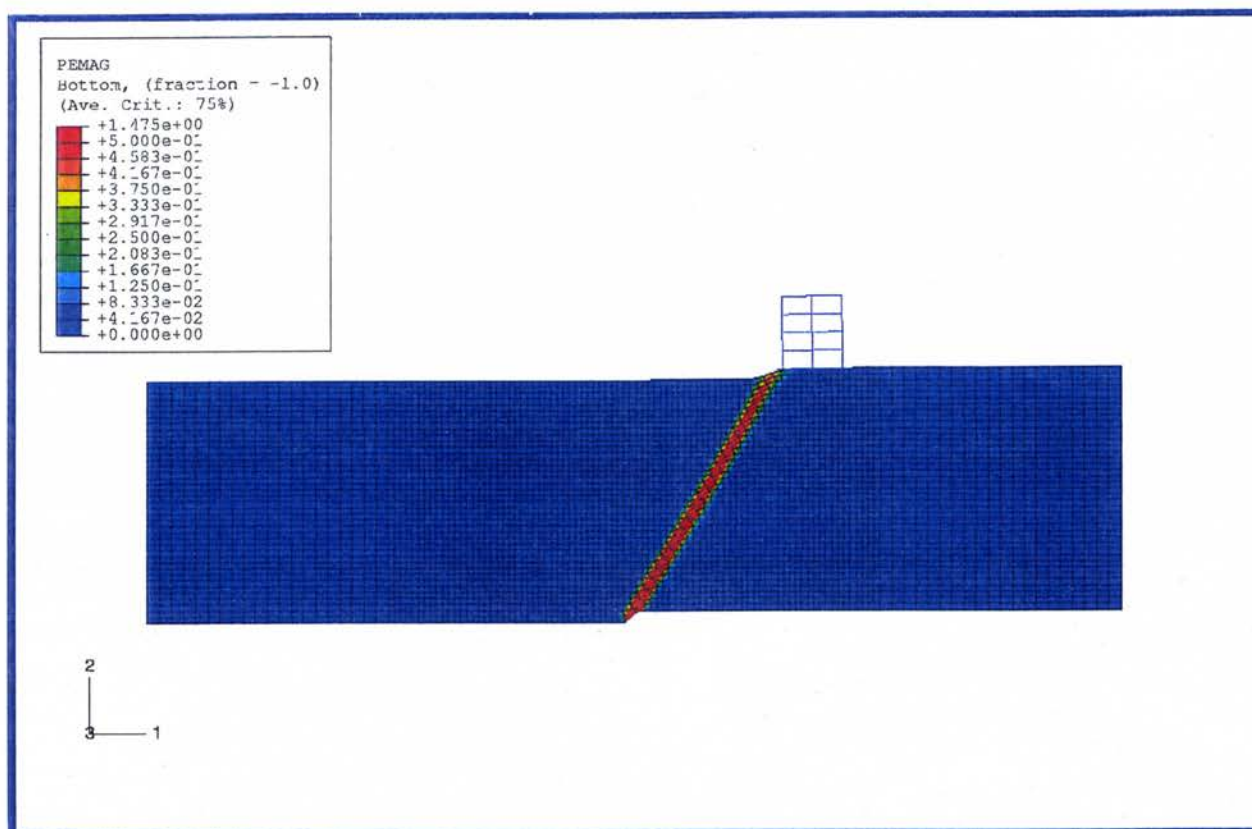


**Σχήμα 3.29** Τετραώροφο κτίριο με γενική κοιτόστρωση  $t = 0.2$  m, σε απόσταση 2 m από την επιφανειακή εκδήλωση του ρήγματος : Κλίση  $\beta$  και οριζόντιες παραμορφώσεις  $\varepsilon$  της επιφάνειας του εδάφους



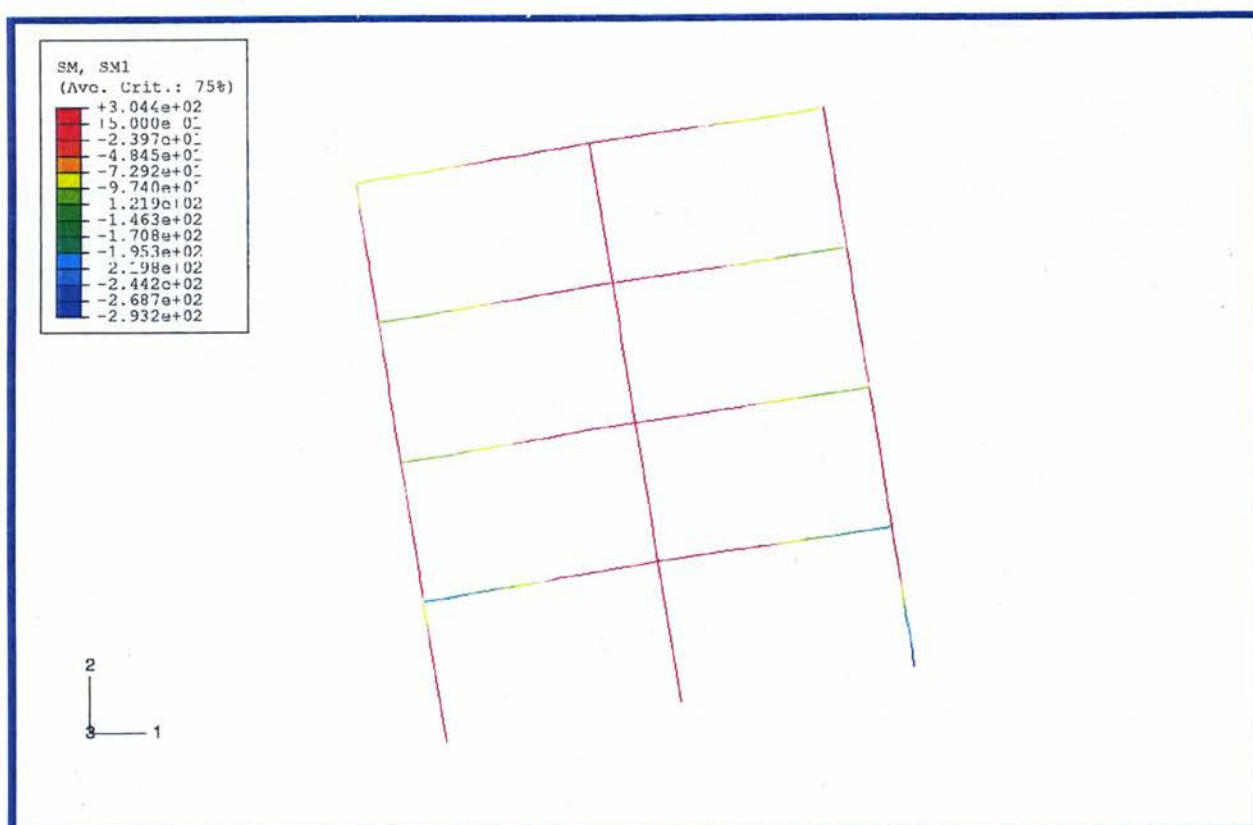
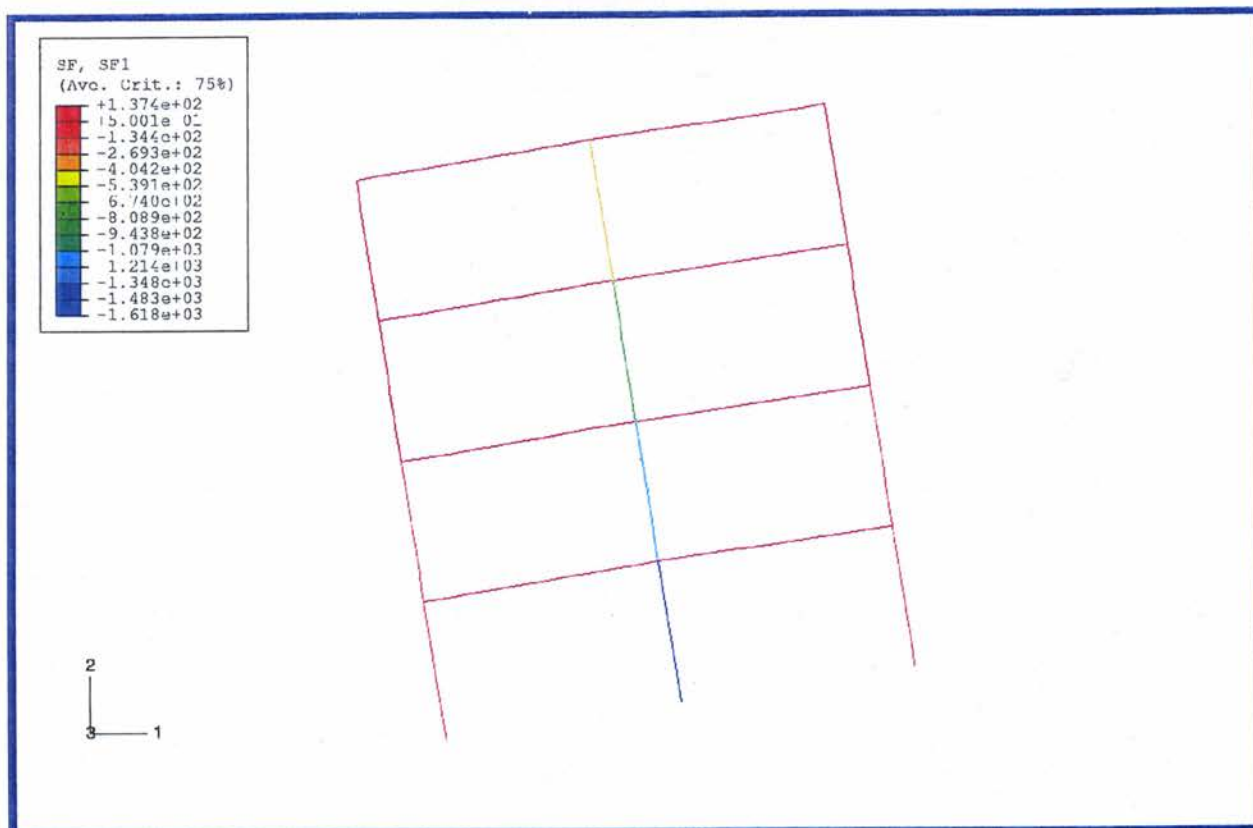
**Σχήμα 3.30** Τετραώροφο κτίριο με γενική κοιτόστρωση  $t = 0.2 \text{ m}$ , σε απόσταση  $2 \text{ m}$  από την επιφανειακή εκδήλωση του ρήγματος : Ισοϋψείς κατακορύφων μετακινήσεων



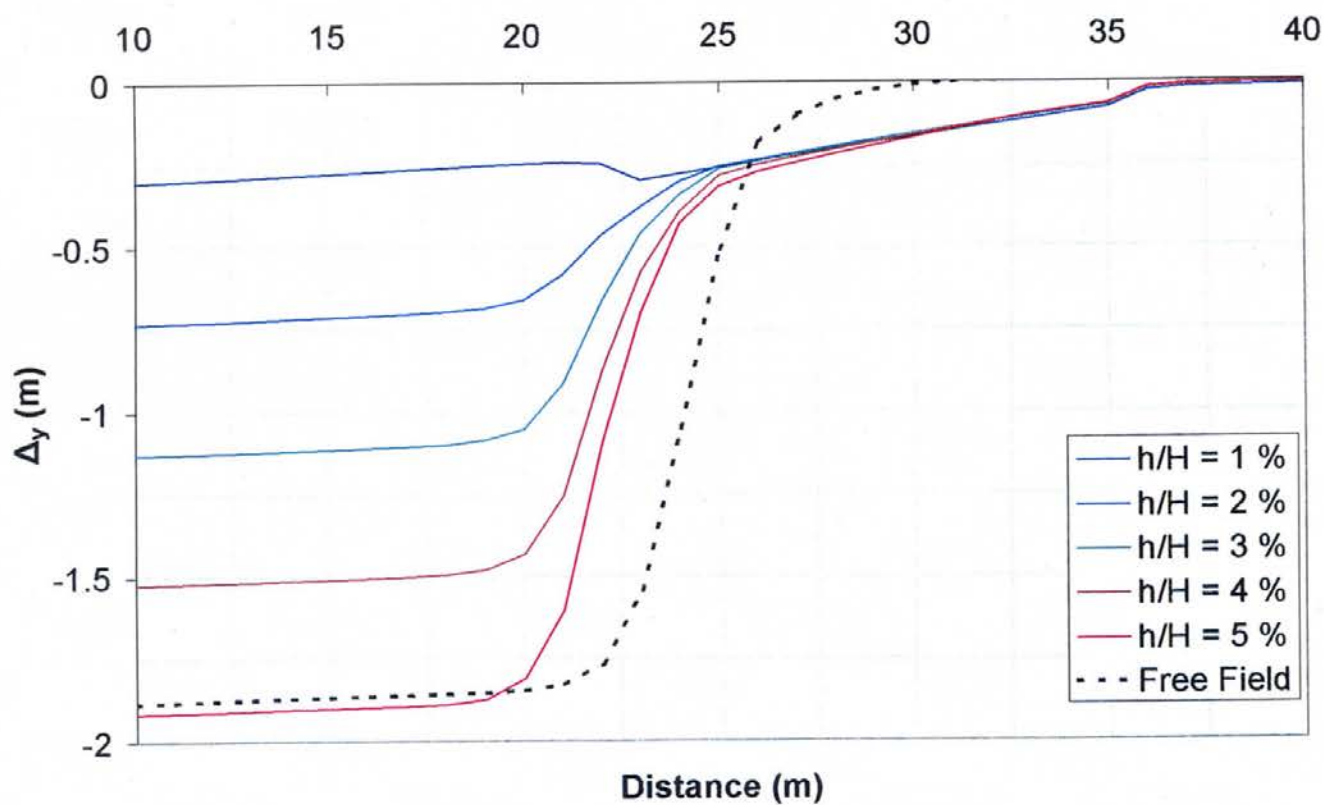
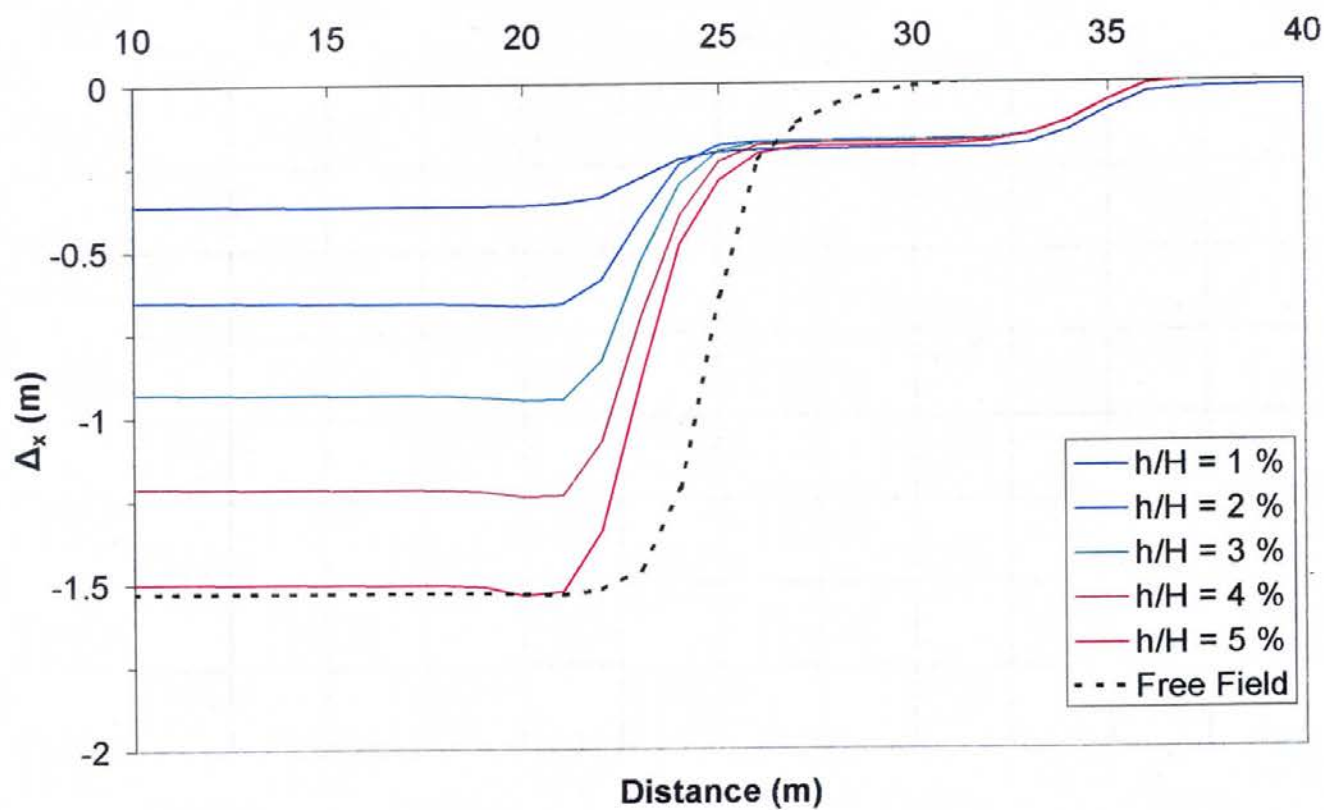


**Σχήμα 3.31** Τετραώροφο κτίριο με γενική κοιτόστρωση  $t = 0.2 \text{ m}$ , σε απόσταση  $2 \text{ m}$  από την επιφανειακή εκδήλωση του ρήγματος : Ισοϋψείς πλαστικών παραμορφώσεων

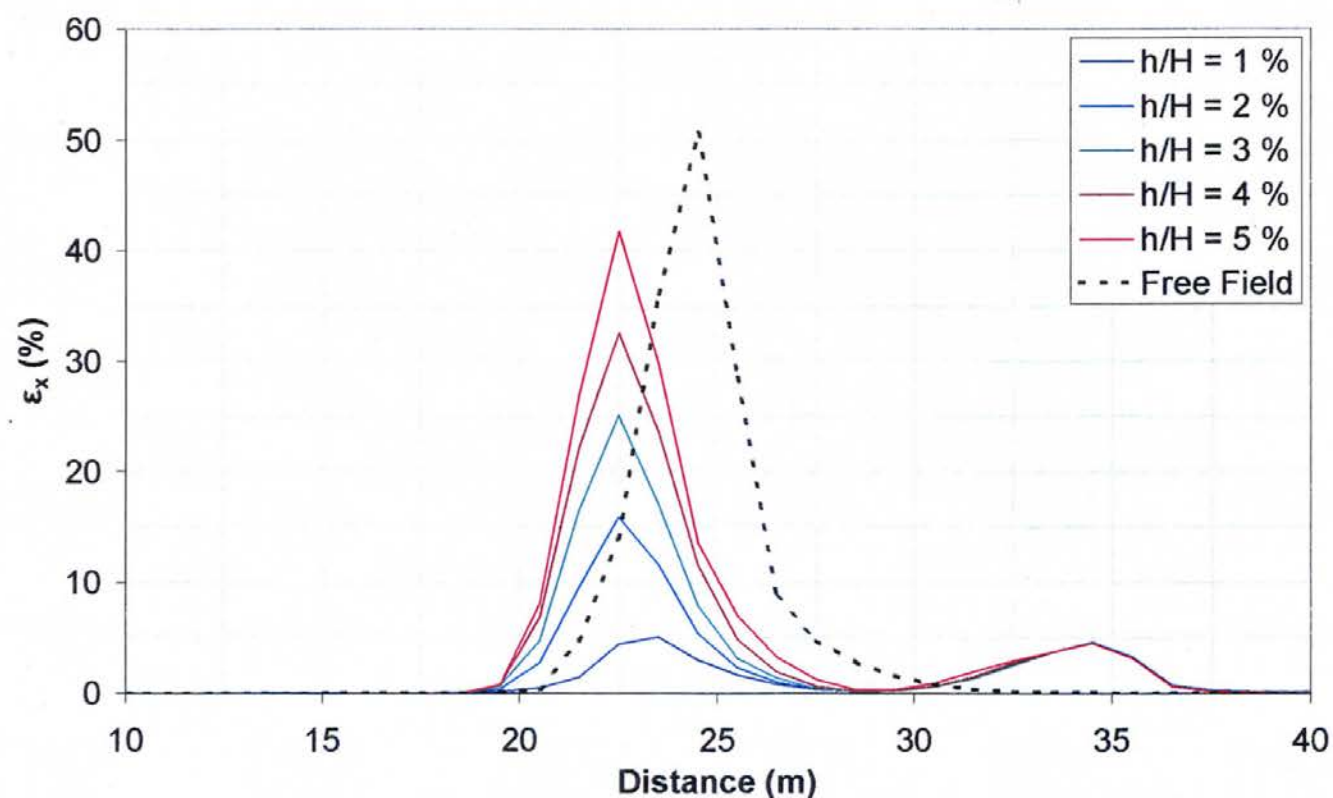
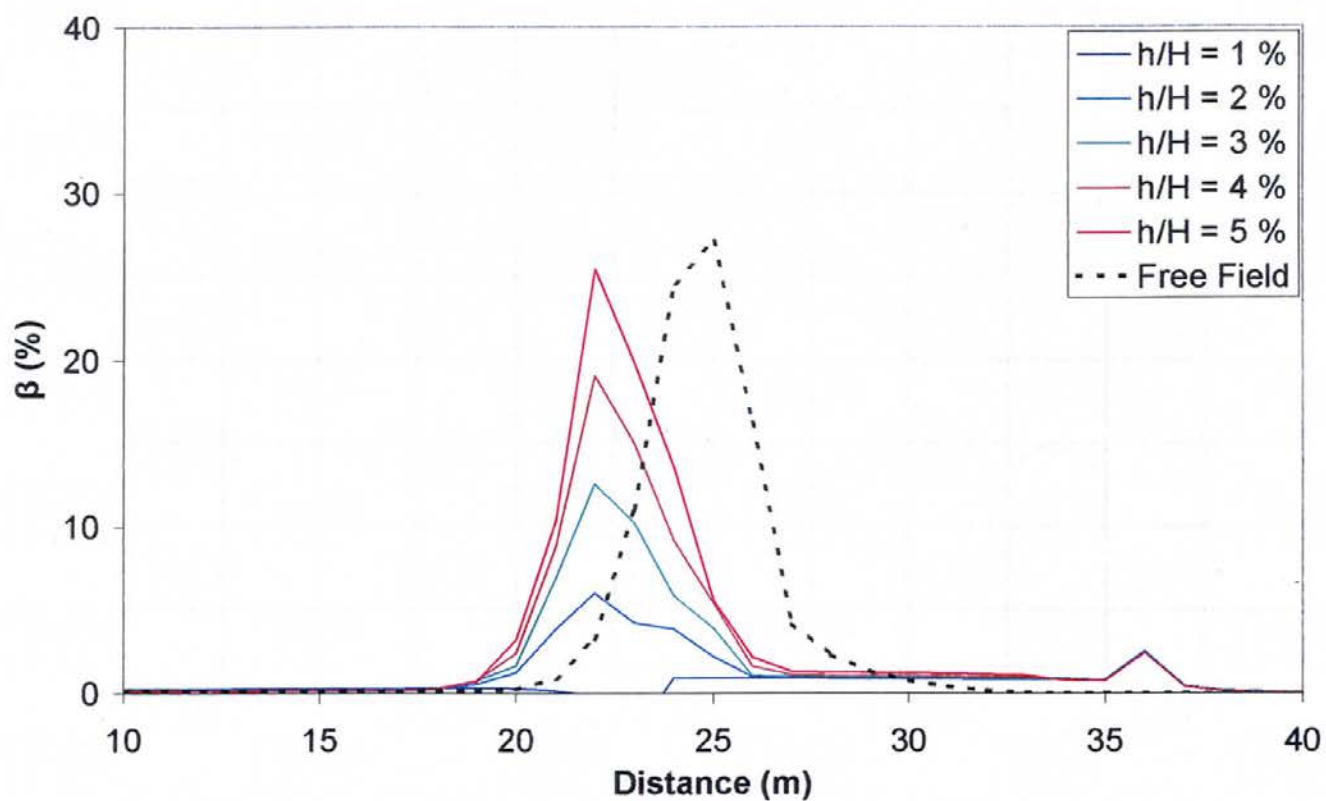




**Σχήμα 3.32** Τετραώροφο κτίριο με γενική κοιτόστρωση  $t = 0.2 \text{ m}$ , σε απόσταση  $2 \text{ m}$  από την επιφανειακή εκδήλωση του ρήγματος : Αναπτυσσόμενες αξονικές δυνάμεις και καμπτικές ροπές στην ανωδομή

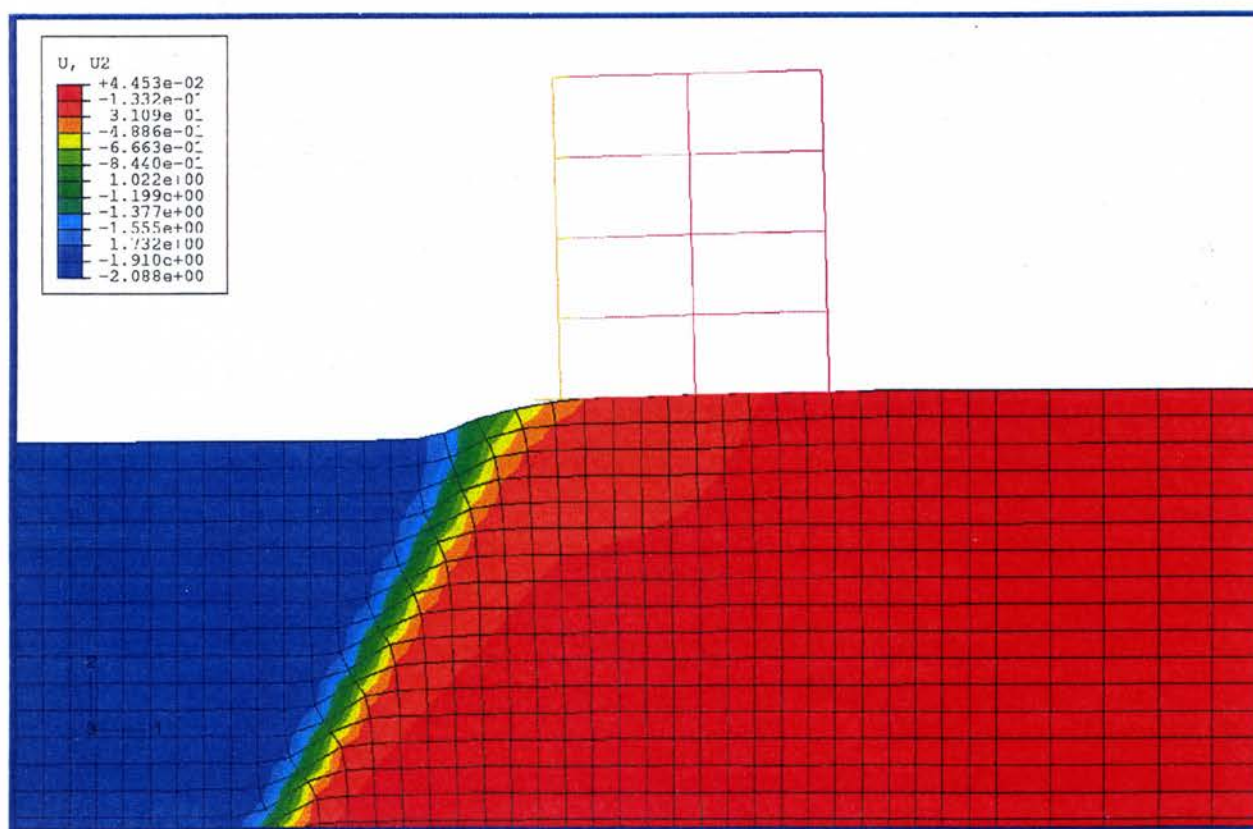
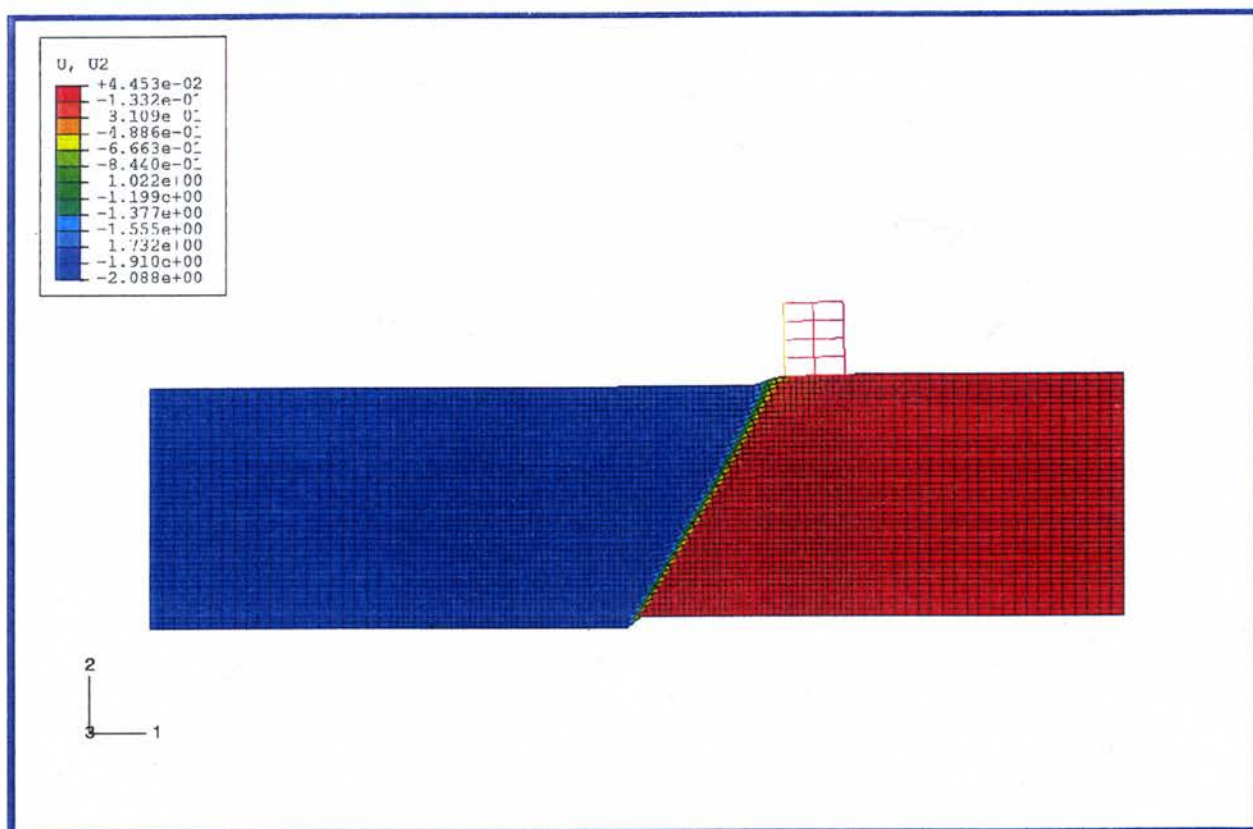


**Σχήμα 3.33** Τετραώροφο κτίριο με γενική κοιτόστρωση  $t = 0.5$  m, σε απόσταση 2 m από την επιφανειακή εκδήλωση του ρήγματος : Οριζόντιες και κατακόρυφες μετακινήσεις

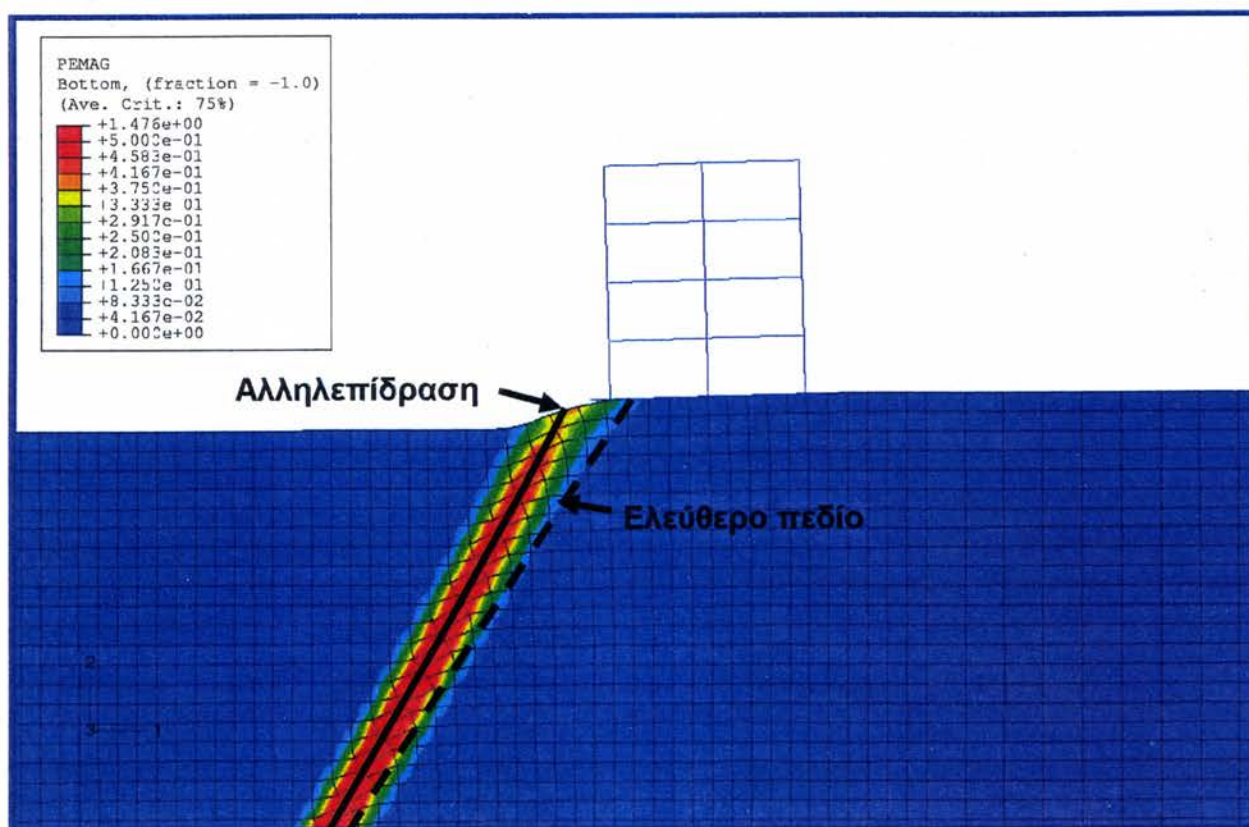
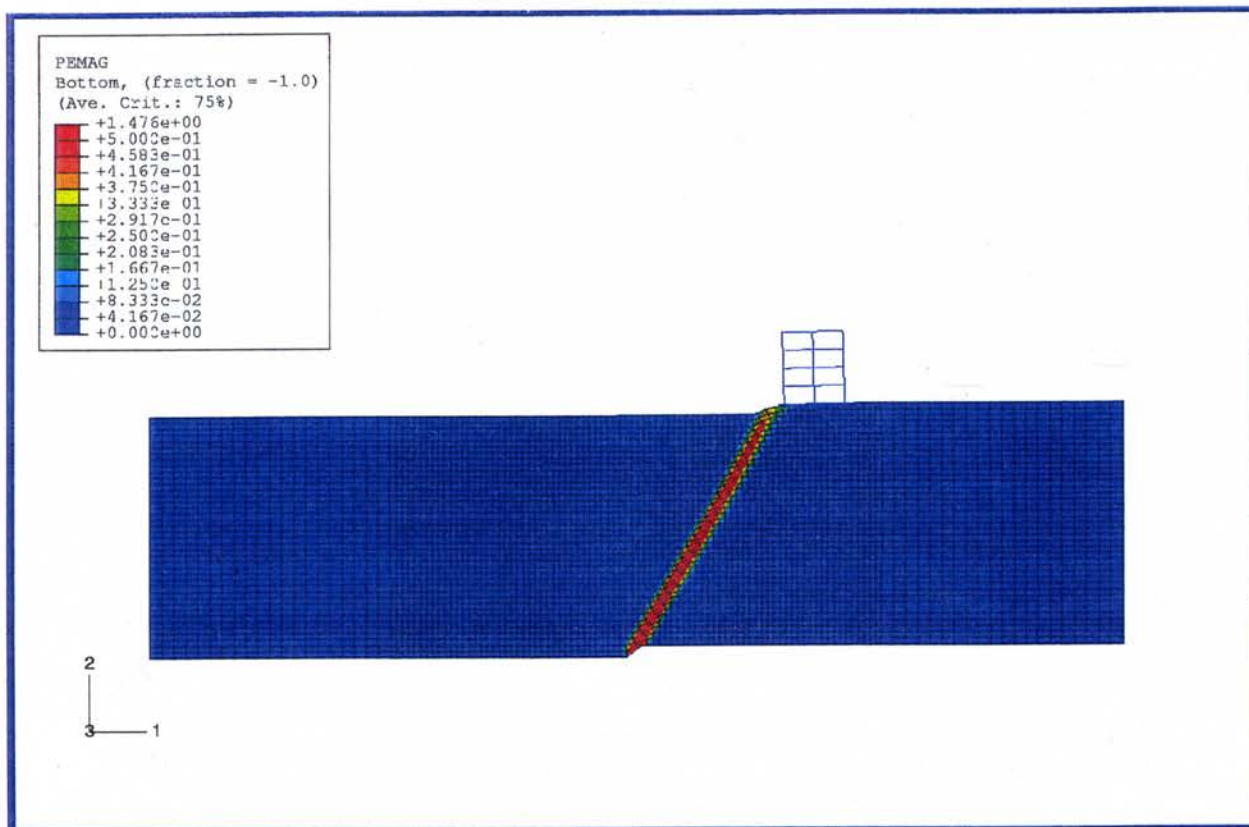


**Σχήμα 3.34** Τετραώροφο κτίριο με γενική κοιτόστρωση  $t = 0.5$  m, σε απόσταση 2 m από την επιφανειακή εκδήλωση του ρήγματος : Κλίση  $\beta$  και οριζόντιες παραμορφώσεις  $\varepsilon$  της επιφάνειας του εδάφους



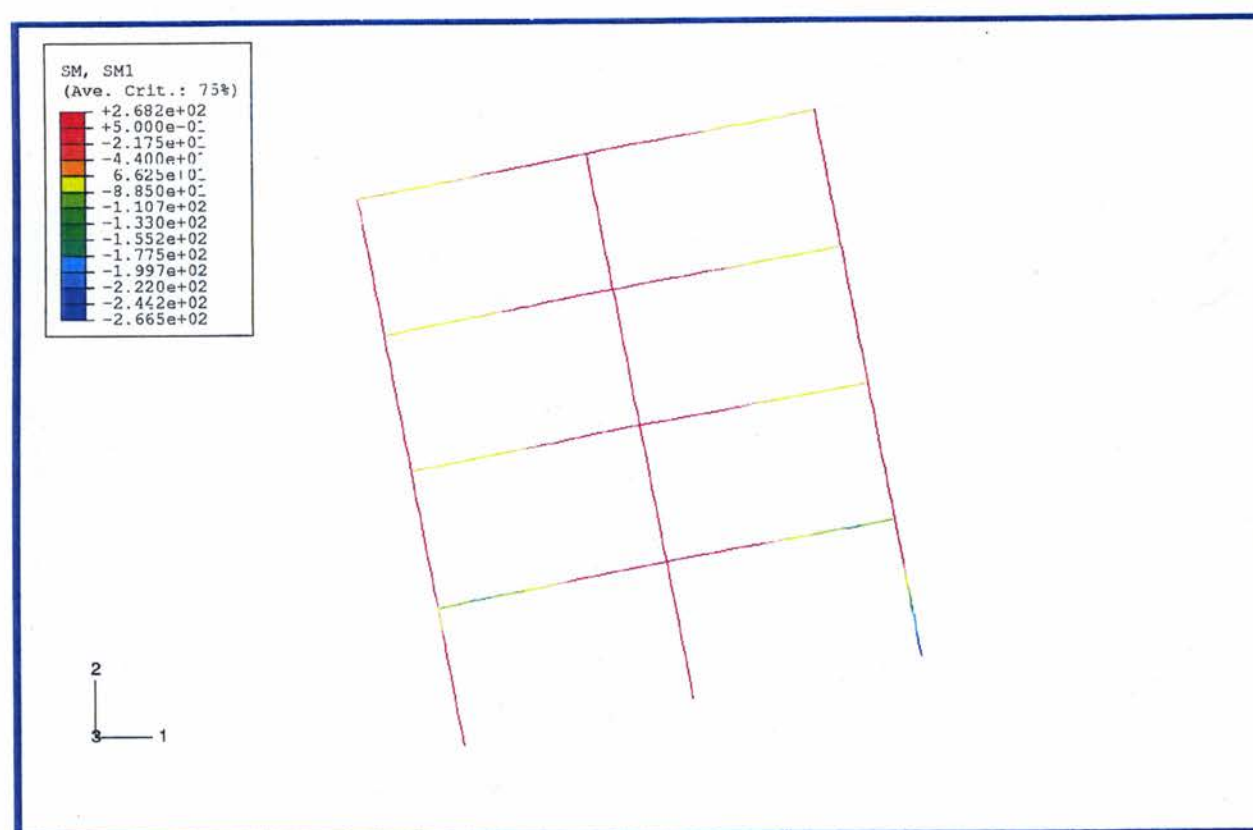
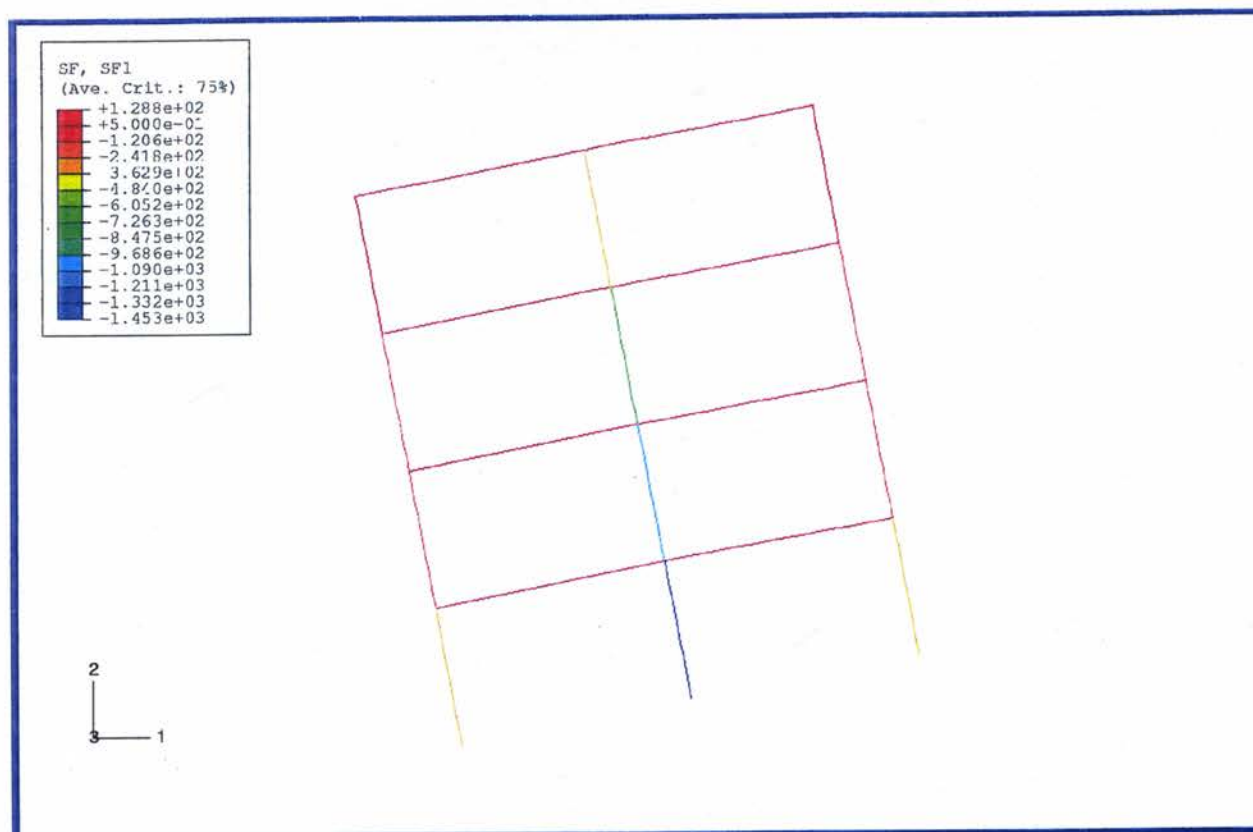


**Σχήμα 3.35** Τετραώροφο κτίριο με γενική κοιτόστρωση  $t = 0.5$  m, σε απόσταση 2 m από την επιφανειακή εκδήλωση του ρήγματος : Ισοϋψείς κατακορύφων μετακινήσεων



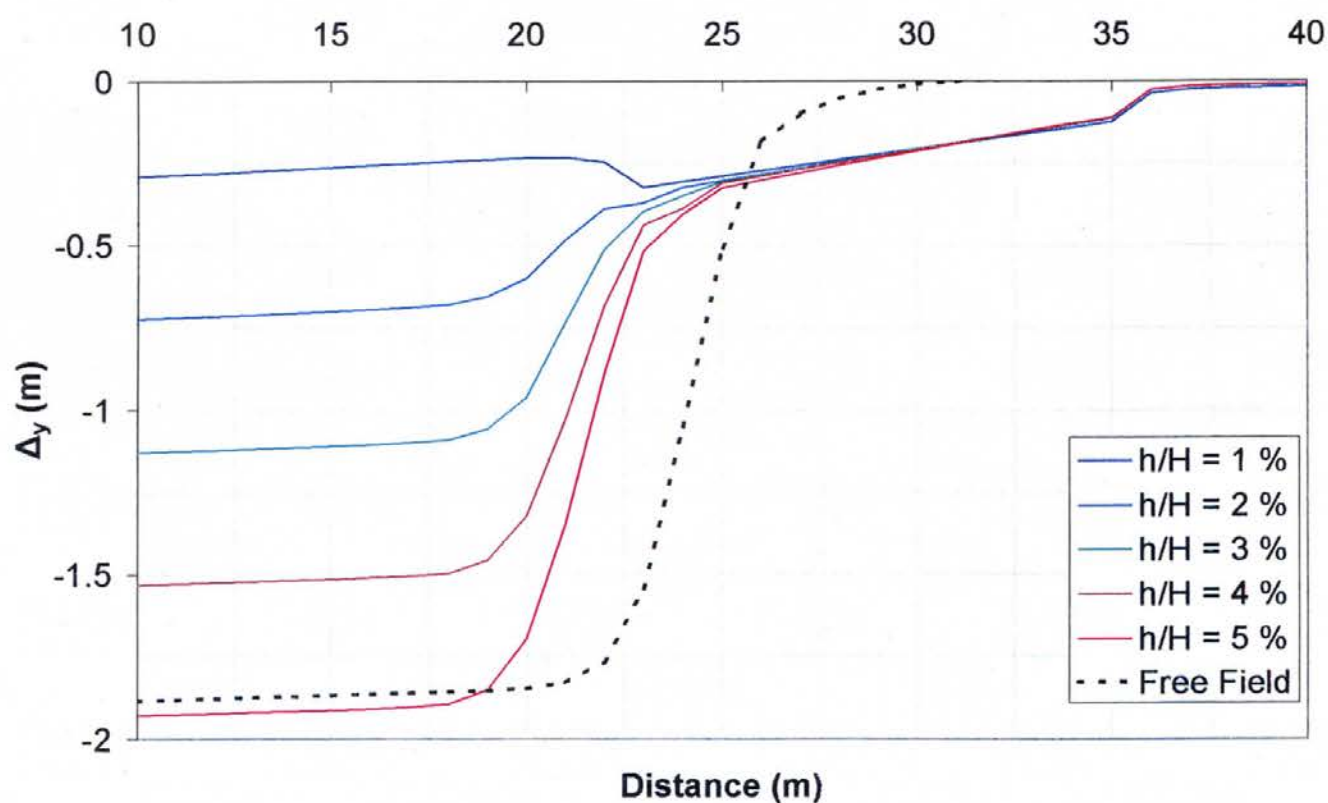
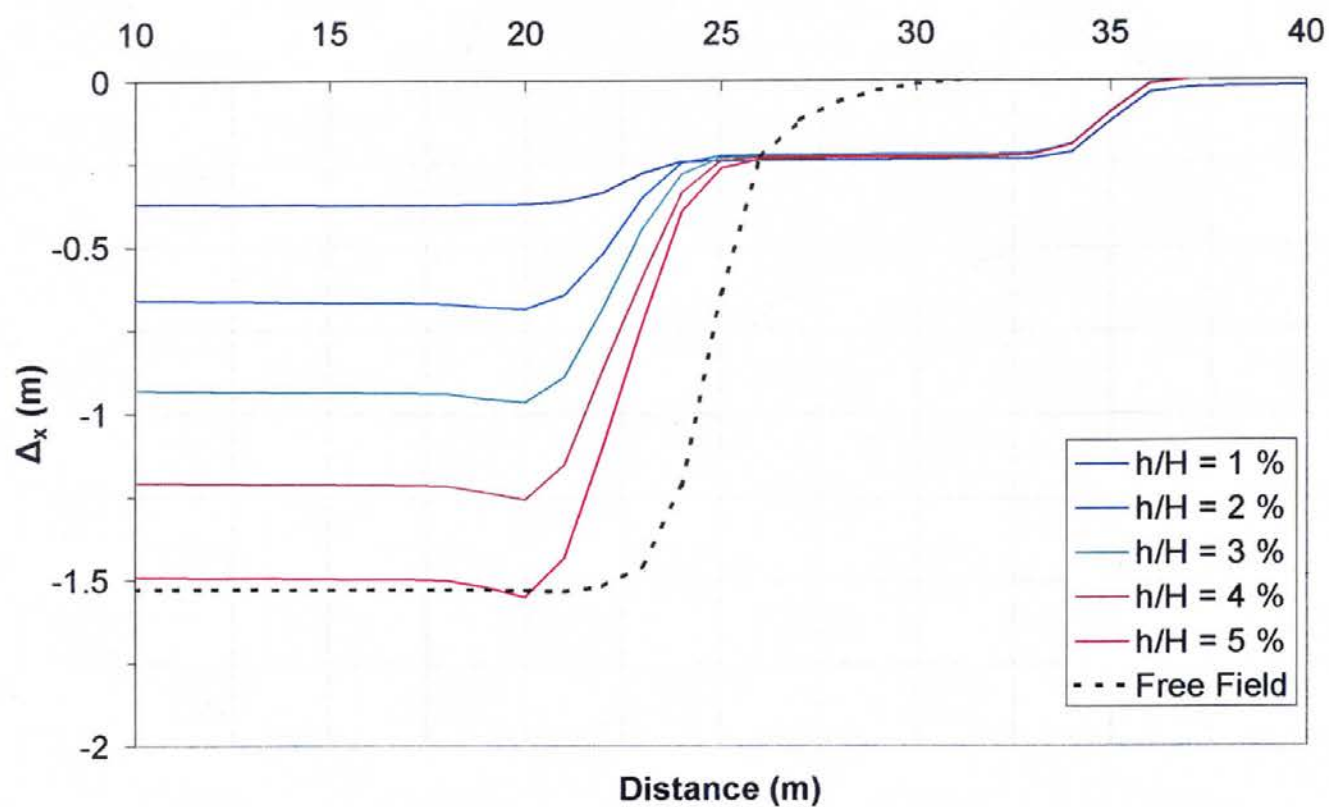
**Σχήμα 3.36** Τετραώροφο κτίριο με γενική κοιτόστρωση  $t = 0.5 \text{ m}$ , σε απόσταση  $2 \text{ m}$  από την επιφανειακή εκδήλωση του ρήγματος : Ισοϋψείς πλαστικών παραμορφώσεων



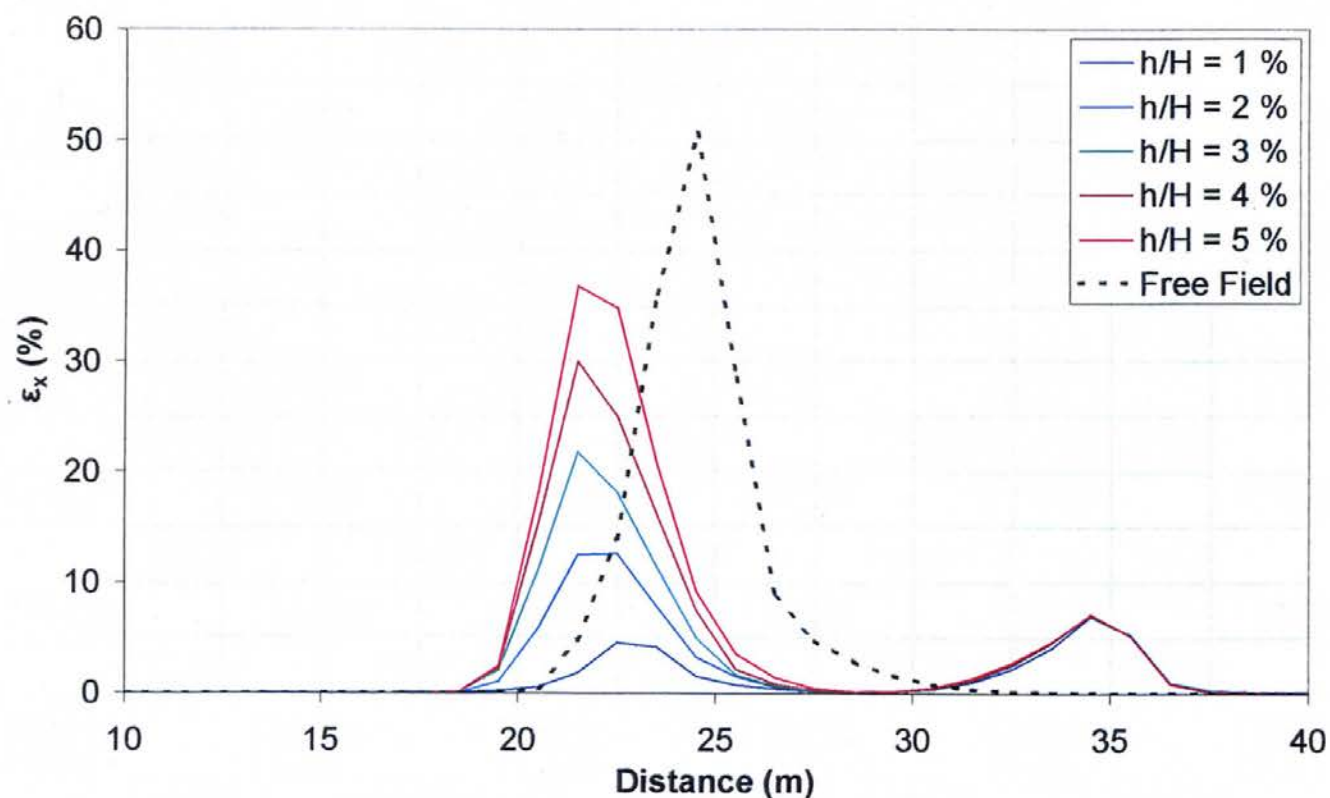
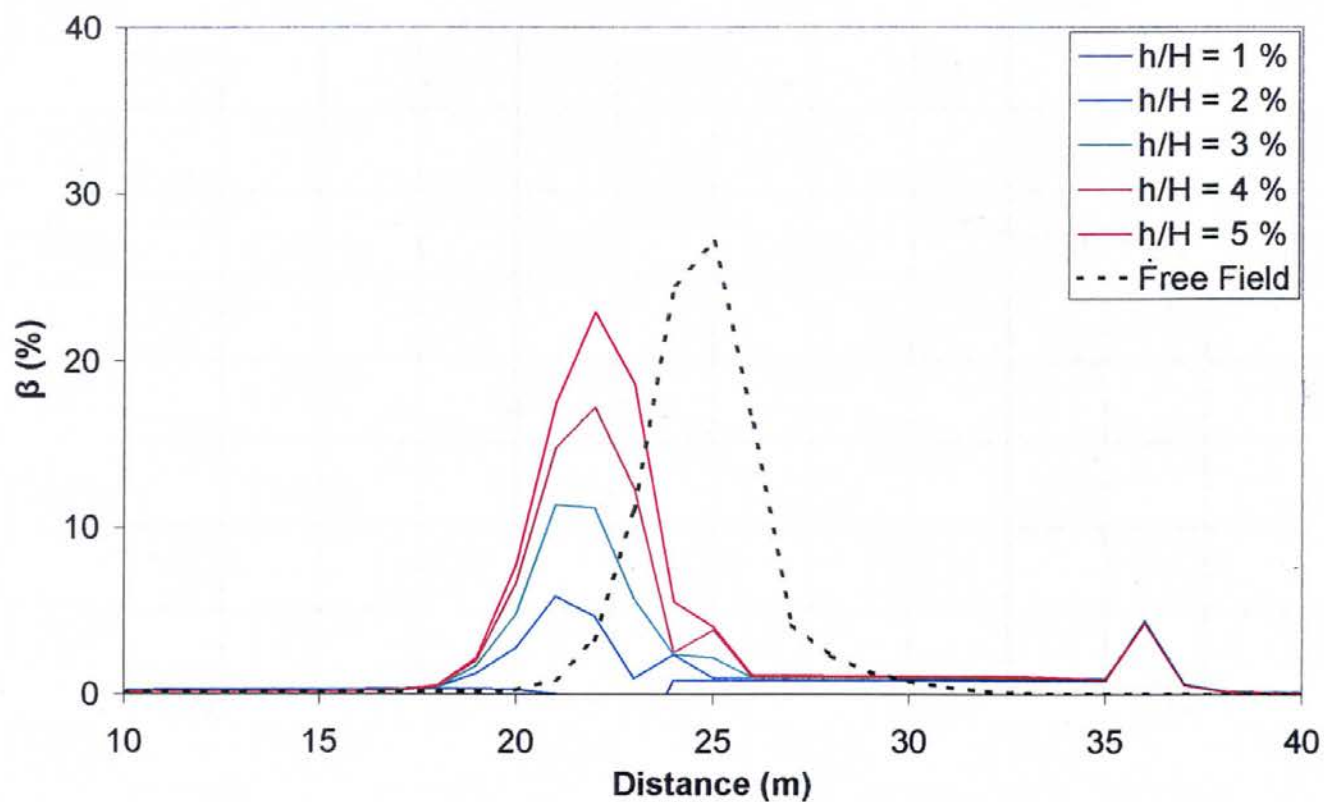


**Σχήμα 3.37** Τετραώροφο κτίριο με γενική κοιτόστρωση  $t = 0.5$  m, σε απόσταση 2 m από την επιφανειακή εκδήλωση του ρήγματος : Αναπτυσσόμενες αξονικές δυνάμεις και καμπτικές ροπές στην ανωδομή

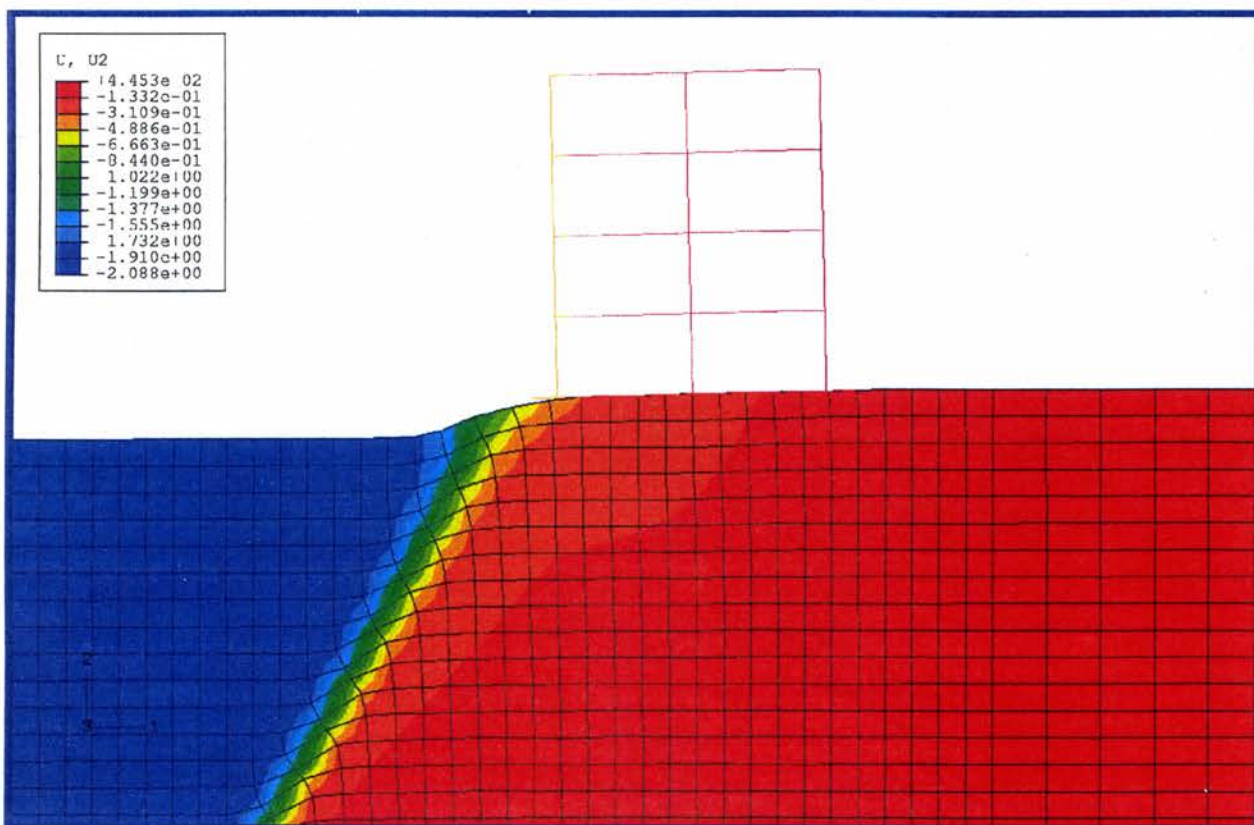
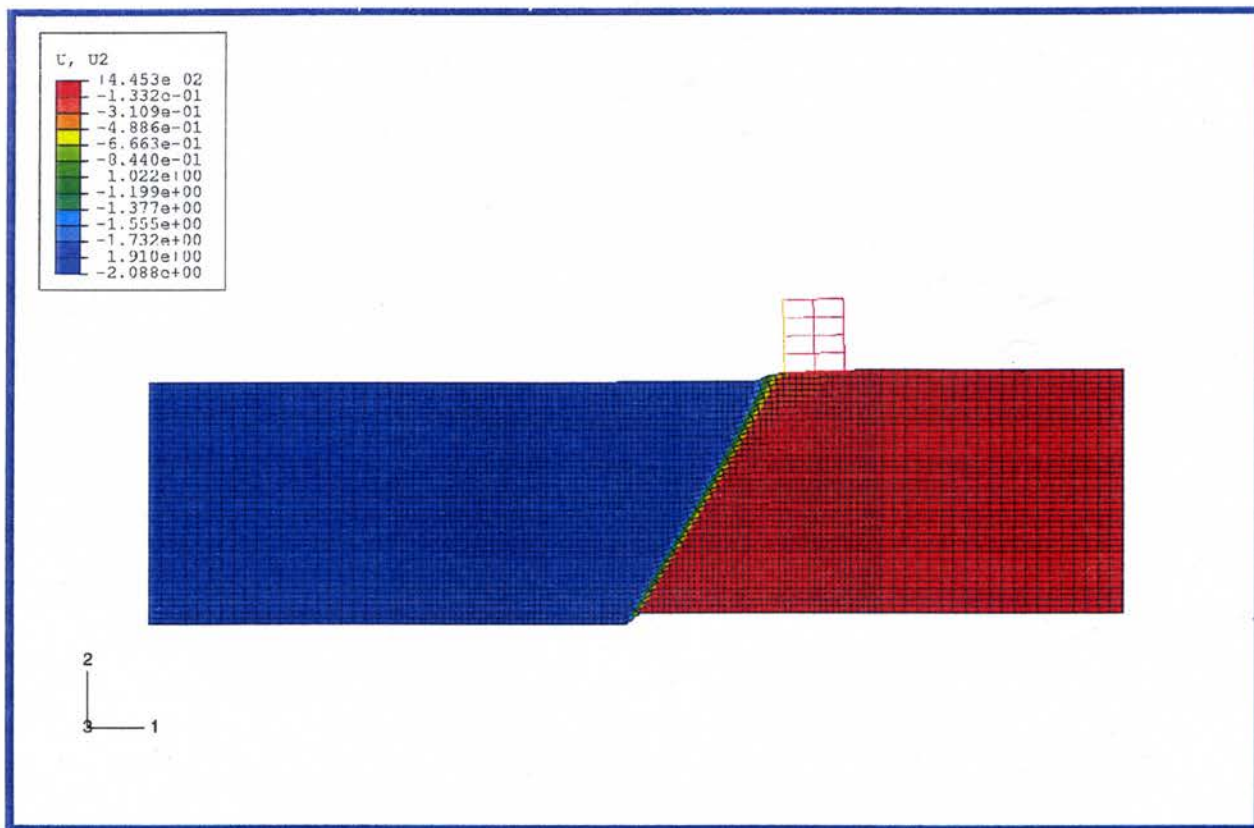




**Σχήμα 3.38** Τετραώροφο κτίριο με γενική κοιτόστρωση  $t = 1.0$  m, σε απόσταση 2 m από την επιφανειακή εκδήλωση του ρήγματος : Οριζόντιες και κατακόρυφες μετακινήσεις

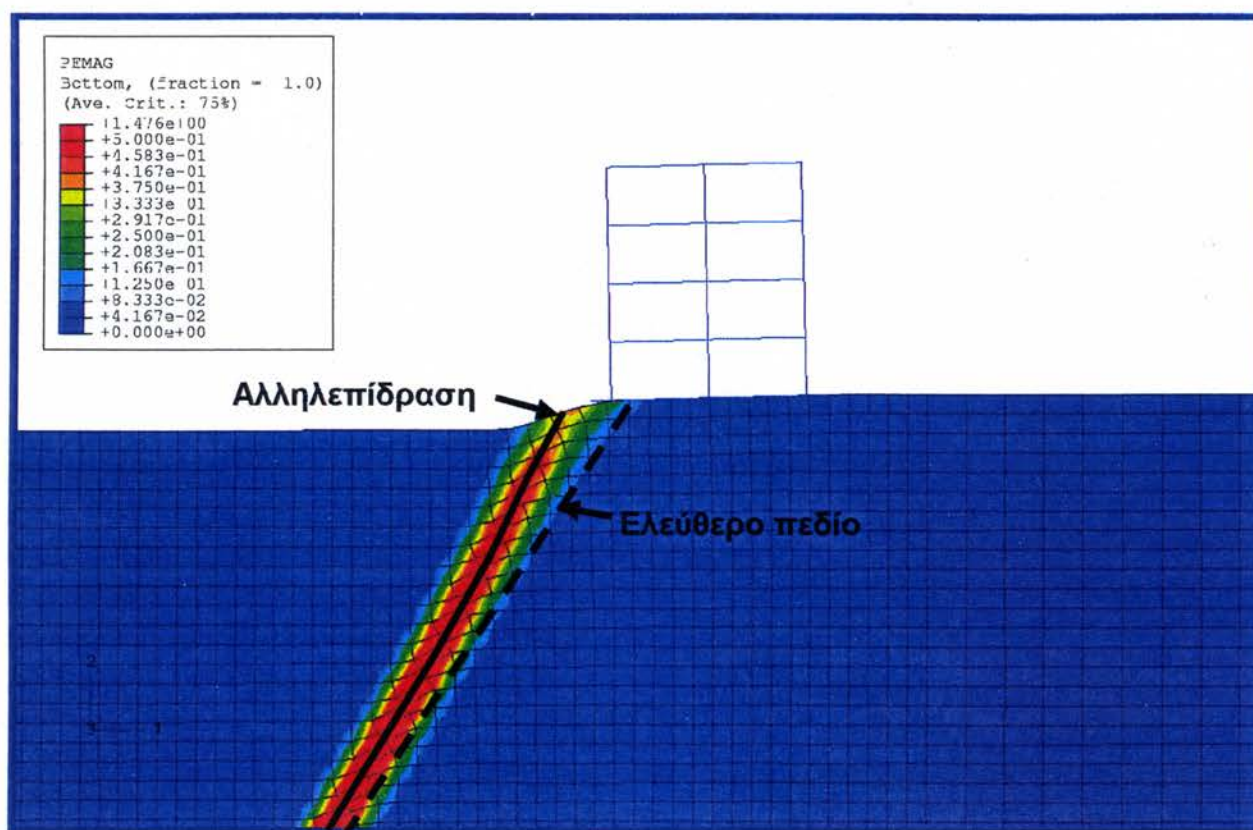
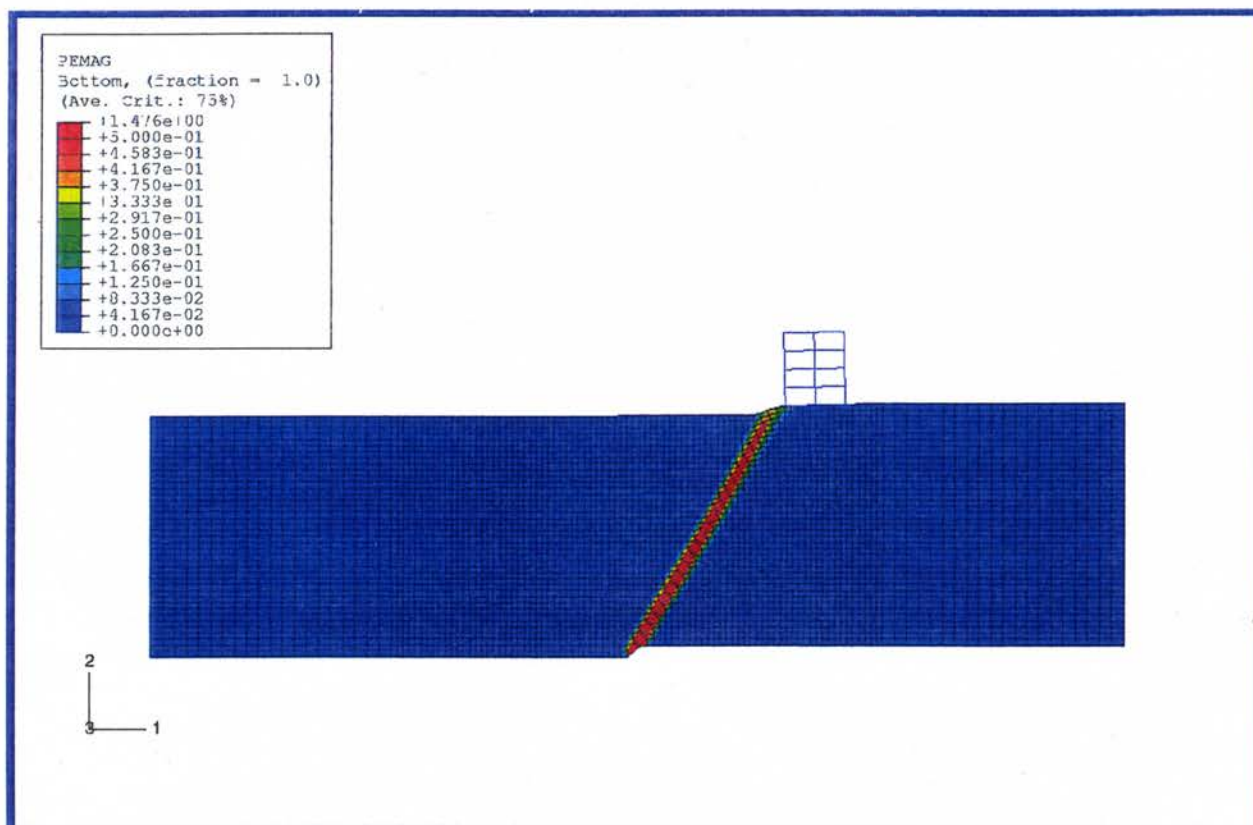


**Σχήμα 3.39** Τετραώροφο κτίριο με γενική κοιτόστρωση  $t = 1.0$  m, σε απόσταση 2 m από την επιφανειακή εκδήλωση του ρήγματος : Κλίση  $\beta$  και οριζόντιες παραμορφώσεις  $\varepsilon$  της επιφάνειας του εδάφους

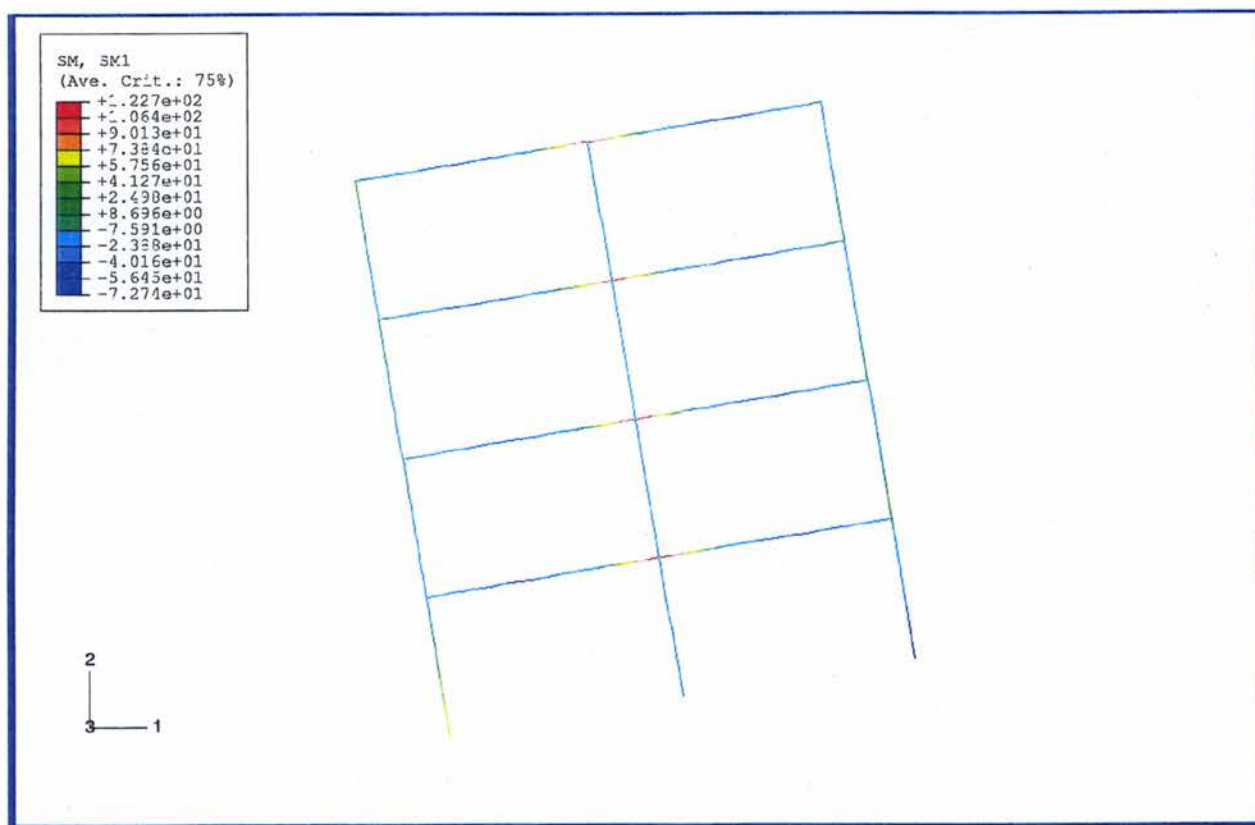
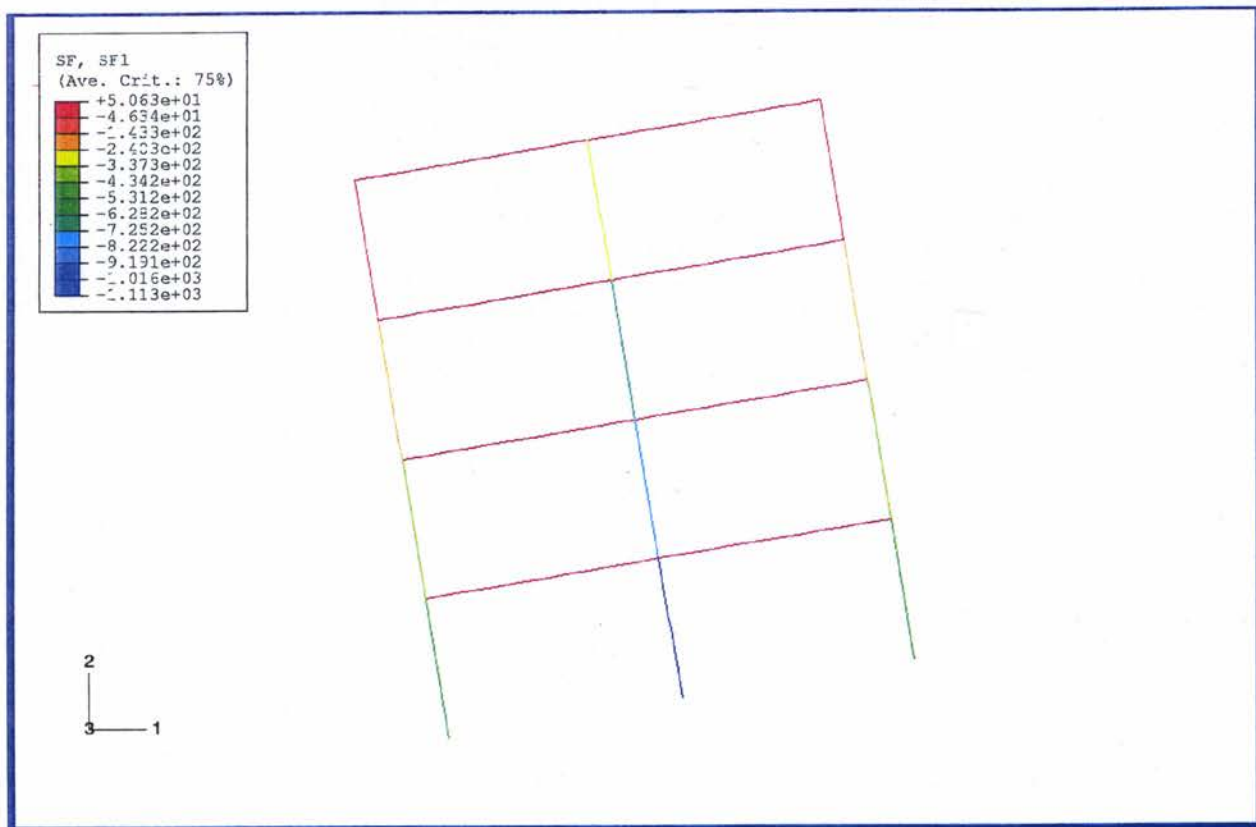


**Σχήμα 3.40** Τετραώροφο κτίριο με γενική κοιτόστρωση  $t = 1.0$  m, σε απόσταση 2 m από την επιφανειακή εκδήλωση του ρήγματος : Ισοϋψείς κατακορύφων μετακινήσεων

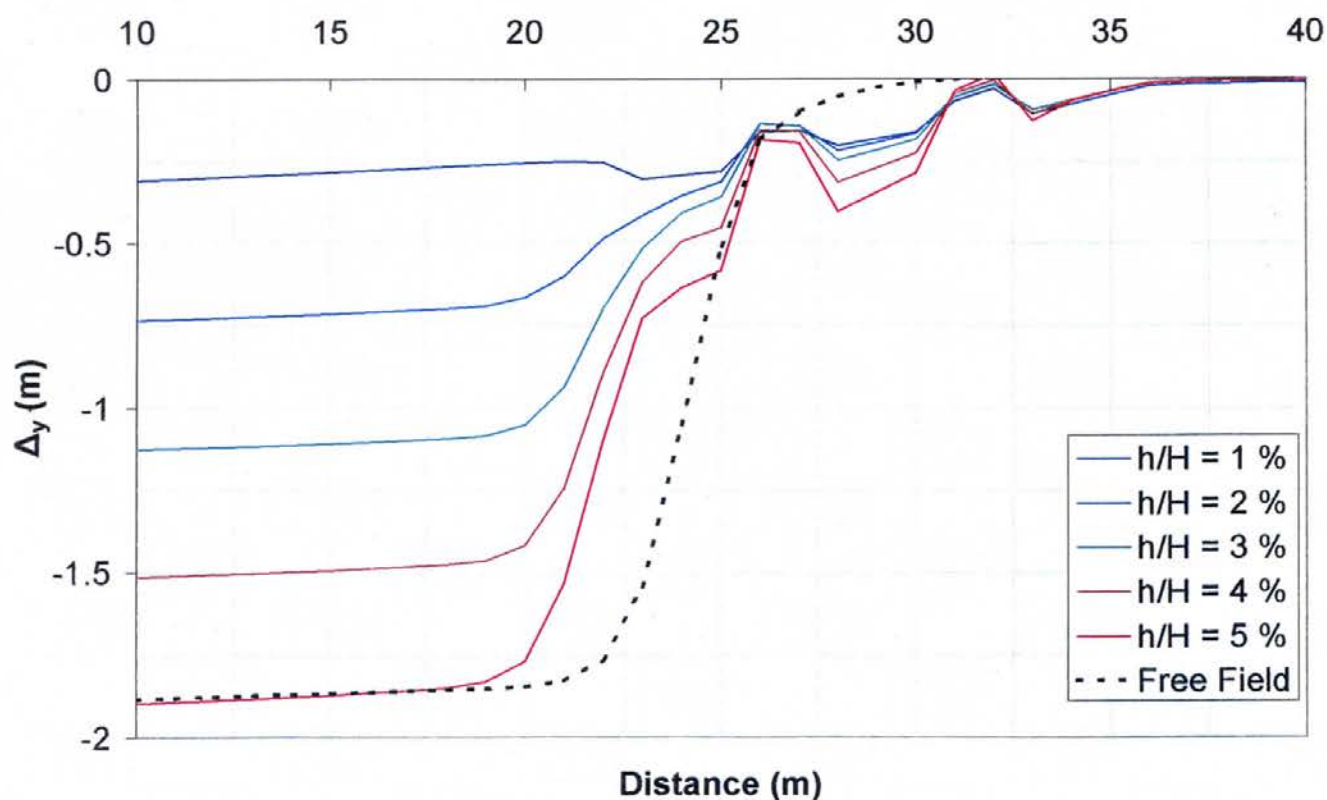
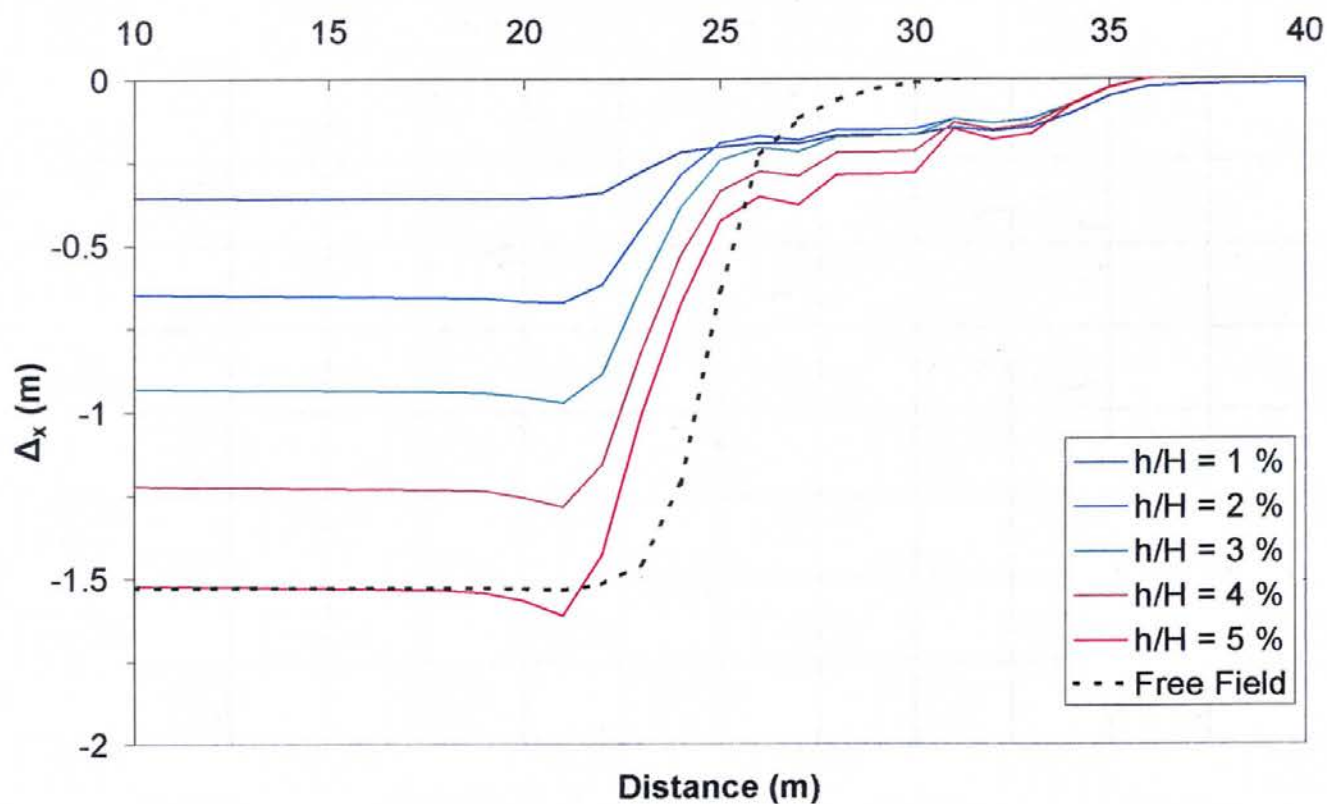




**Σχήμα 3.41** Τετραώροφο κτίριο με γενική κοιτόστρωση  $t = 1.0$  m, σε απόσταση 2 m από την επιφανειακή εκδήλωση του ρήγματος : Ισοϋψείς πλαστικών παραμορφώσεων

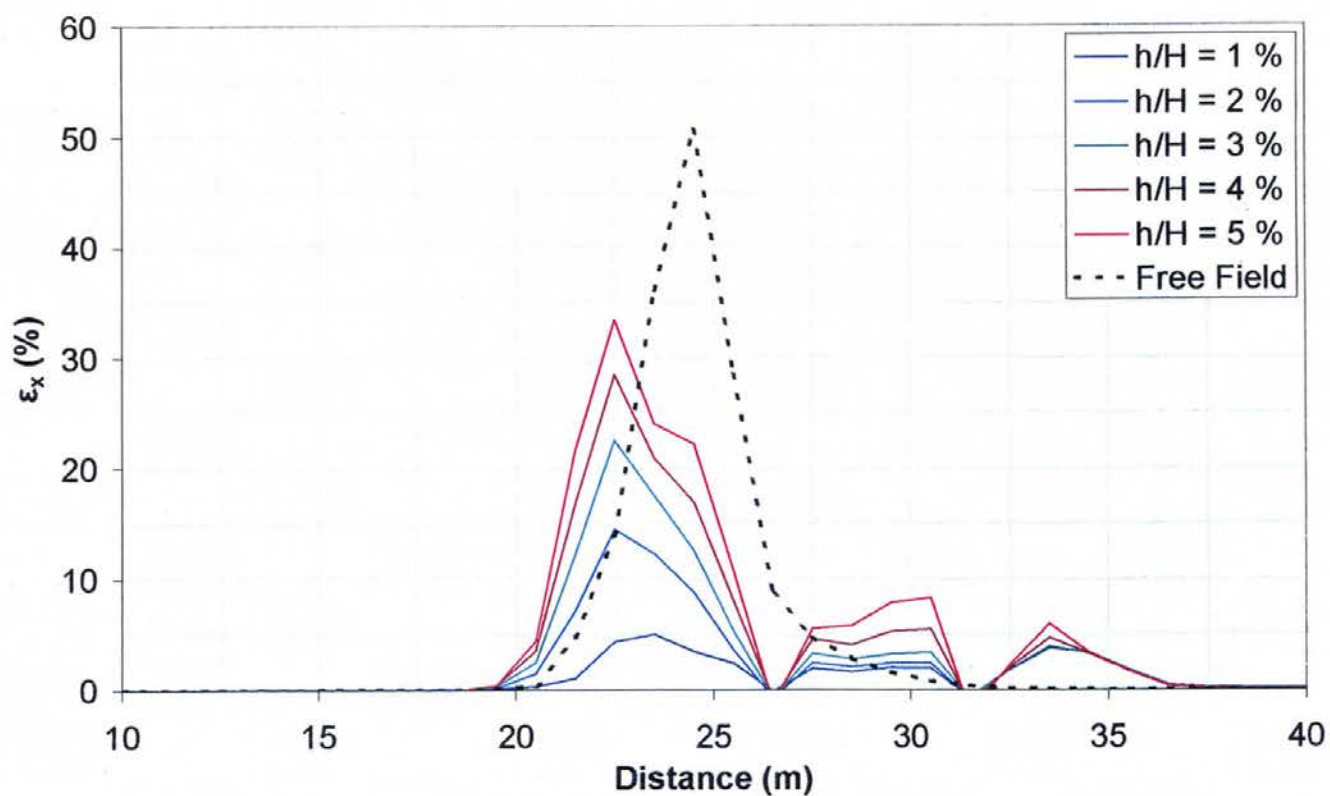
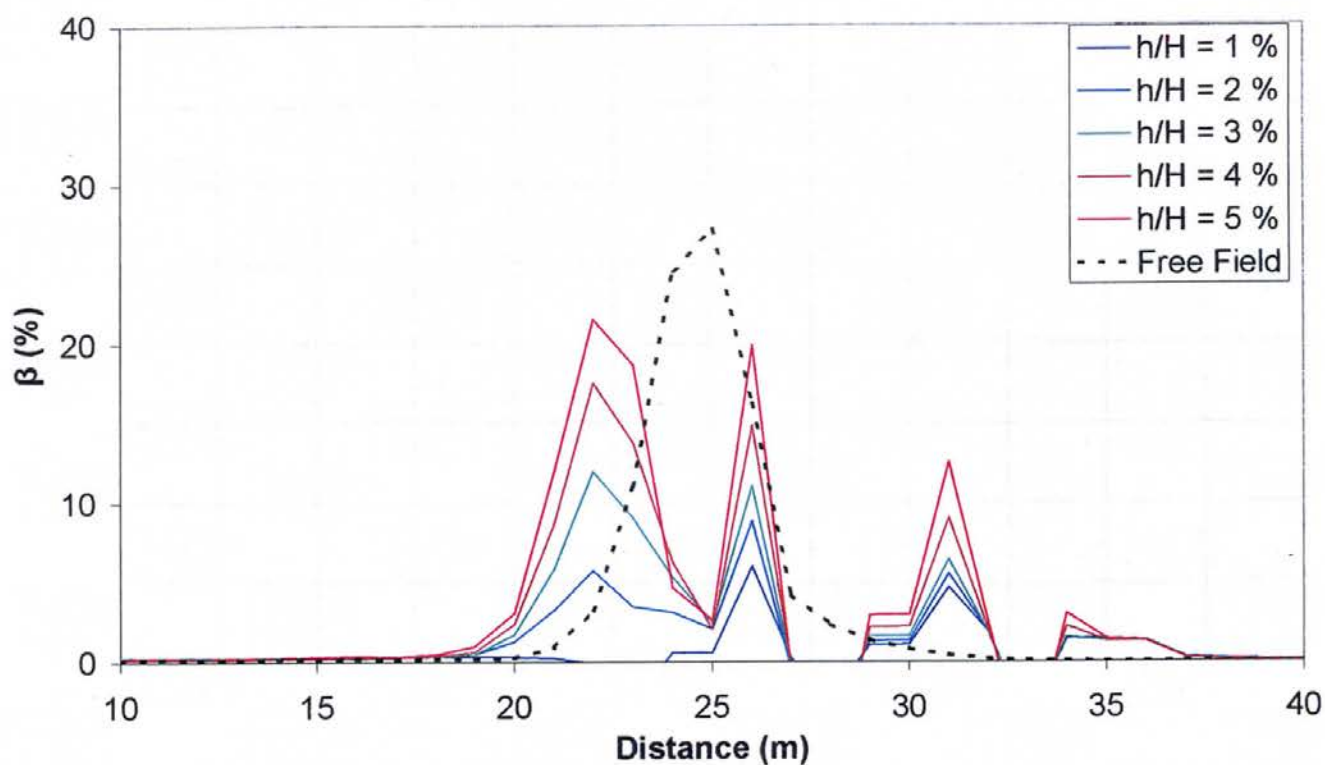


**Σχήμα 3.42** Τετραώροφο κτίριο με γενική κοιτόστρωση  $t = 1.0$  m, σε απόσταση 2 m από την επιφανειακή εκδήλωση του ρήγματος : Αναπτυσσόμενες αξονικές δυνάμεις και καμπτικές ροπές στην ανωδομή

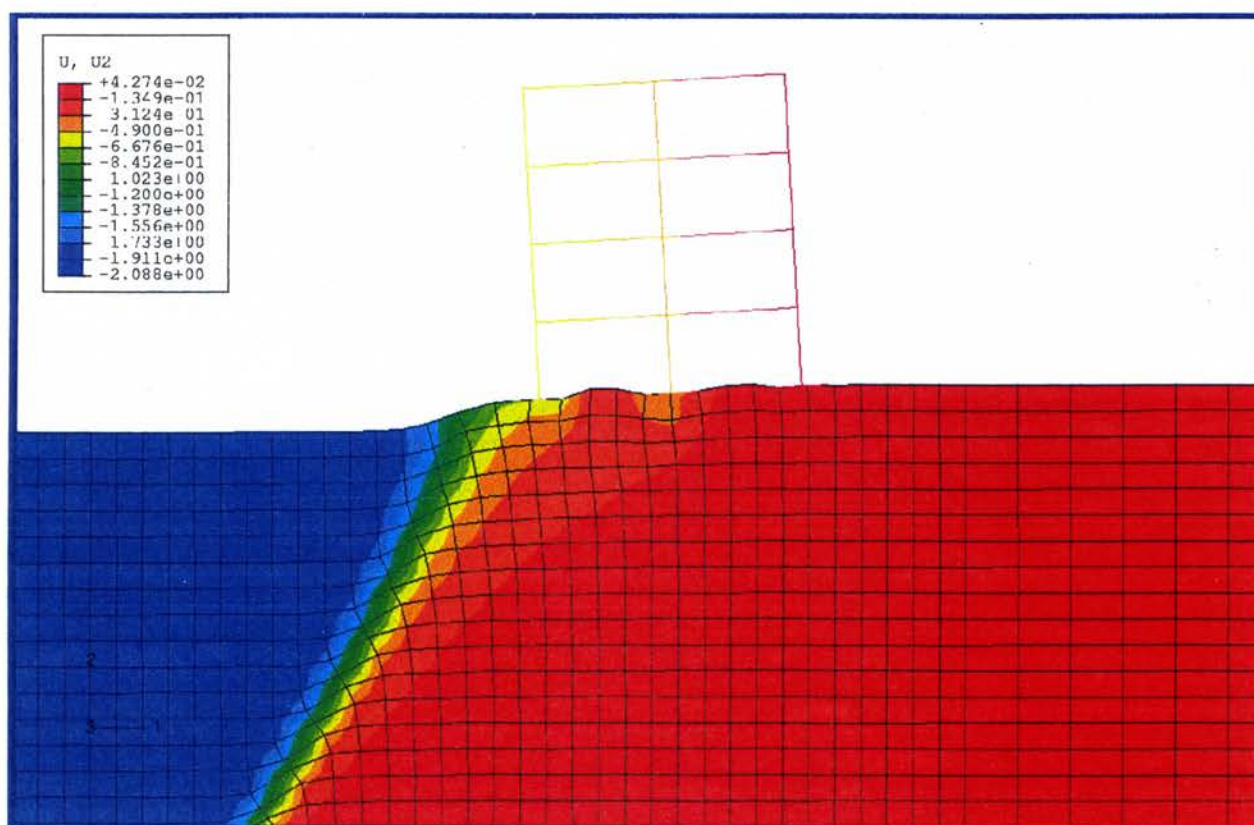
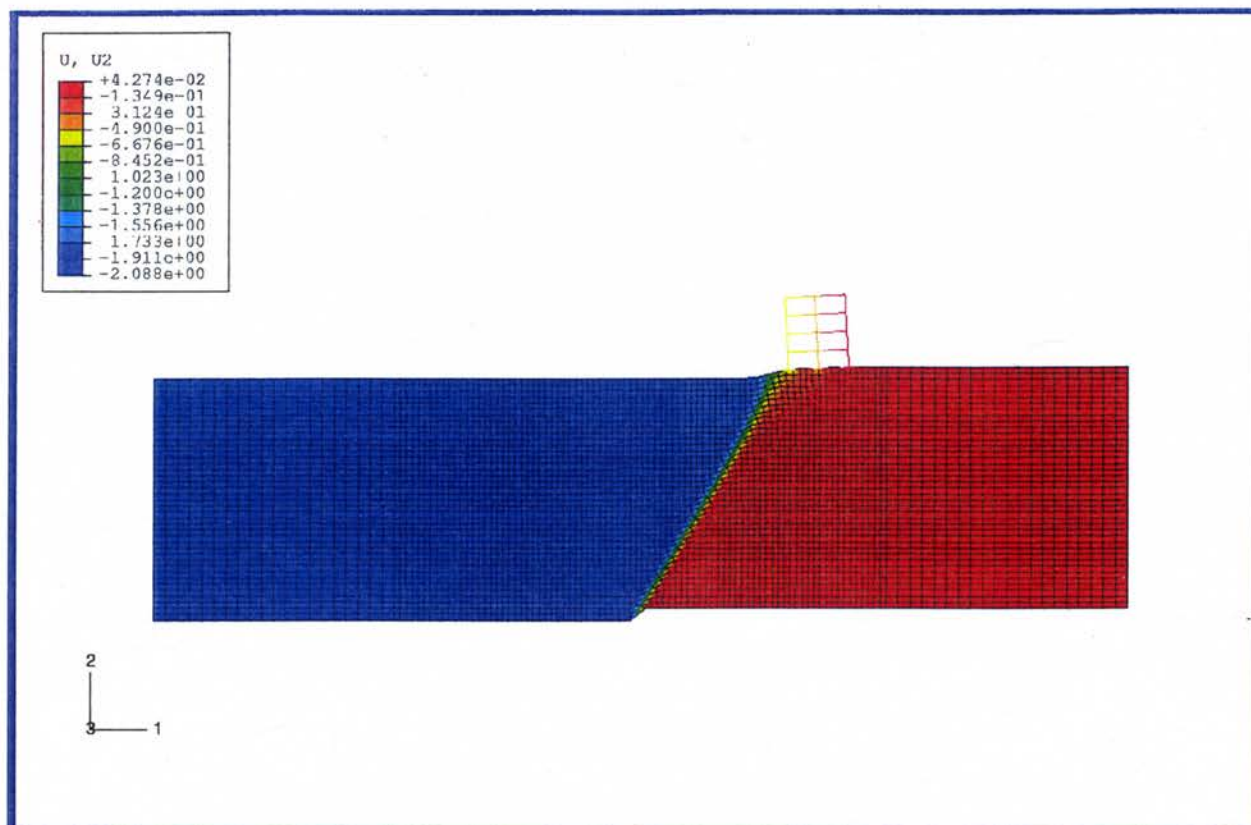


**Σχήμα 3.43** Τετραώροφο κτίριο με μεμονωμένα θεμέλια πλάτους 2.0 m, σε απόσταση 2 m από την επιφανειακή εκδήλωση του ρήγματος : Οριζόντιες και κατακόρυφες μετακινήσεις



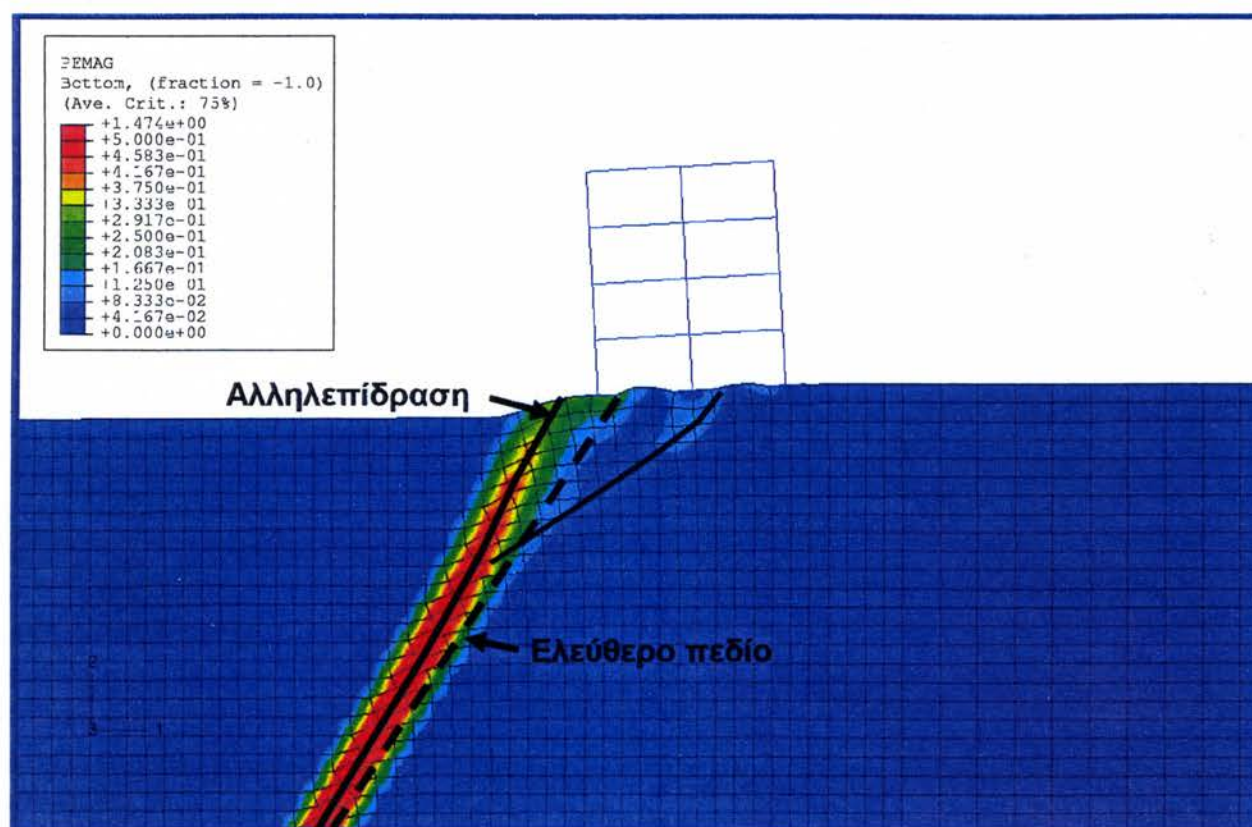
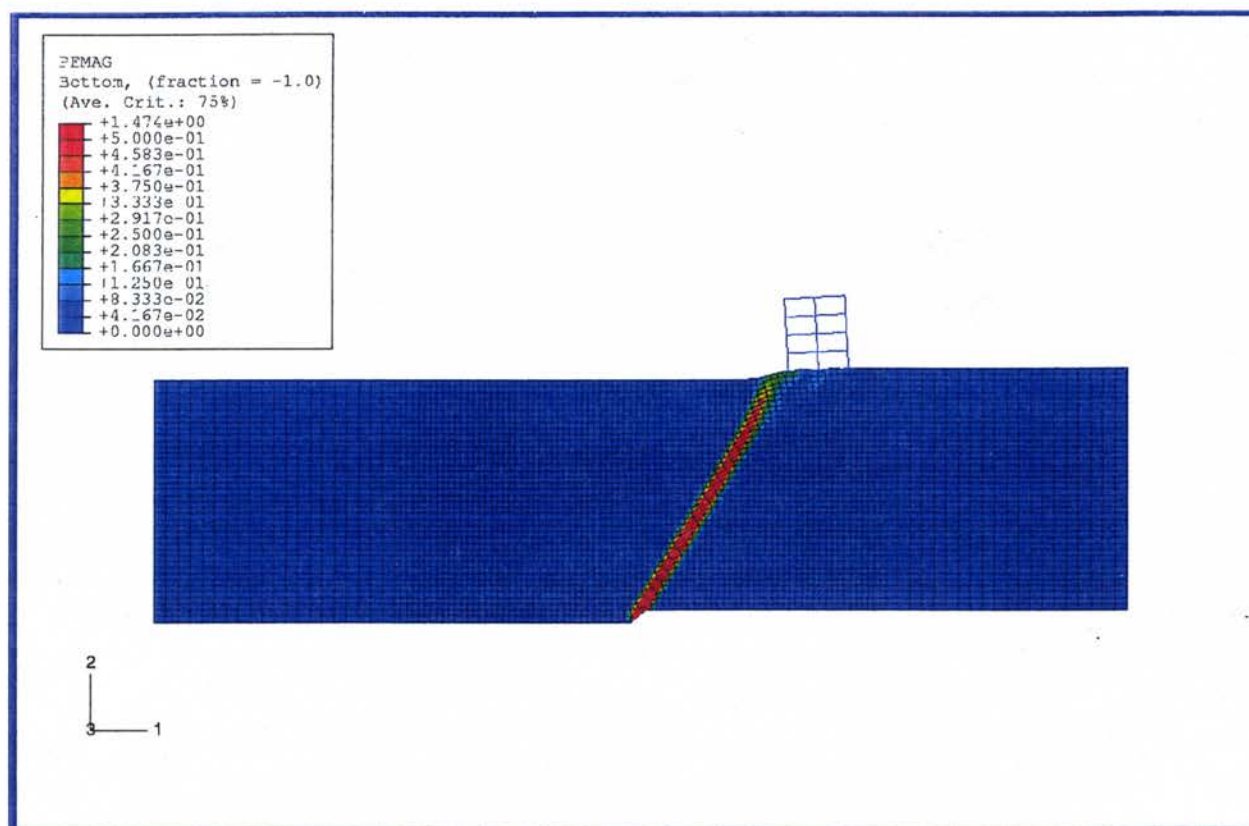


**Σχήμα 3.44** Τετραώροφο κτίριο με μεμονωμένα θεμέλια πλάτους 2.0 m, σε απόσταση 2 m από την επιφανειακή εκδήλωση του ρήγματος : Κλίση  $\beta$  και οριζόντιες παραμορφώσεις  $\varepsilon$  της επιφάνειας του εδάφους



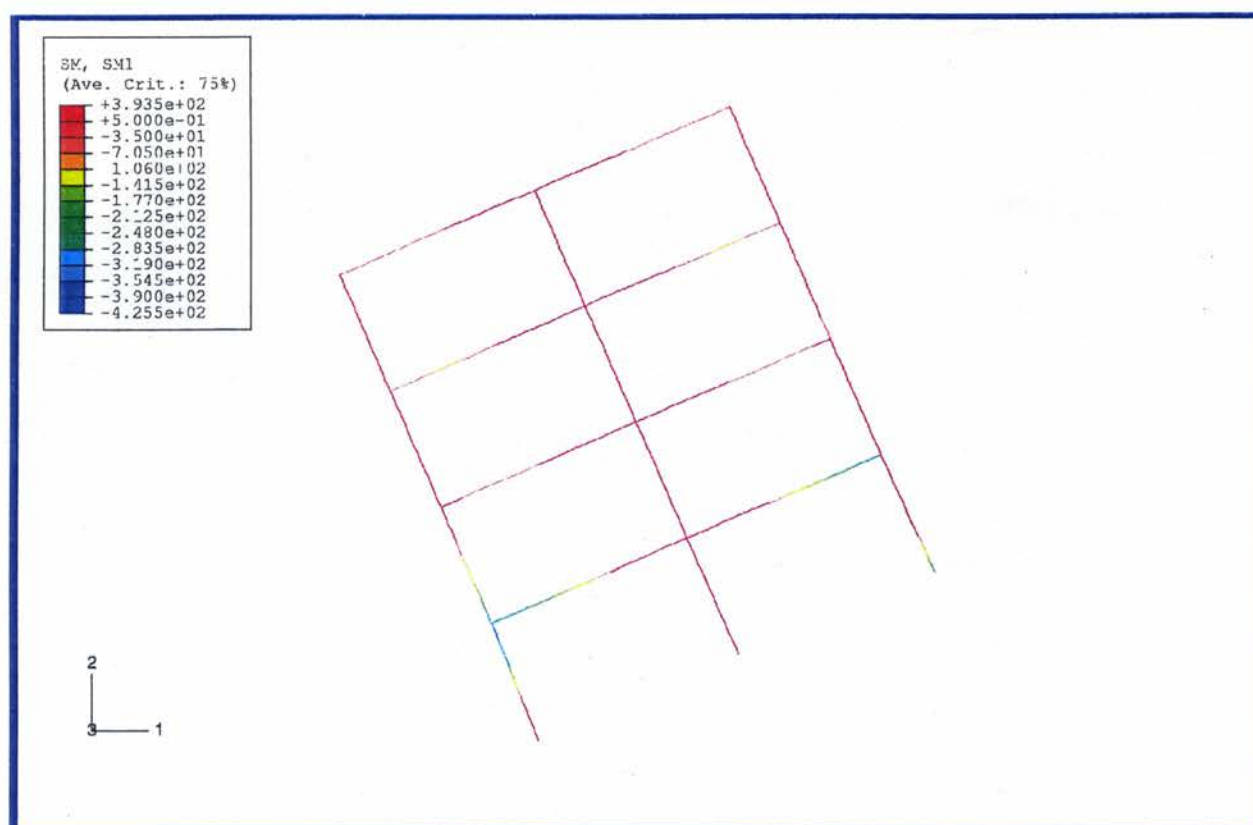
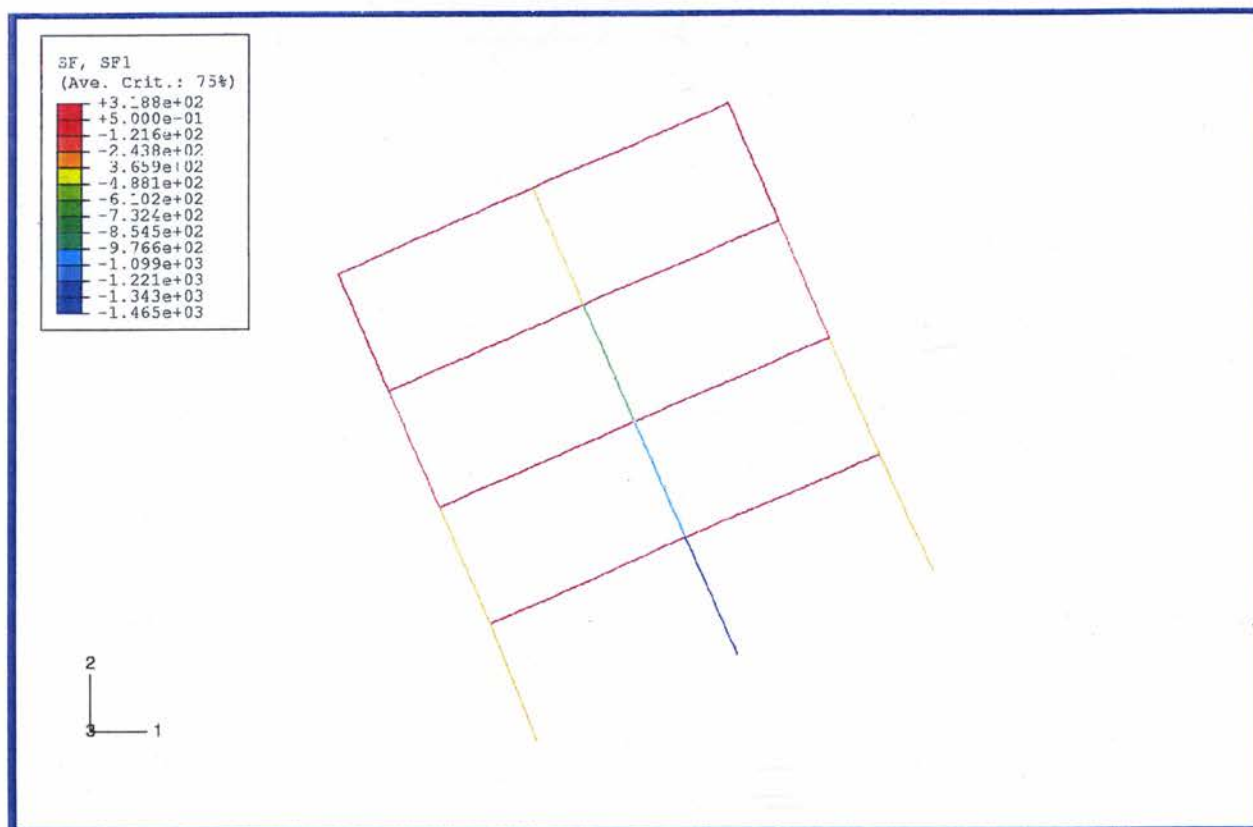
**Σχήμα 3.45** Τετραώροφο κτίριο με μεμονωμένα θεμέλια πλάτους 2.0 m, σε απόσταση 2 m από την επιφανειακή εκδήλωση του ρήγματος : Ισοϋψείς κατακορύφων μετακινήσεων



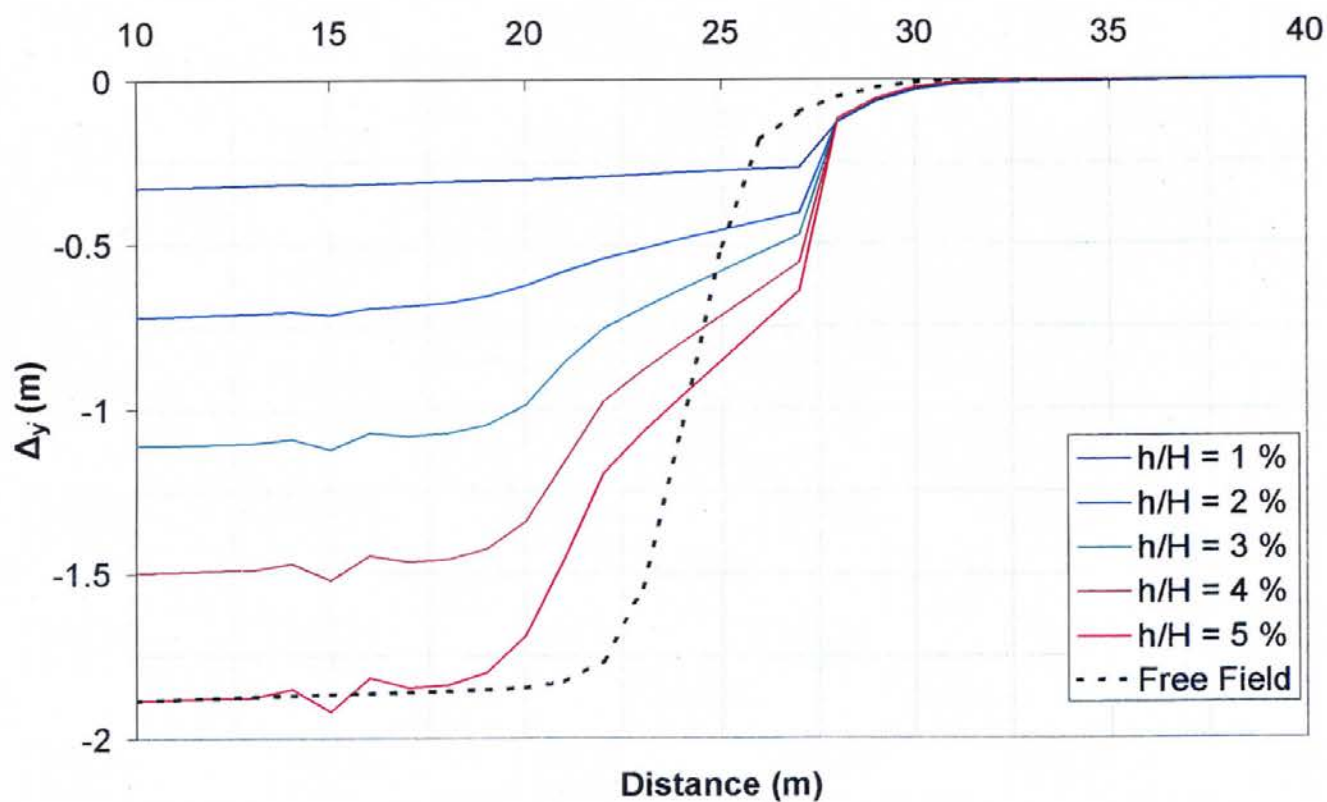
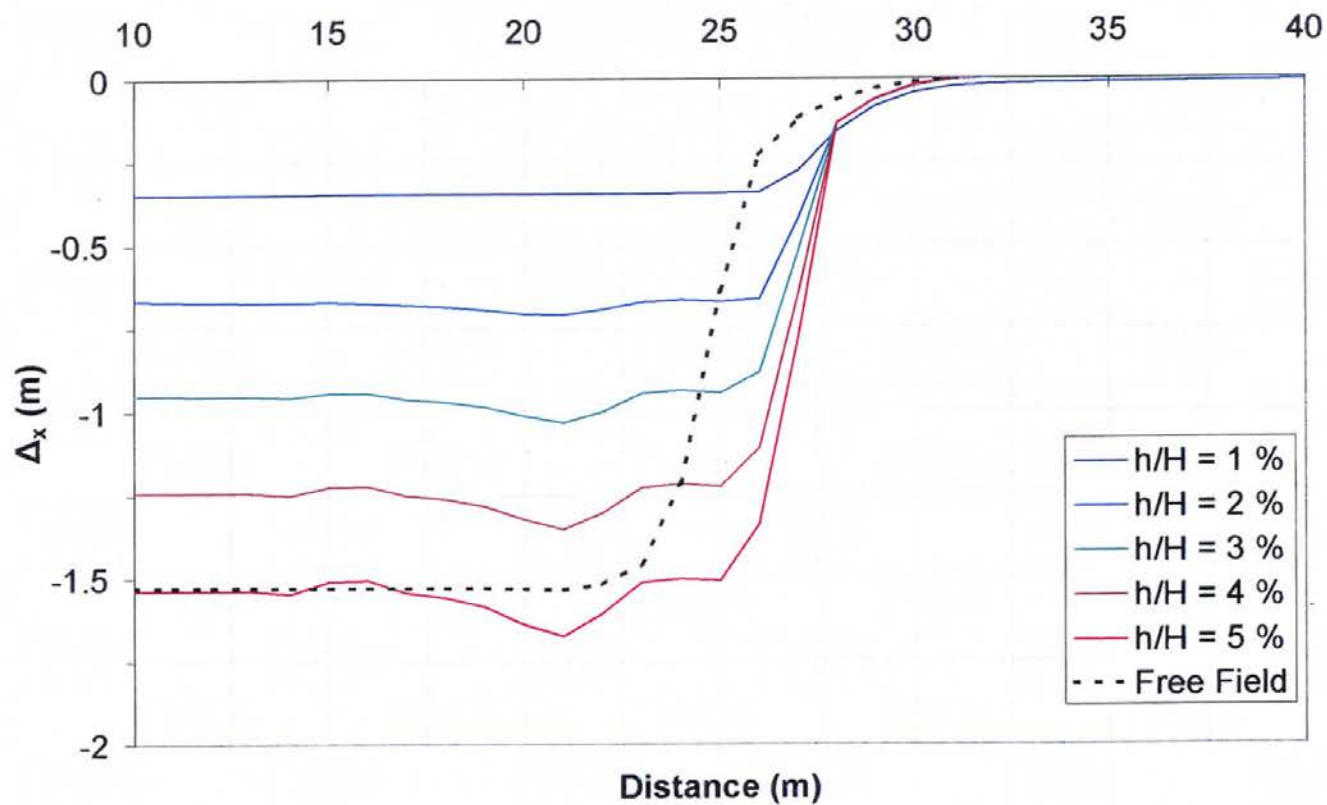


**Σχήμα 3.46** Τετραώροφο κτίριο με μεμονωμένα θεμέλια πλάτους 2.0 m, σε απόσταση 2 m από την επιφανειακή εκδήλωση του ρήγματος : Ισοϋψείς πλαστικών παραμορφώσεων

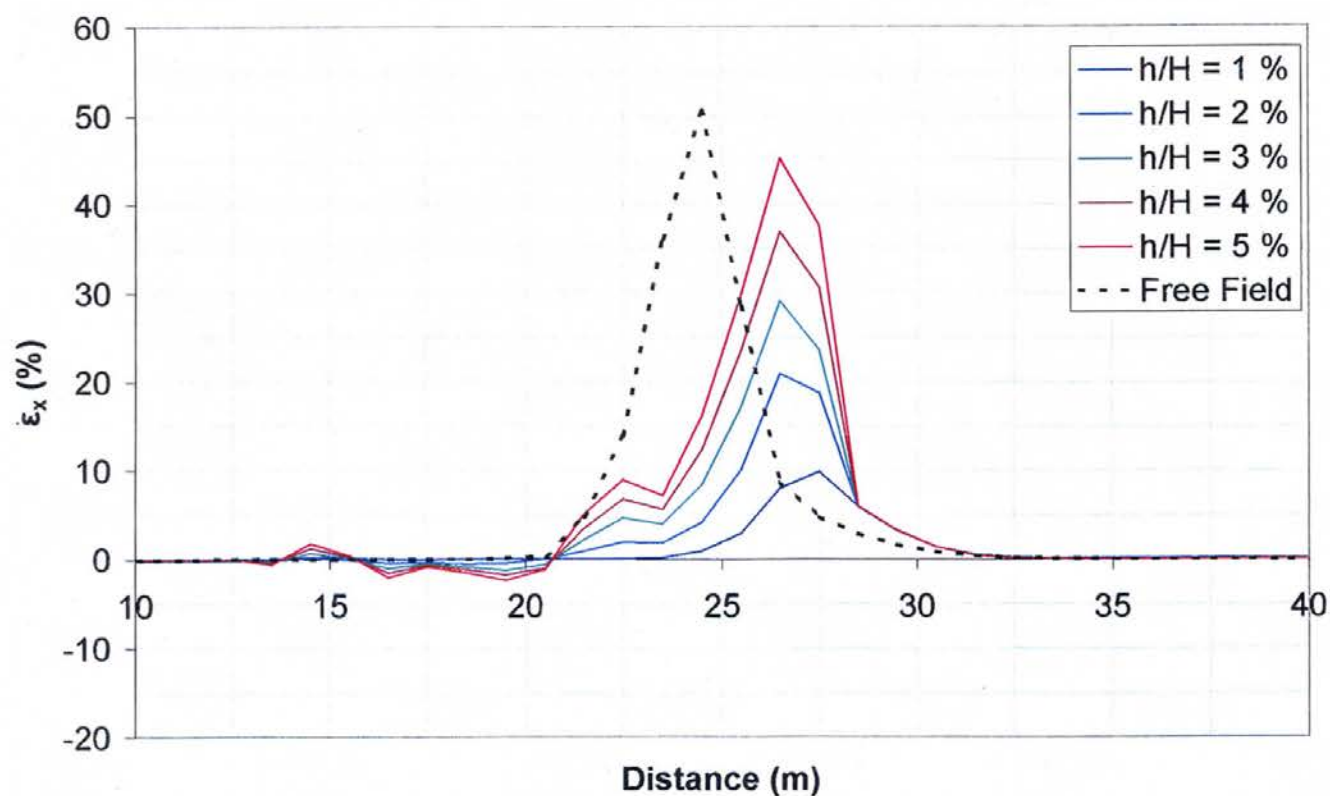
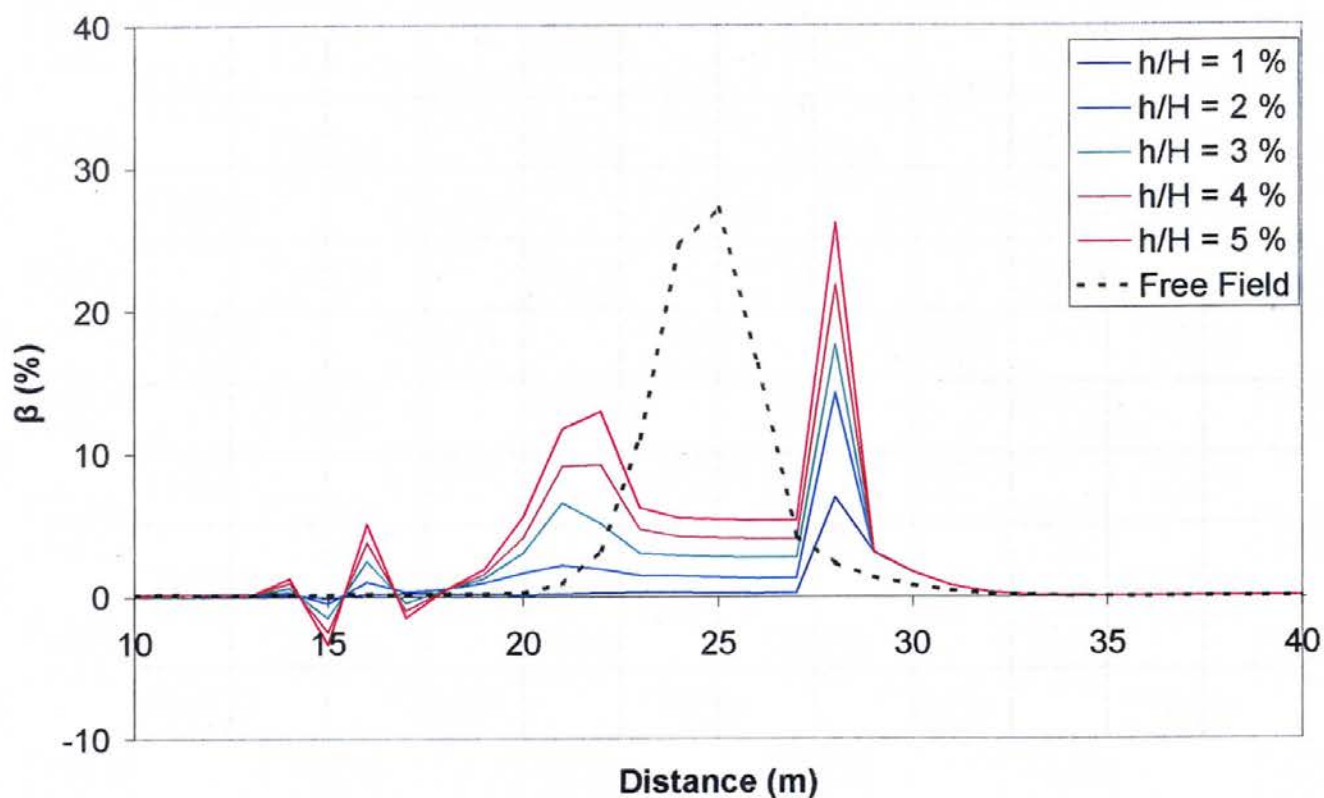




**Σχήμα 3.47** Τετραώροφο κτίριο με μεμονωμένα θεμέλια πλάτους 2.0 m, σε απόσταση 2 m από την επιφανειακή εκδήλωση του ρήγματος : Αναπτυσσόμενες αξονικές δυνάμεις και καμπτικές ροπές στην ανωδομή

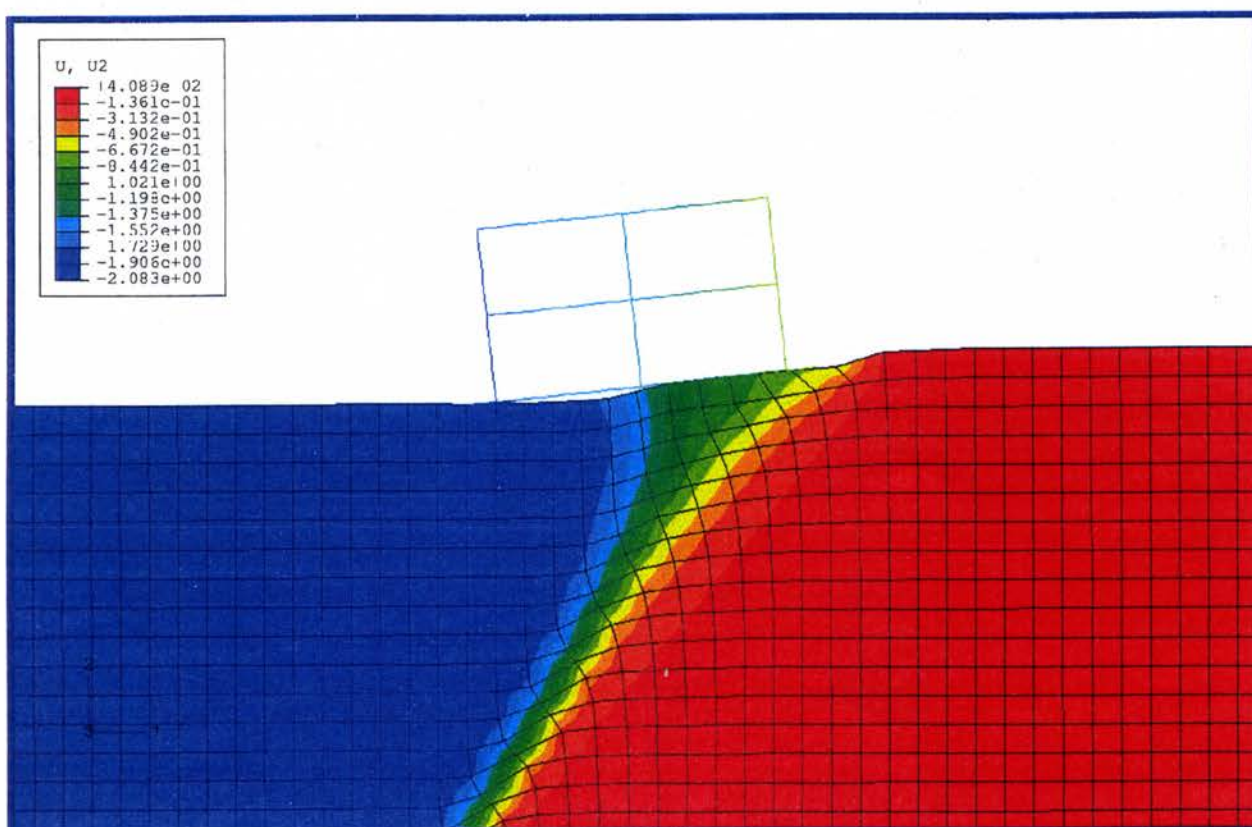
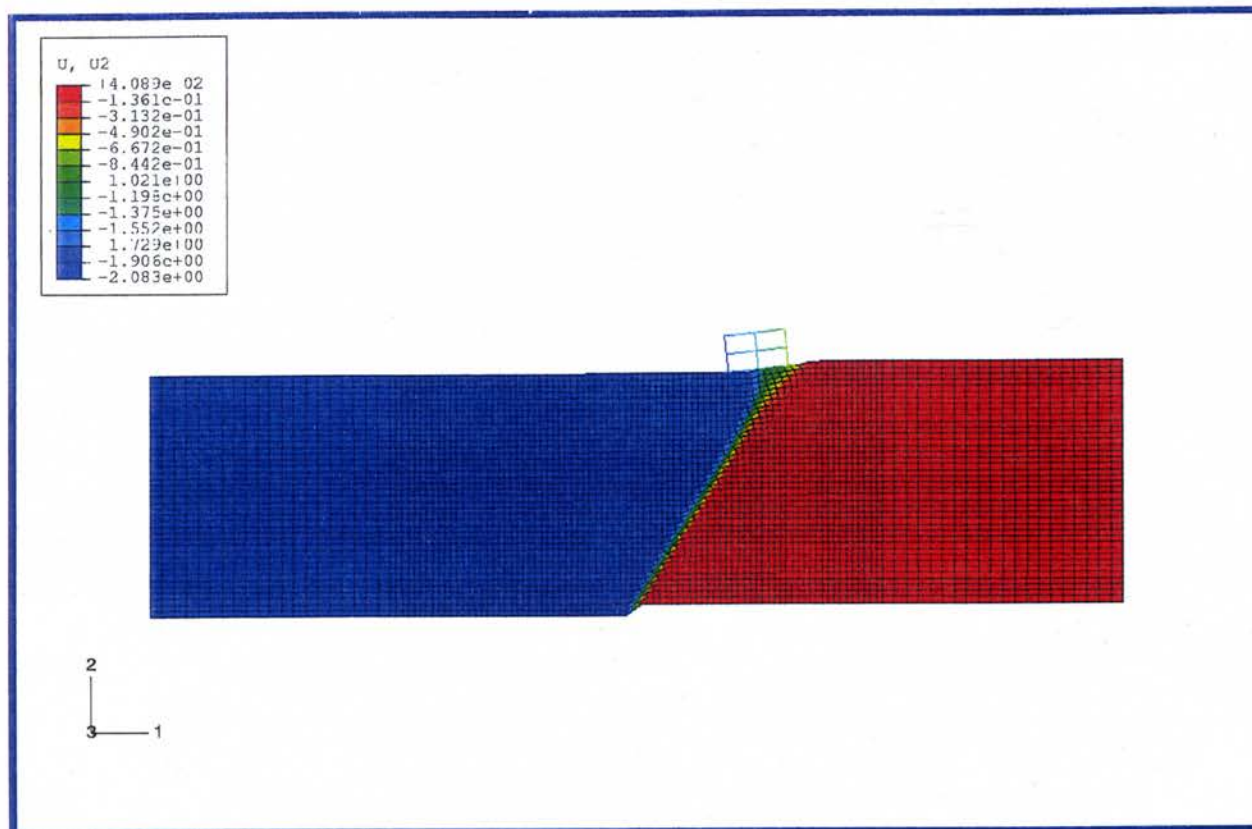


**Σχήμα 3.48** Διώροφο κτίριο με γενική κοιτόστρωση  $t = 0.2$  m, σε απόσταση 10 m από την επιφανειακή εκδήλωση του ρήγματος : Οριζόντιες και κατακόρυφες μετακινήσεις

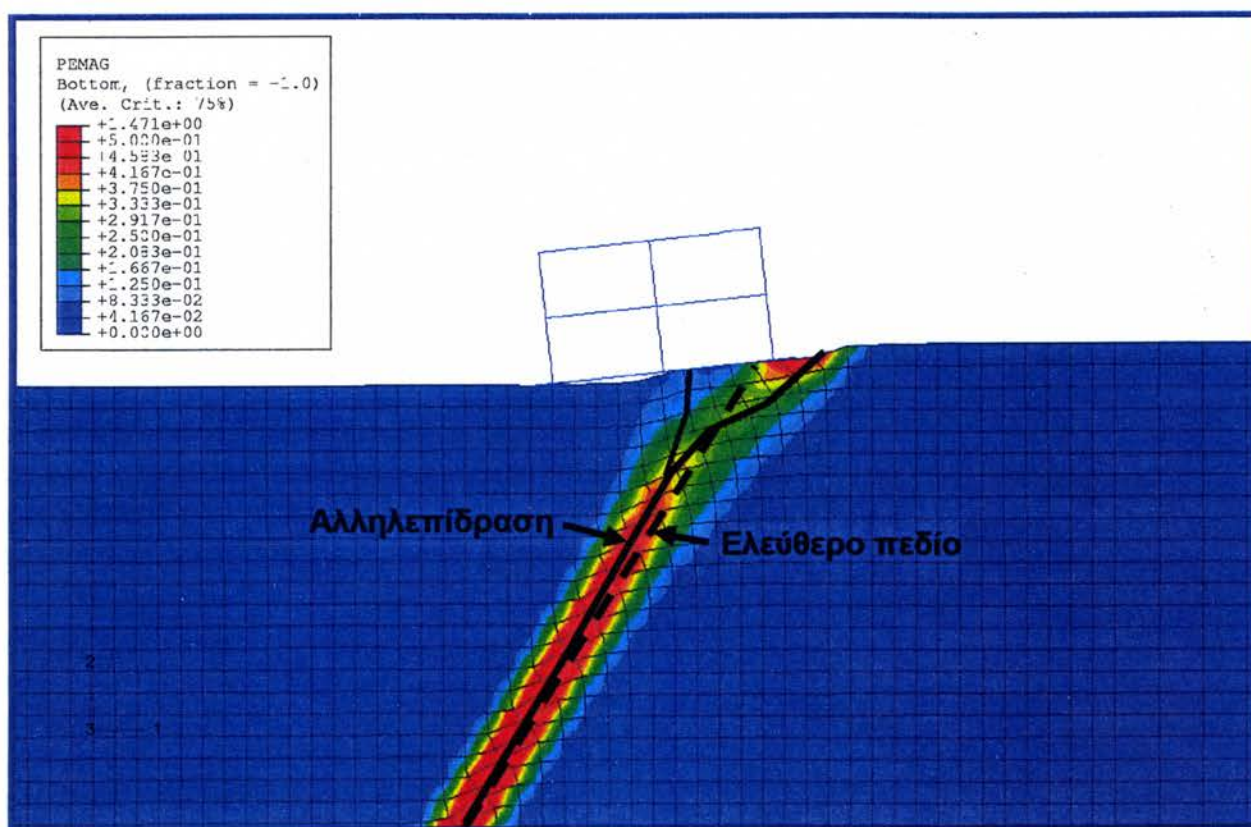
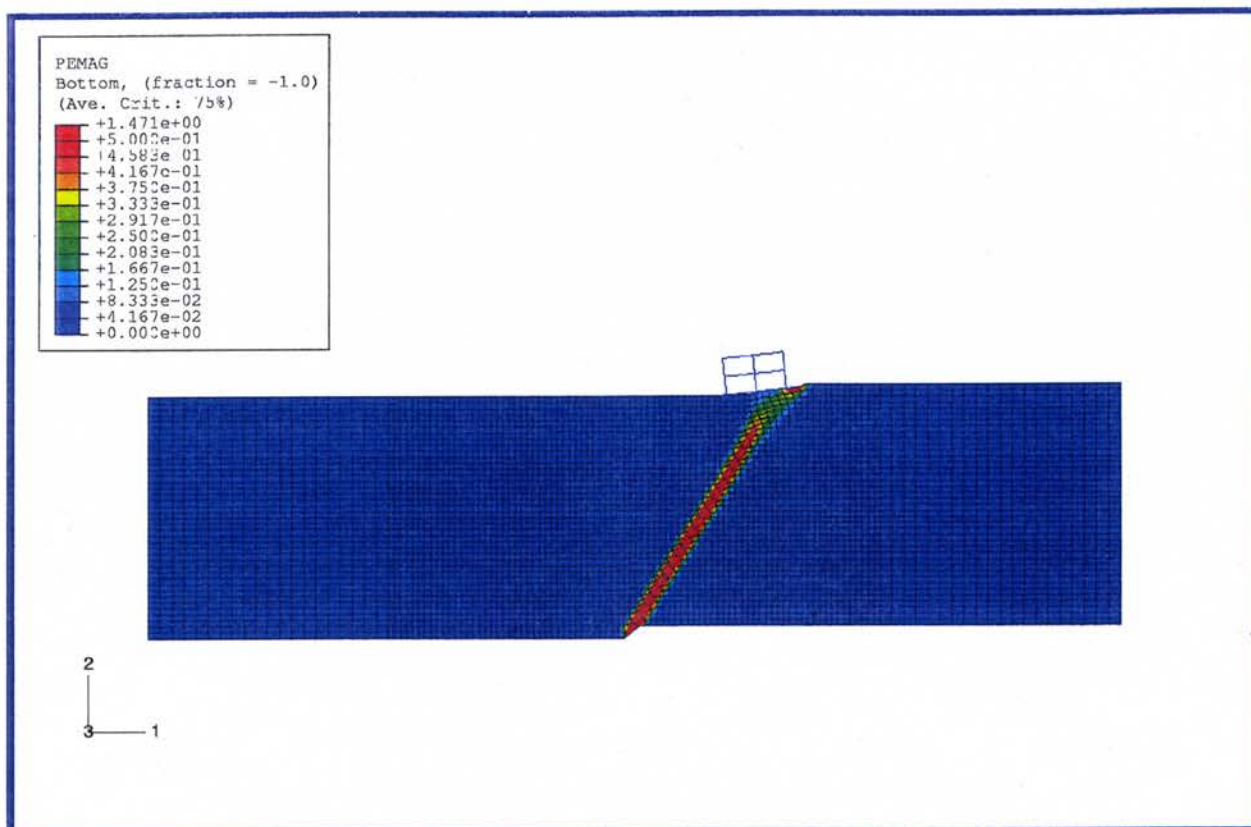


**Σχήμα 3.49** Διώροφο κτίριο με γενική κοιτόστρωση  $t = 0.2$  m, σε απόσταση 10 m από την επιφανειακή εκδήλωση του ρήγματος : Κλίση  $\beta$  και οριζόντιες παραμορφώσεις  $\epsilon$  της επιφάνειας του εδάφους



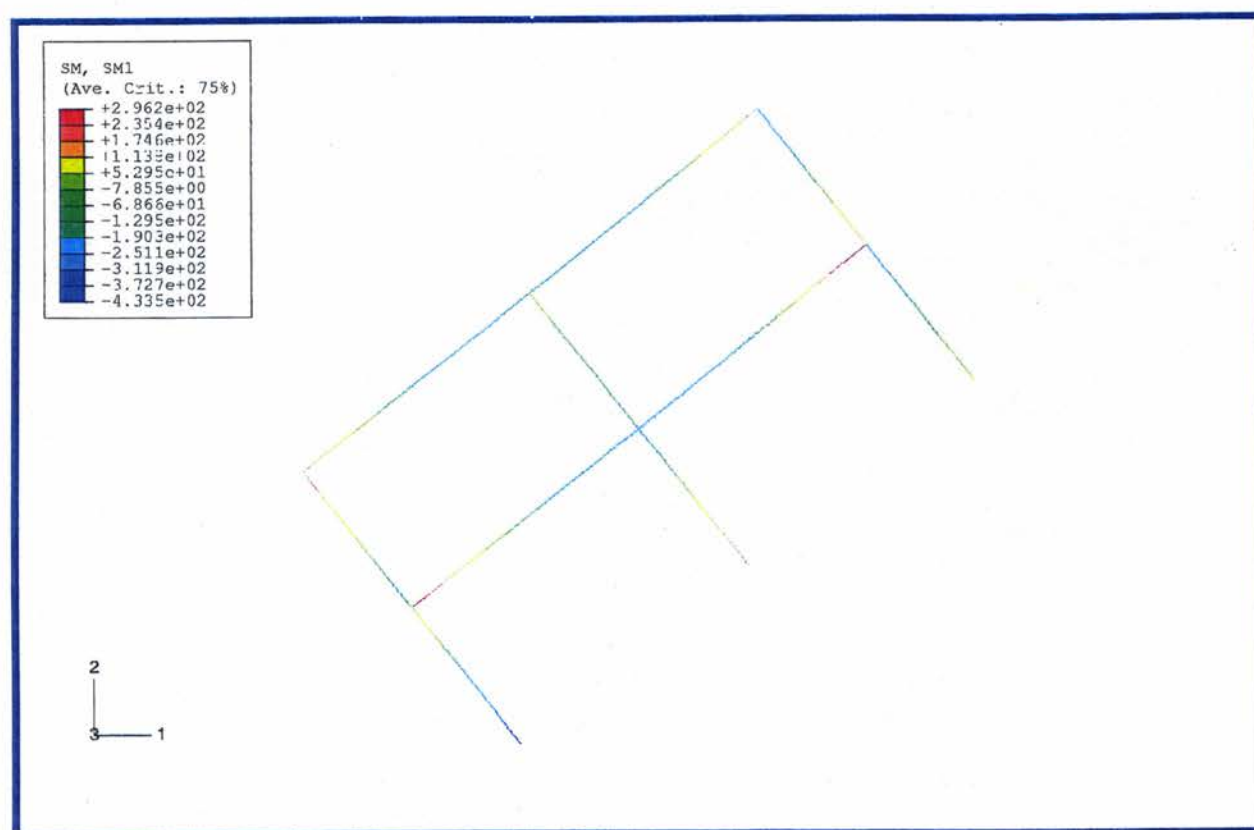
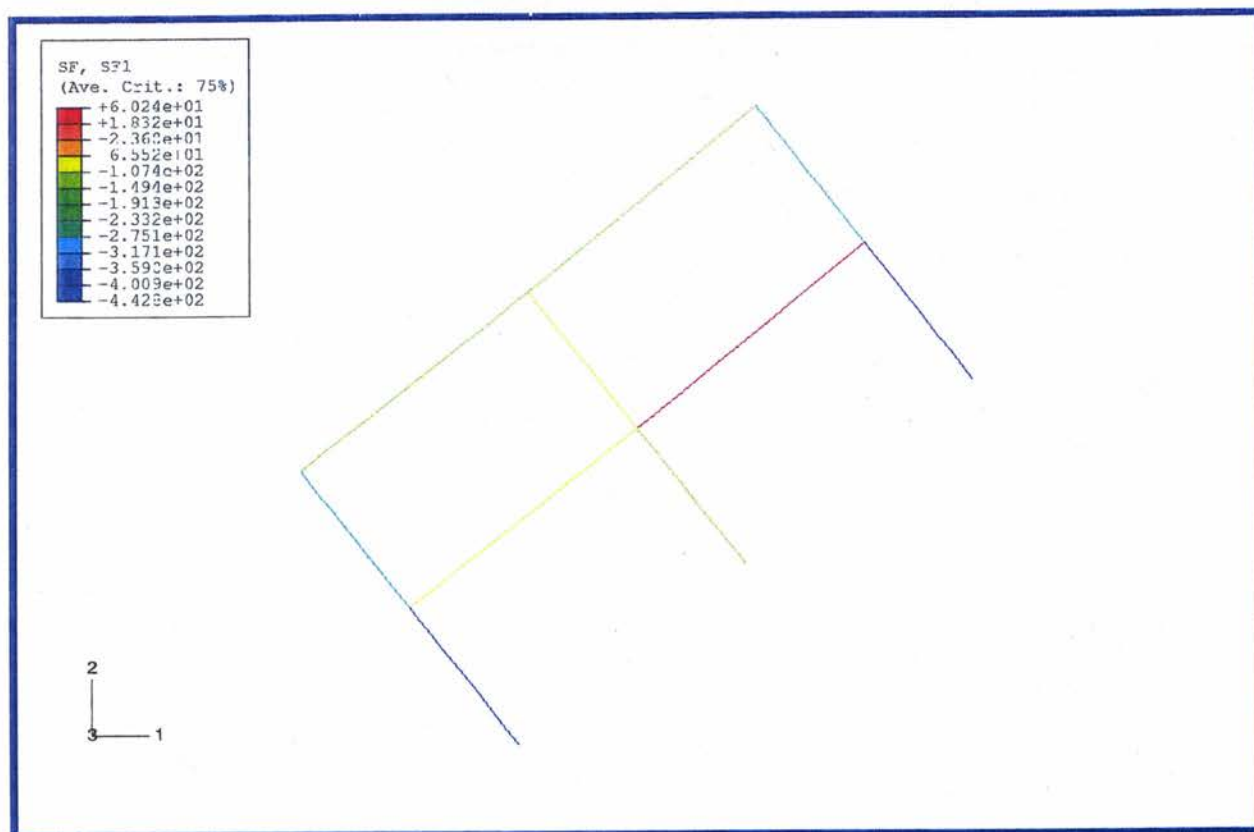


**Σχήμα 3.50** Διώροφο κτίριο με γενική κοιτόστρωση  $t = 0.2 \text{ m}$ , σε απόσταση  $10 \text{ m}$  από την επιφανειακή εκδήλωση του ρήγματος : Ισοϋψείς κατακορύφων μετακινήσεων



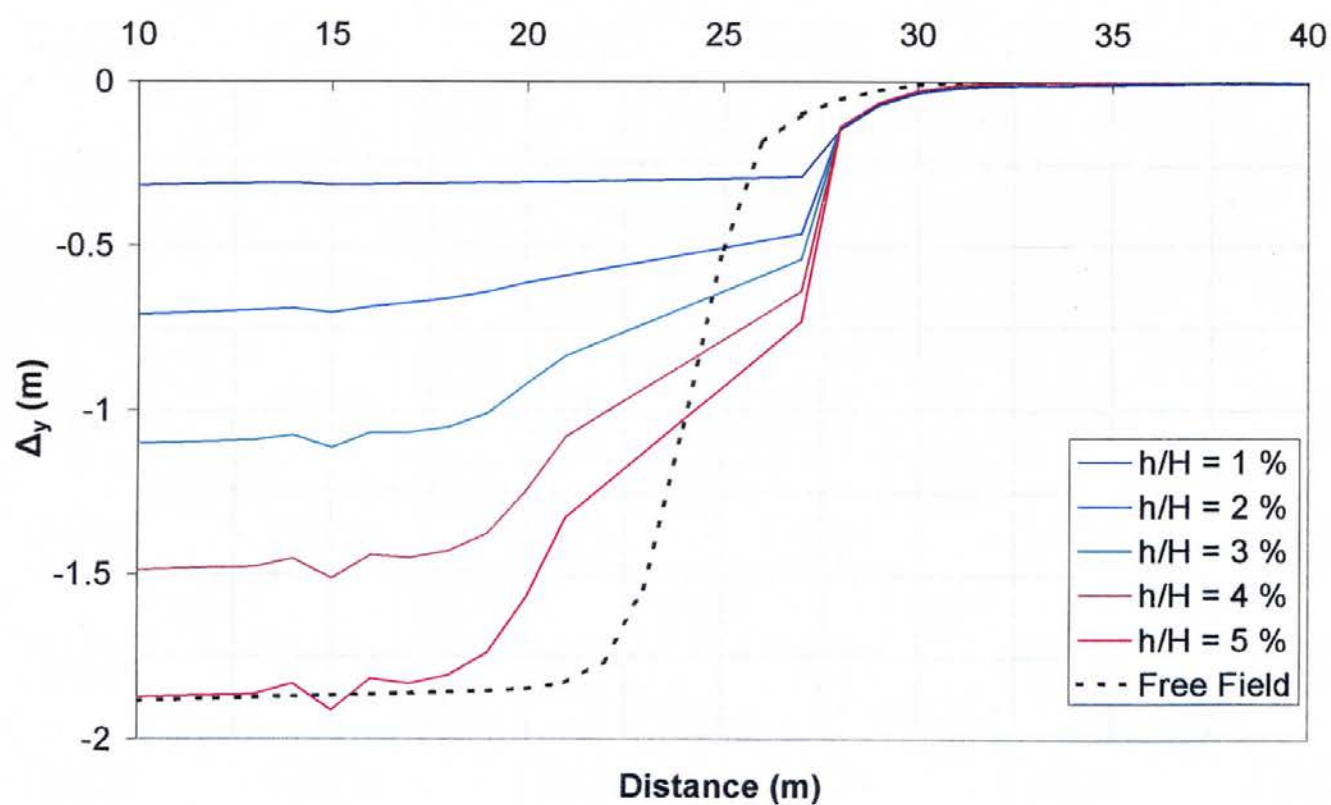
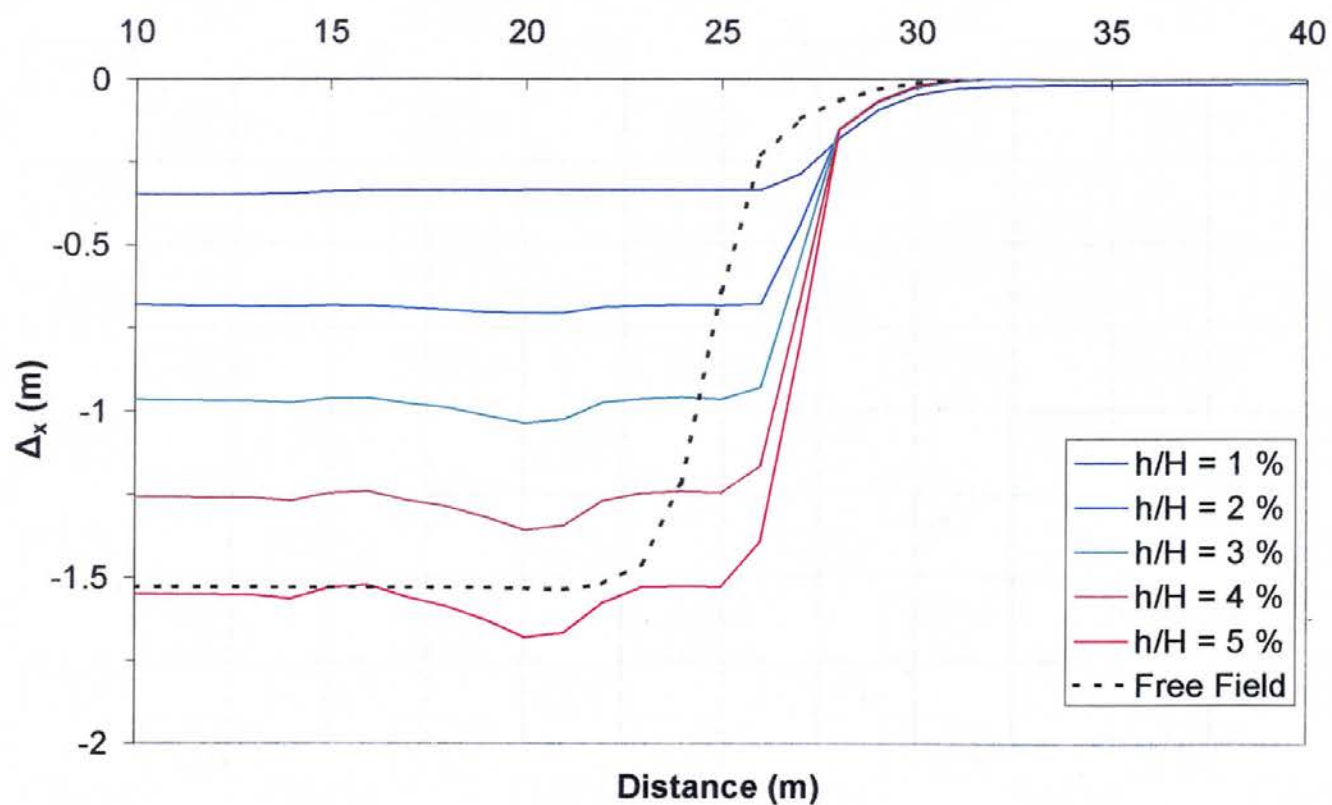
**Σχήμα 3.51** Διώροφο κτίριο με γενική κοιτόστρωση  $t = 0.2 \text{ m}$ , σε απόσταση  $10 \text{ m}$  από την επιφανειακή εκδήλωση του ρήγματος : Ισοϋψείς πλαστικών παραμορφώσεων



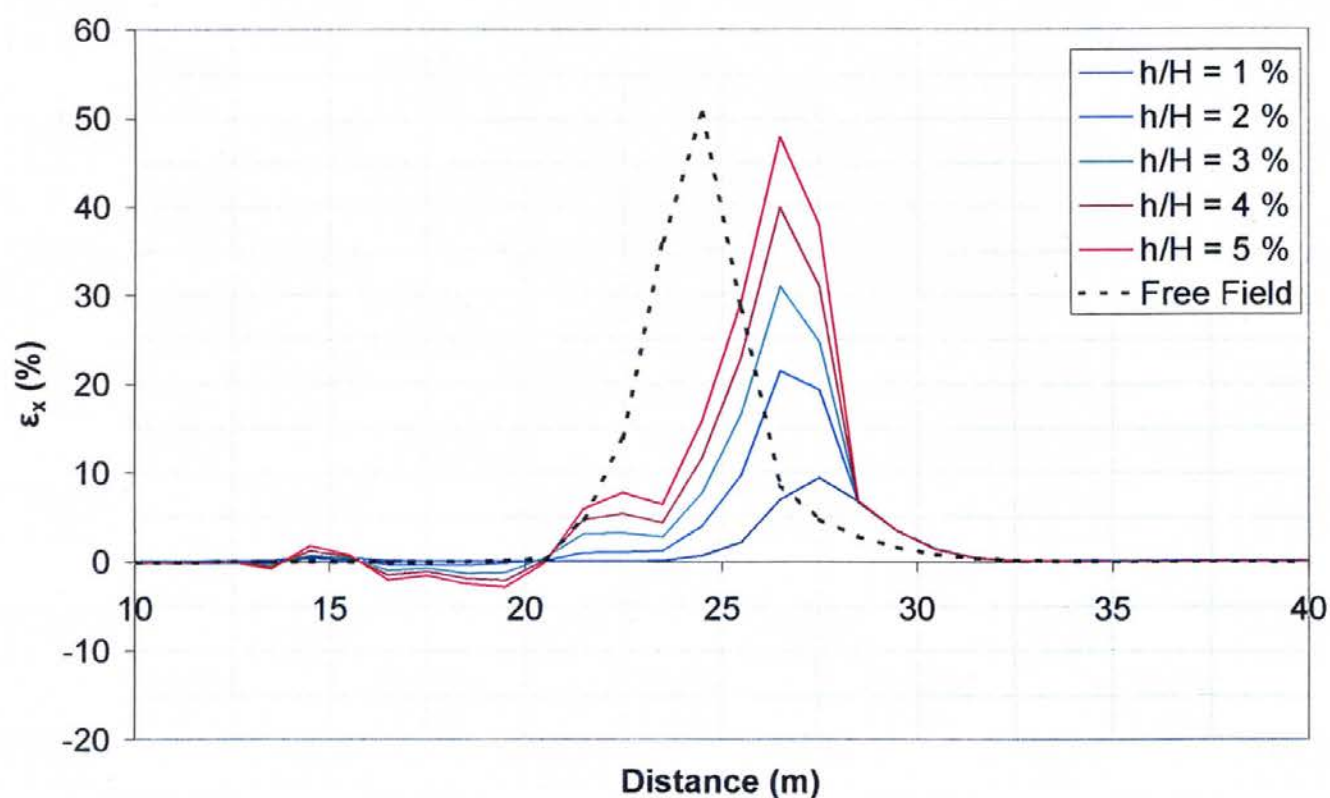
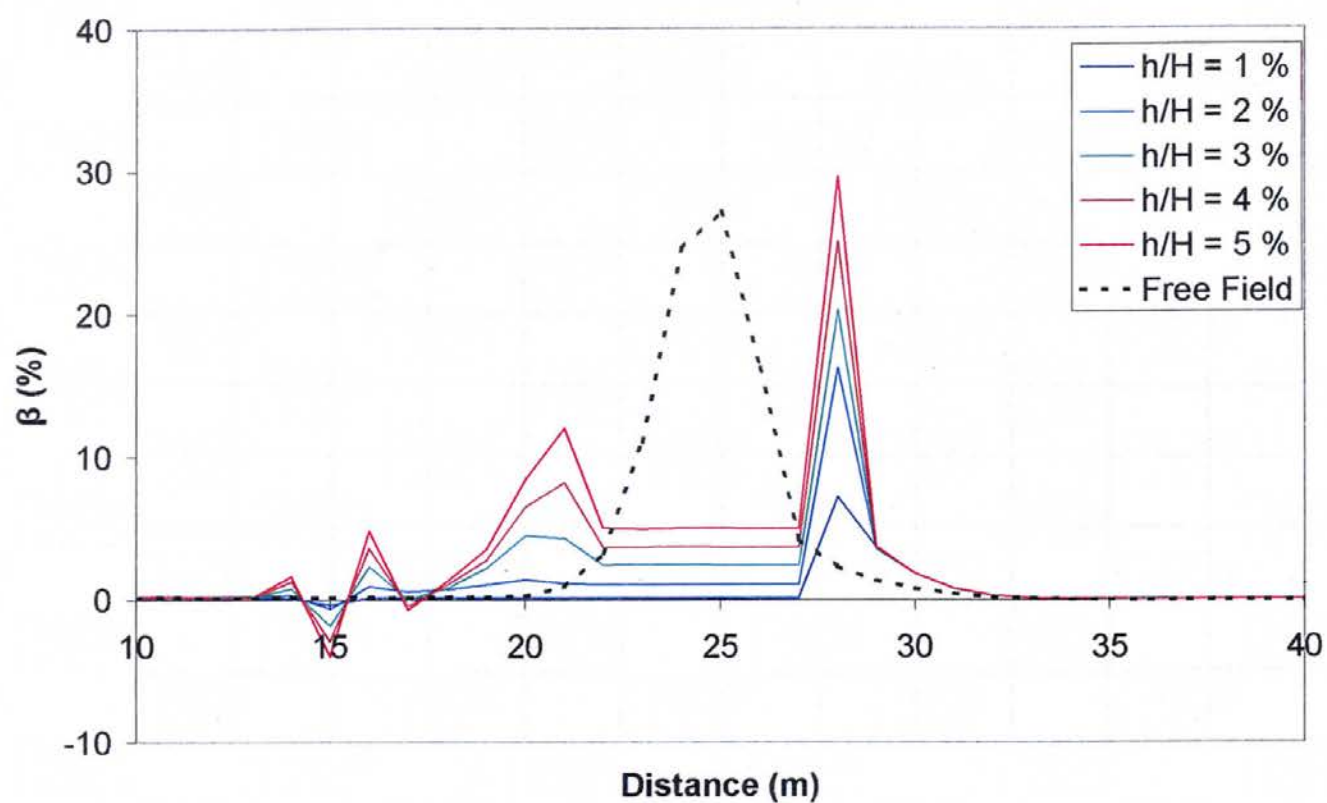


**Σχήμα 3.52** Διώροφο κτίριο με γενική κοιτόστρωση  $t = 0.2 \text{ m}$ , σε απόσταση 10 m από την επιφανειακή εκδήλωση του ρήγματος : Αναπτυσσόμενες αξονικές δυνάμεις και καμπτικές ροπές στην ανωδομή

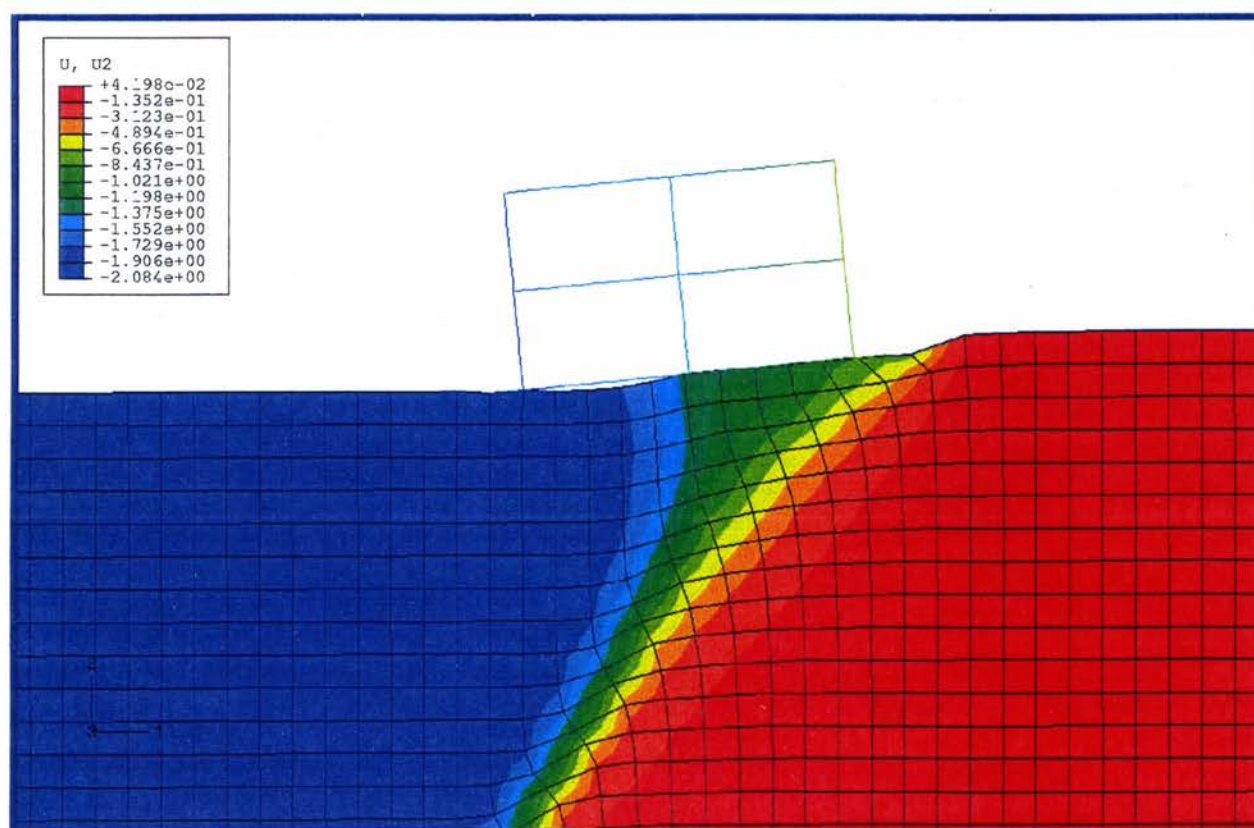
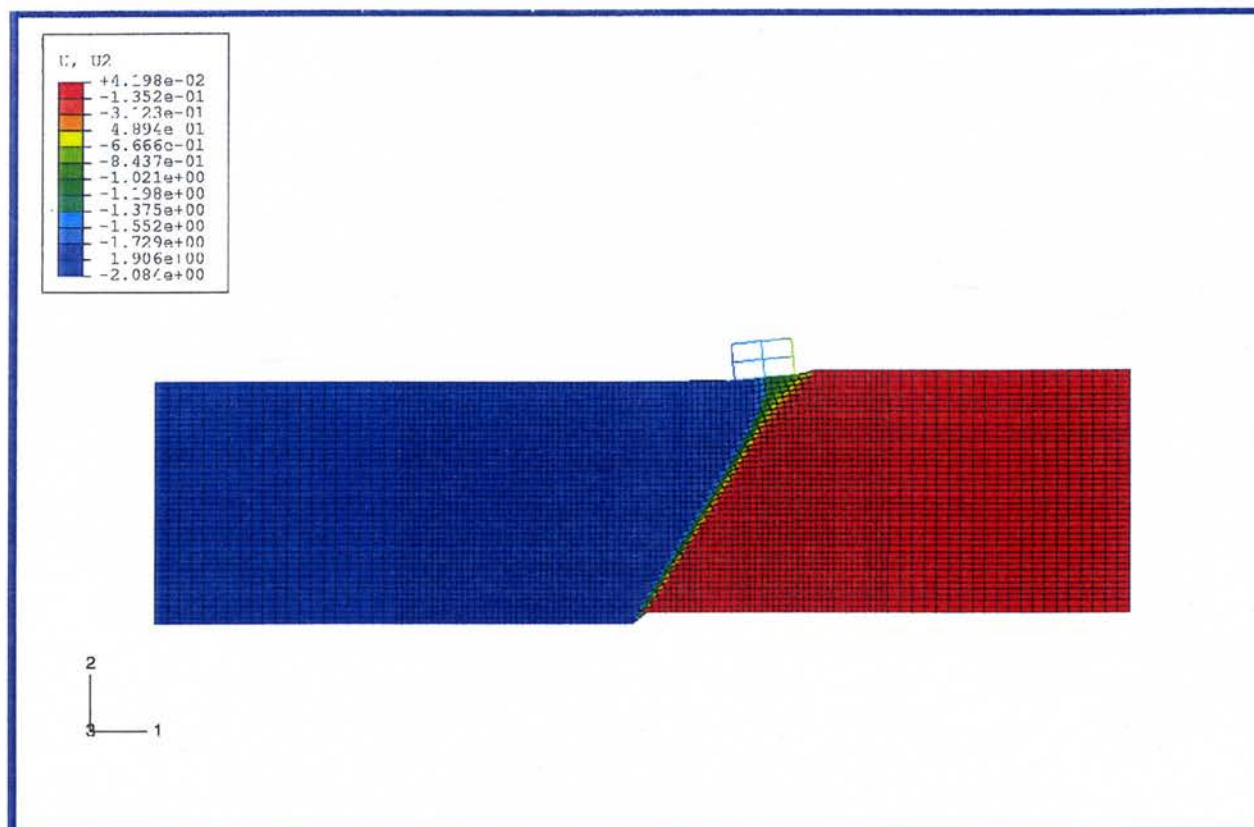




**Σχήμα 3.53** Διώροφο κτίριο με γενική κοιτόστρωση  $t = 0.5$  m, σε απόσταση 10 m από την επιφανειακή εκδήλωση του ρήγματος : Οριζόντιες και κατακόρυφες μετακινήσεις

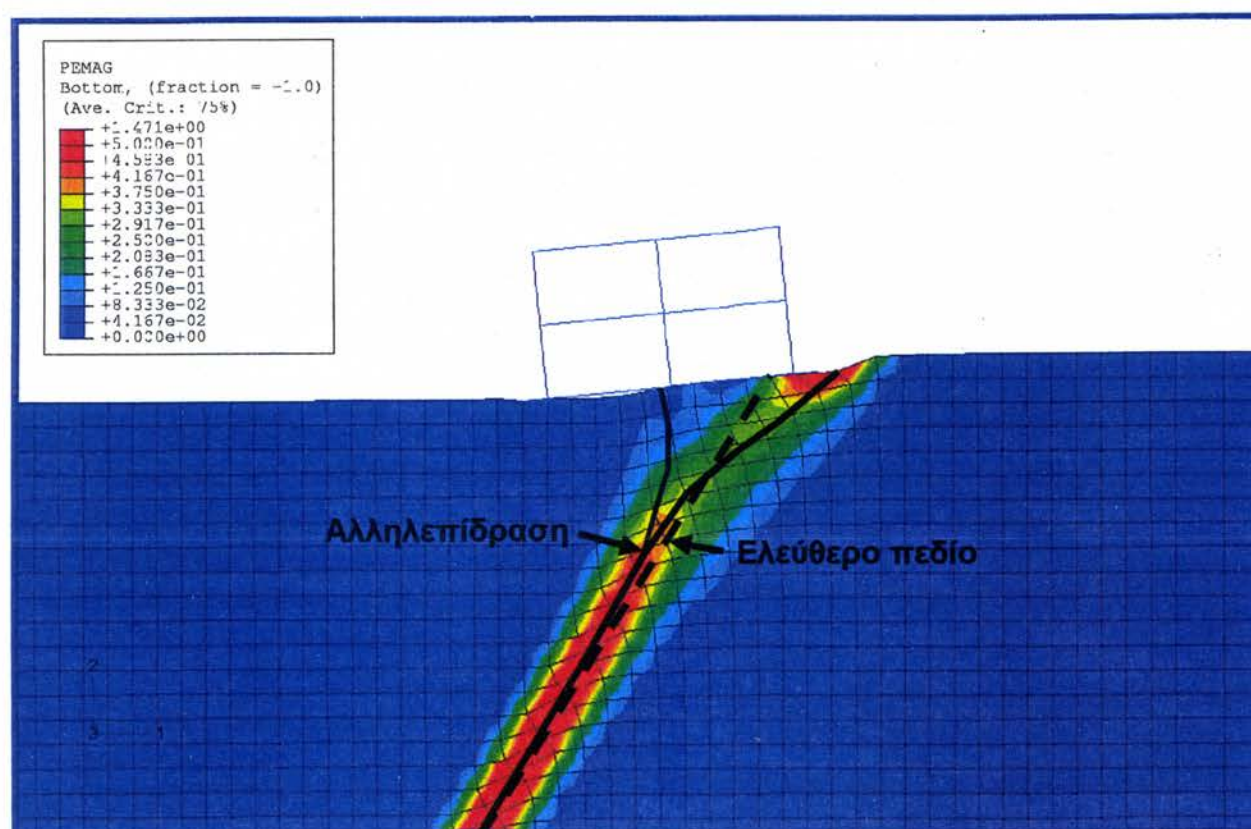
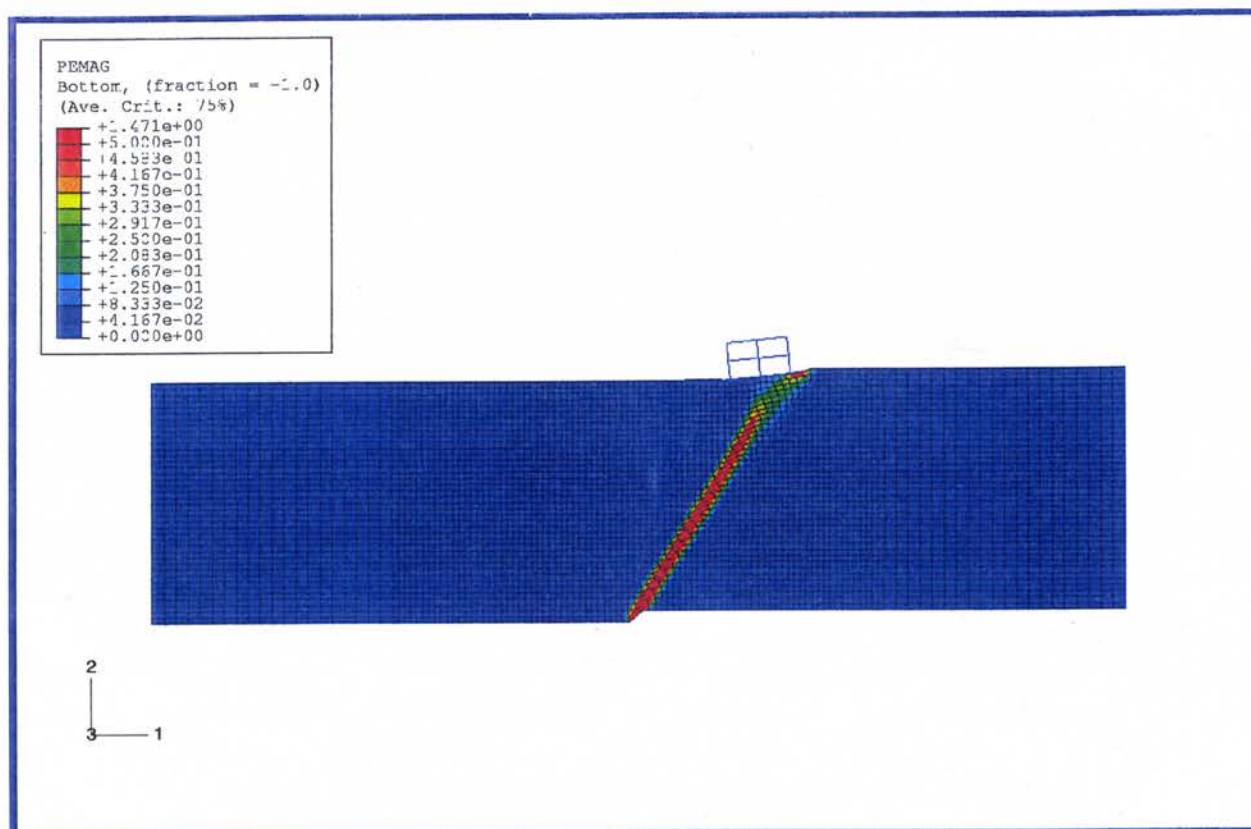


**Σχήμα 3.54** Διώροφο κτίριο με γενική κοιτόστρωση  $t = 0.5$  m, σε απόσταση 10 m από την επιφανειακή εκδήλωση του ρήγματος : Κλίση  $\beta$  και οριζόντιες παραμορφώσεις  $\varepsilon$  της επιφάνειας του εδάφους

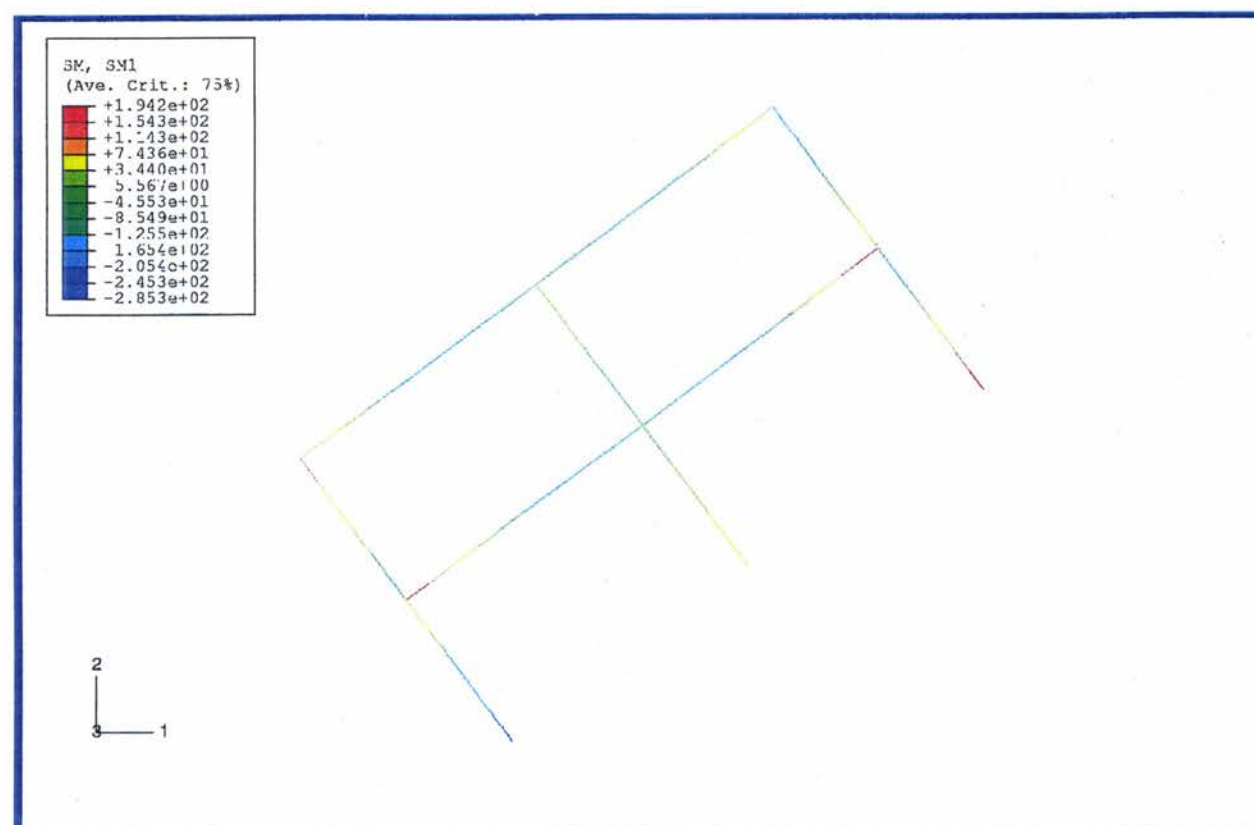
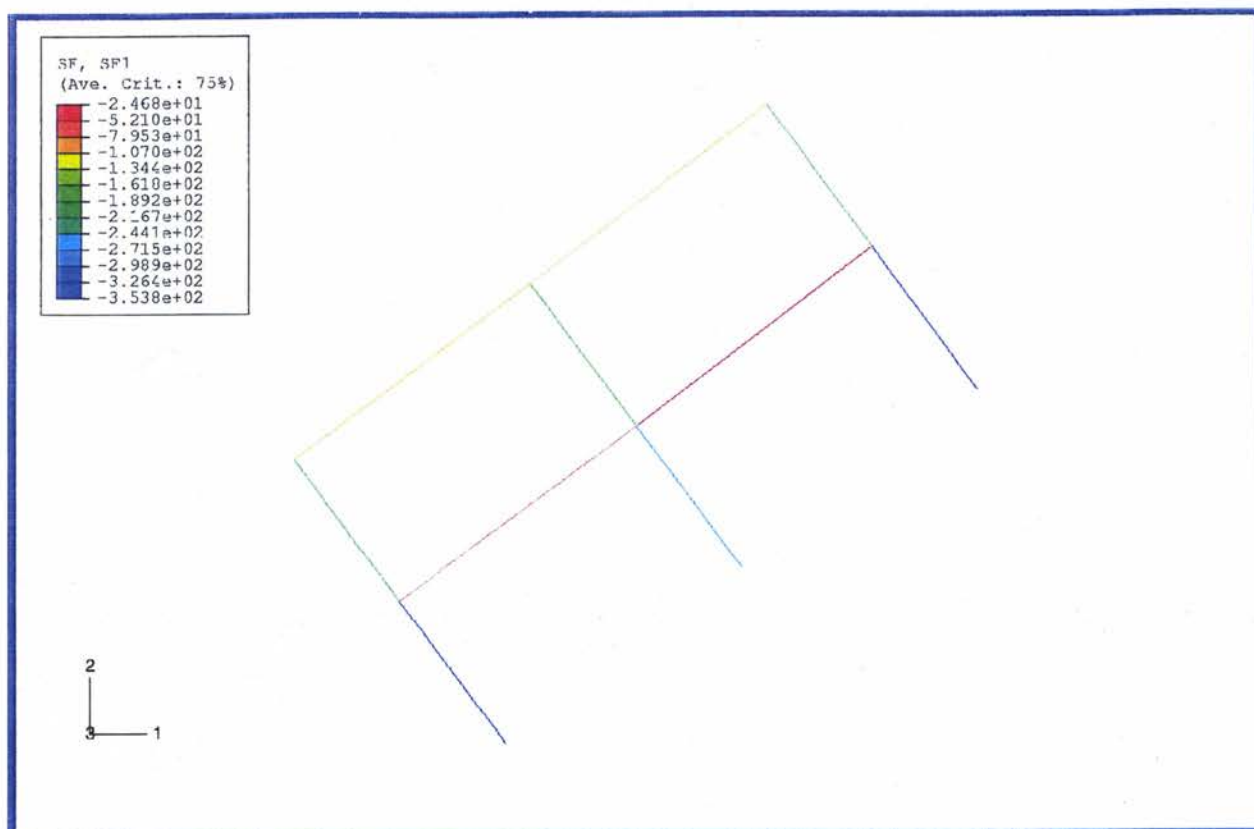


**Σχήμα 3.55** Διώροφο κτίριο με γενική κοιτόστρωση  $t = 0.5$  m, σε απόσταση 10 m από την επιφανειακή εκδήλωση του ρήγματος : Ισοϋψείς κατακορύφων μετακινήσεων

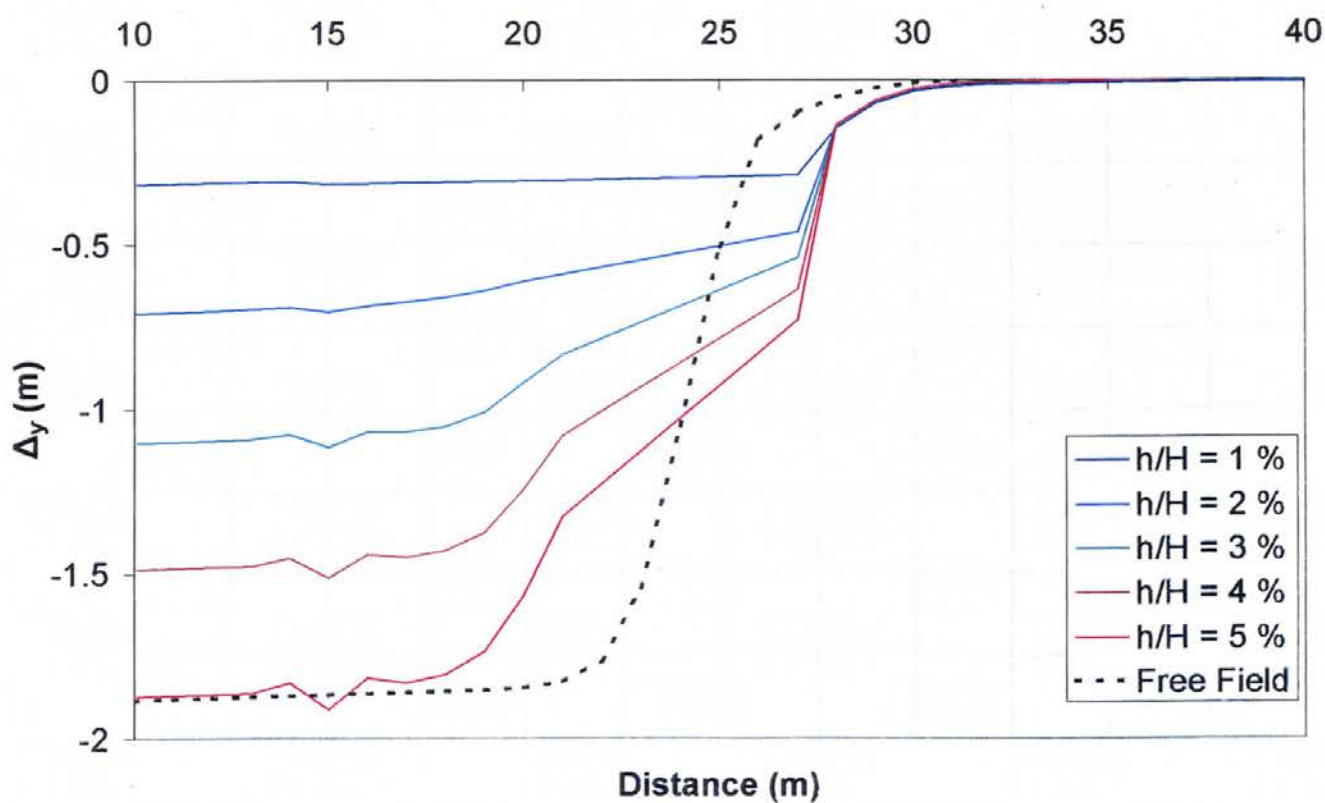
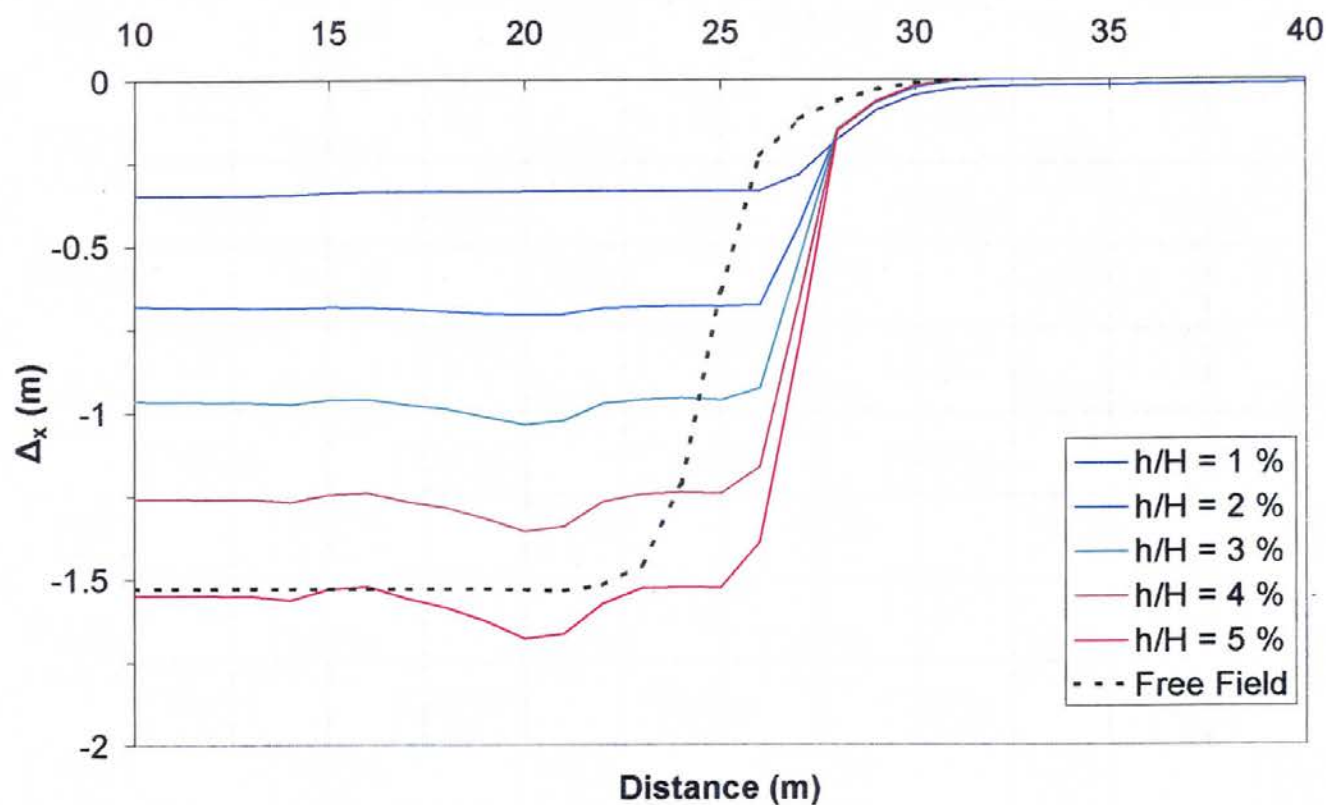




**Σχήμα 3.56** Διώροφο κτίριο με γενική κοιτόστρωση  $t = 0.5 \text{ m}$ , σε απόσταση 10 m από την επιφανειακή εκδήλωση του ρήγματος : Ισοϋψείς πλαστικών παραμορφώσεων

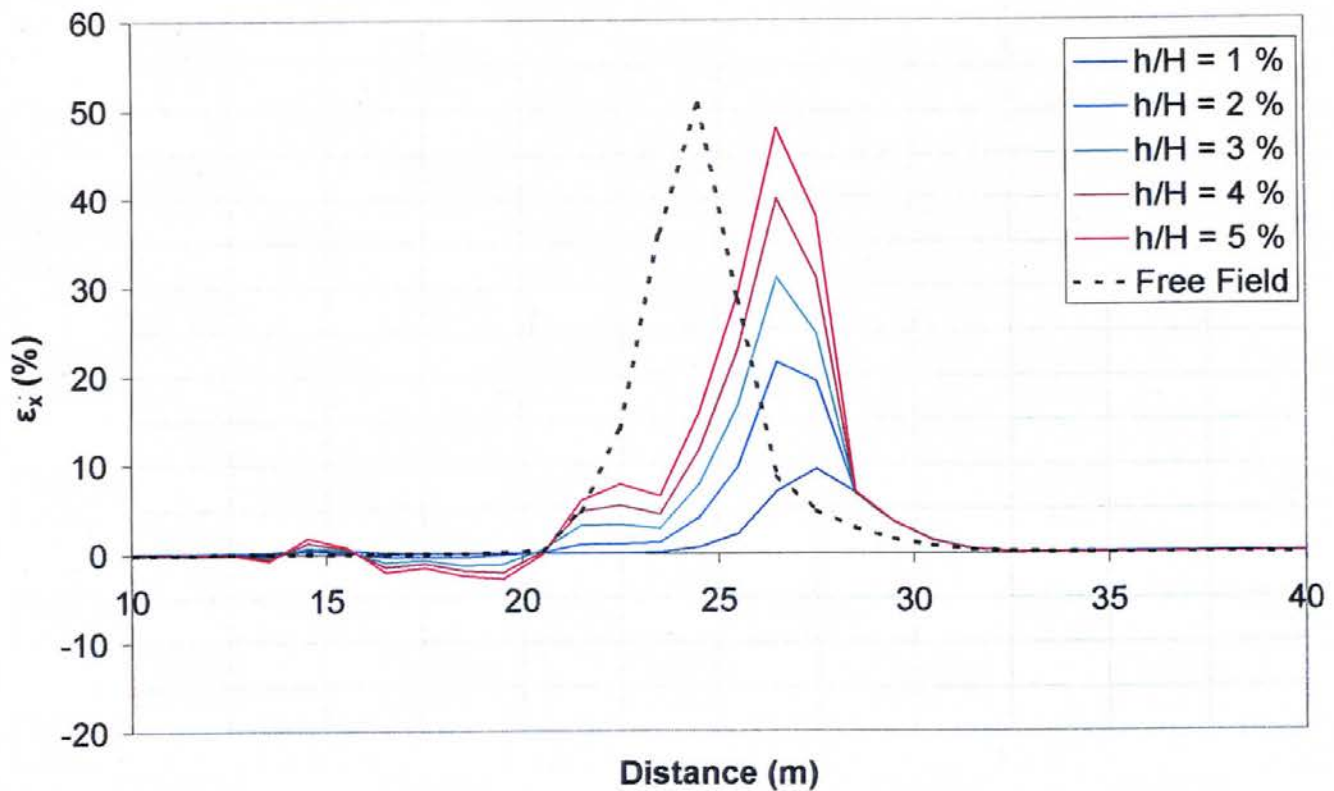
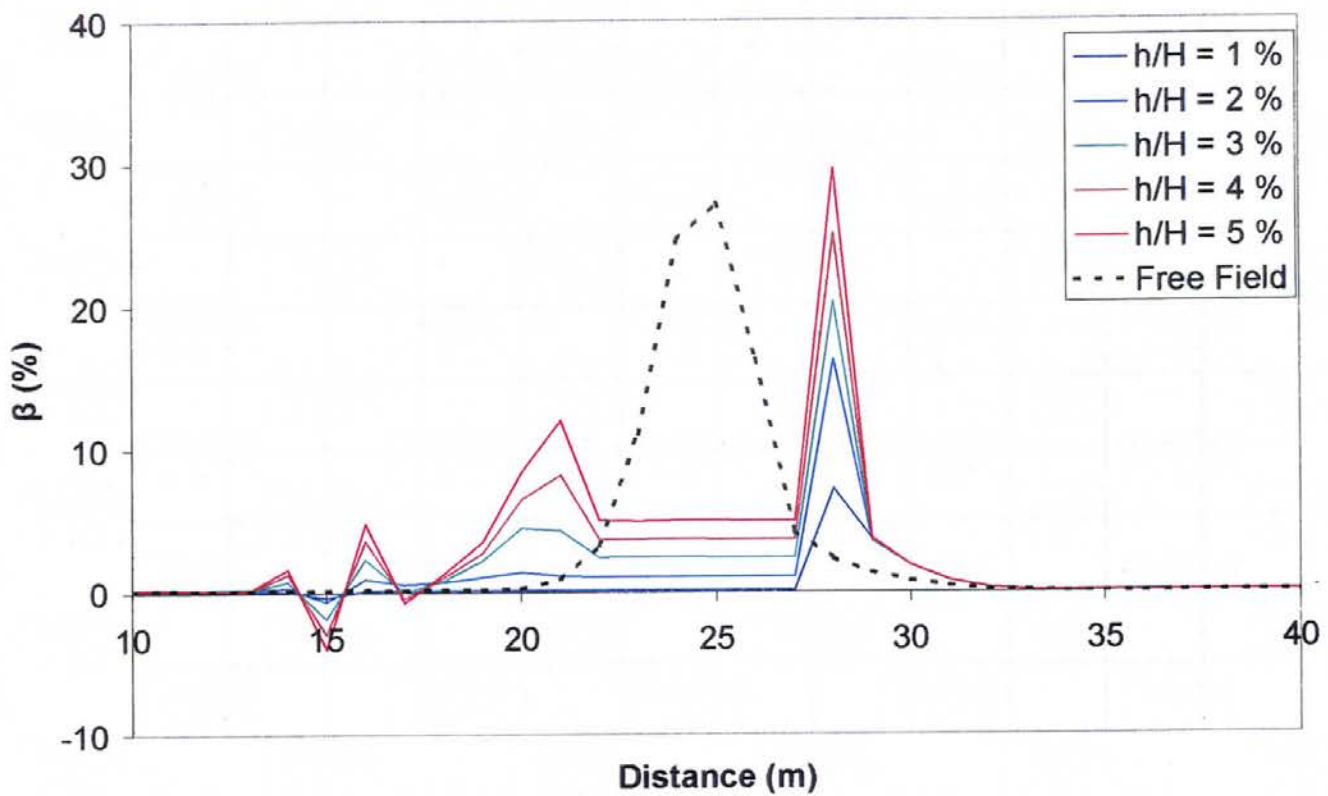


**Σχήμα 3.57** Διώροφο κτίριο με γενική κοιτόστρωση  $t = 0.5$  m, σε απόσταση 10 m από την επιφανειακή εκδήλωση του ρήγματος : Αναπτυσσόμενες αξονικές δυνάμεις και καμπτικές ροπές στην ανωδομή

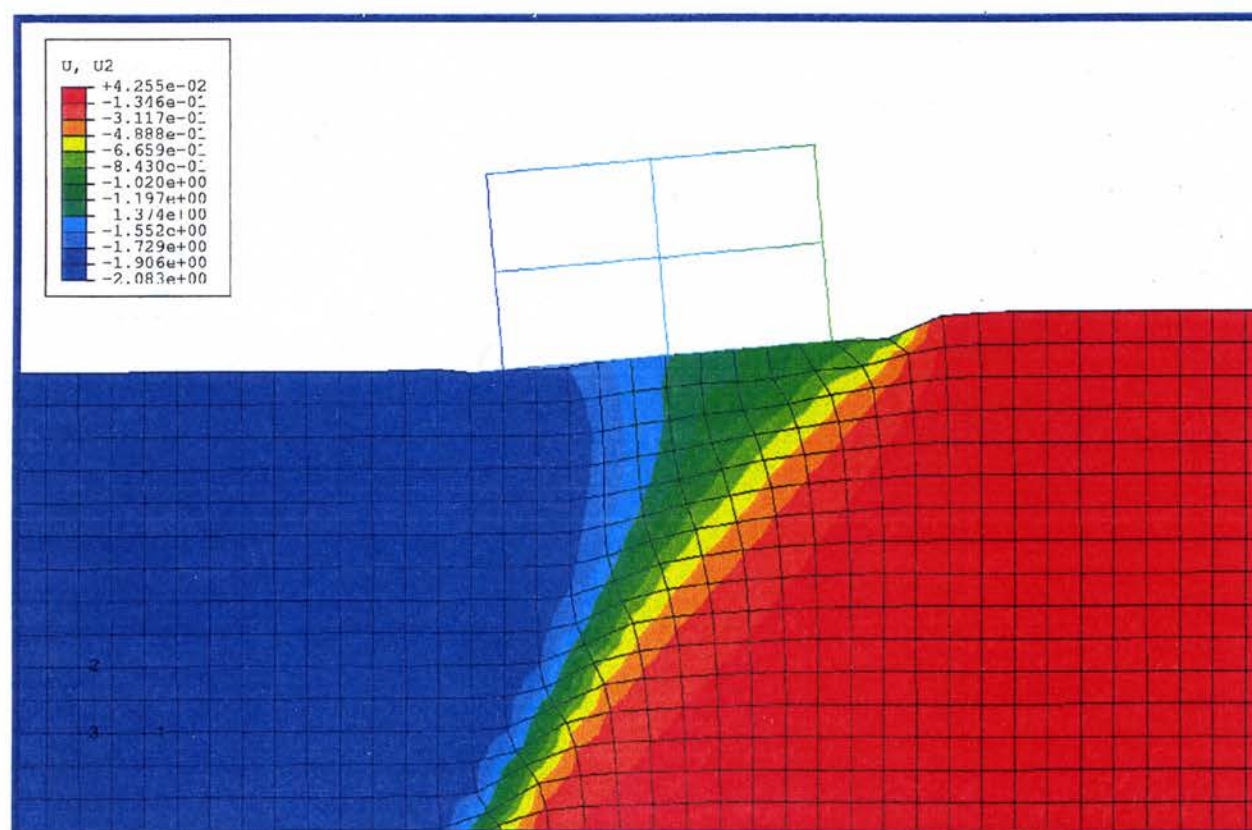
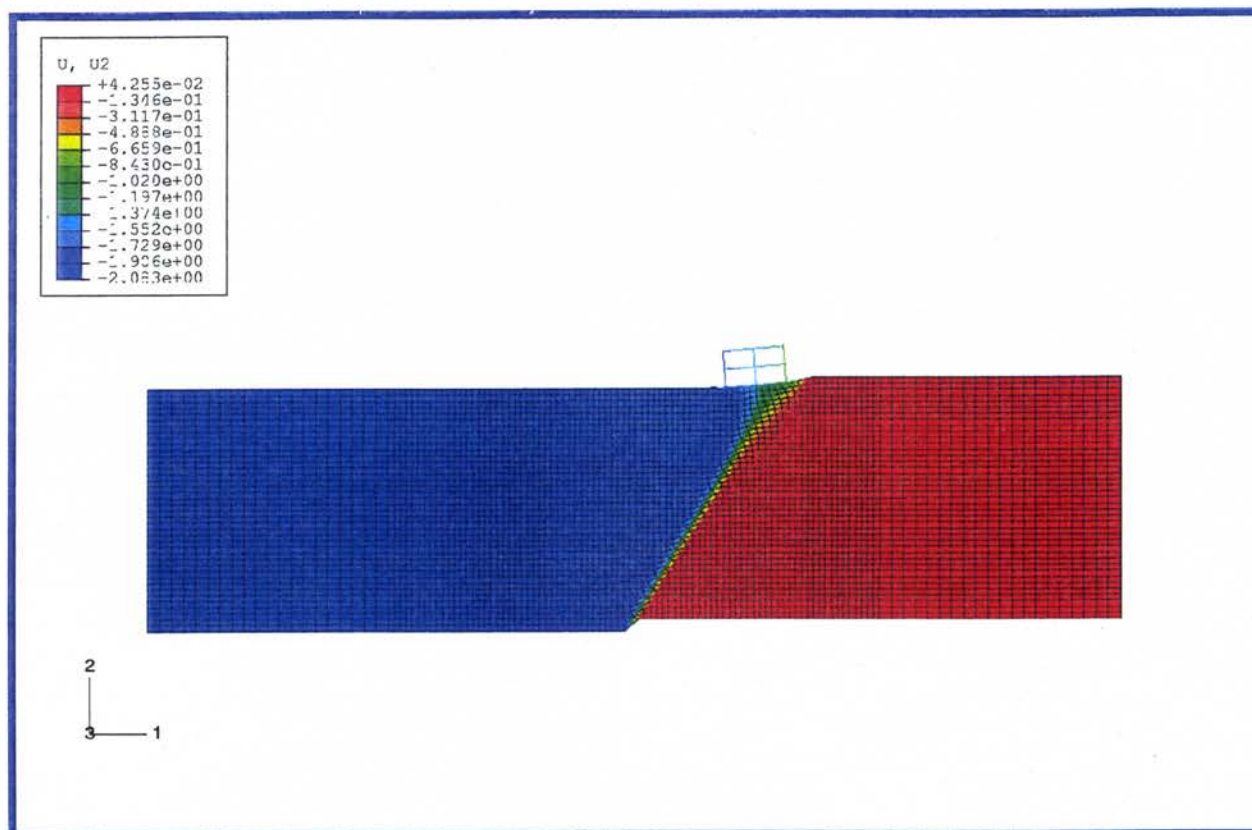


**Σχήμα 3.58** Διώροφο κτίριο με γενική κοιτόστρωση  $t = 1.0$  m, σε απόσταση 10 m από την επιφανειακή εκδήλωση του ρήγματος : Οριζόντιες και κατακόρυφες μετακινήσεις



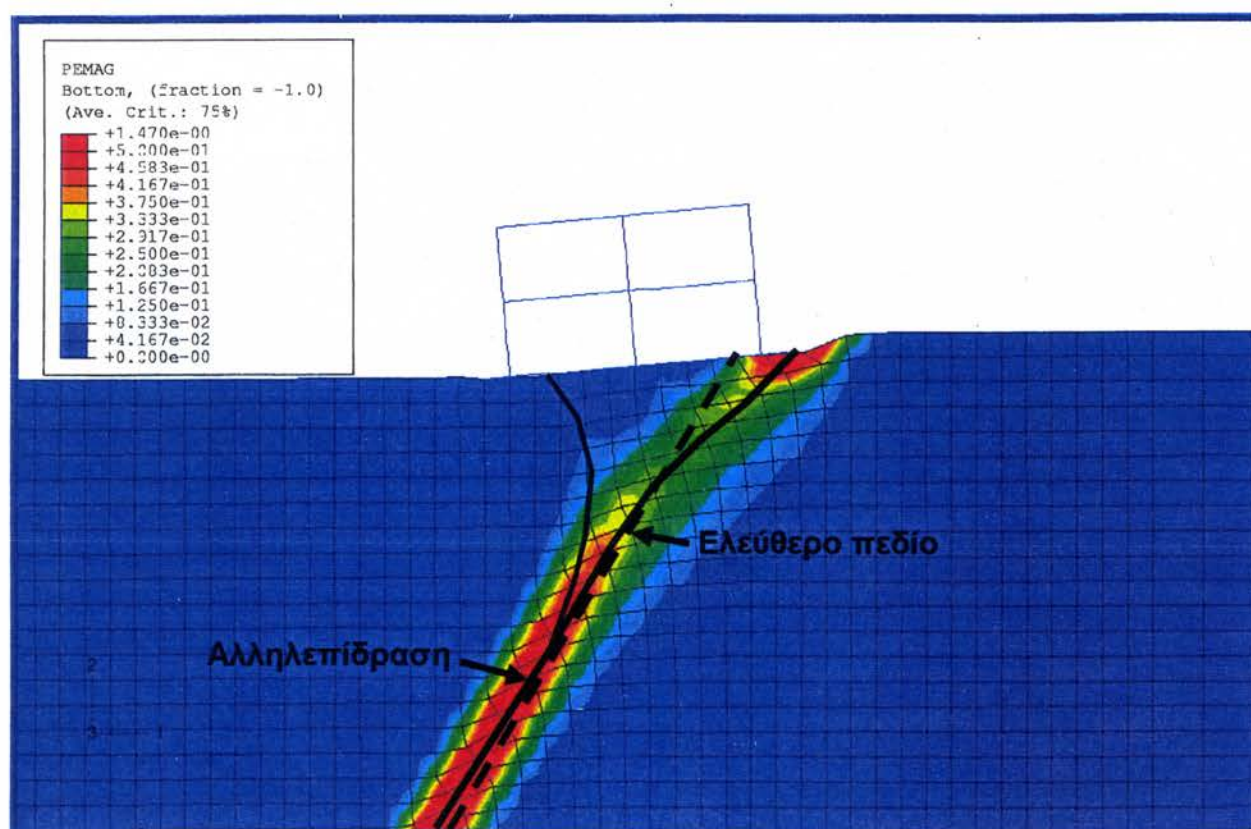
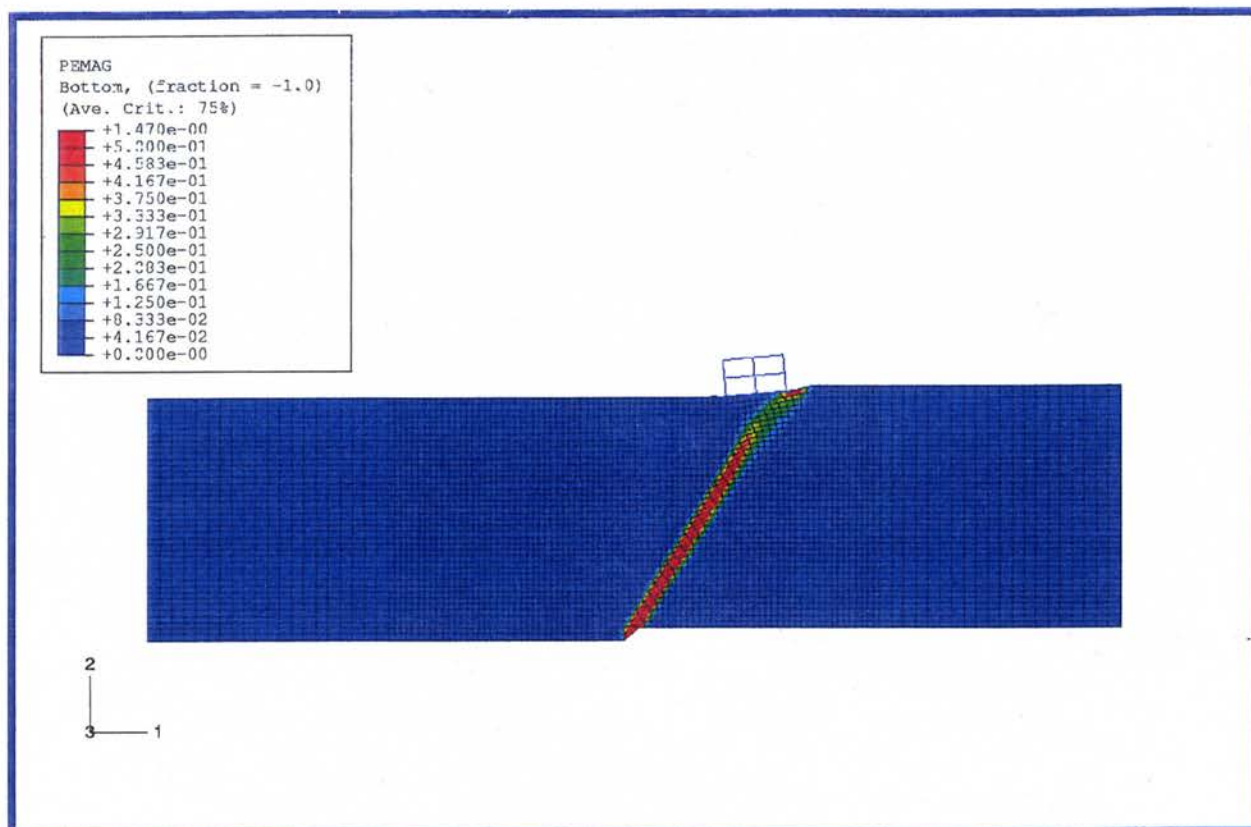


**Σχήμα 3.59** Διώροφο κτίριο με γενική κοιτόστρωση  $t = 1.0$  m, σε απόσταση 10 m από την επιφανειακή εκδήλωση του ρήγματος : Κλίση  $\beta$  και οριζόντιες παραμορφώσεις  $\varepsilon$  της επιφάνειας του εδάφους



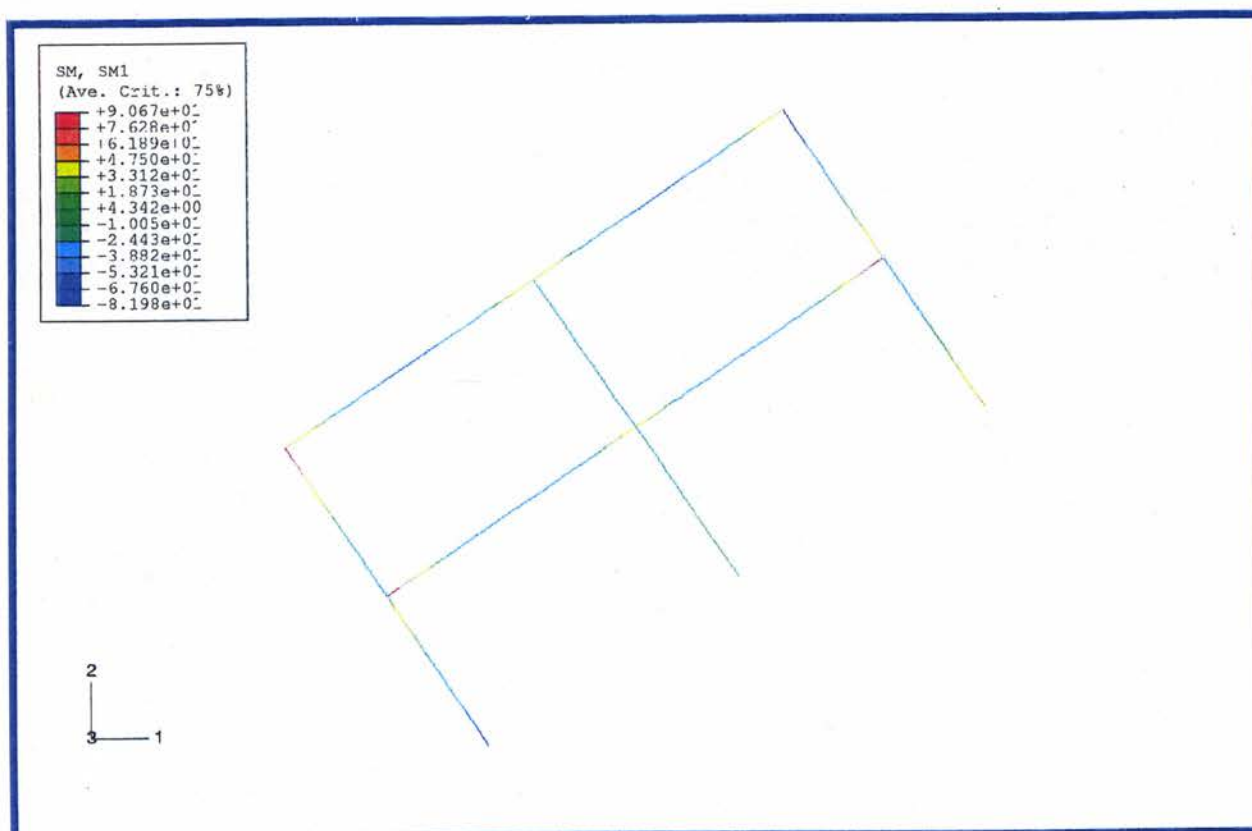
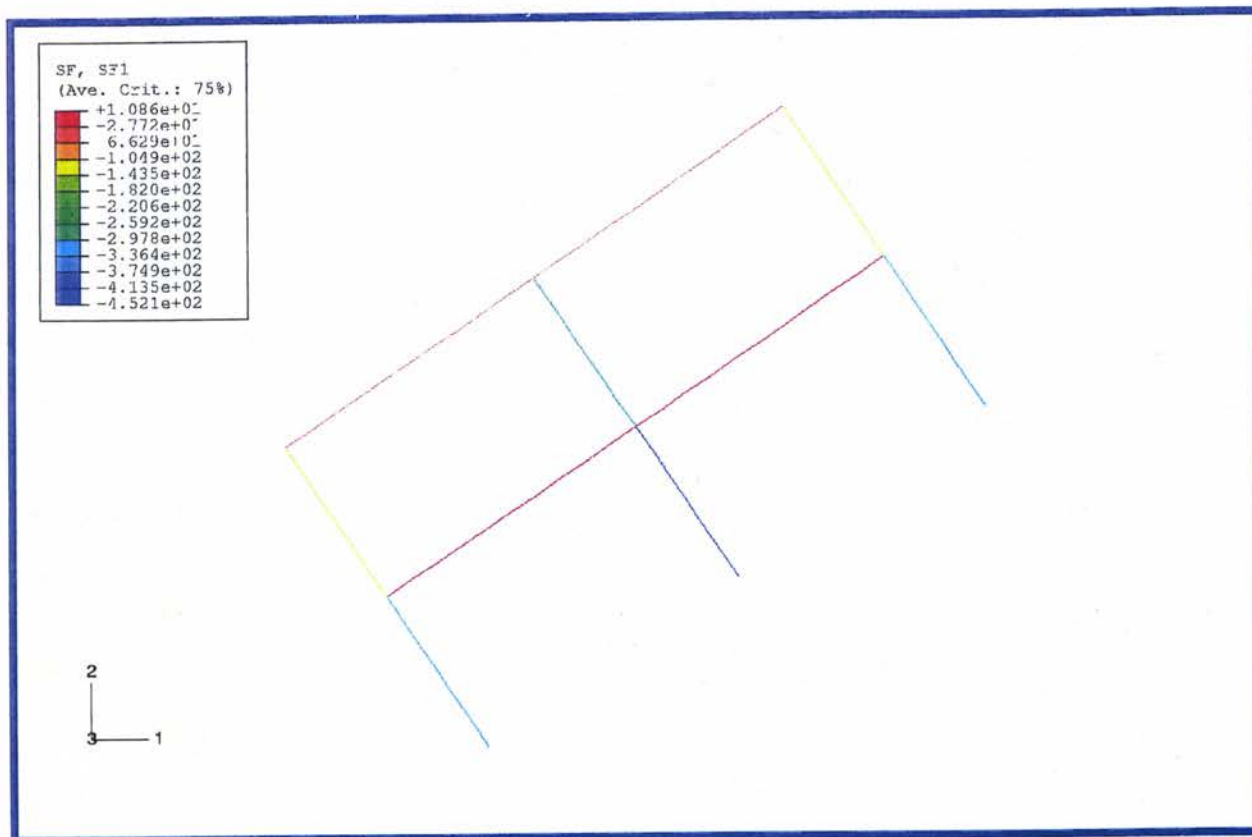
**Σχήμα 3.60** Διώροφο κτίριο με γενική κοιτόστρωση  $t = 1.0$  m, σε απόσταση 10 m από την επιφανειακή εκδήλωση του ρήγματος : Ισοϋψείς κατακορύφων μετακινήσεων



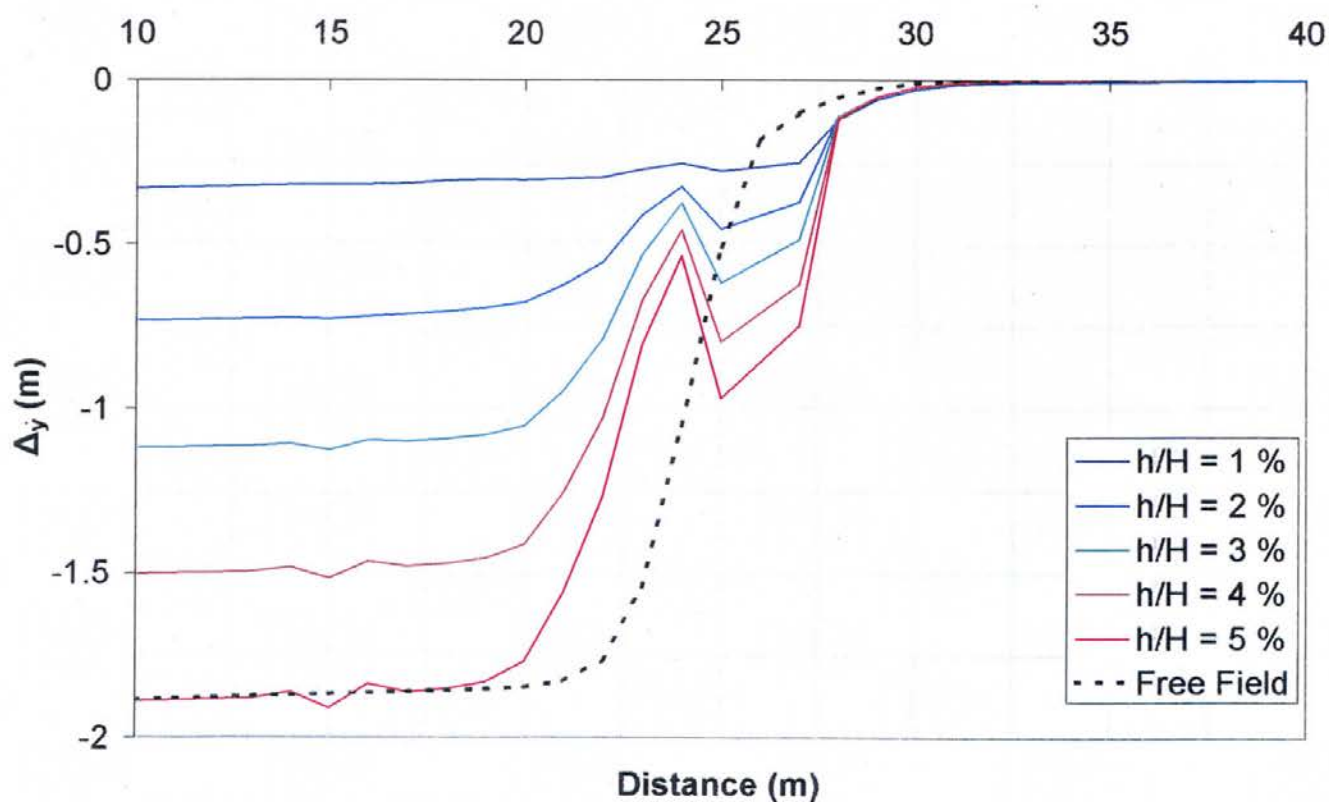
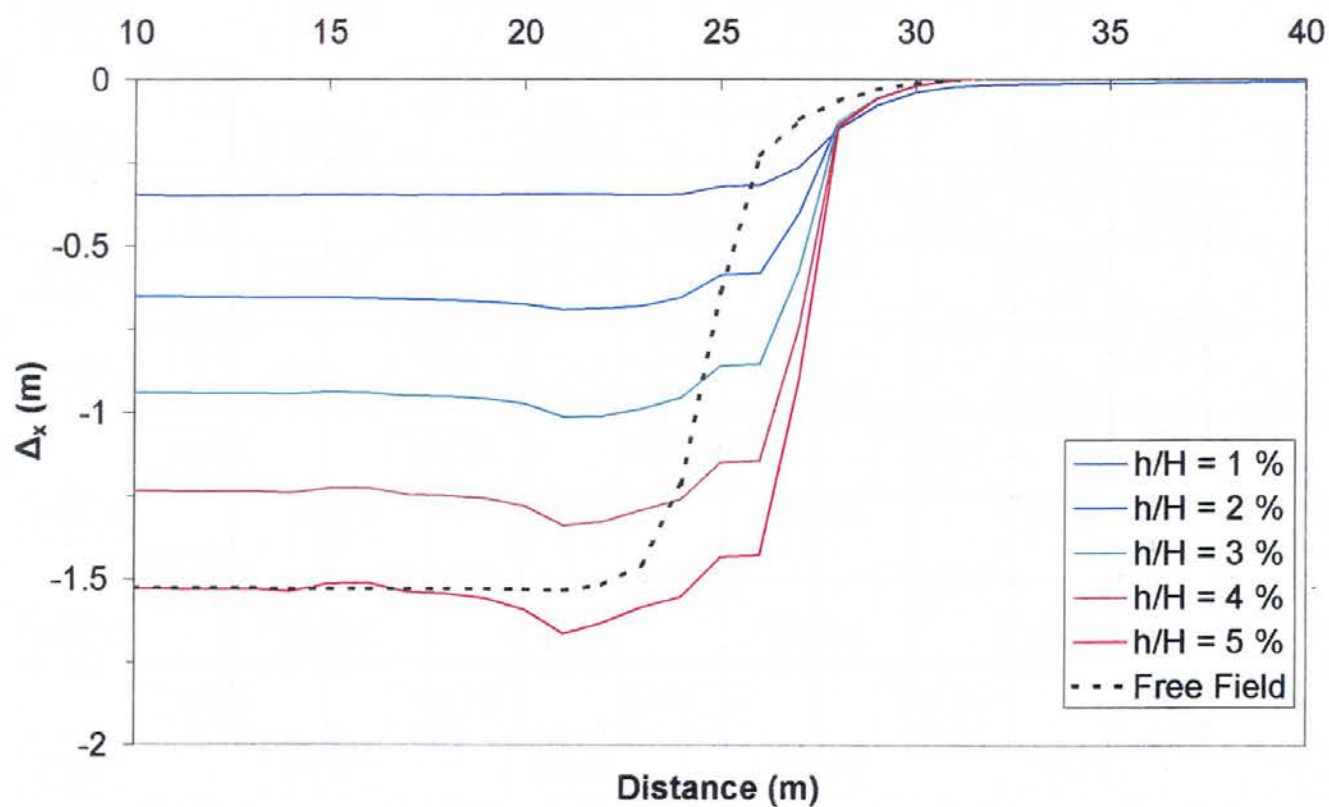


**Σχήμα 3.61** Διώροφο κτίριο με γενική κοιτόστρωση  $t = 1.0$  m, σε απόσταση 10 m από την επιφανειακή εκδήλωση του ρήγματος : Ισοϋψείς πλαστικών παραμορφώσεων

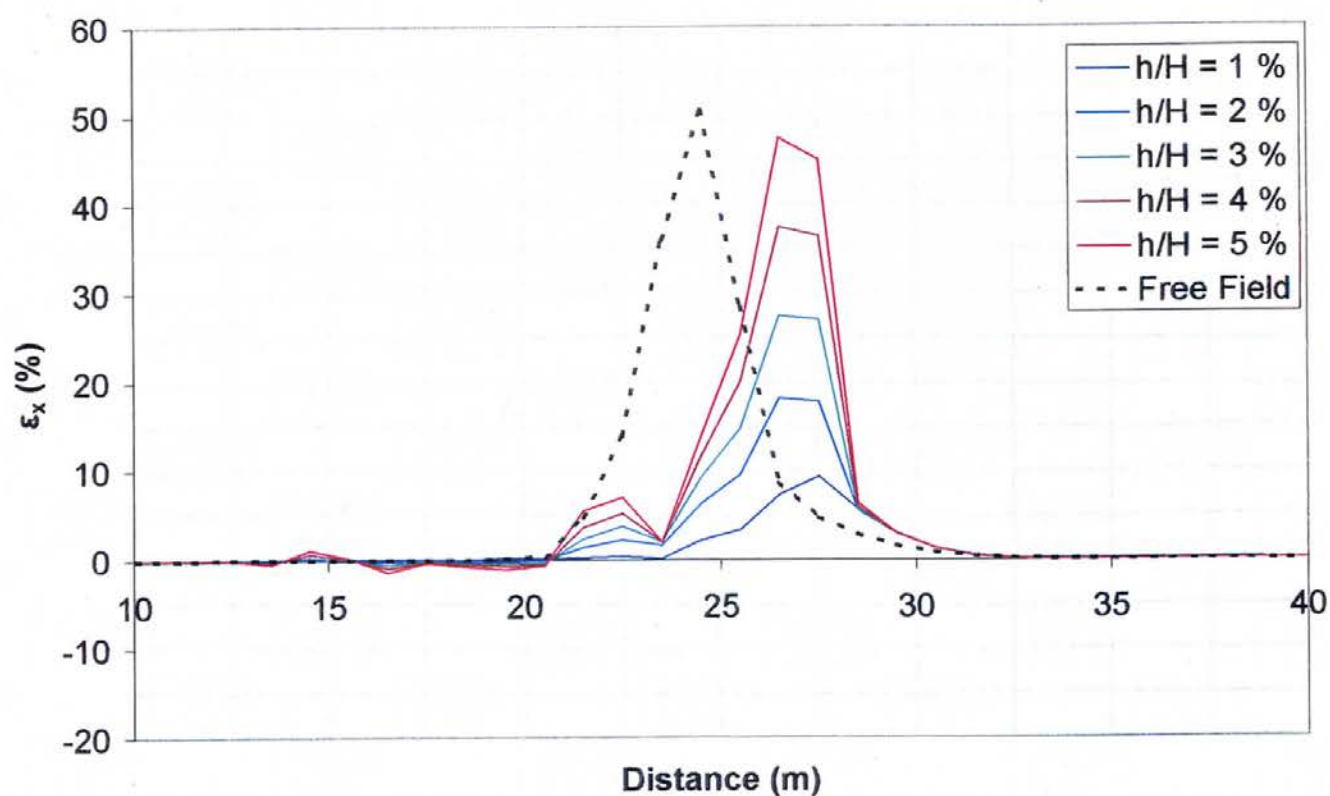
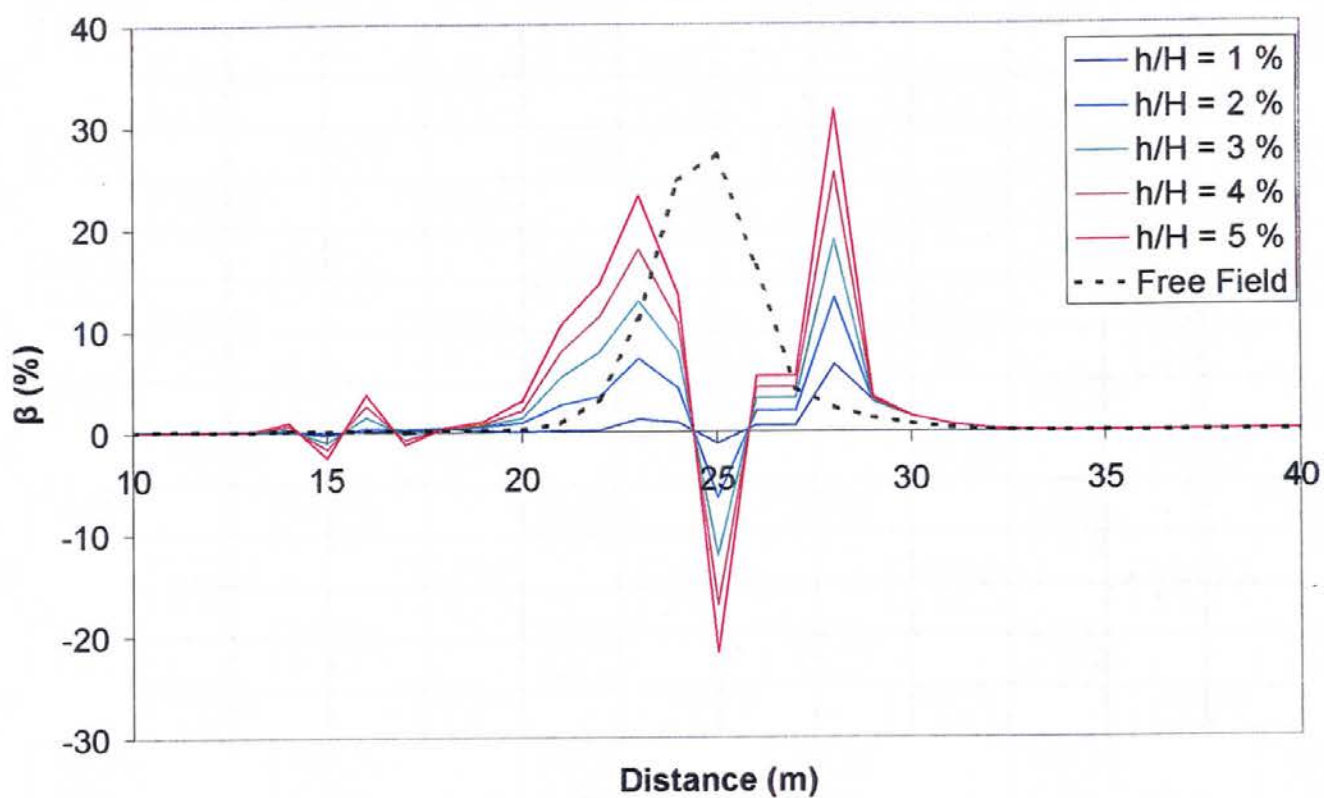




**Σχήμα 3.62** Διώροφο κτίριο με γενική κοιτόστρωση  $t = 1.0$  m, σε απόσταση 10 m από την επιφανειακή εκδήλωση του ρήγματος : Αναπτυσσόμενες αξονικές δυνάμεις και καμπτικές ροπές στην ανωδομή

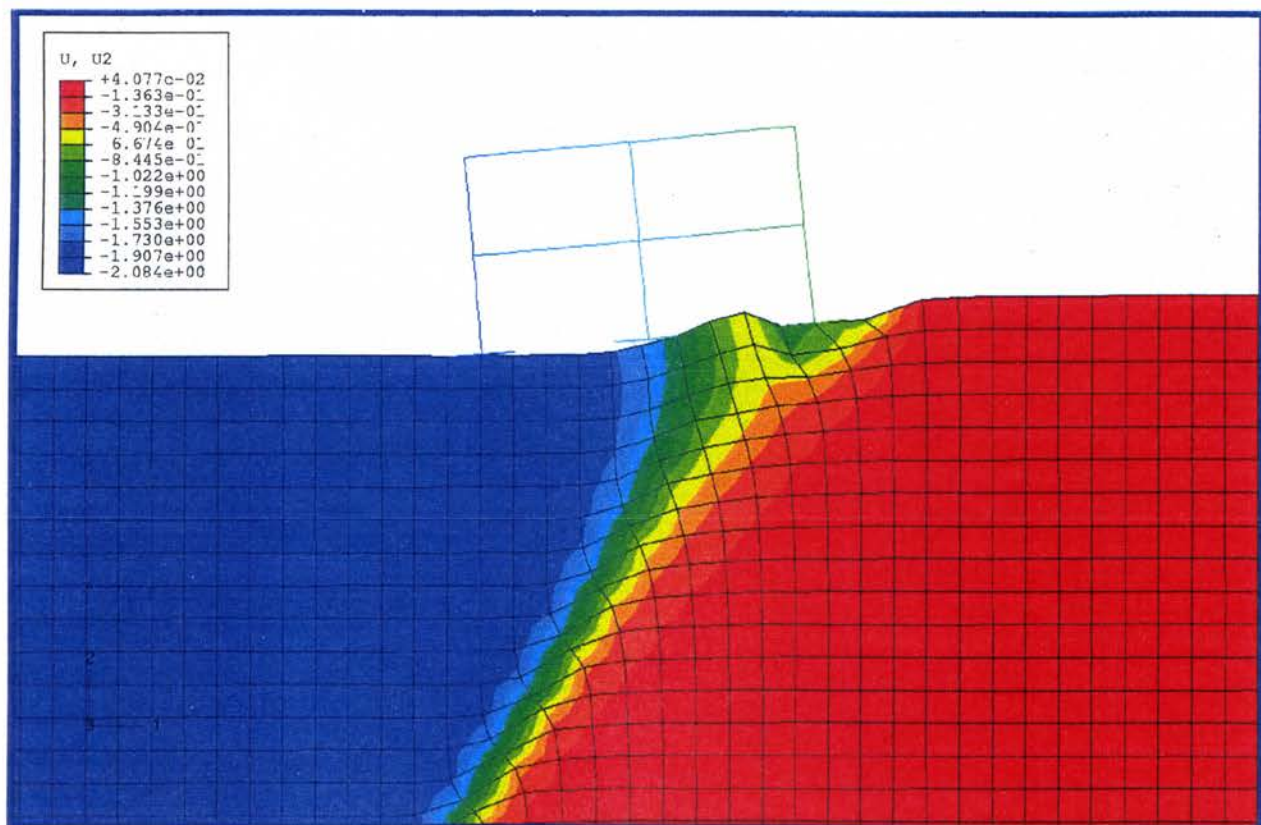
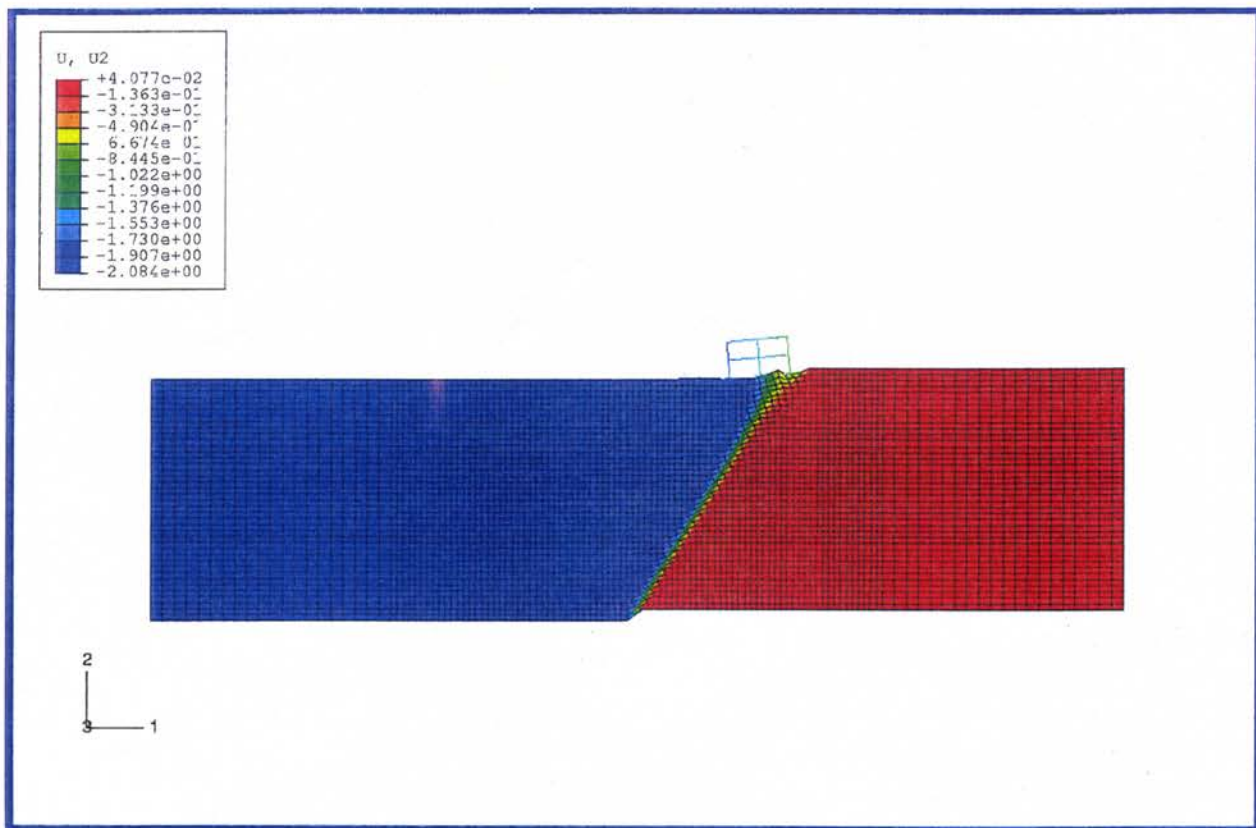


**Σχήμα 3.63** Διώροφο κτίριο με μεμονωμένα θεμέλια πλάτους 2.0 m, σε απόσταση 10 m από την επιφανειακή εκδήλωση του ρήγματος : Οριζόντιες και κατακόρυφες μετακινήσεις

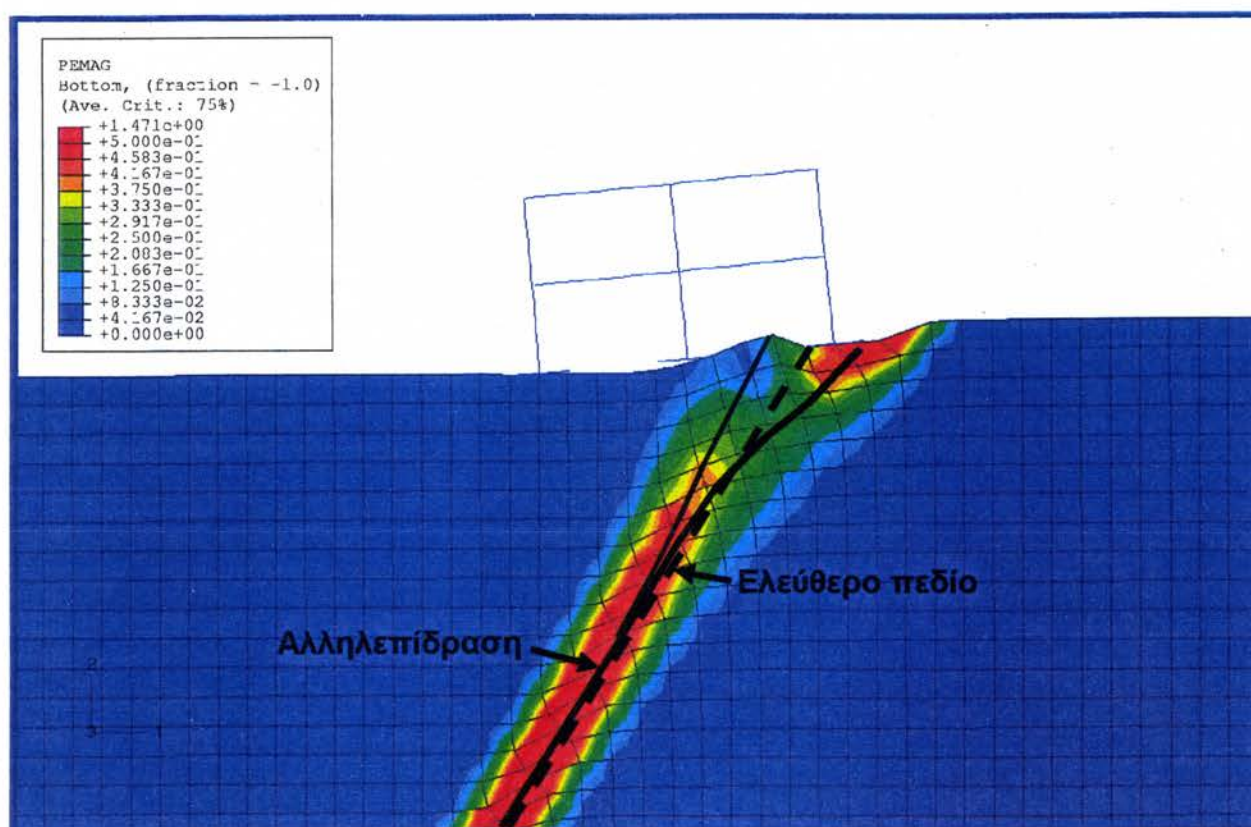
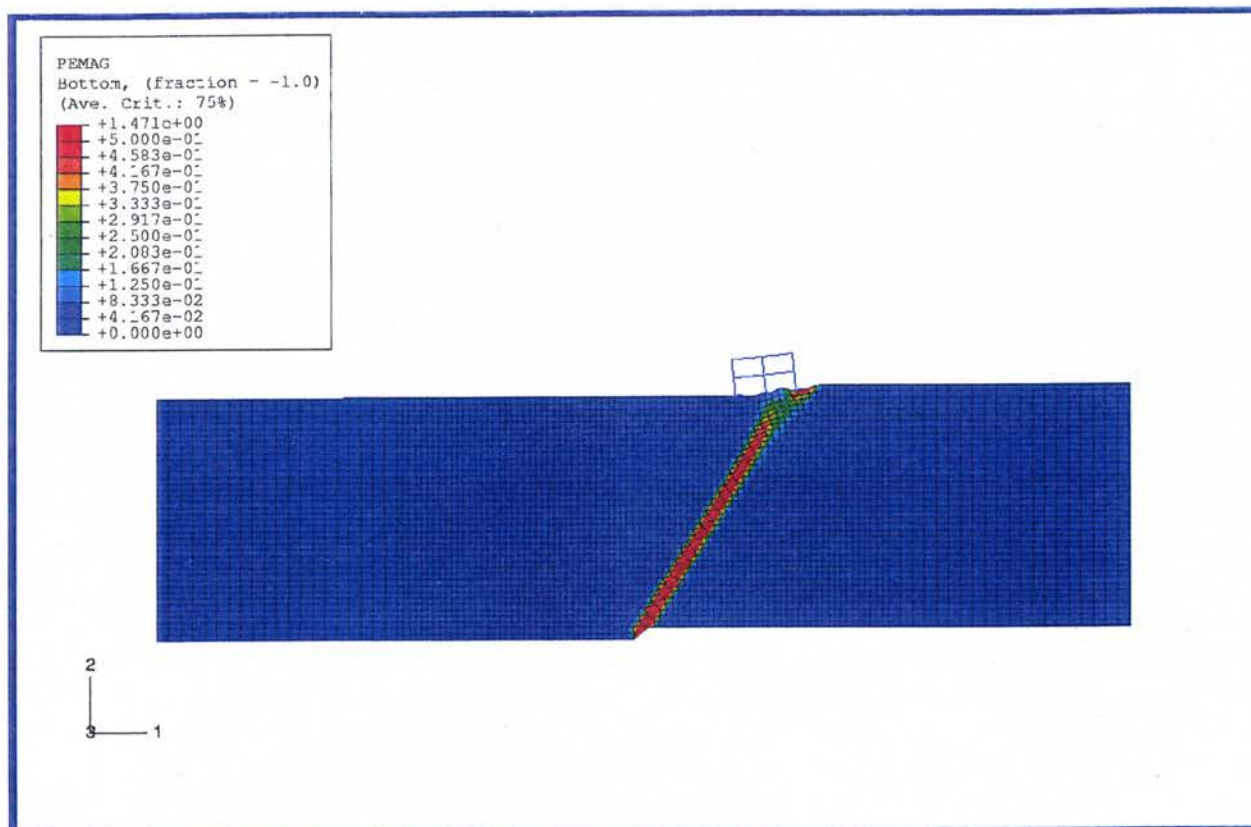


**Σχήμα 3.64** Διώροφο κτίριο με μεμονωμένα θεμέλια πλάτους 2.0 m, σε απόσταση 10 m από την επιφανειακή εκδήλωση του ρήγματος : Κλίση  $\beta$  και οριζόντιες παραμορφώσεις  $\epsilon$  της επιφάνειας του εδάφους



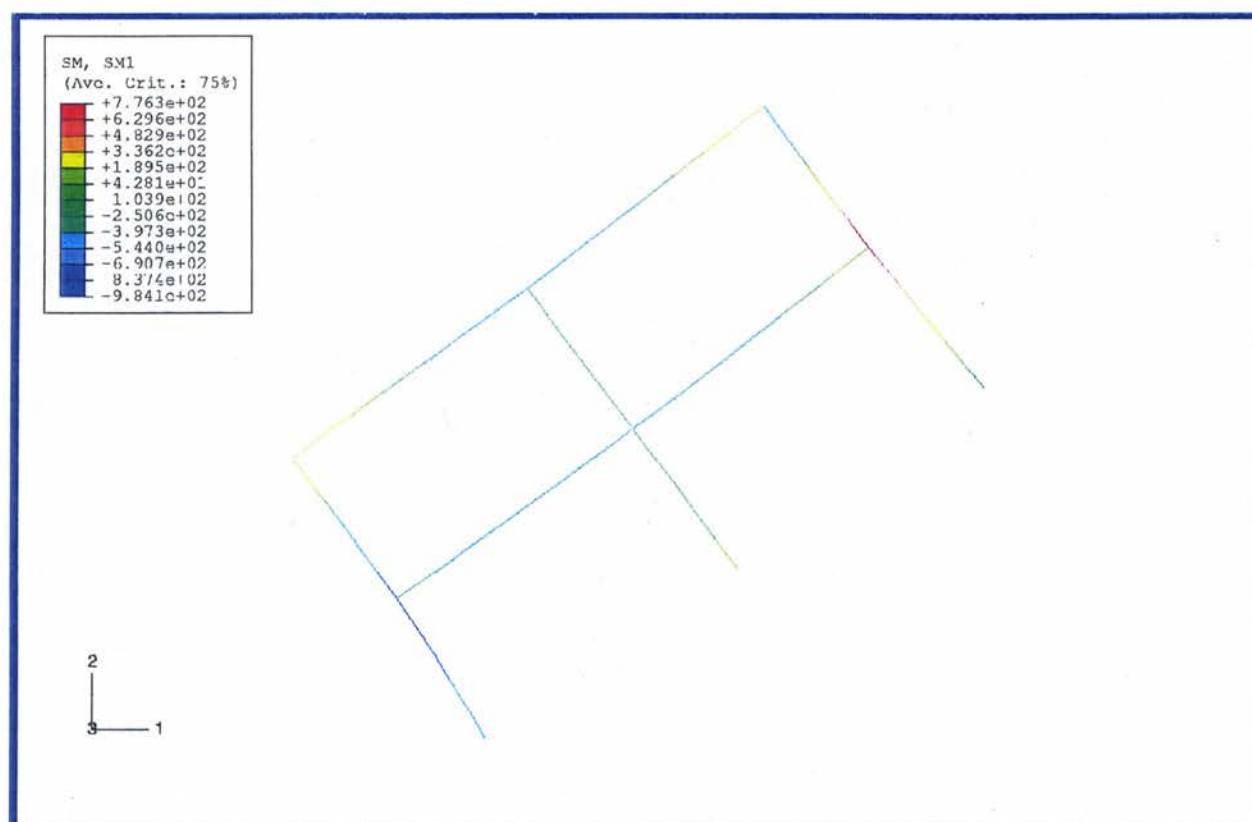
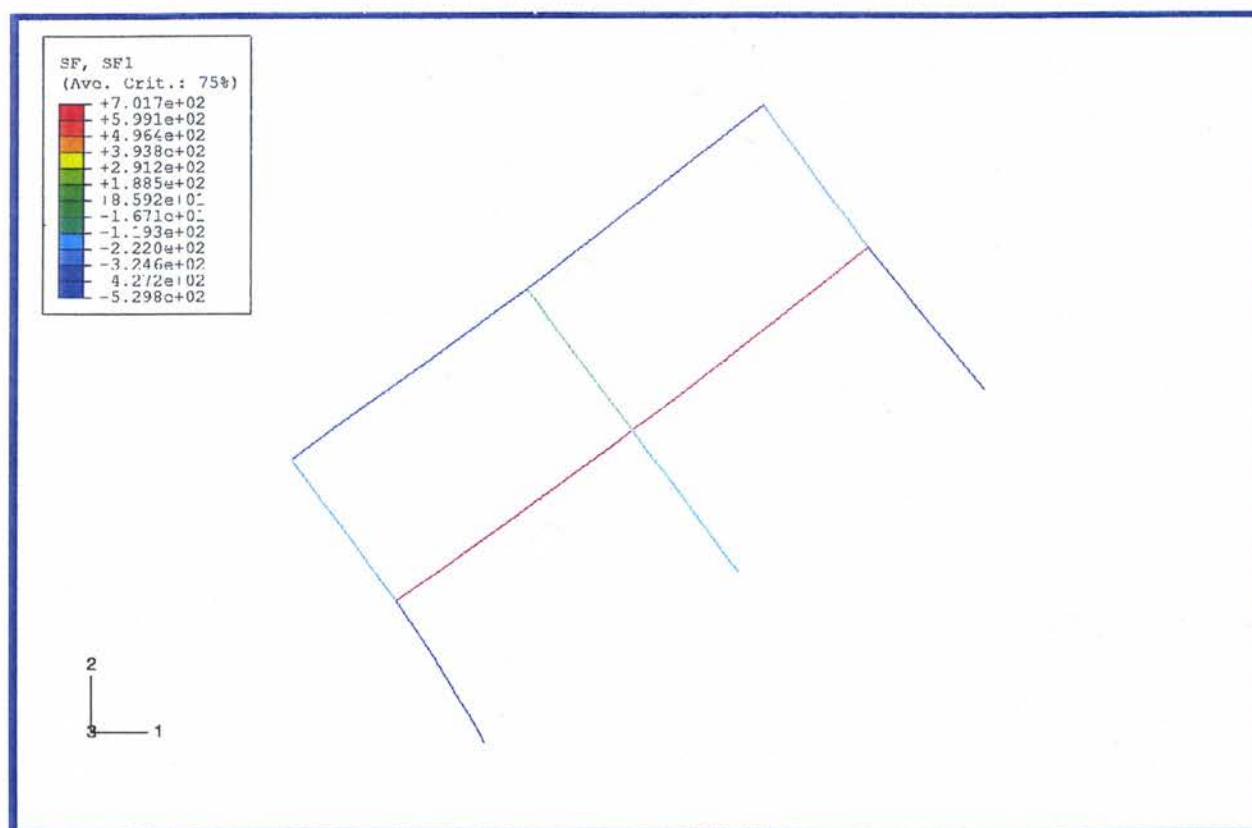


**Σχήμα 3.65** Διώροφο κτίριο με μεμονωμένα θεμέλια πλάτους 2.0 m, σε απόσταση 10 m από την επιφανειακή εκδήλωση του ρήγματος : Ισοϋψείς κατακορύφων μετακινήσεων



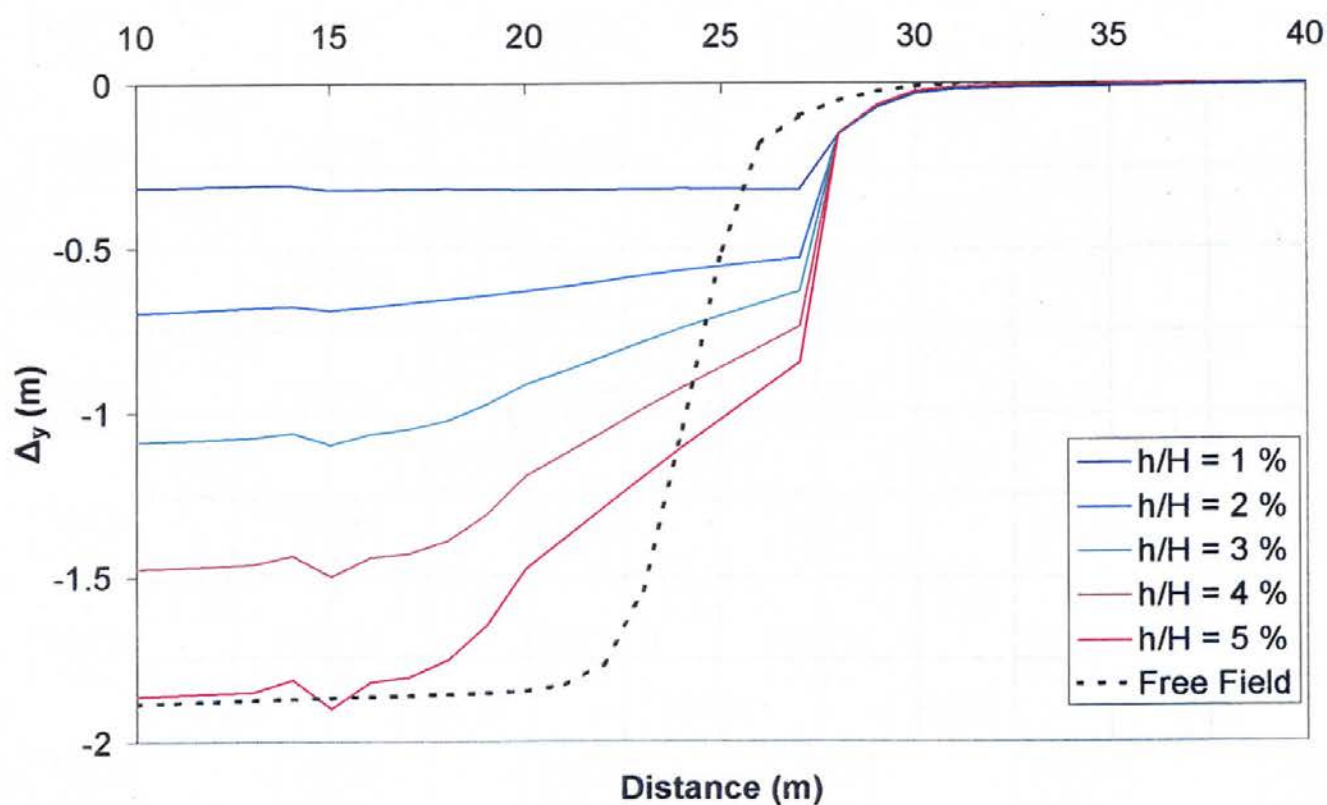
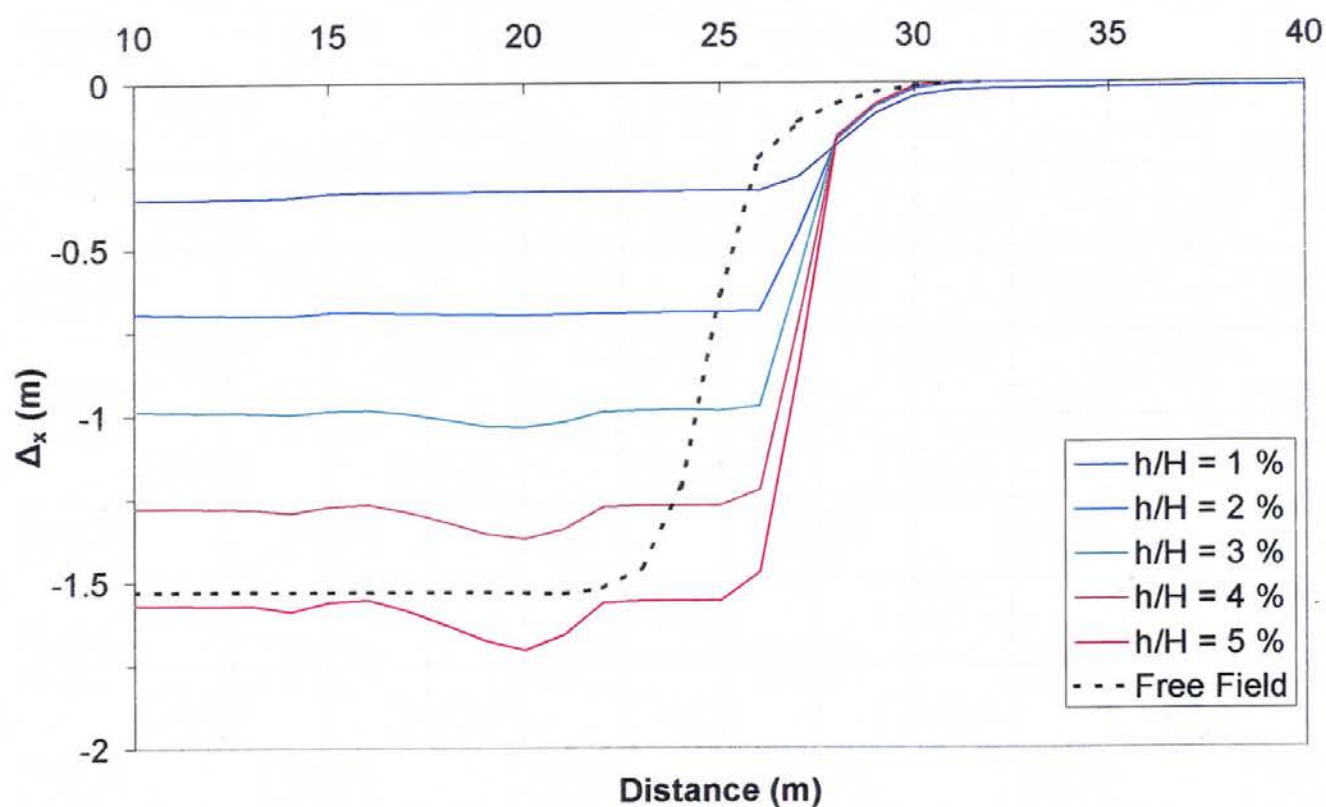
**Σχήμα 3.66** Διώροφο κτίριο με μεμονωμένα θεμέλια πλάτους 2.0 m, σε απόσταση 10 m από την επιφανειακή εκδήλωση του ρήγματος : Ισοϋψείς πλαστικών παραμορφώσεων



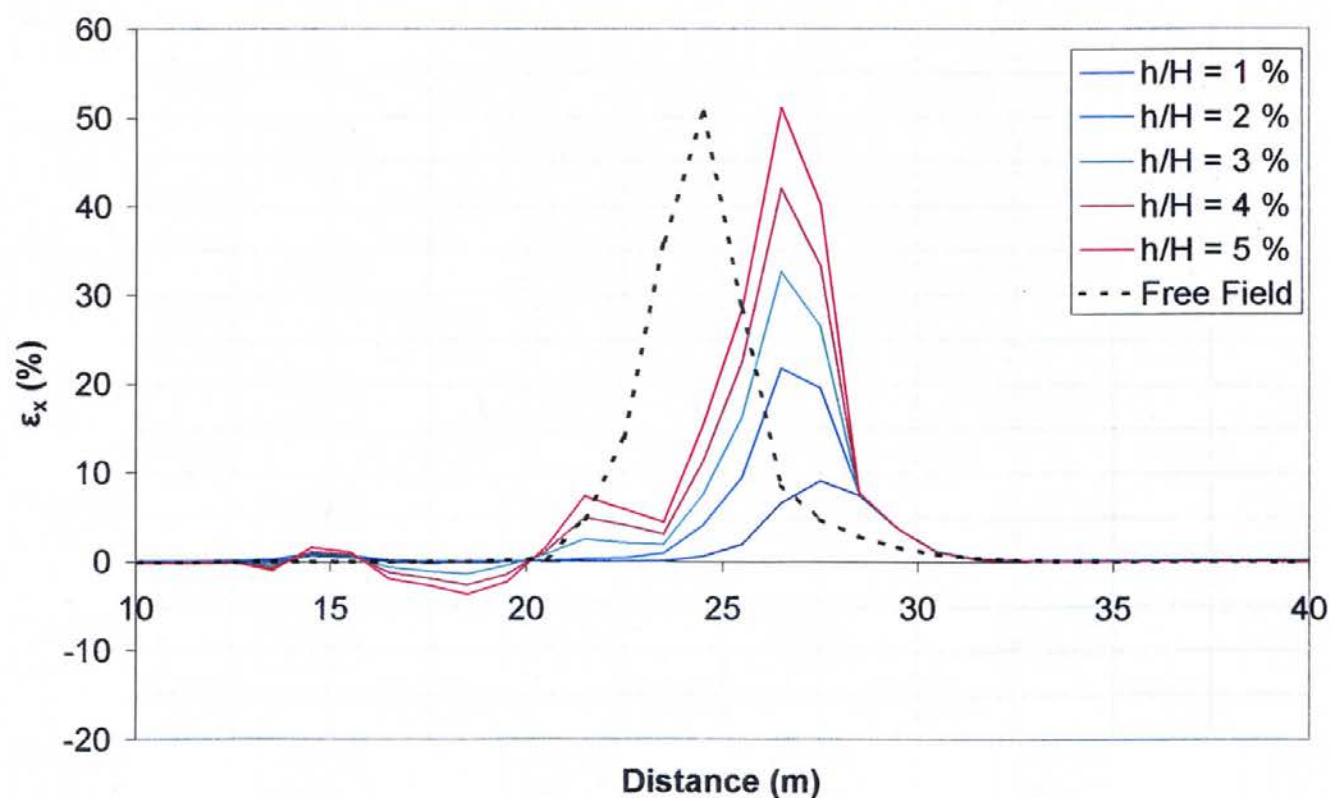
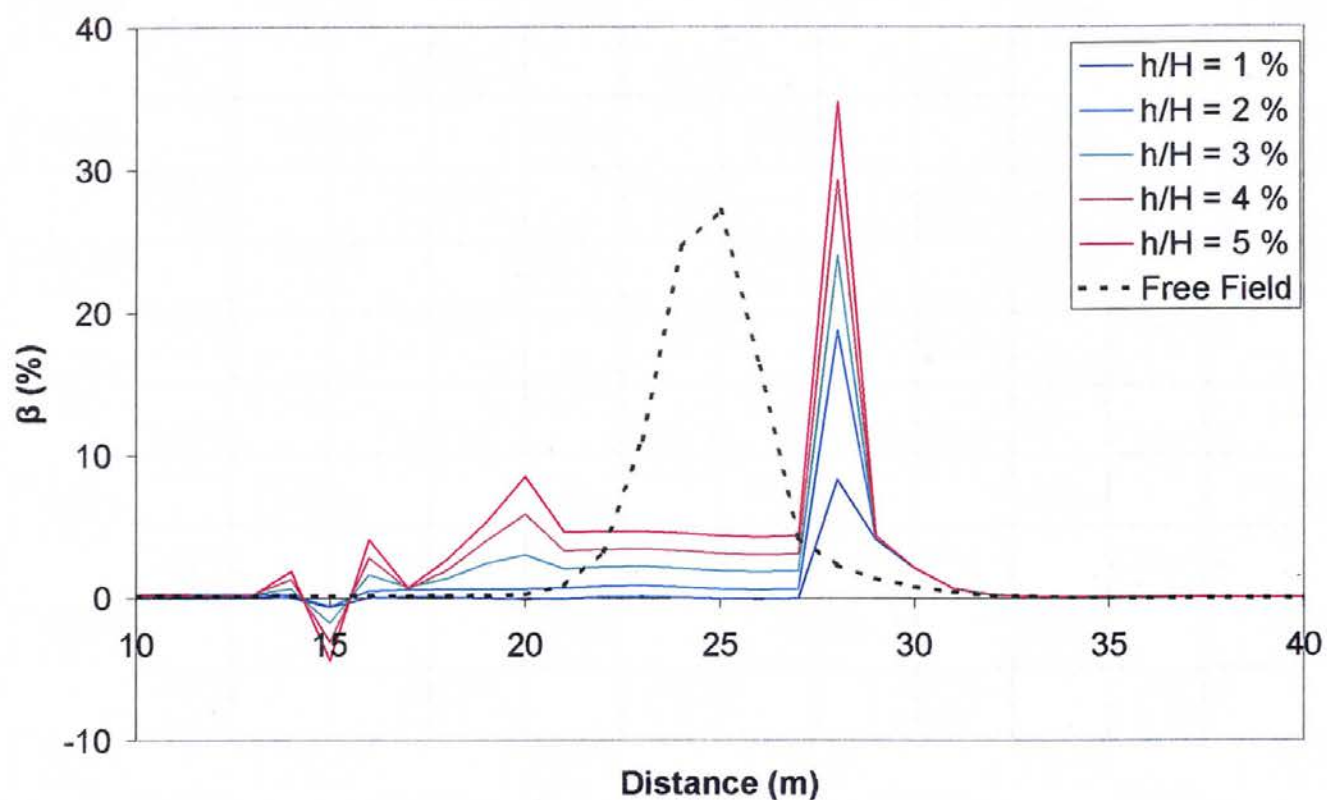


**Σχήμα 3.67** Διώροφο κτίριο με μεμονωμένα θεμέλια πλάτους 2.0 m, σε απόσταση 10 m από την επιφανειακή εκδήλωση του ρήγματος : Αναπτυσσόμενες αξονικές δυνάμεις και καμπτικές ροπές στην ανωδομή

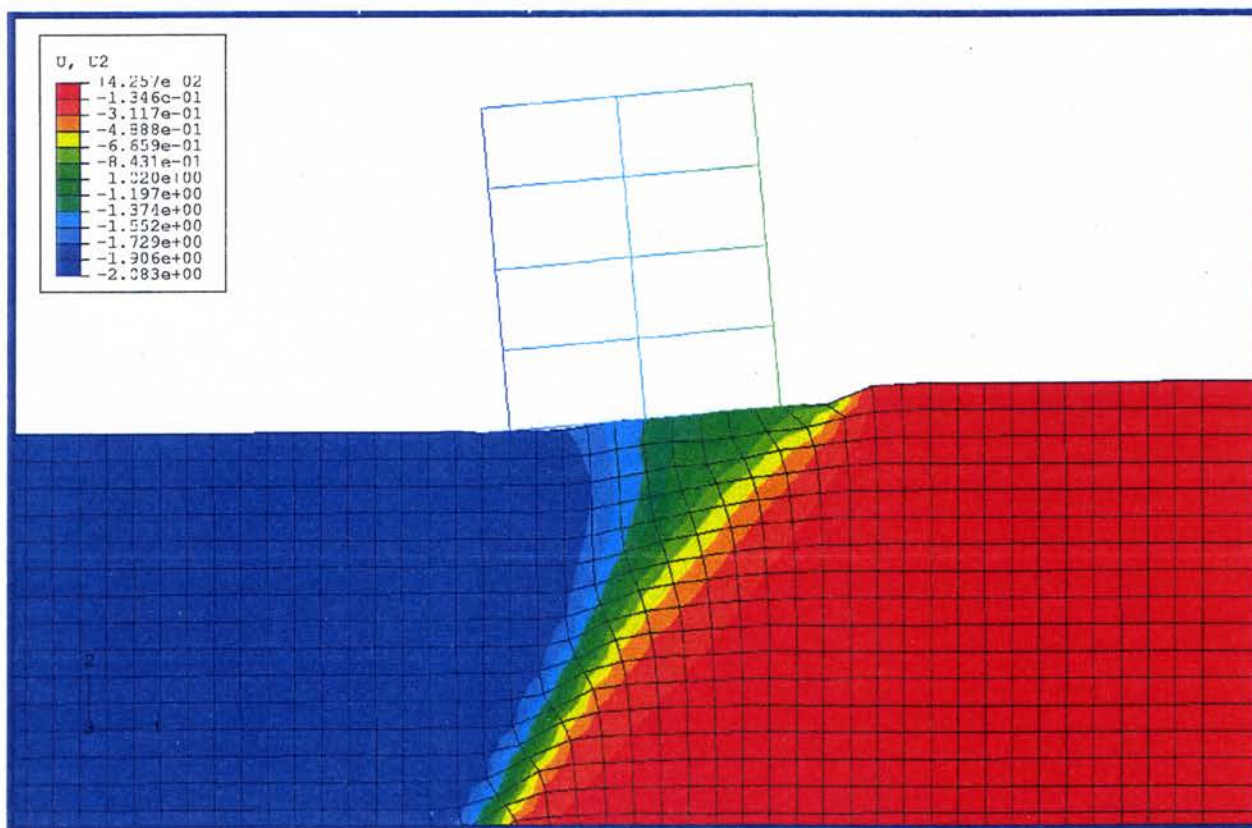
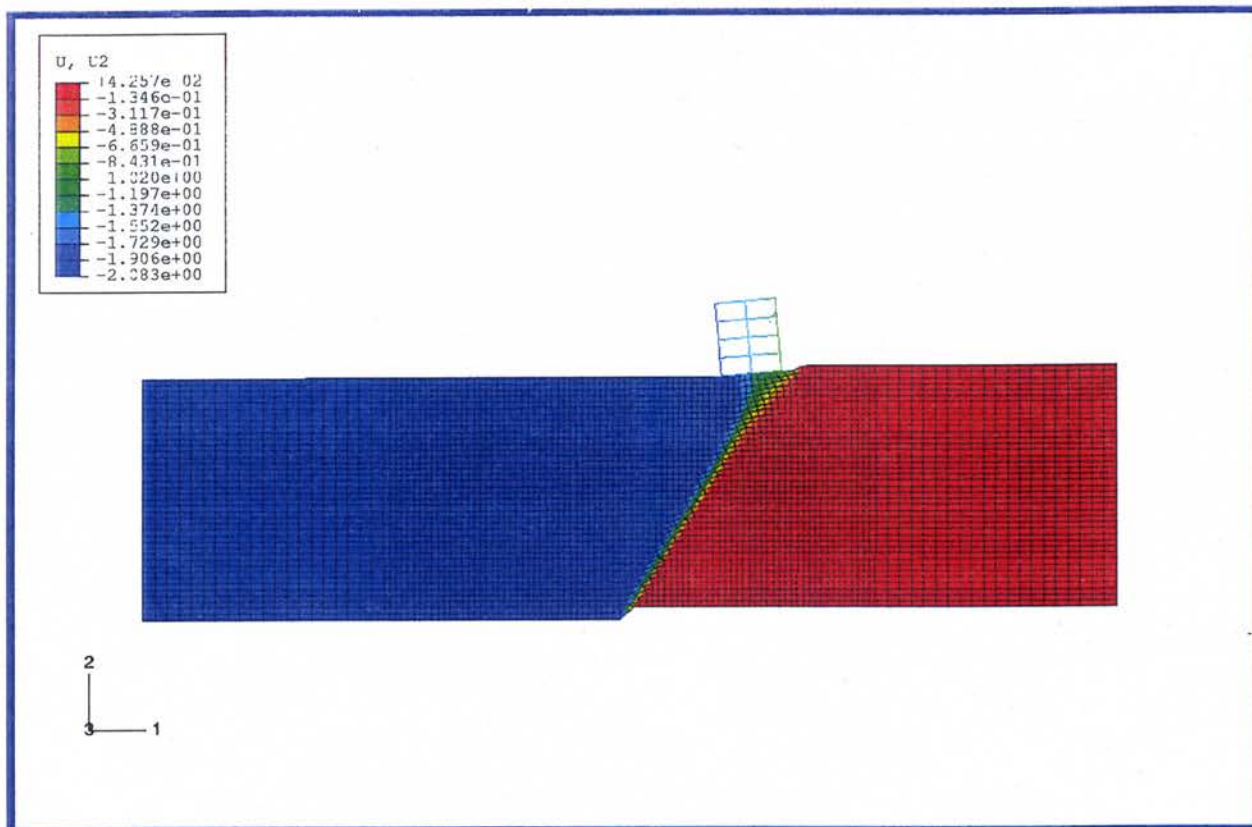




**Σχήμα 3.68** Τετραώροφο κτίριο με γενική κοιτόστρωση  $t = 0.2$  m, σε απόσταση 10 m από την επιφανειακή εκδήλωση του ρήγματος : Οριζόντιες και κατακόρυφες μετακινήσεις

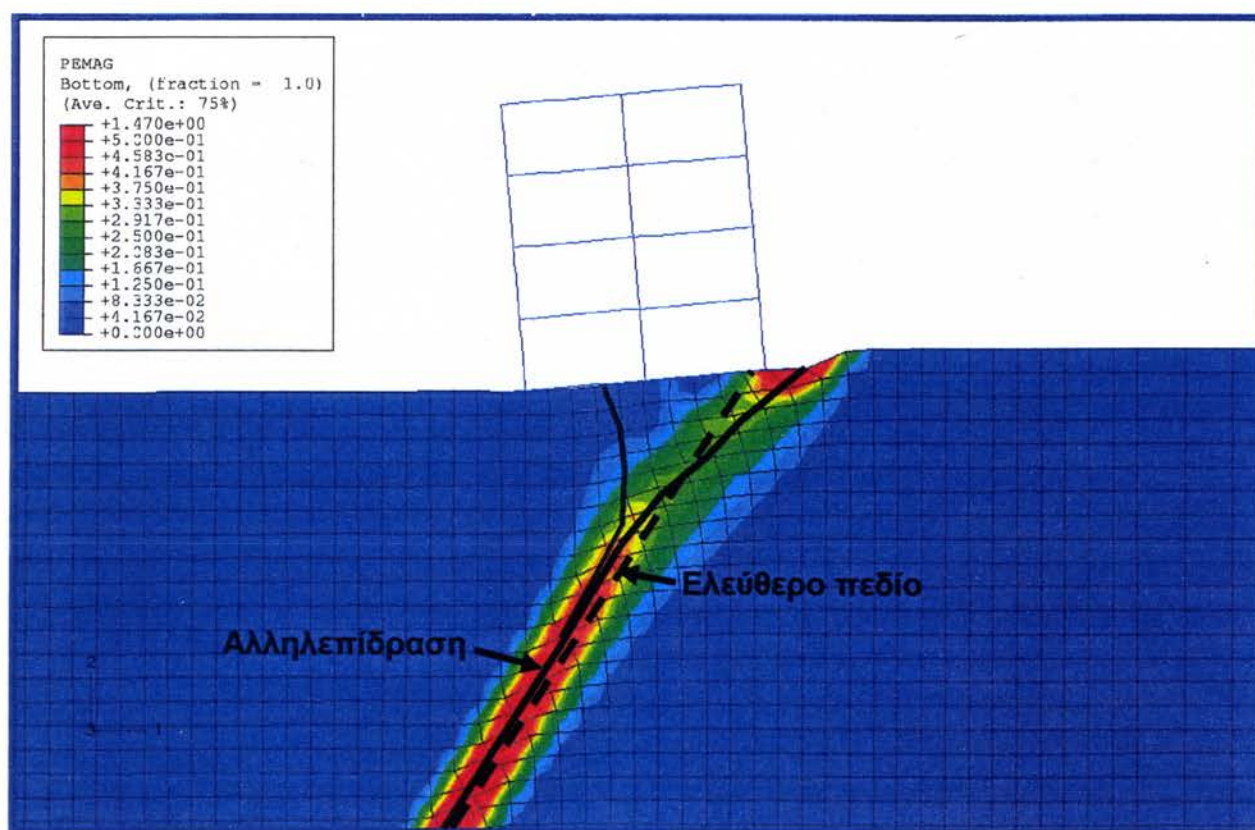
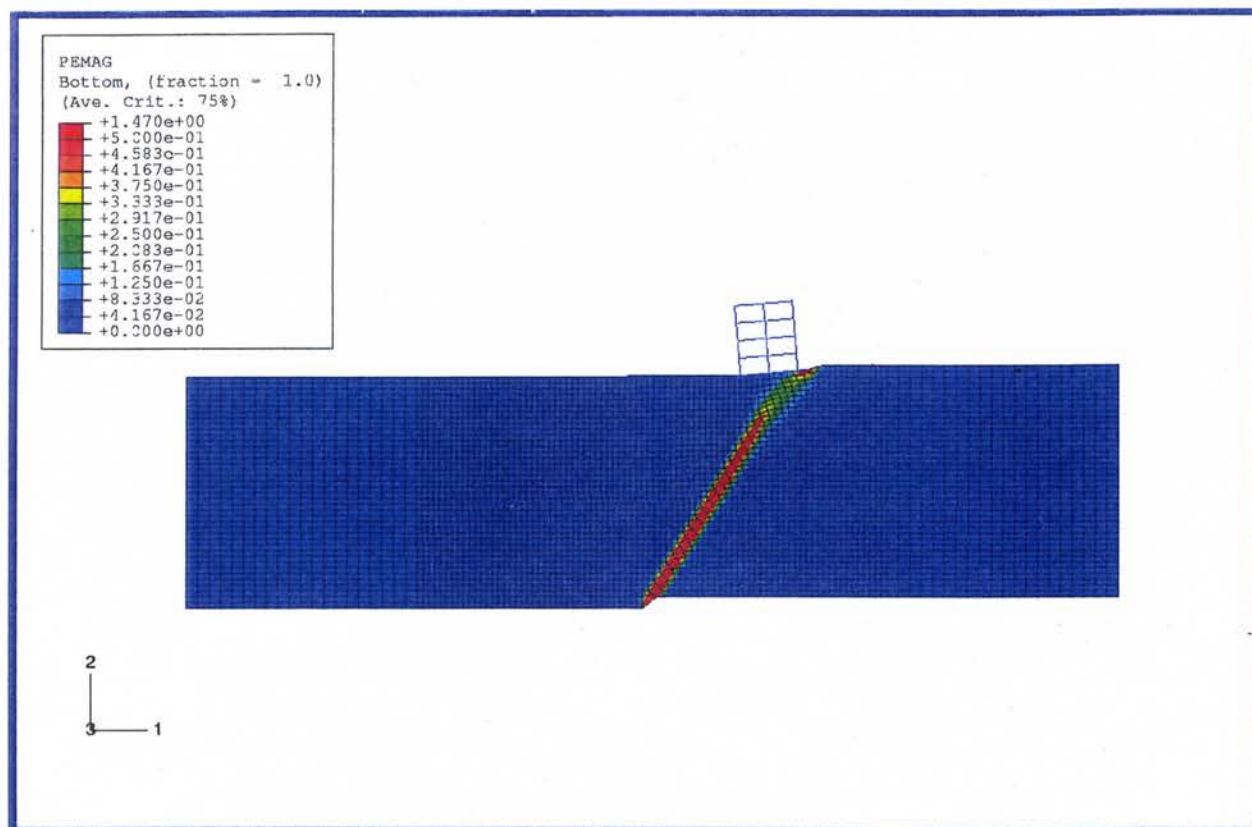


**Σχήμα 3.69** Τετραώροφο κτίριο με γενική κοιτόστρωση  $t = 0.2$  m, σε απόσταση 10 m από την επιφανειακή εκδήλωση του ρήγματος : Κλίση  $\beta$  και οριζόντιες παραμορφώσεις  $\varepsilon$  της επιφάνειας του εδάφους

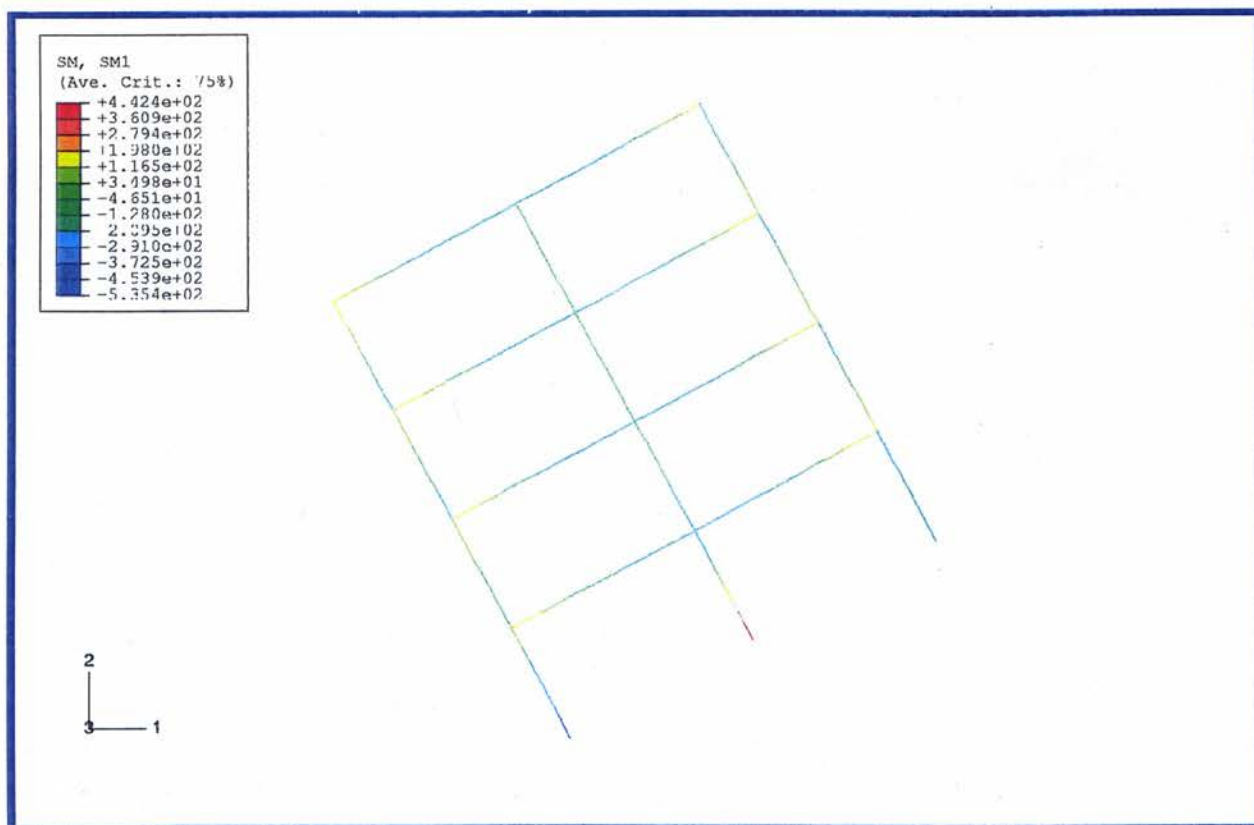
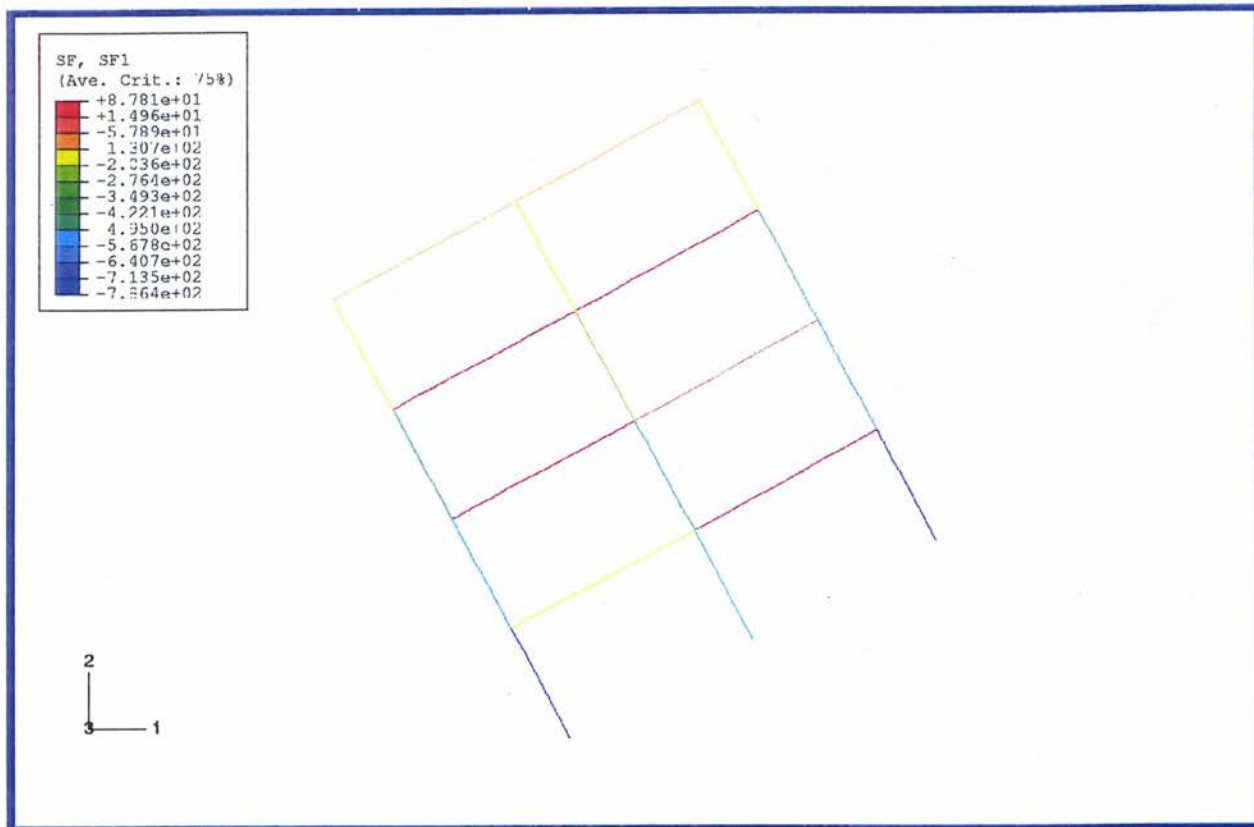


**Σχήμα 3.70** Τετραώροφο κτίριο με γενική κοιτόστρωση  $t = 0.2 \text{ m}$ , σε απόσταση 10 m από την επιφανειακή εκδήλωση του ρήγματος : Ισοϋψείς κατακορύφων μετακινήσεων

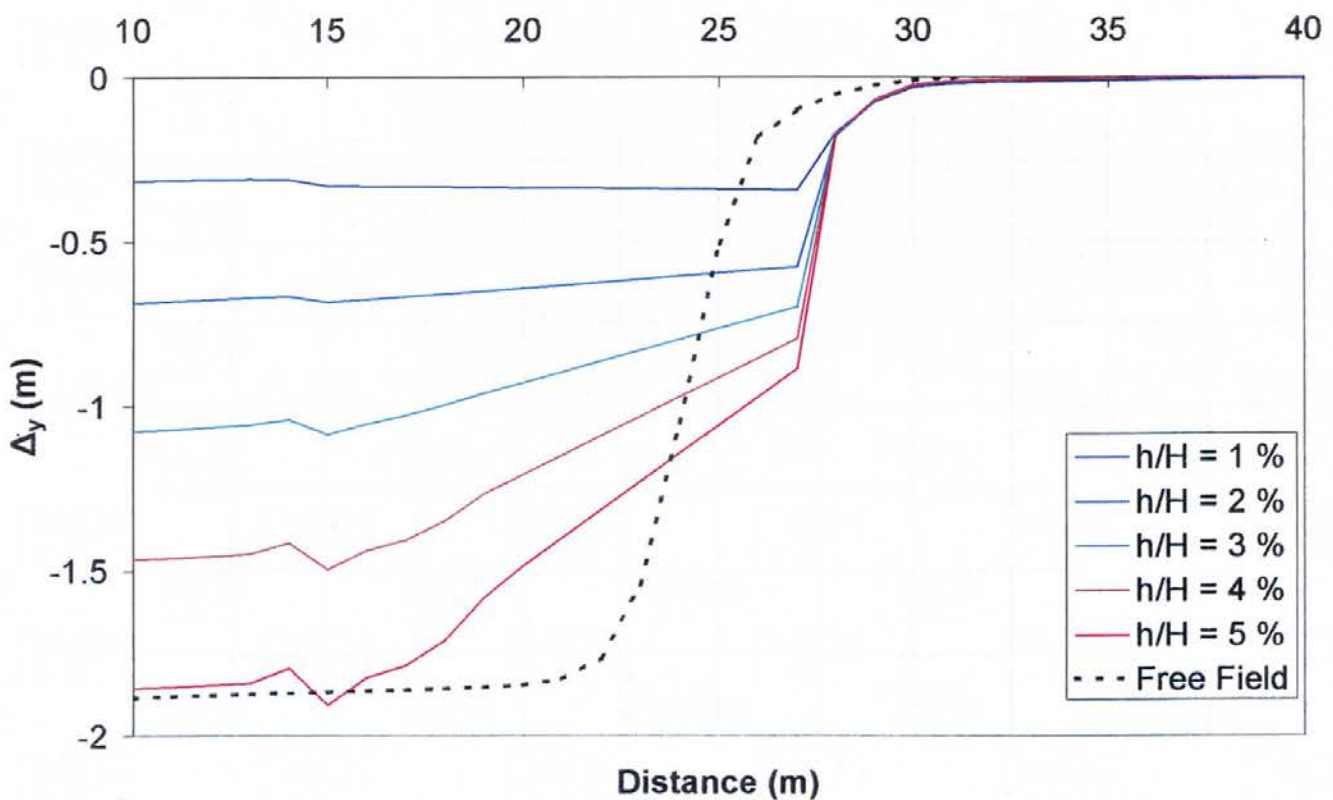
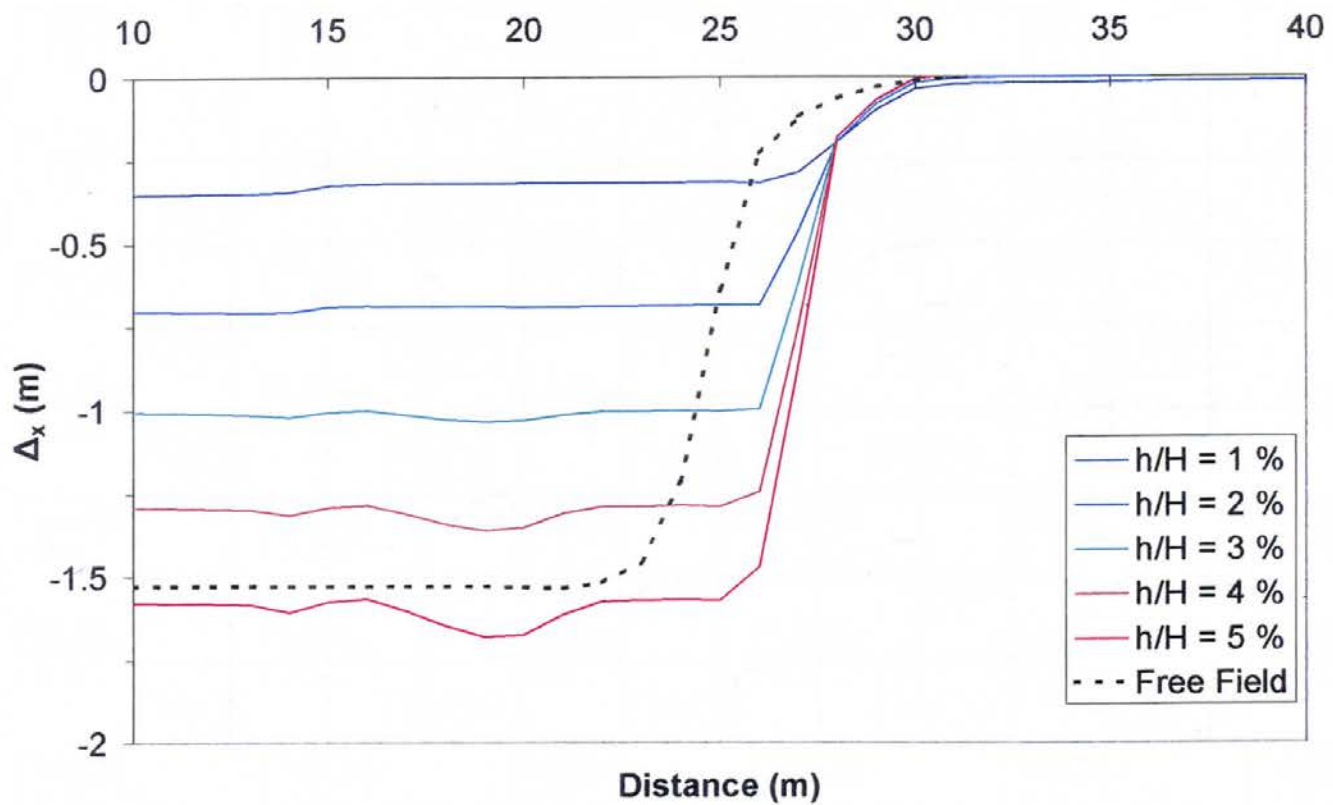




**Σχήμα 3.71** Τετραώροφο κτίριο με γενική κοιτόστρωση  $t = 0.2 \text{ m}$ , σε απόσταση 10 m από την επιφανειακή εκδήλωση του ρήγματος : Ισοϋψείς πλαστικών παραμορφώσεων

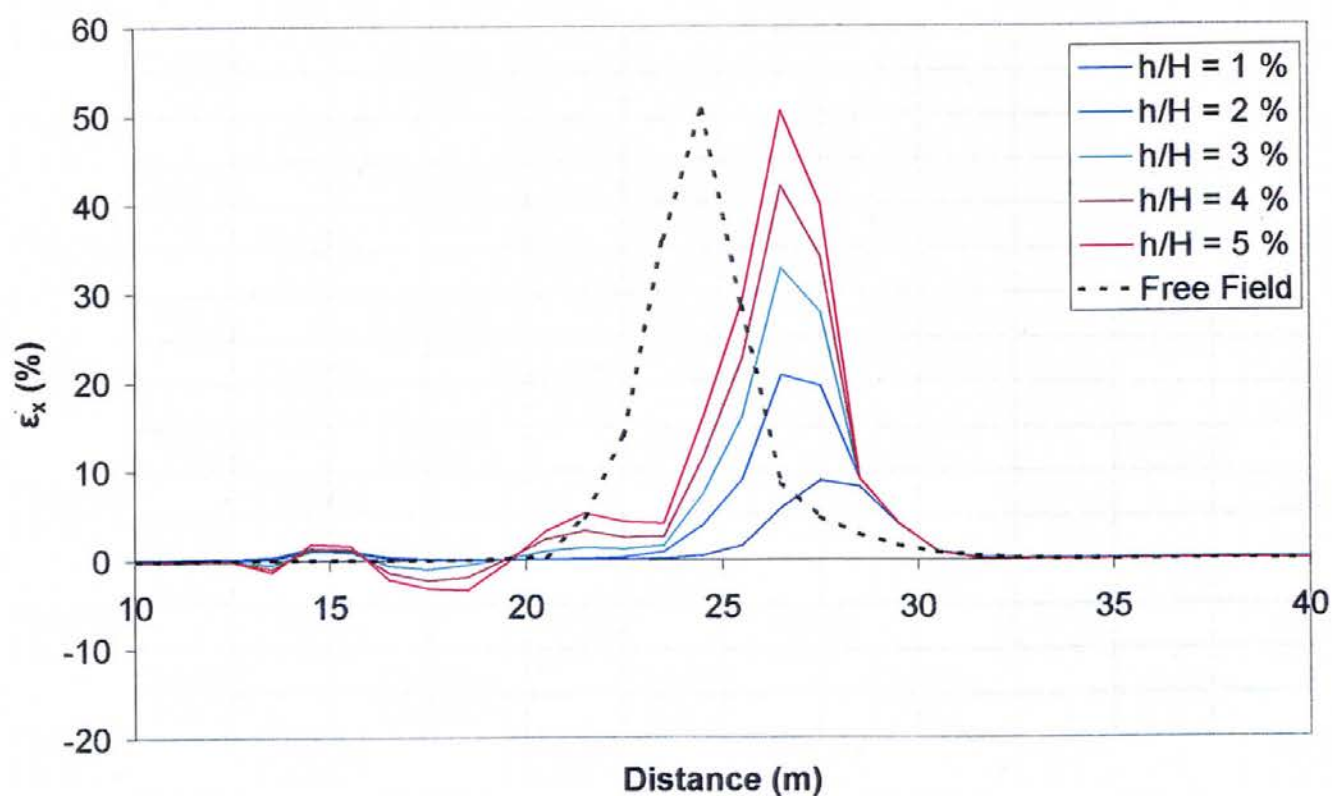
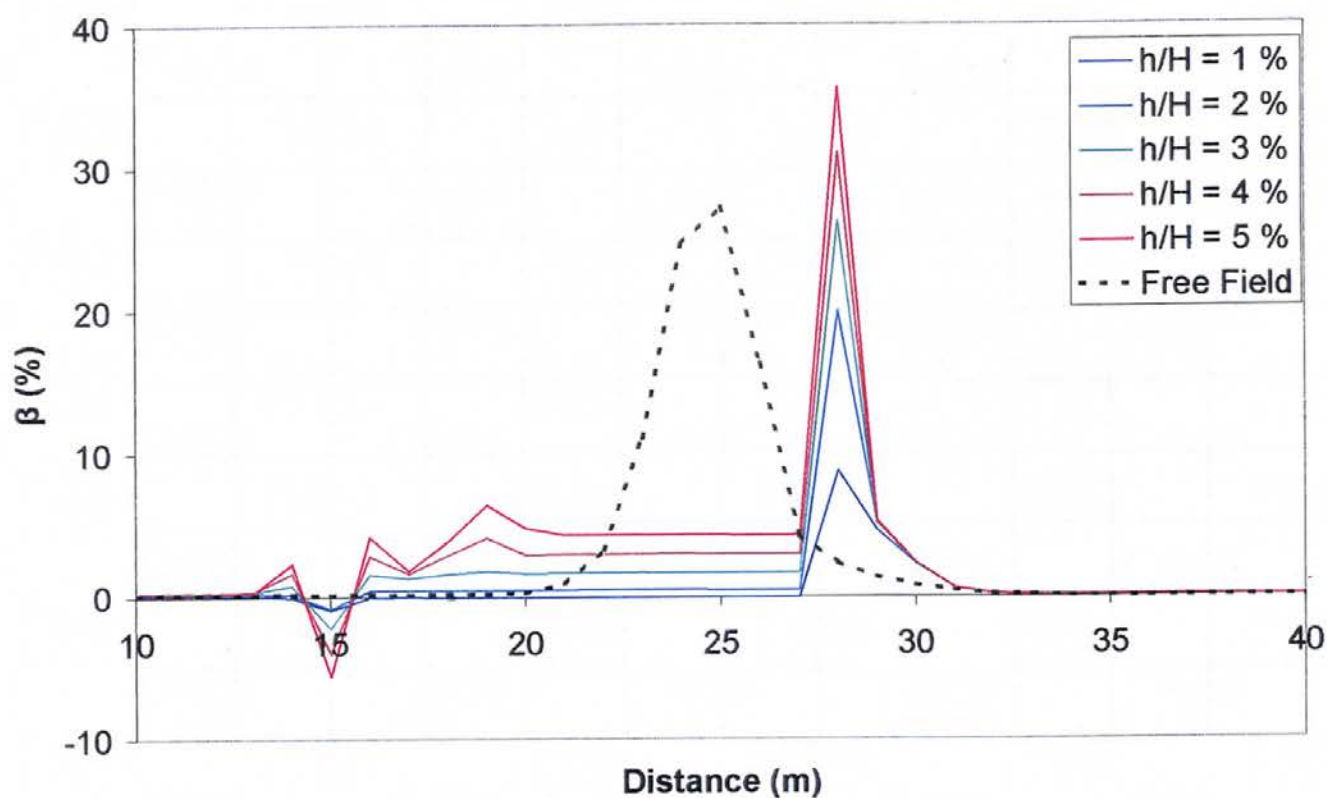


**Σχήμα 3.72** Τετραώροφο κτίριο με γενική κοιτόστρωση  $t = 0.2 \text{ m}$ , σε απόσταση 10 m από την επιφανειακή εκδήλωση του ρήγματος : Αναπτυσσόμενες αξονικές δυνάμεις και καμπτικές ροπές στην ανωδομή

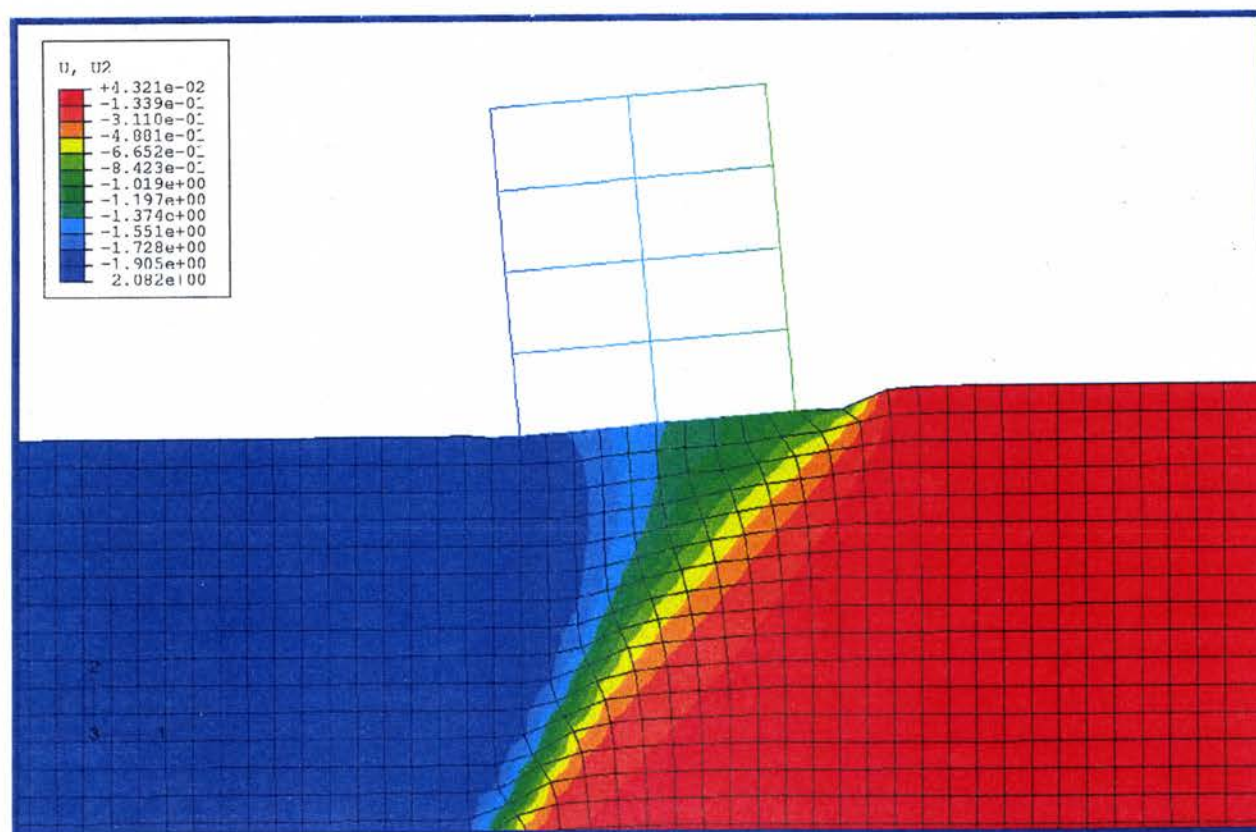
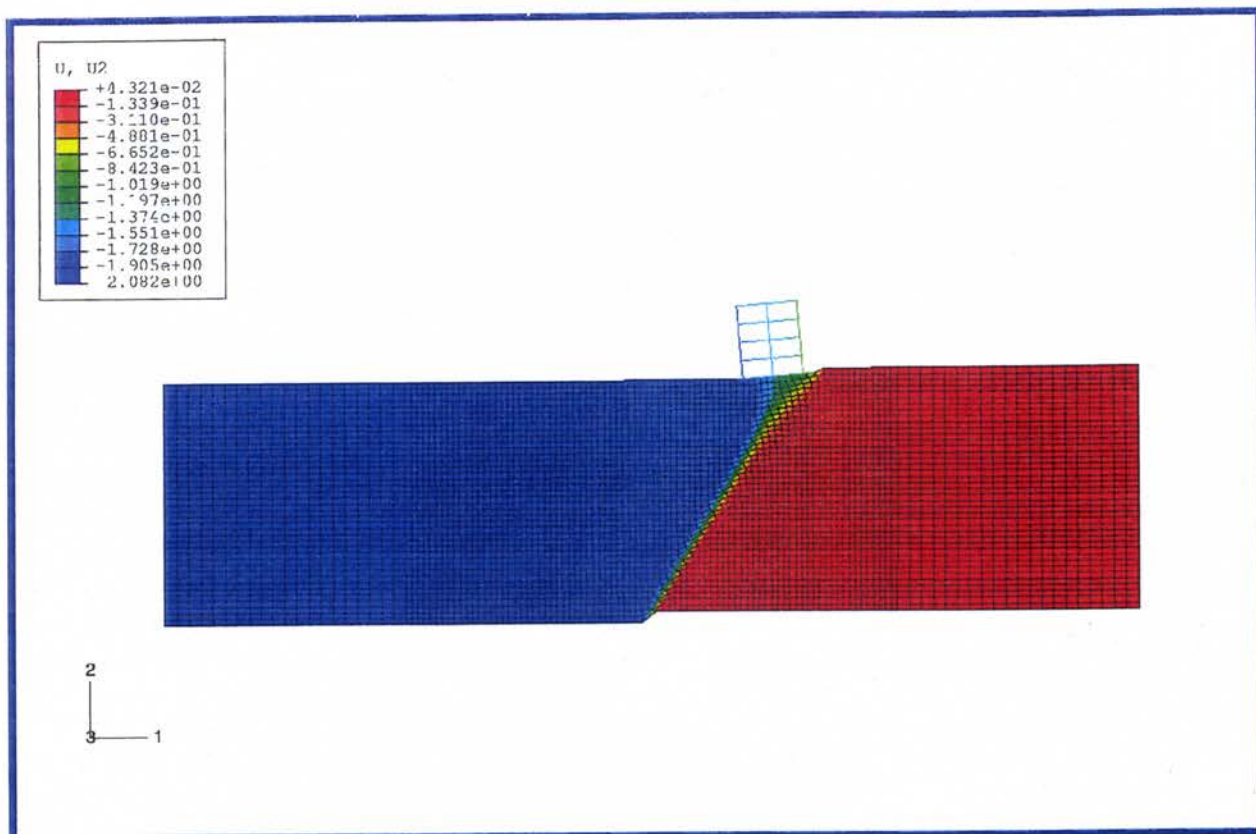


**Σχήμα 3.73** Τετραώροφο κτίριο με γενική κοιτόστρωση  $t = 0.5$  m, σε απόσταση 10 m από την επιφανειακή εκδήλωση του ρήγματος : Οριζόντιες και κατακόρυφες μετακινήσεις



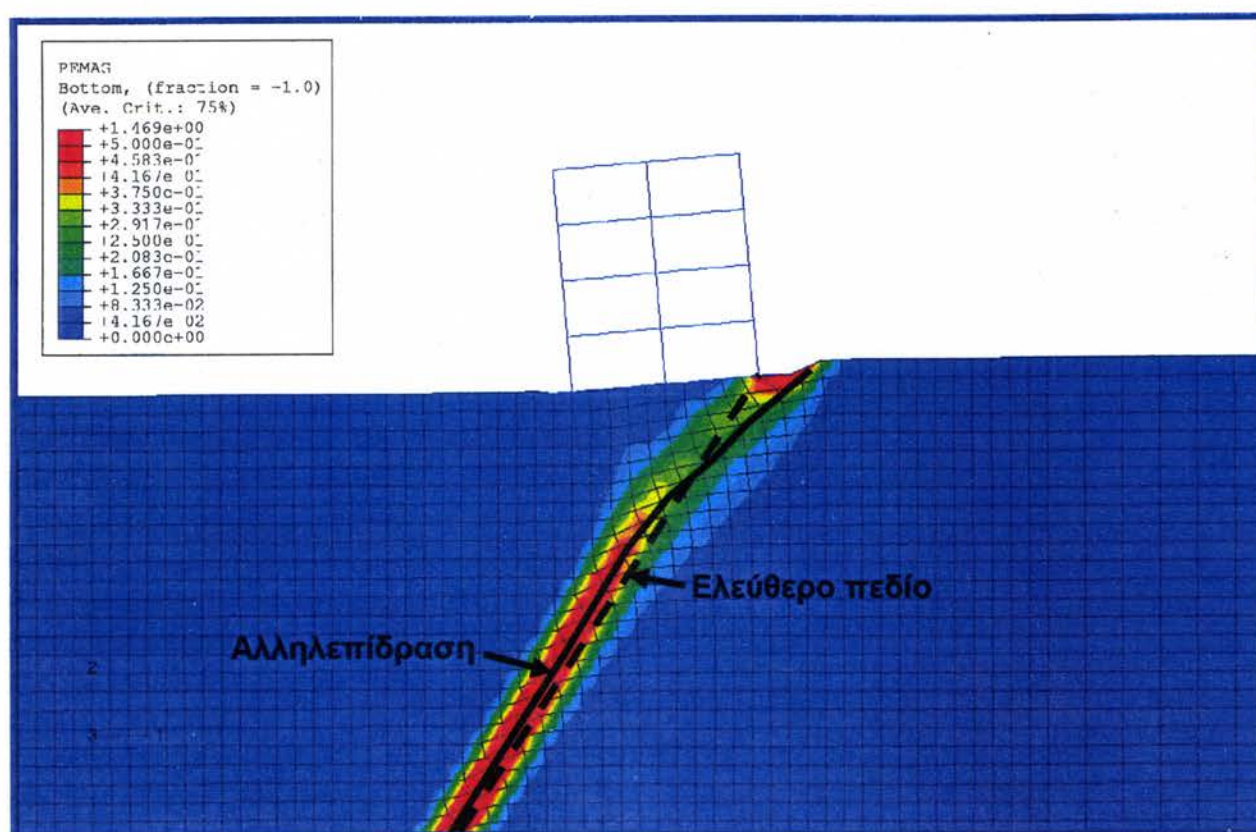
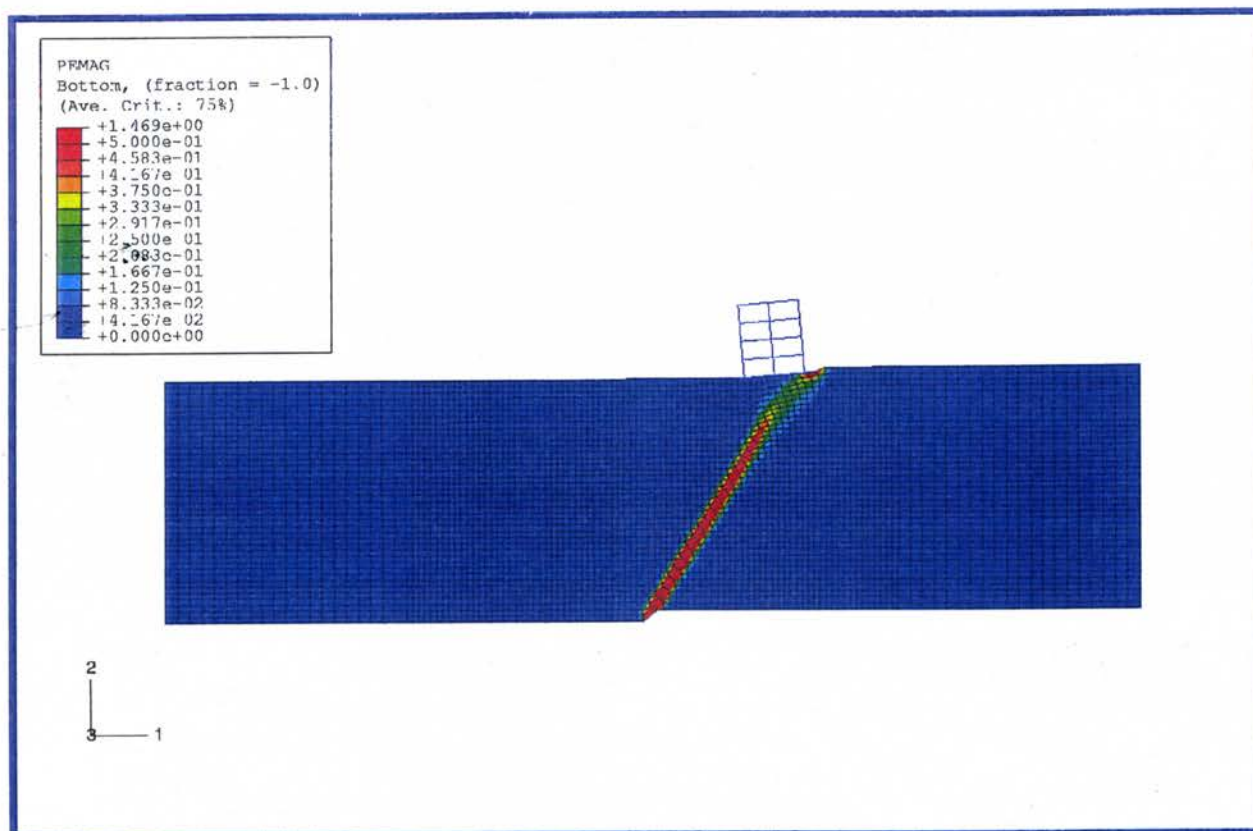


**Σχήμα 3.74** Τετραώροφο κτίριο με γενική κοιτόστρωση  $t = 0.5$  m, σε απόσταση 10 m από την επιφανειακή εκδήλωση του ρήγματος : Κλίση  $\beta$  και οριζόντιες παραμορφώσεις  $\epsilon$  της επιφάνειας του εδάφους



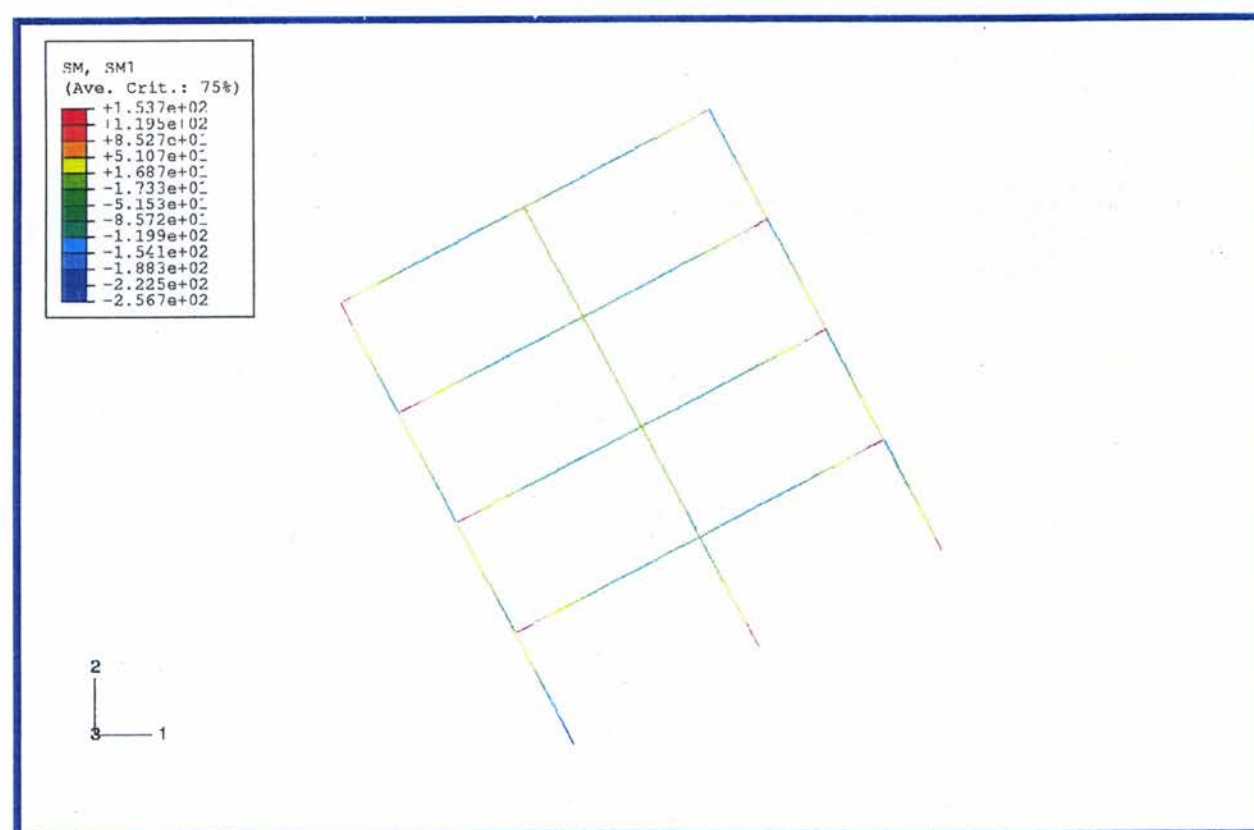
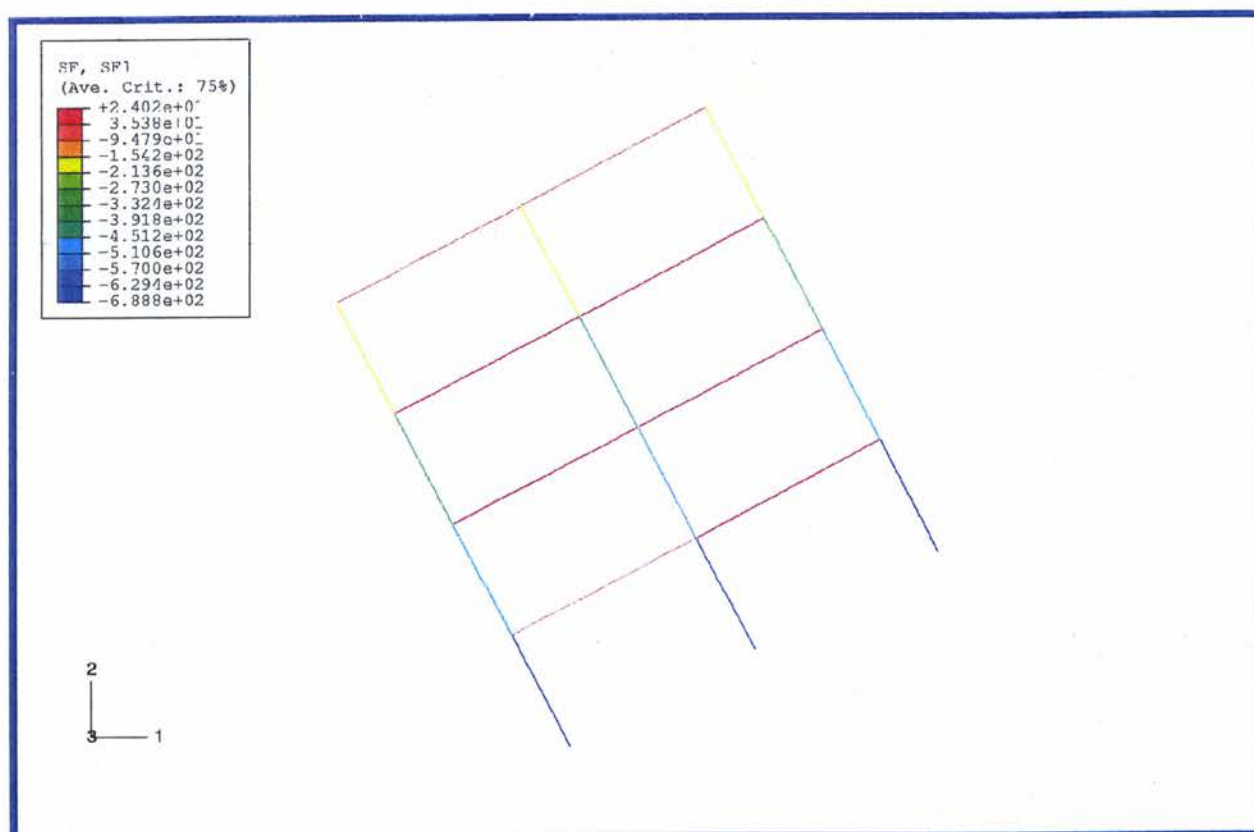
**Σχήμα 3.75** Τετραώροφο κτίριο με γενική κοιτόστρωση  $t = 0.5$  m, σε απόσταση 10 m από την επιφανειακή εκδήλωση του ρήγματος : Ισοϋψείς κατακορύφων μετακινήσεων



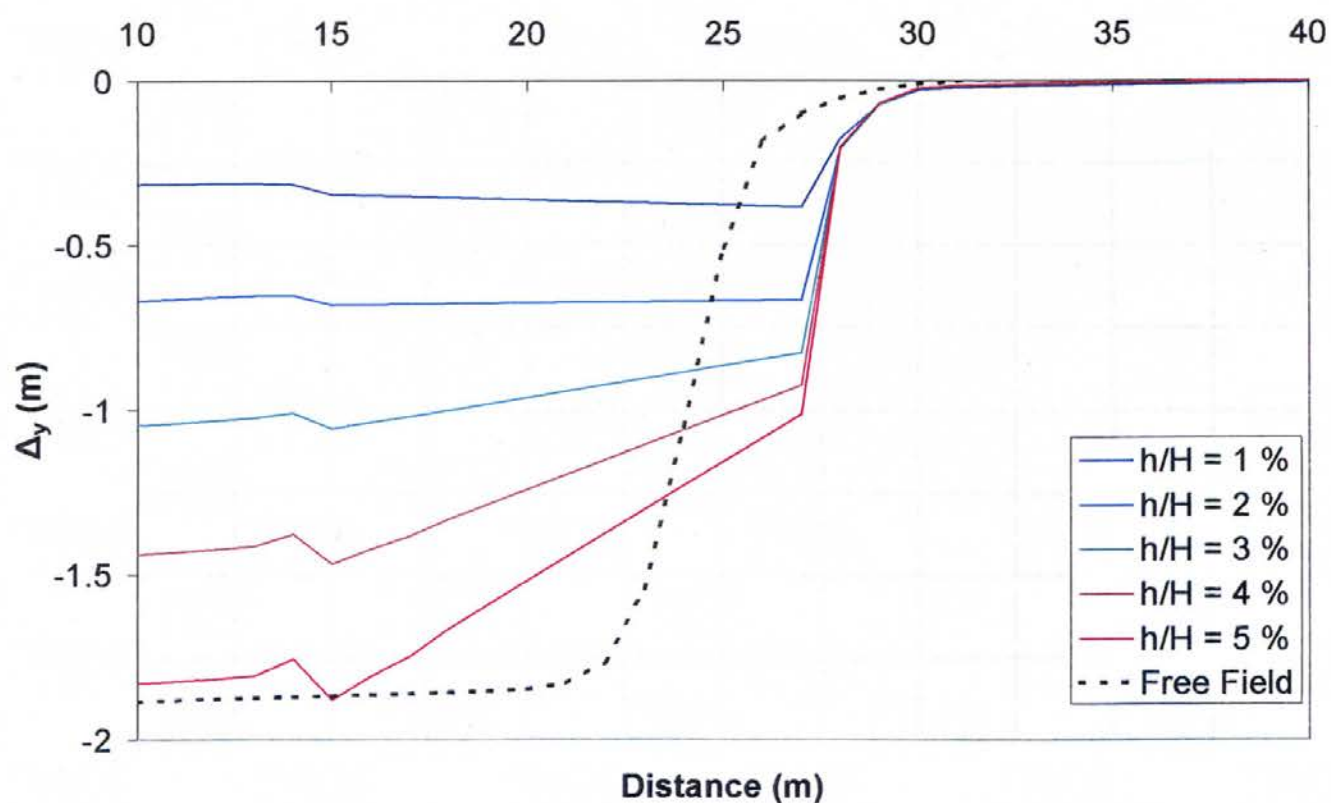
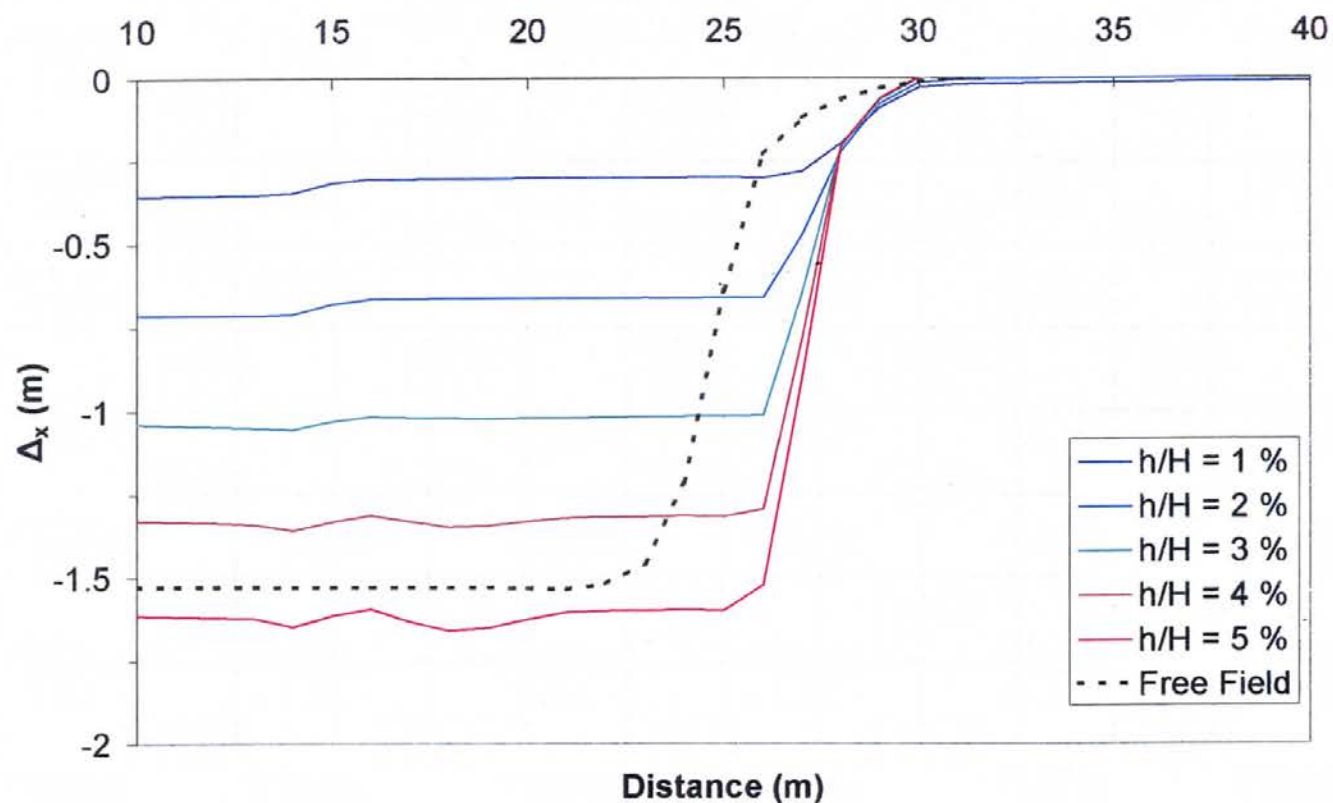


**Σχήμα 3.76** Τετραώροφο κτίριο με γενική κοιτόστρωση  $t = 0.5$  m, σε απόσταση 10 m από την επιφανειακή εκδήλωση του ρήγματος : Ισοϋψείς πλαστικών παραμορφώσεων

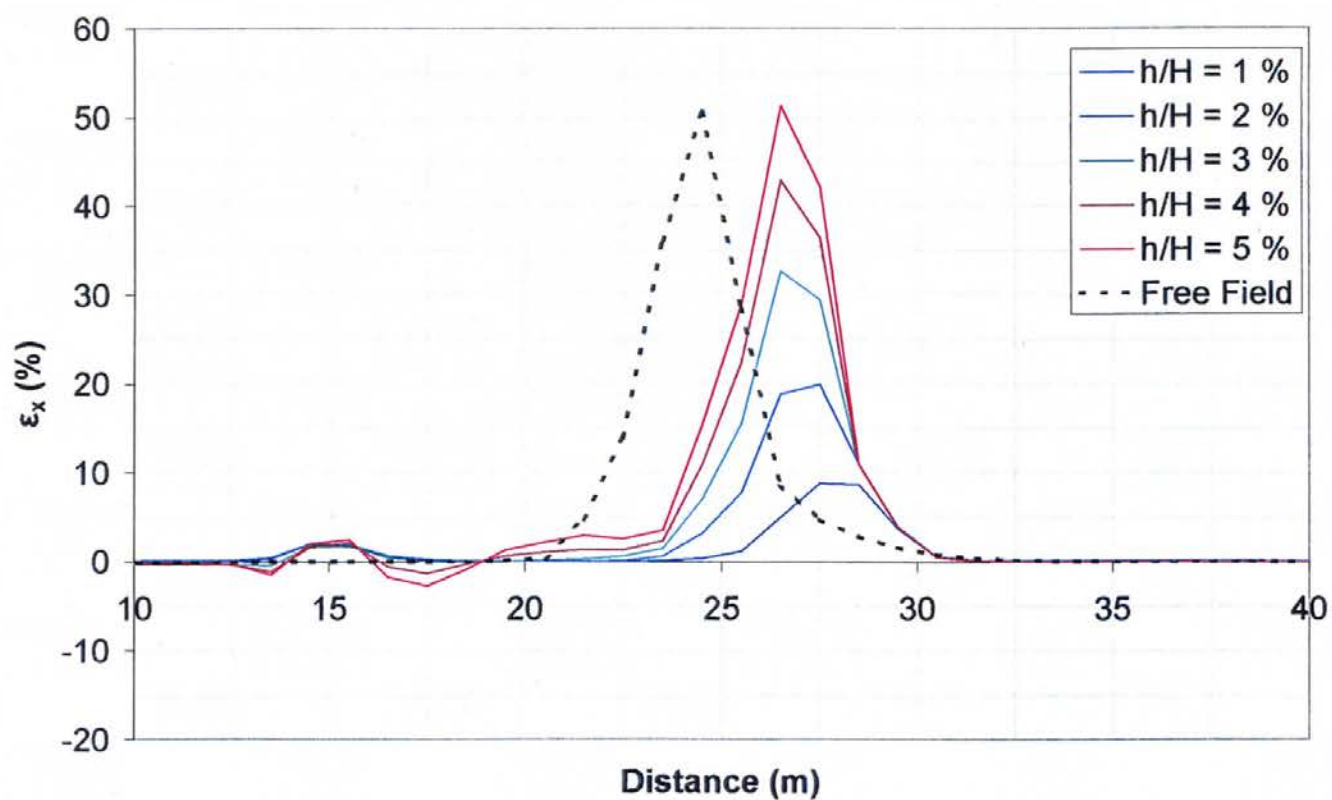
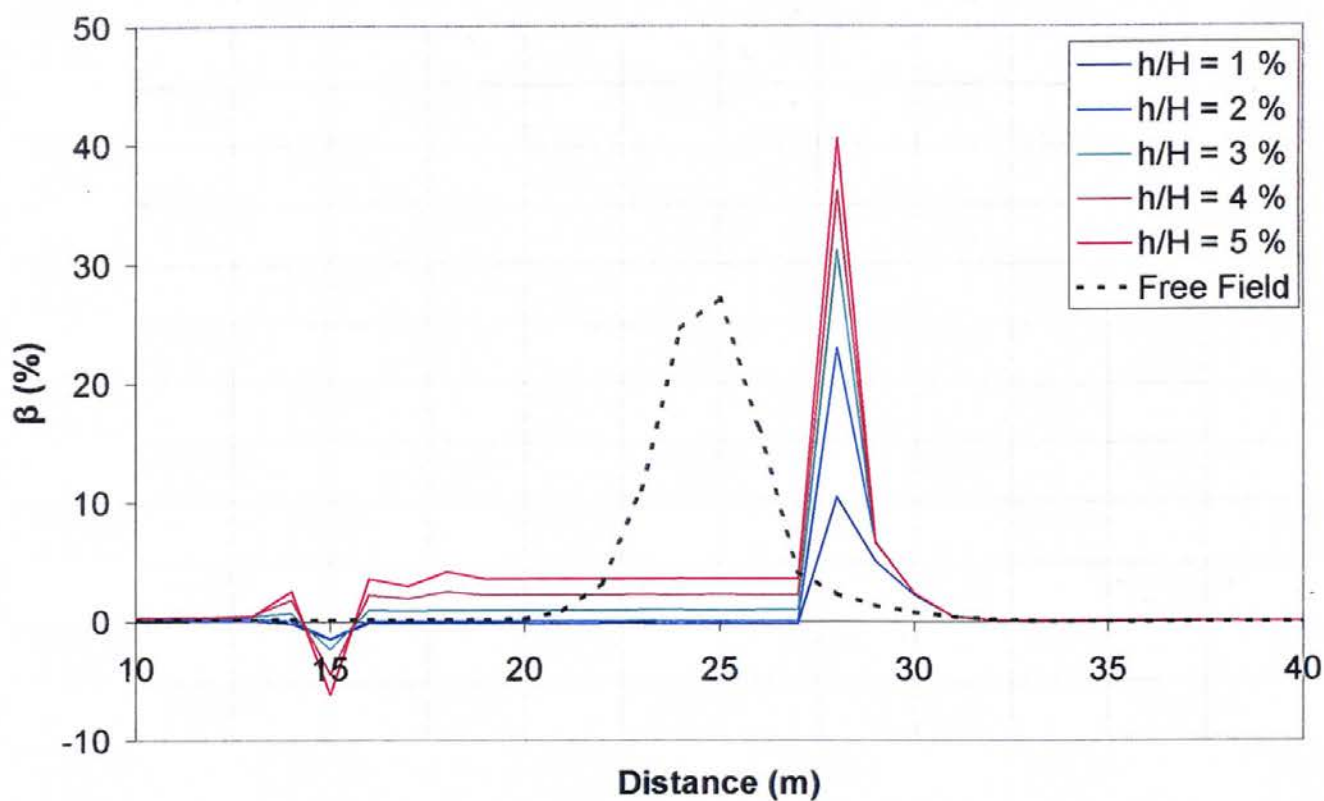




**Σχήμα 3.77** Τετραώροφο κτίριο με γενική κοιτόστρωση  $t = 0.5 \text{ m}$ , σε απόσταση 10 m από την επιφανειακή εκδήλωση του ρήγματος : Αναπτυσσόμενες αξονικές δυνάμεις και καμπτικές ροπές στην ανωδομή

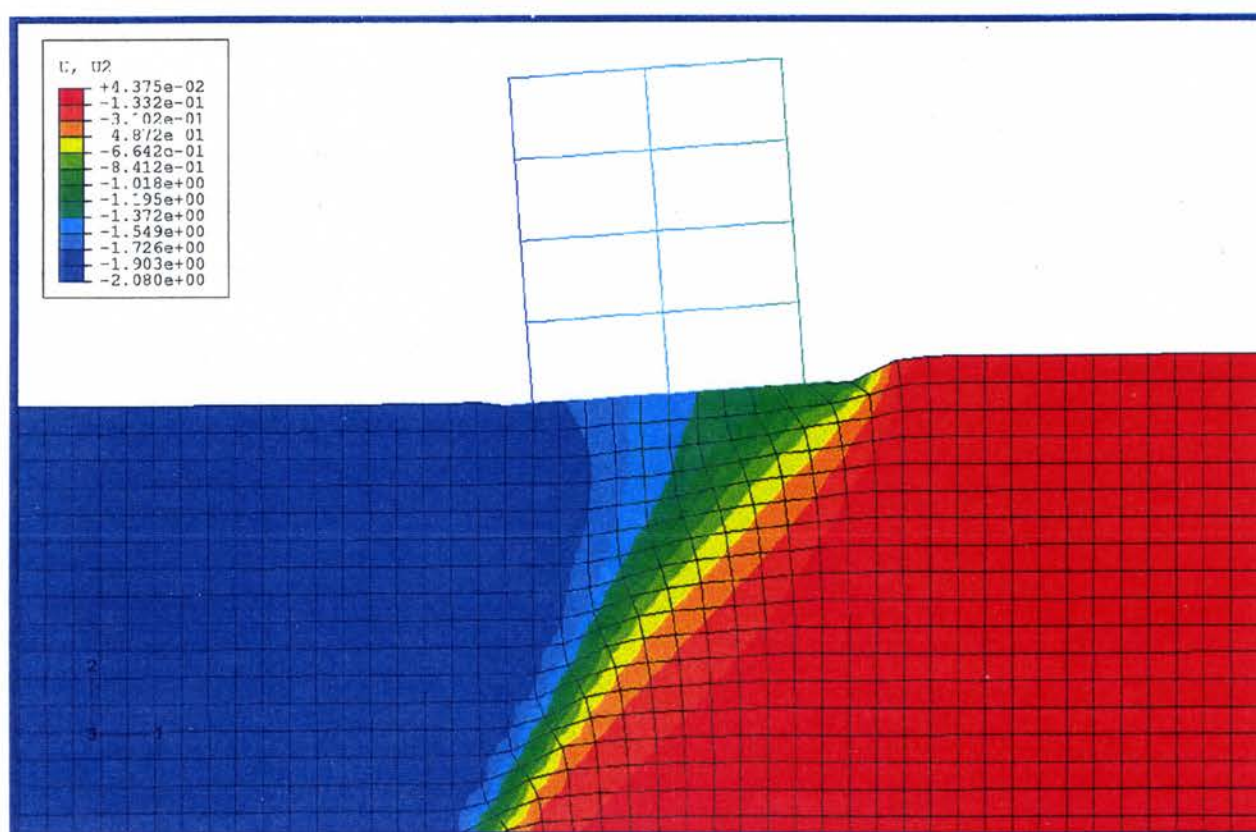
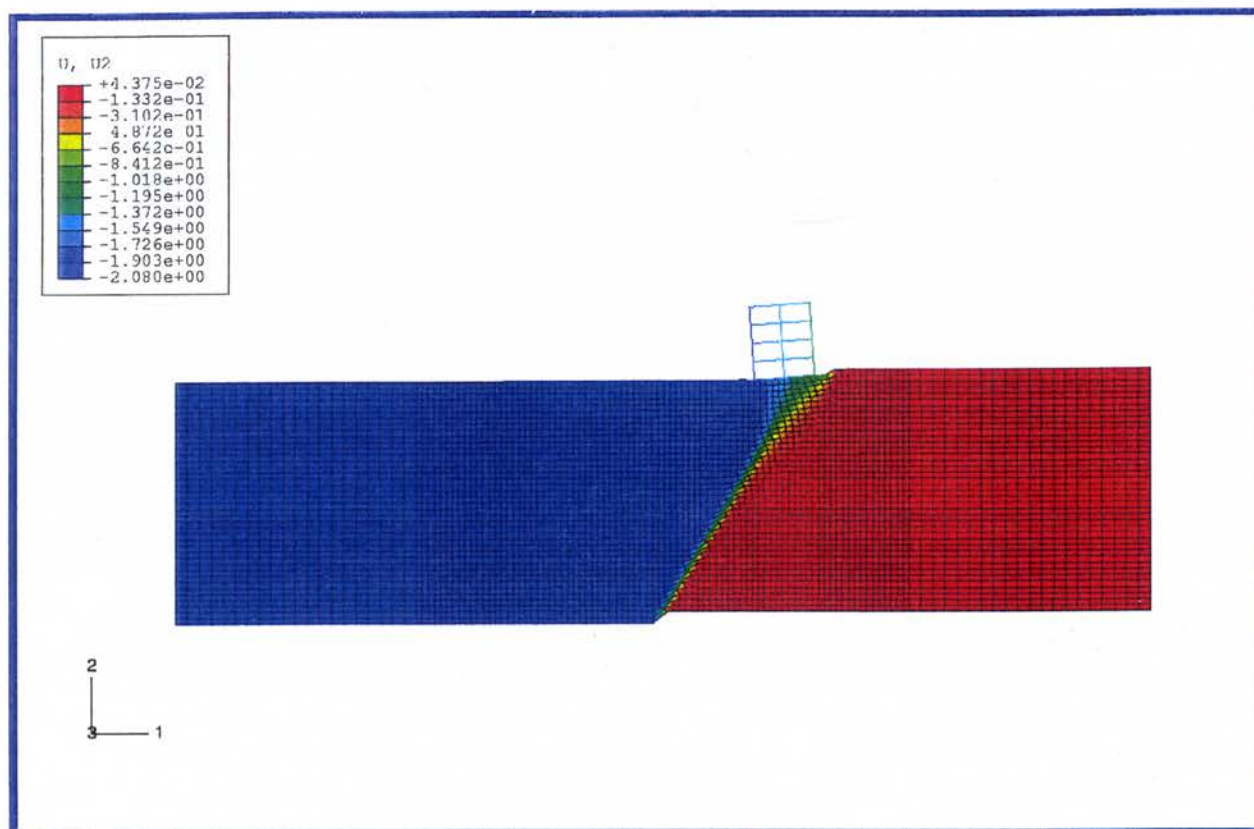


**Σχήμα 3.78** Τετραώροφο κτίριο με γενική κοιτόστρωση  $t = 1.0$  m, σε απόσταση 10 m από την επιφανειακή εκδήλωση του ρήγματος : Οριζόντιες και κατακόρυφες μετακινήσεις

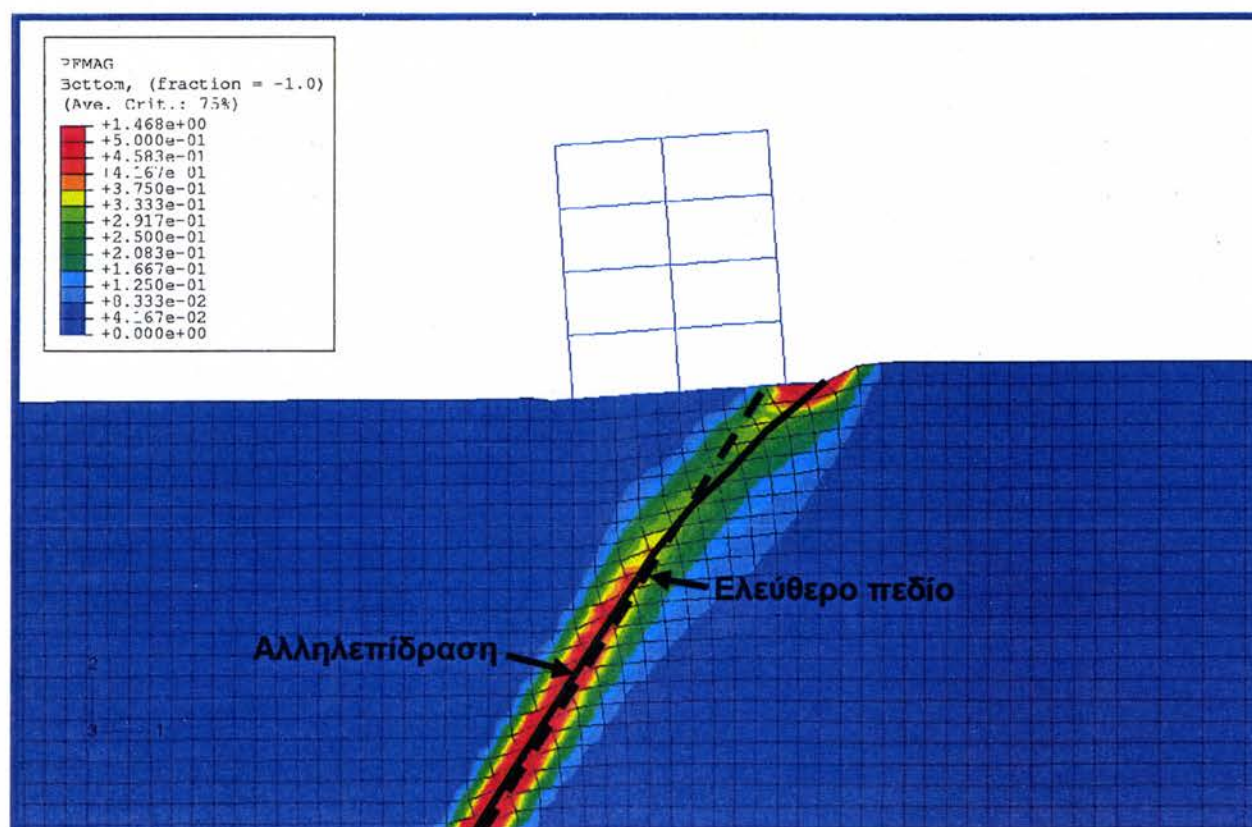
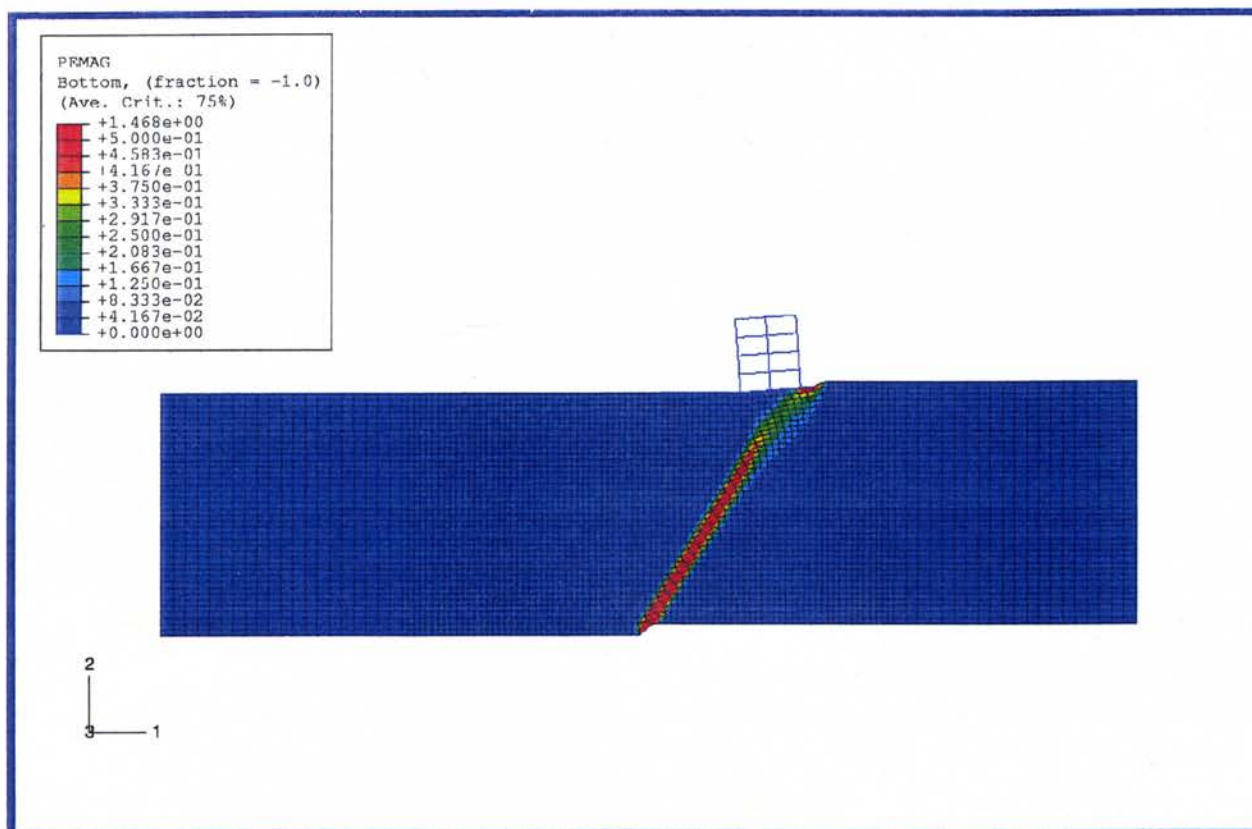


**Σχήμα 3.79** Τετραώροφο κτίριο με γενική κοιτόστρωση  $t = 1.0$  m, σε απόσταση 10 m από την επιφανειακή εκδήλωση του ρήγματος : Κλίση  $\beta$  και οριζόντιες παραμορφώσεις  $\varepsilon$  της επιφάνειας του εδάφους



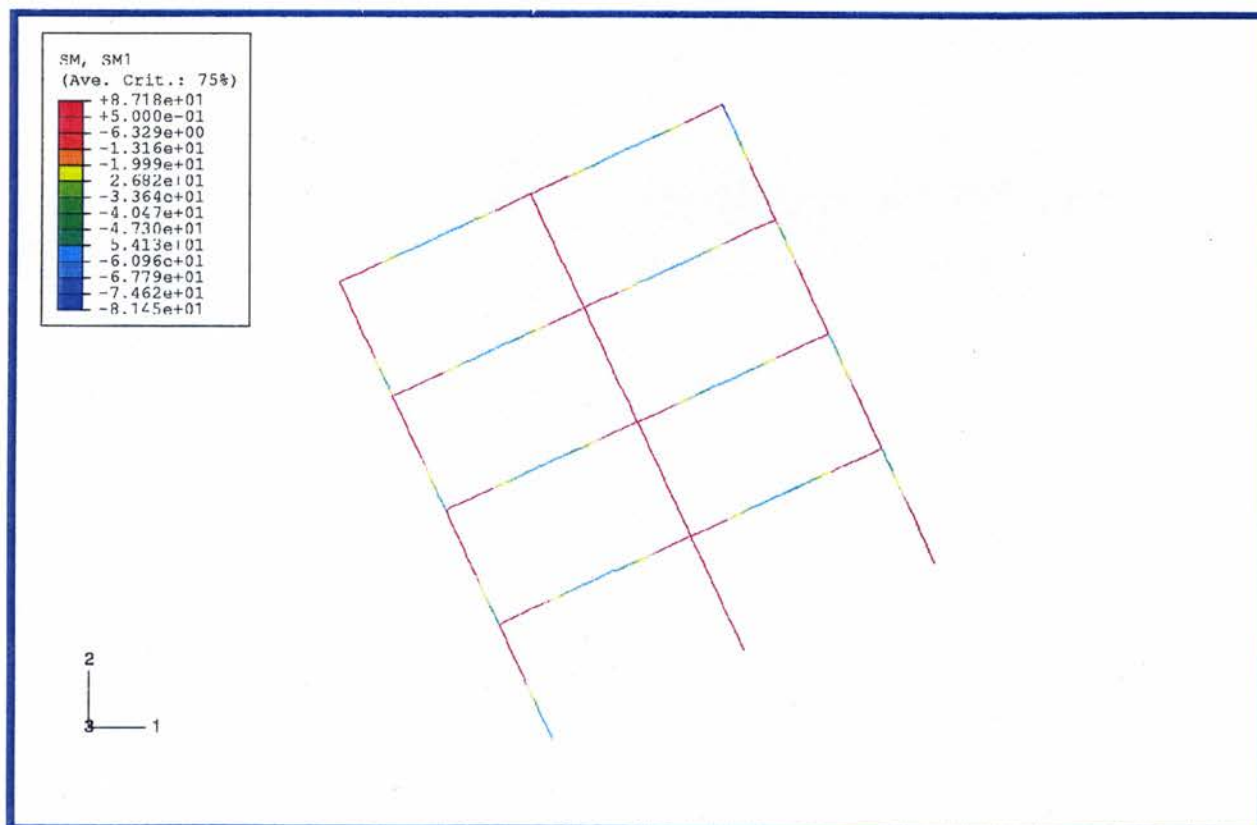
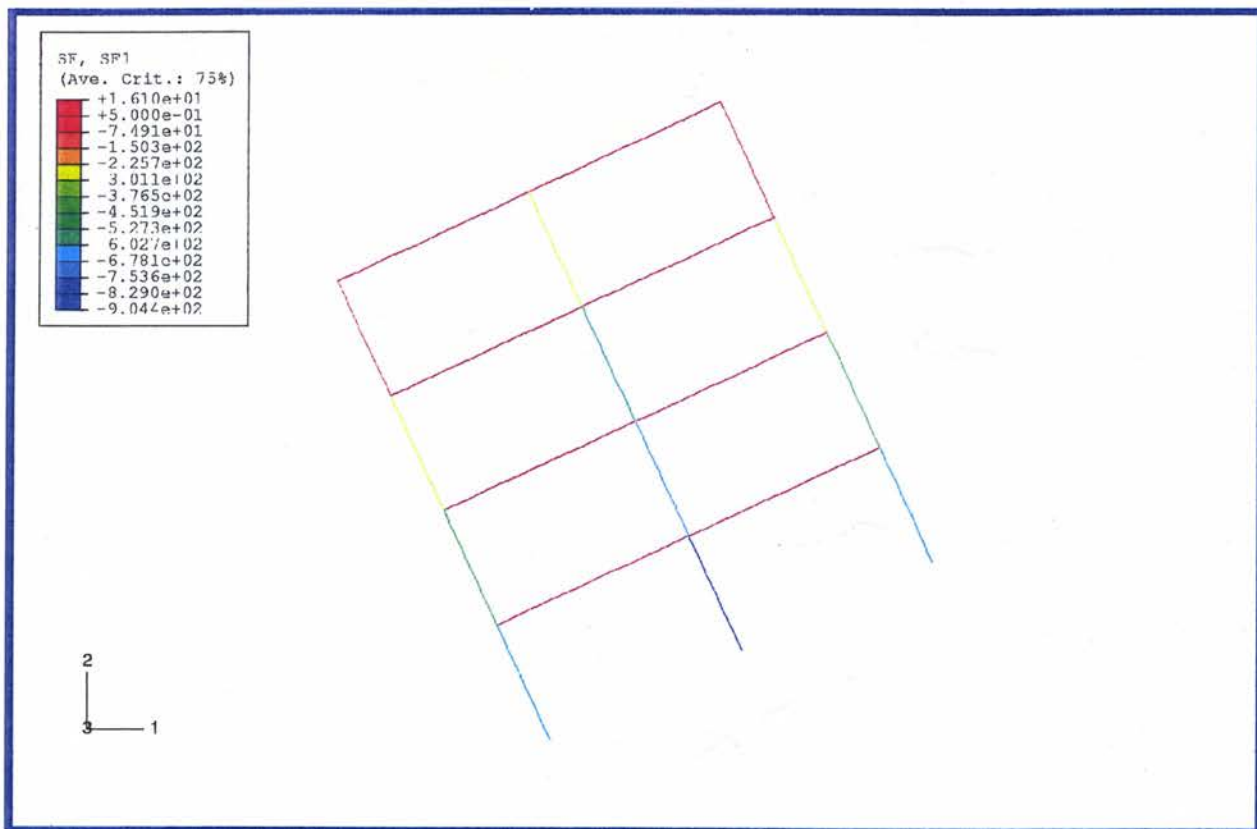


**Σχήμα 3.80** Τετραώροφο κτίριο με γενική κοιτόστρωση  $t = 1.0$  m, σε απόσταση 10 m από την επιφανειακή εκδήλωση του ρήγματος : Ισοϋψείς κατακορύφων μετακινήσεων



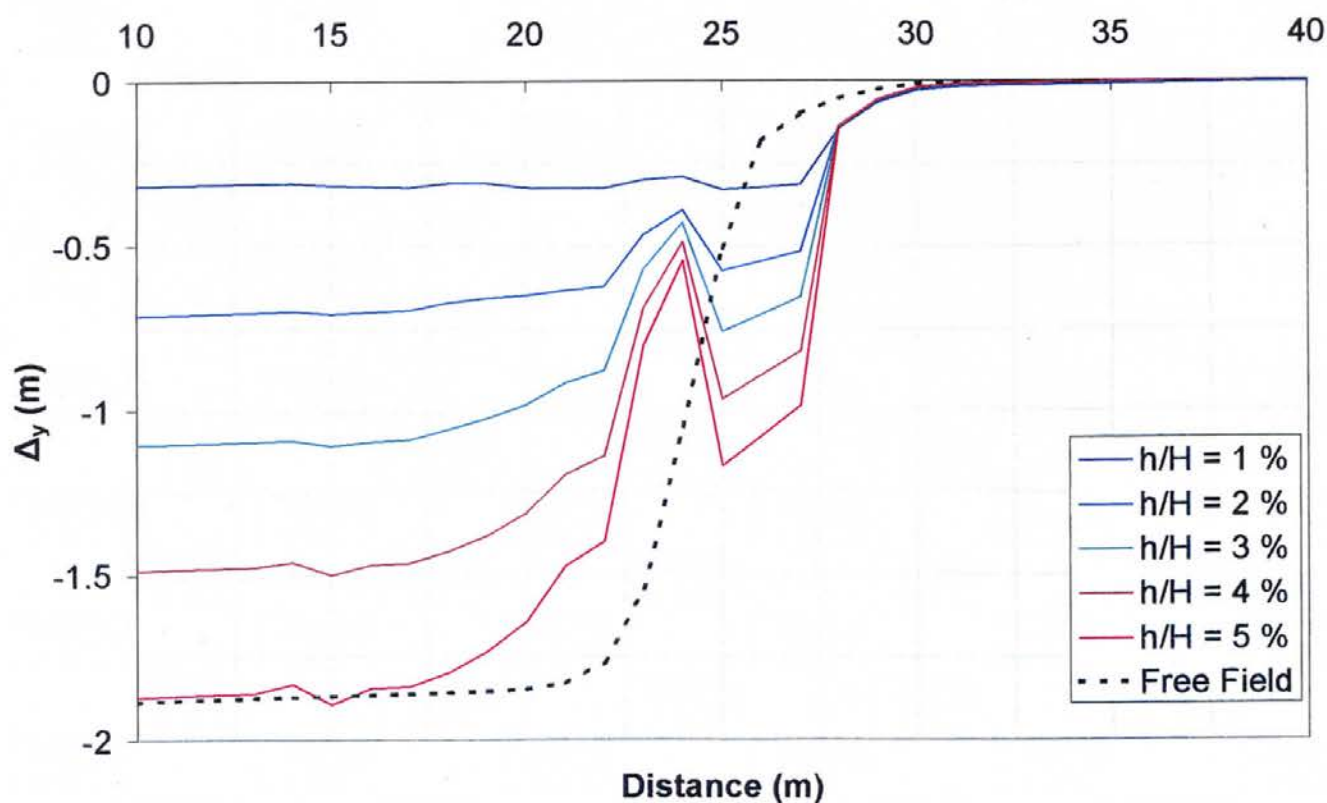
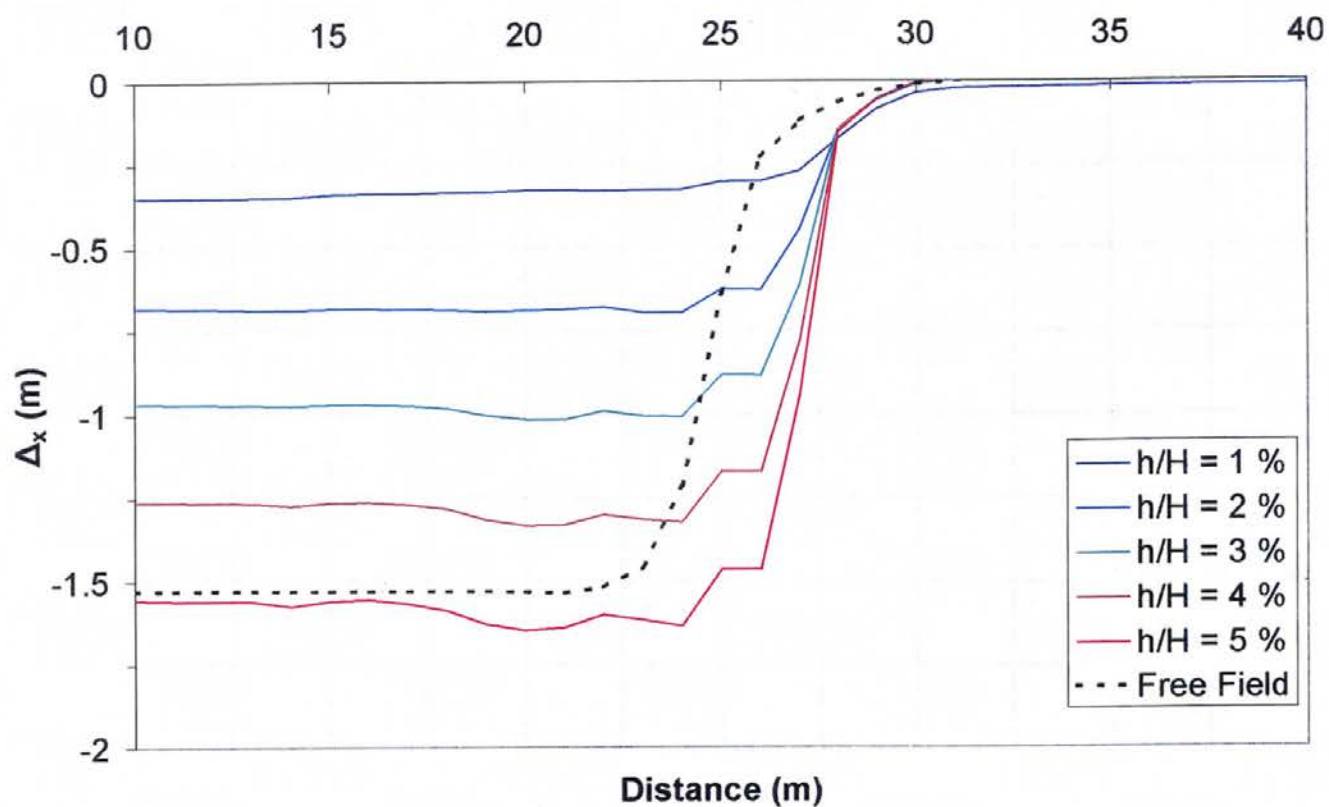
**Σχήμα 3.81** Τετραώροφο κτίριο με γενική κοιτόστρωση  $t = 1.0$  m, σε απόσταση 10 m από την επιφανειακή εκδήλωση του ρήγματος : Ισοϋψείς πλαστικών παραμορφώσεων



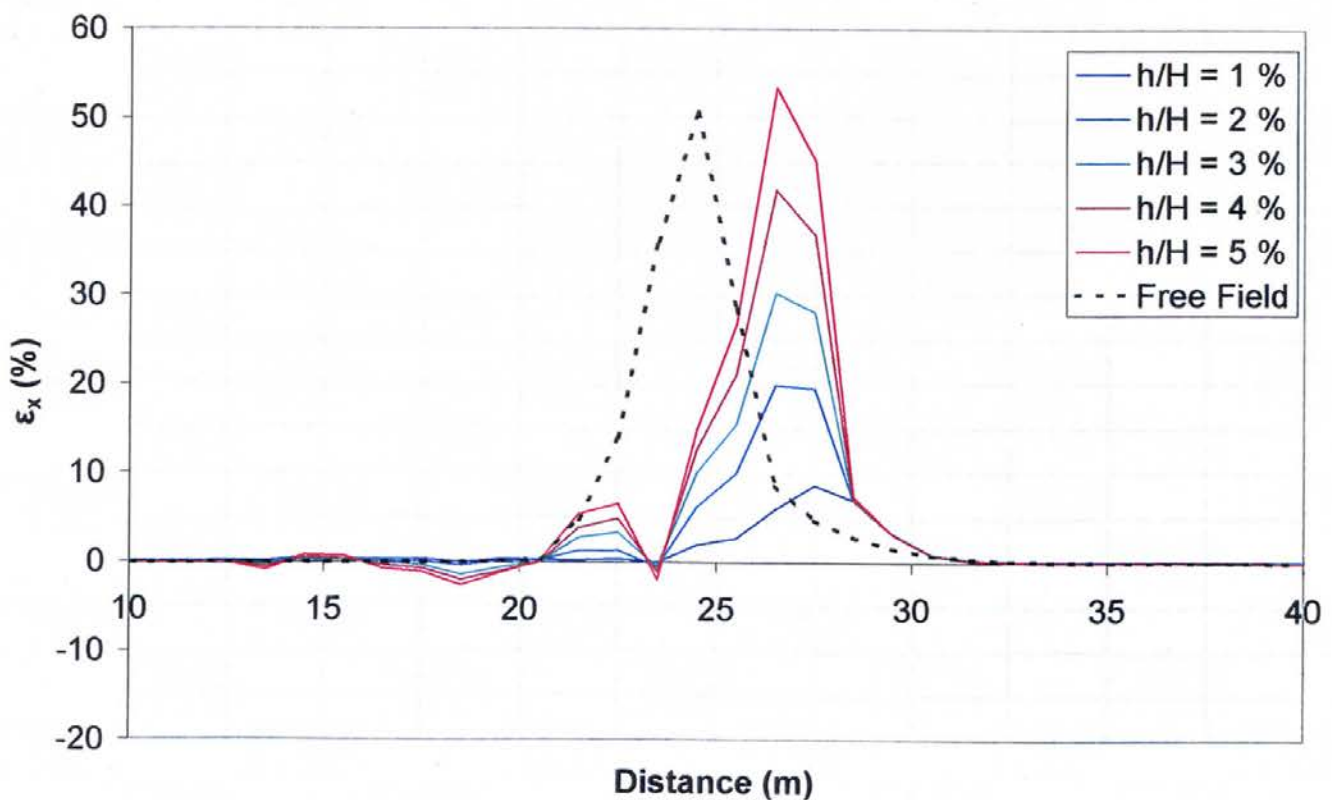
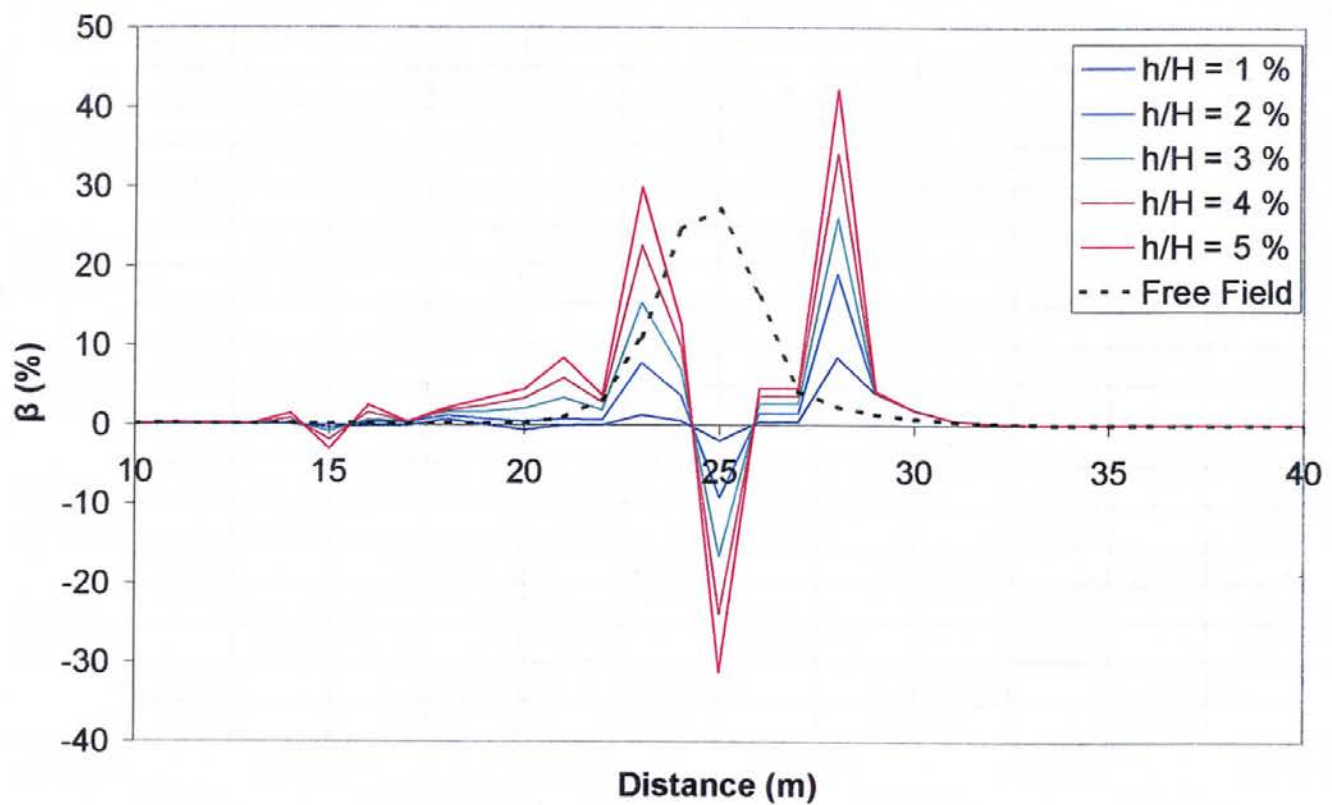


**Σχήμα 3.82** Τετραώροφο κτίριο με γενική κοιτόστρωση  $t = 1.0 \text{ m}$ , σε απόσταση 10 m από την επιφανειακή εκδήλωση του ρήγματος : Αναπτυσσόμενες αξονικές δυνάμεις και καμπτικές ροπές στην ανωδομή

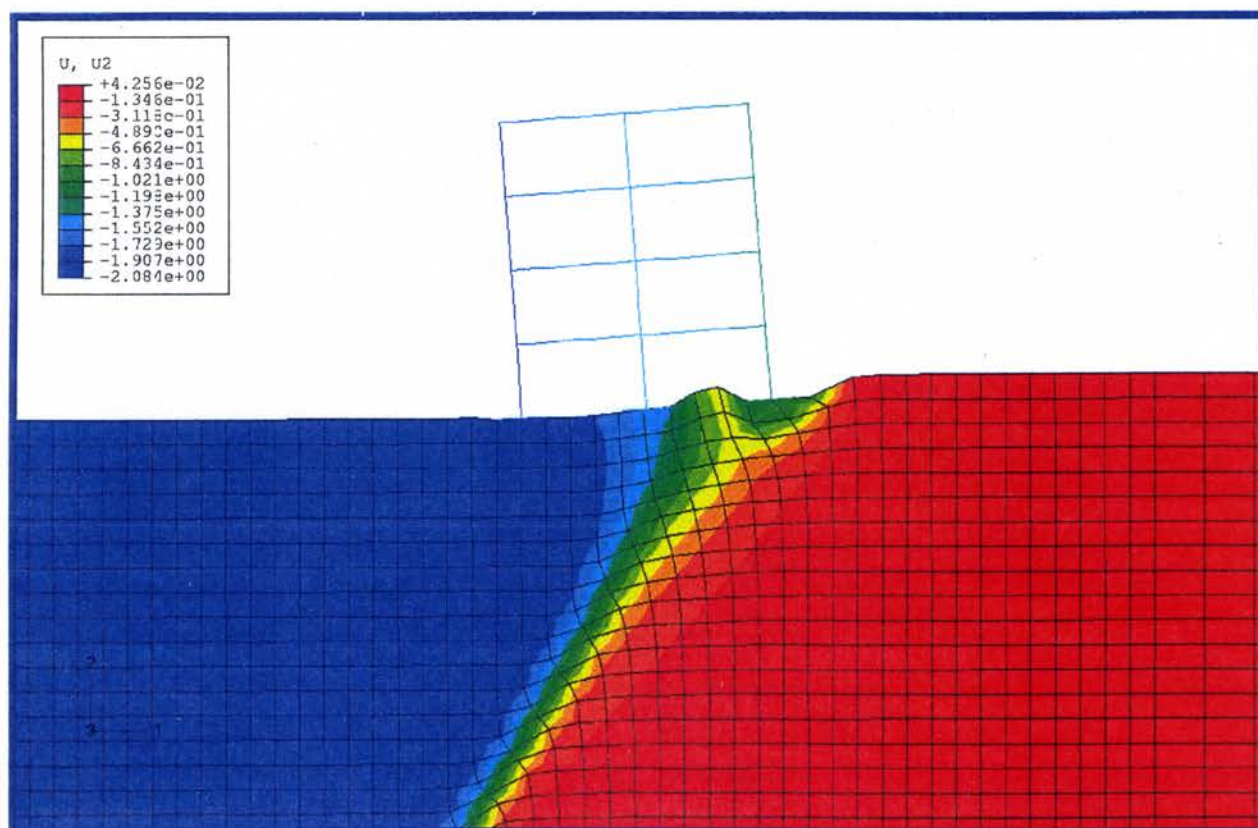
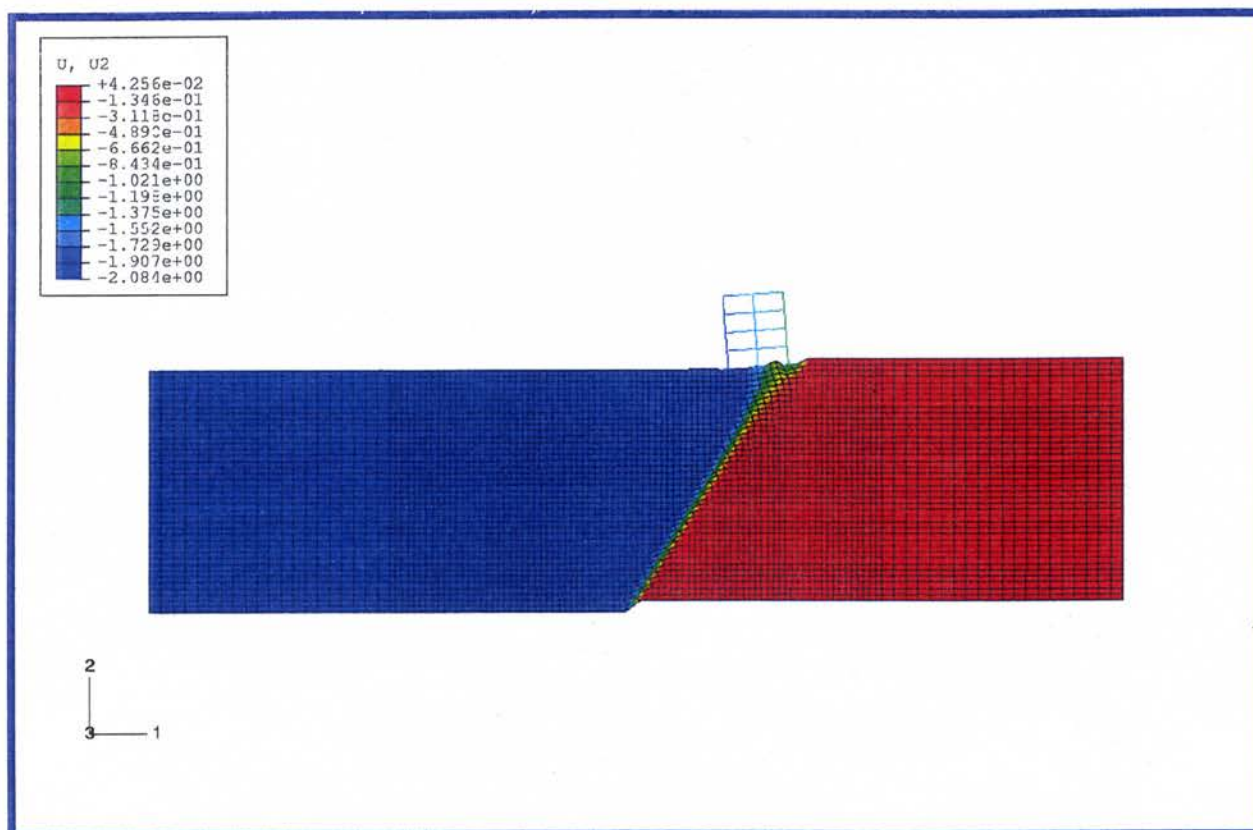




**Σχήμα 3.83** Τετραώροφο κτίριο με μεμονωμένα θεμέλια πλάτους 2.0 m, σε απόσταση 10 m από την επιφανειακή εκδήλωση του ρήγματος : Οριζόντιες και κατακόρυφες μετακινήσεις

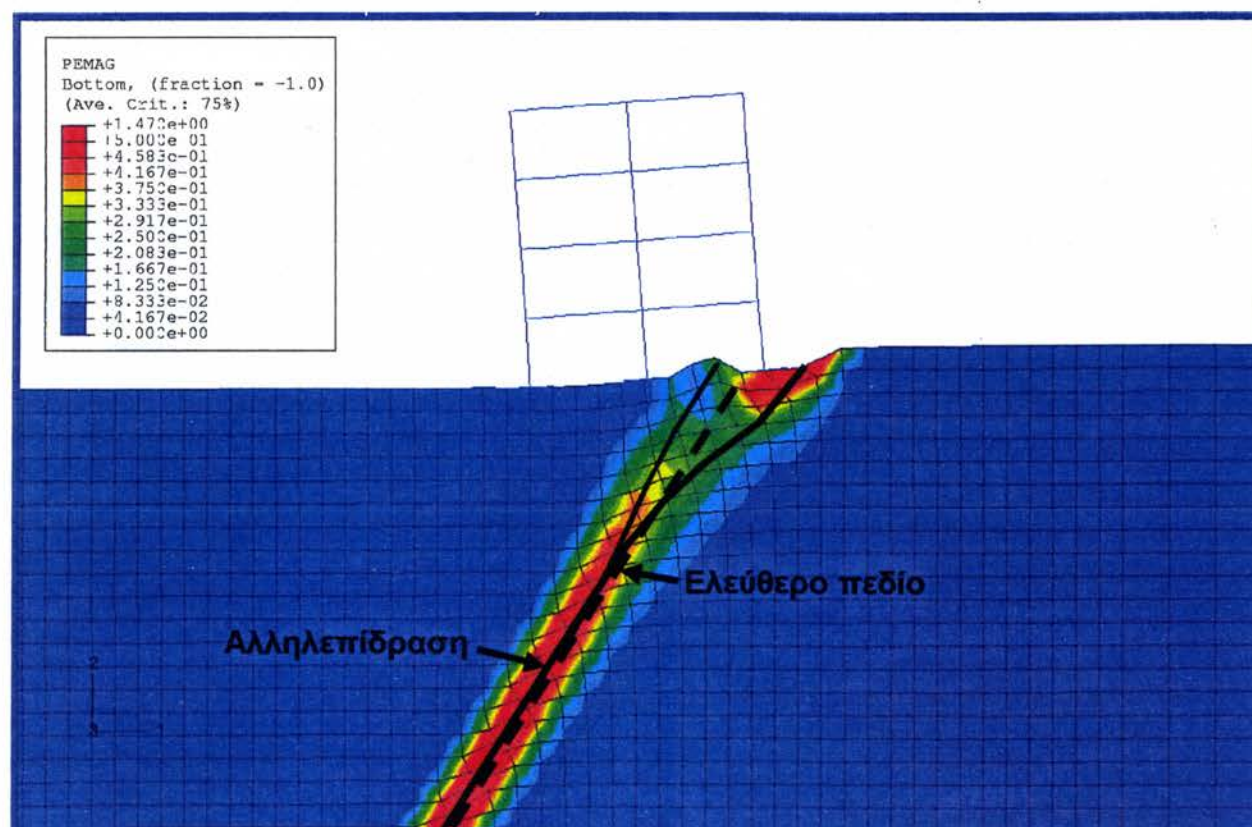
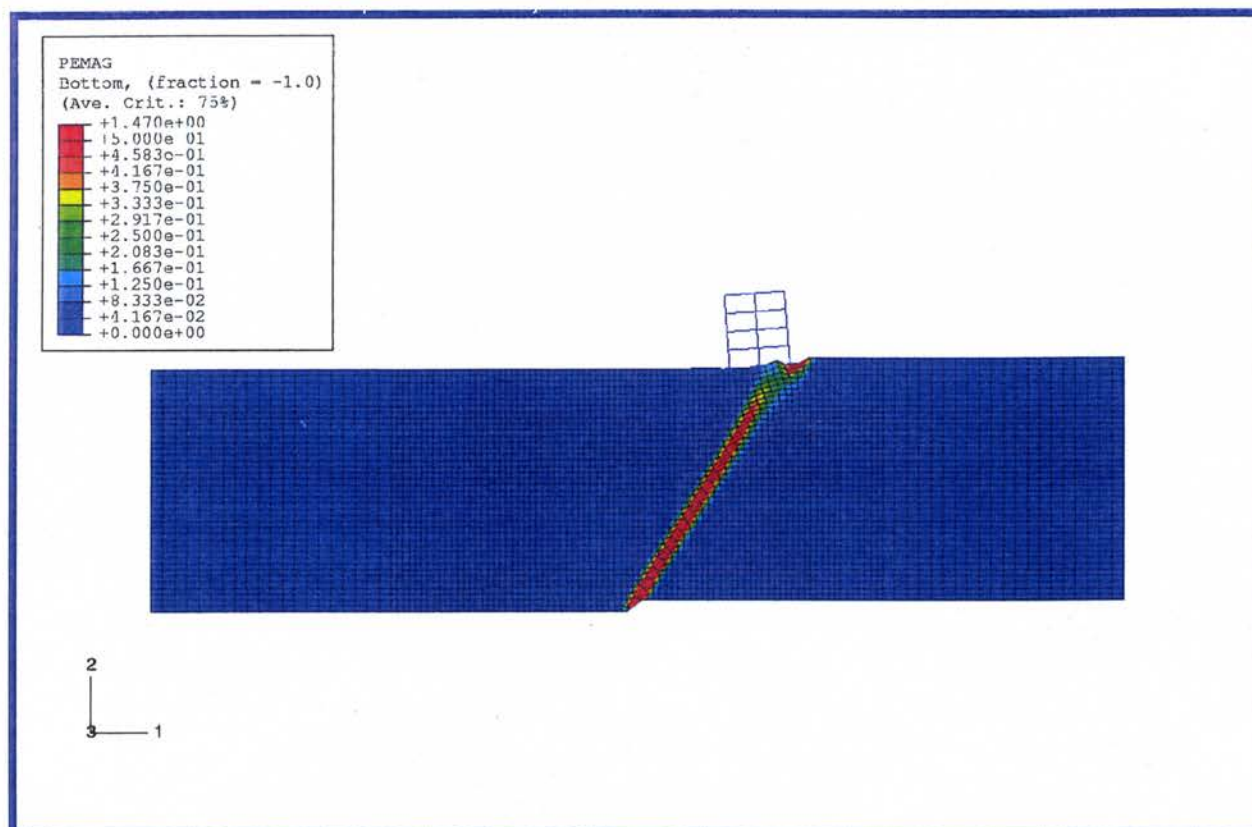


**Σχήμα 3.84** Τετραώροφο κτίριο με μεμονωμένα θεμέλια πλάτους 2.0 m, σε απόσταση 10 m από την επιφανειακή εκδήλωση του ρήγματος : Κλίση  $\beta$  και οριζόντιες παραμορφώσεις  $\epsilon$  της επιφάνειας του εδάφους

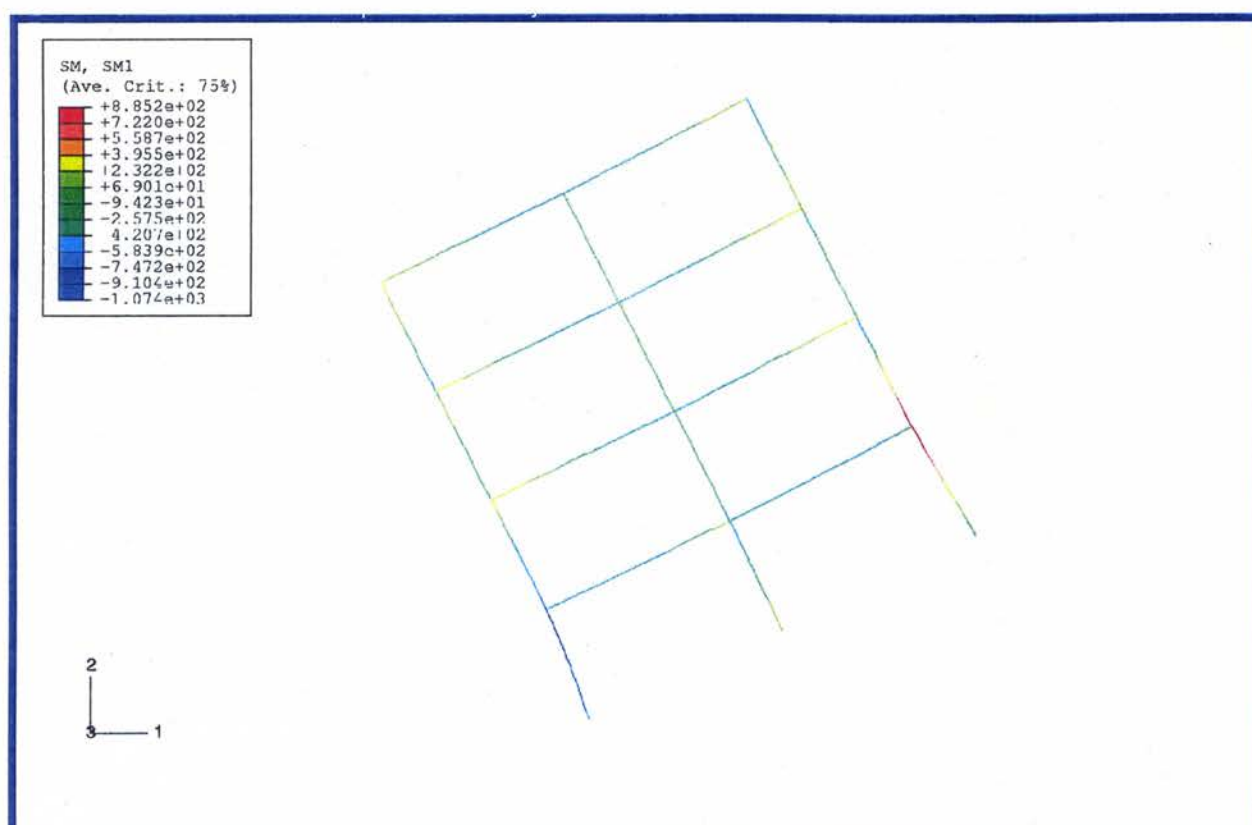
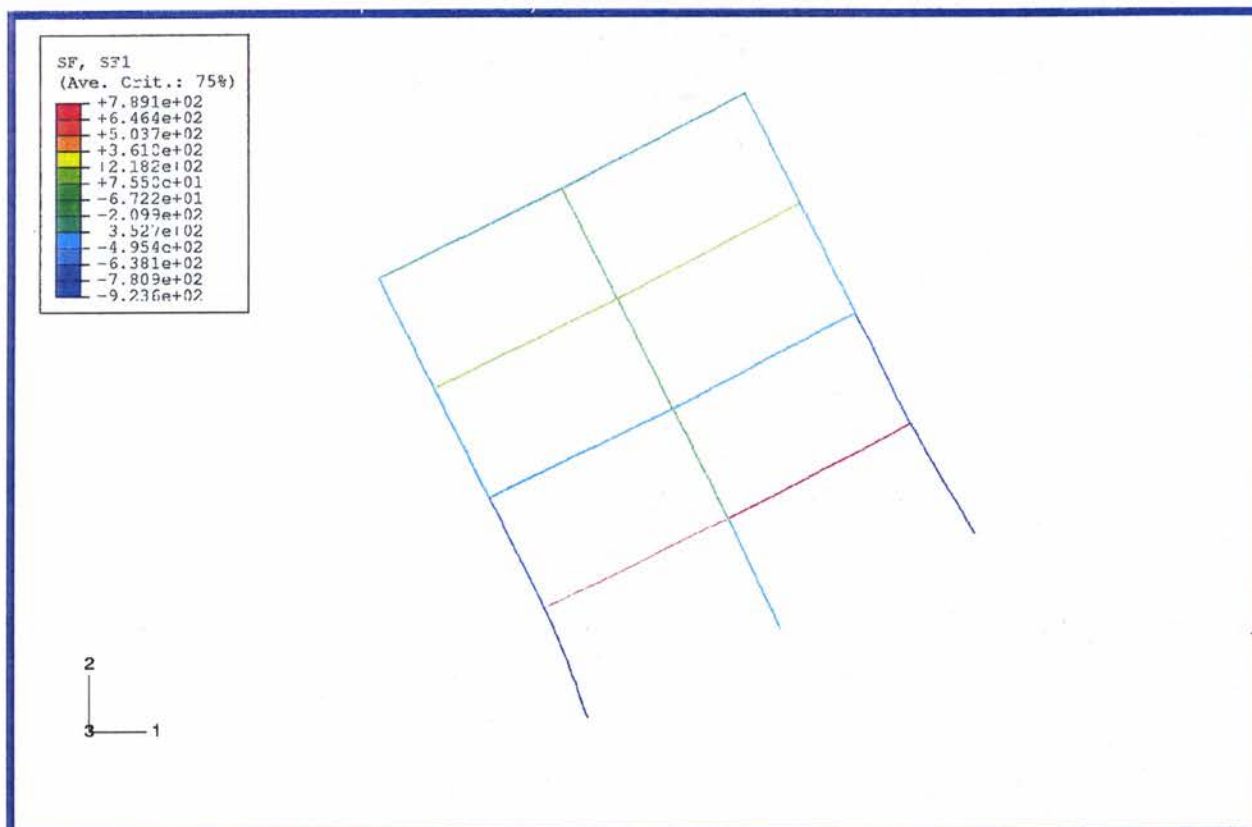


**Σχήμα 3.85** Τετραώροφο κτίριο με μεμονωμένα θεμέλια πλάτους 2.0 m, σε απόσταση 10 m από την επιφανειακή εκδήλωση του ρήγματος : Ισοϋψείς κατακορύφων μετακινήσεων

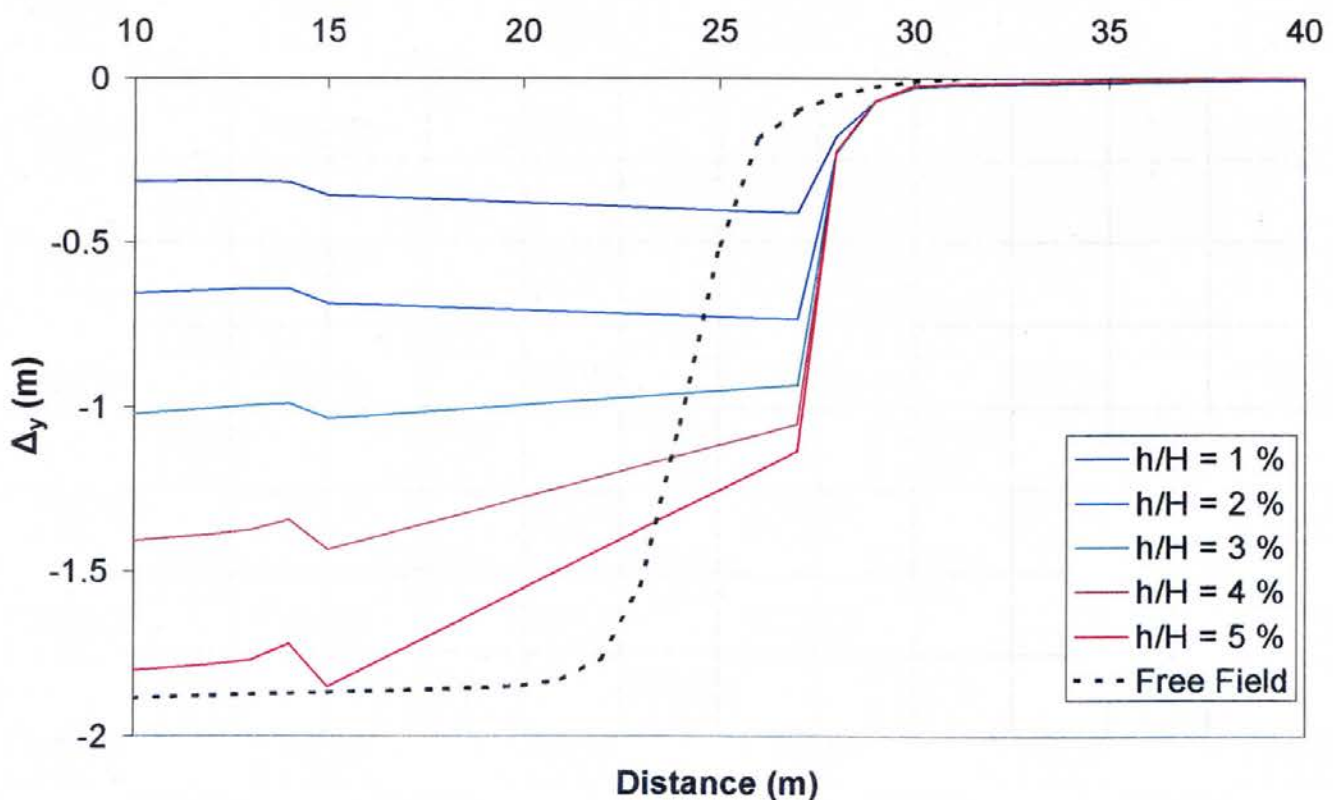
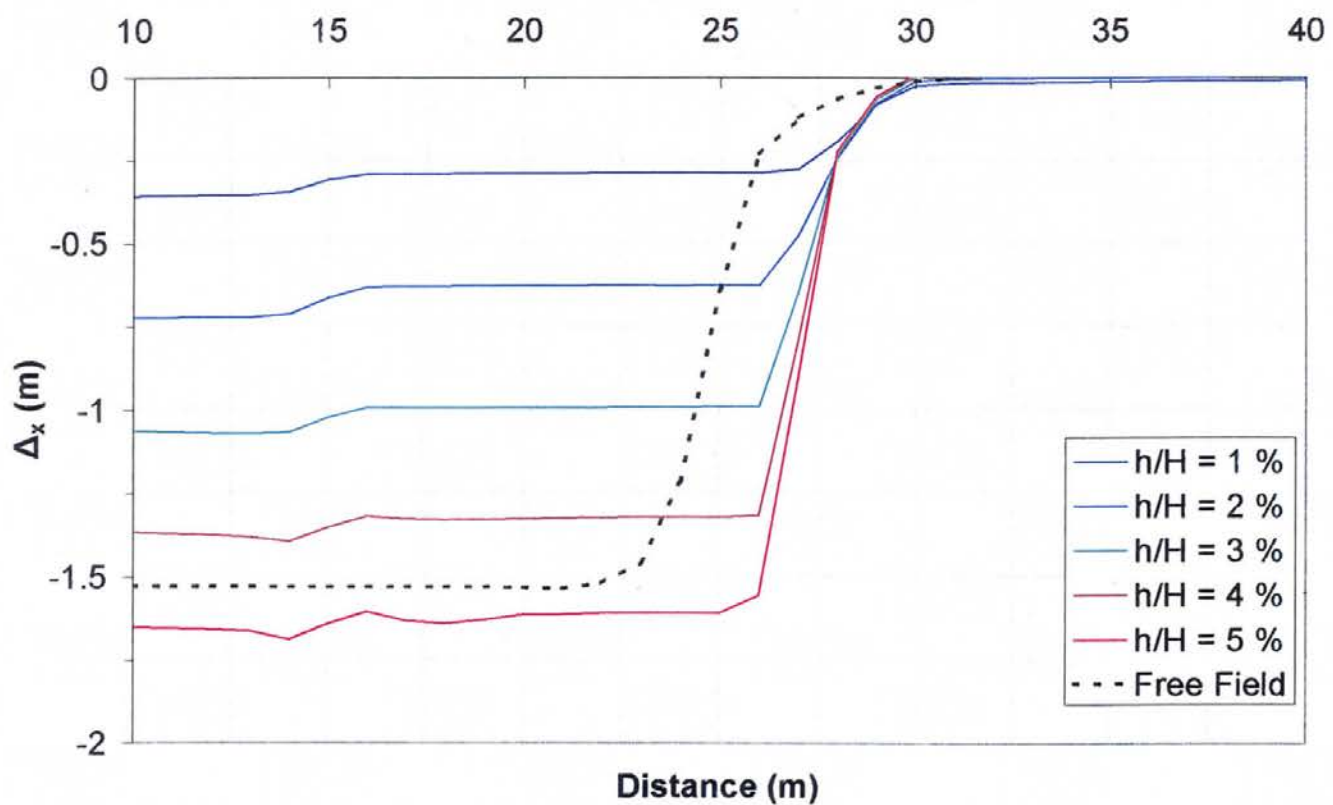




**Σχήμα 3.86** Τετραώροφο κτίριο με μεμονωμένα θεμέλια πλάτους 2.0 m, σε απόσταση 10 m από την επιφανειακή εκδήλωση του ρήγματος : Ισοϋψείς πλαστικών παραμορφώσεων

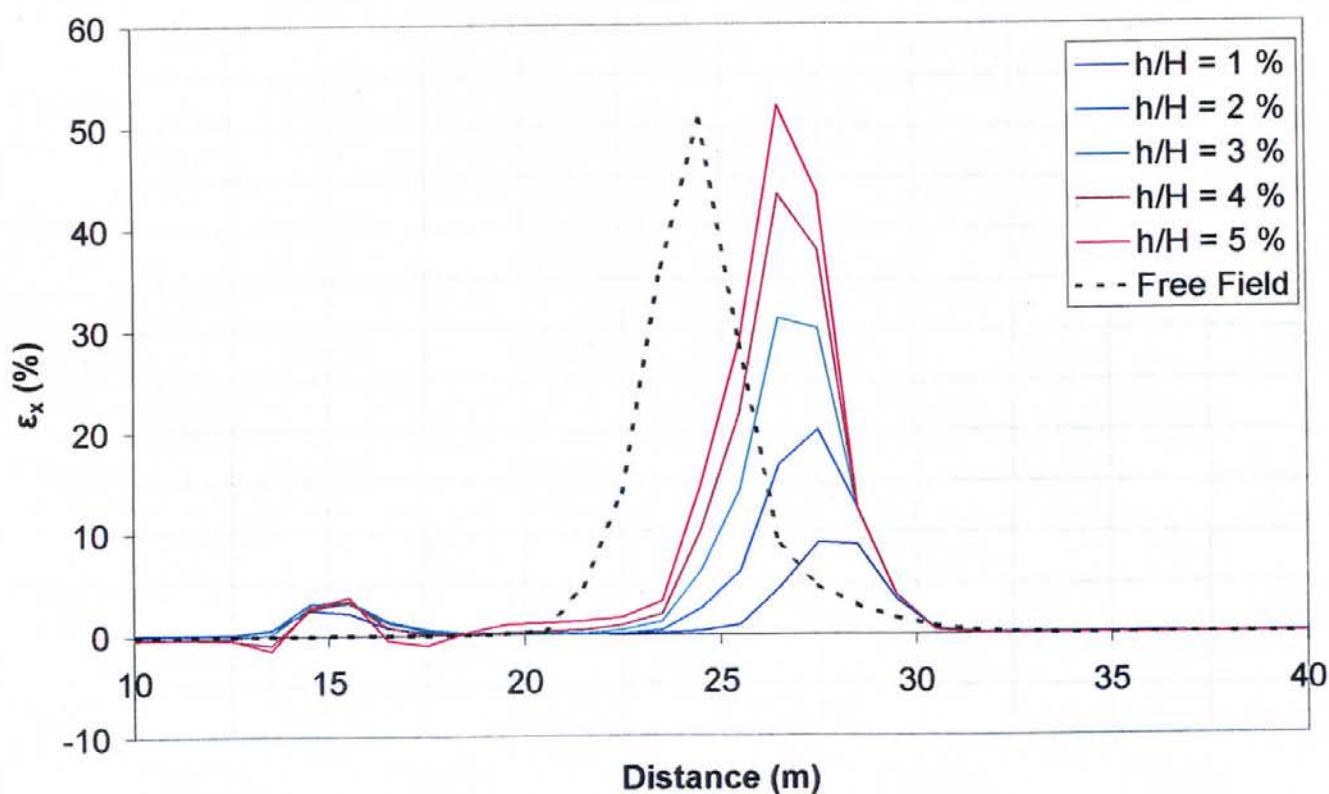
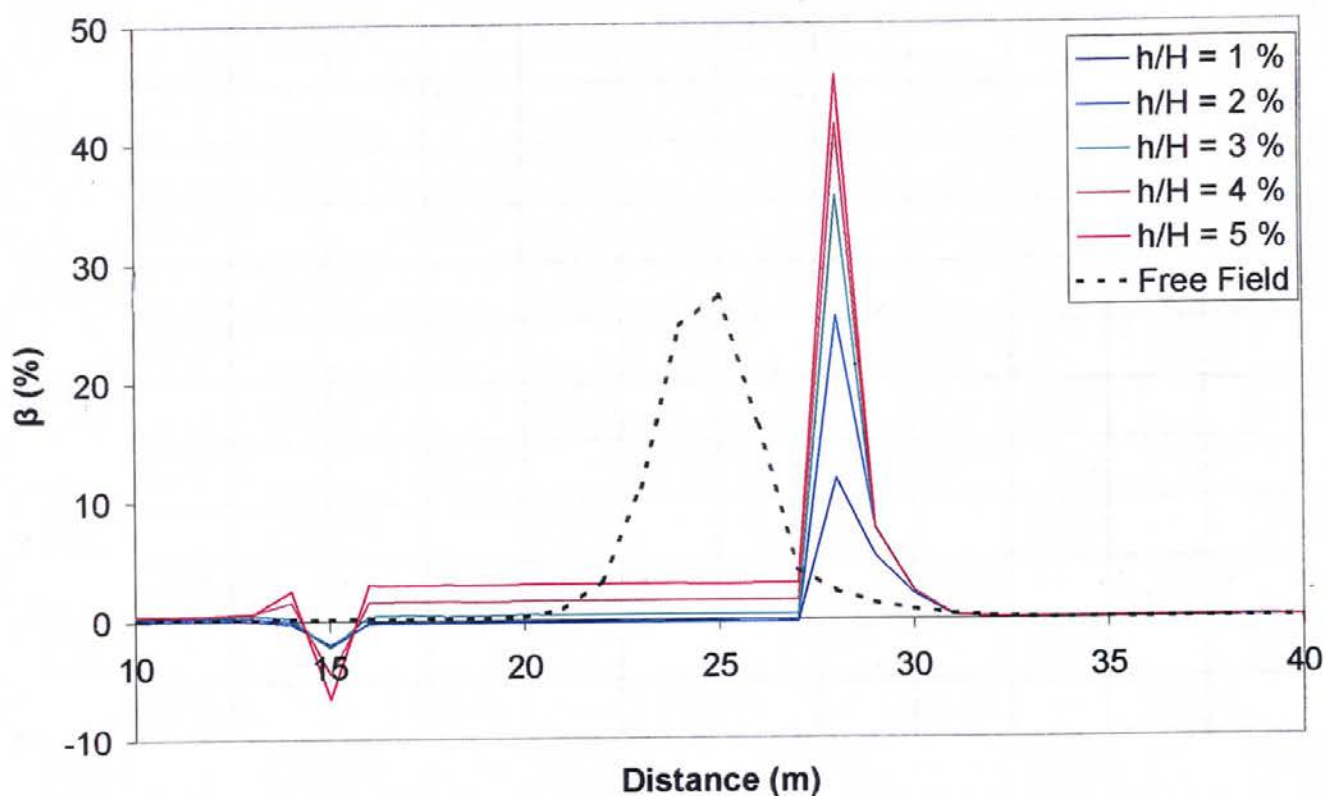


**Σχήμα 3.87** Τετραώροφο κτίριο με μεμονωμένα θεμέλια πλάτους 2.0 m, σε απόσταση 10 m από την επιφανειακή εκδήλωση του ρήγματος : Αναπτυσσόμενες αξονικές δυνάμεις και καμπτικές ροπές στην ανωδομή

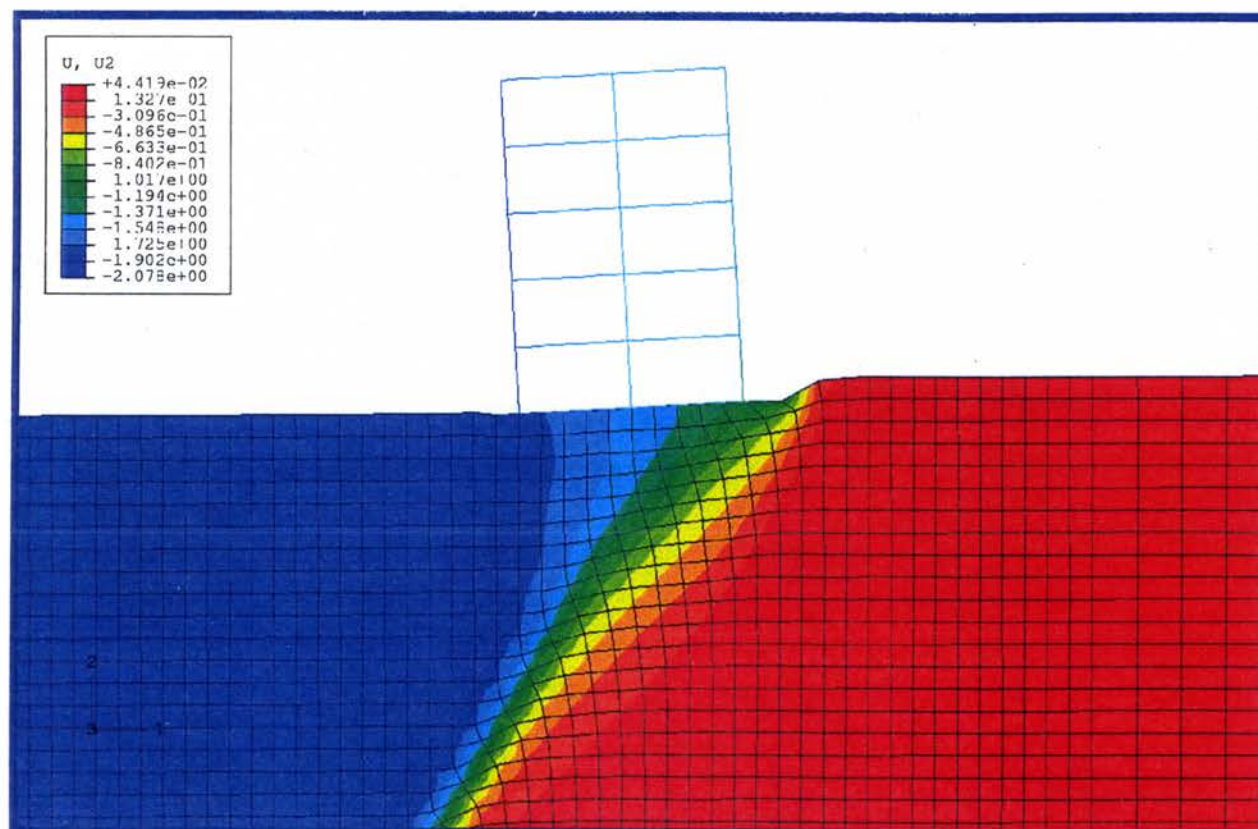
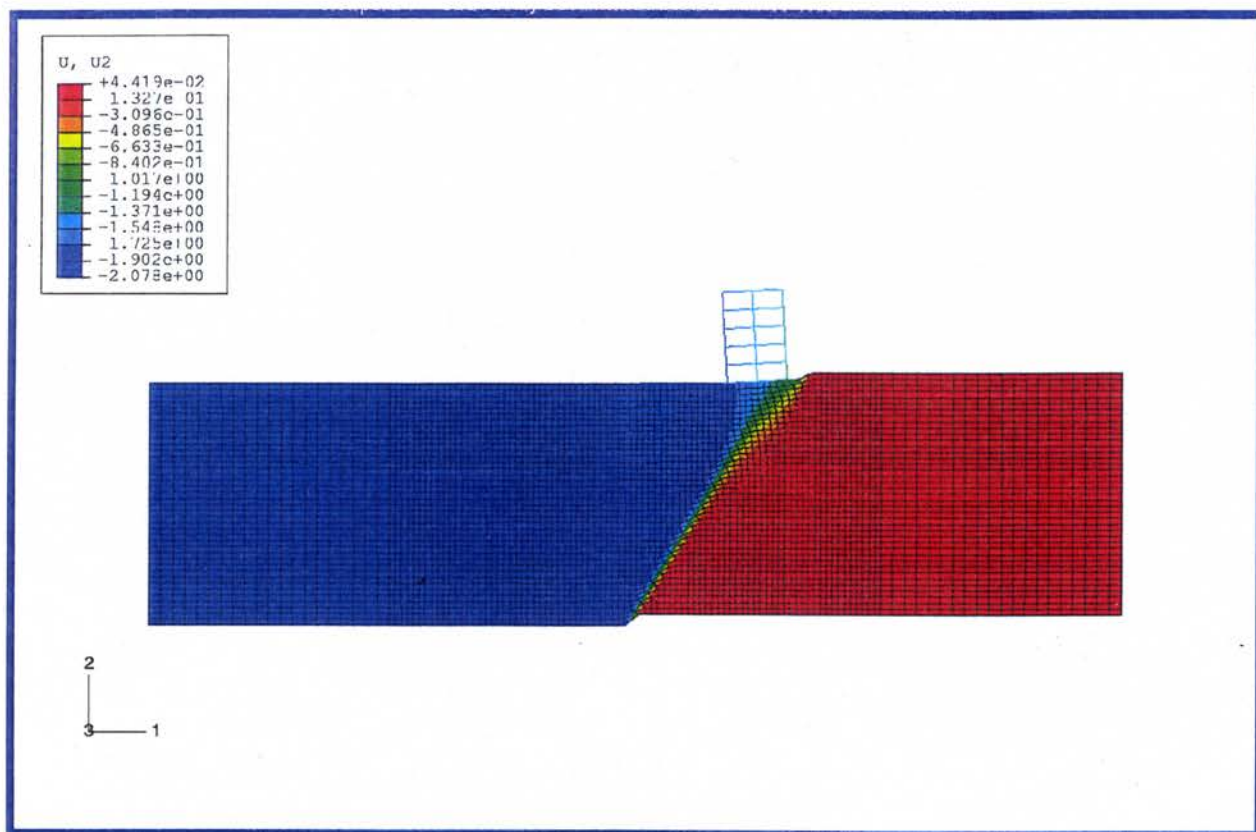


**Σχήμα 3.88** Πενταόροφο κτίριο με γενική κοιτόστρωση  $t = 1.0$  m, σε απόσταση 10 m από την επιφανειακή εκδήλωση του ρήγματος : Οριζόντιες και κατακόρυφες μετακινήσεις



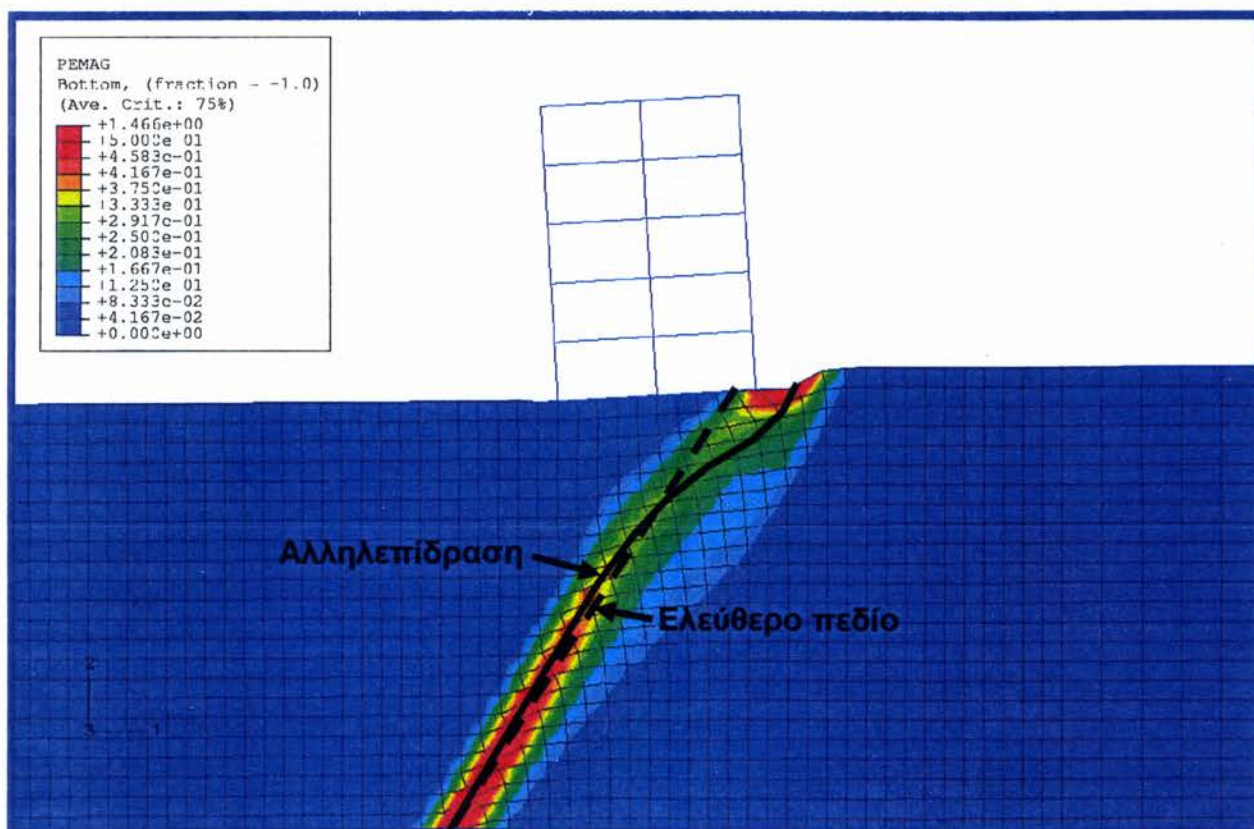
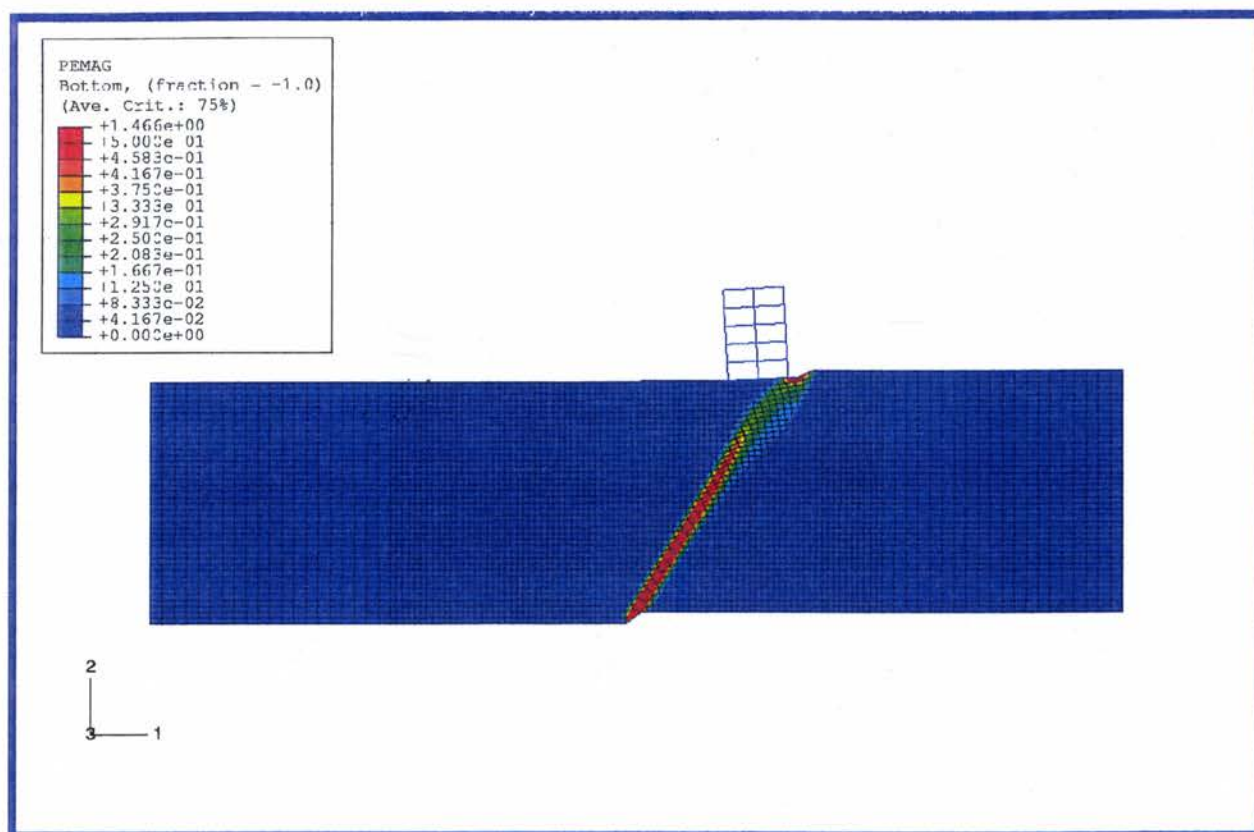


**Σχήμα 3.89** Πενταόροφο κτίριο με γενική κοιτόστρωση  $t = 1.0$  m, σε απόσταση 10 m από την επιφανειακή εκδήλωση του ρήγματος : Κλίση  $\beta$  και οριζόντιες παραμορφώσεις  $\epsilon$  της επιφάνειας του εδάφους



**Σχήμα 3.90** Πενταόροφο κτίριο με γενική κοιτόστρωση  $t = 1.0$  m, σε απόσταση 10 m από την επιφανειακή εκδήλωση του ρήγματος : Ισοϋψείς κατακορύφων μετακινήσεων





**Σχήμα 3.91** Πενταόροφο κτίριο με γενική κοιτόστρωση  $t = 1.0 \text{ m}$ , σε απόσταση  $10 \text{ m}$  από την επιφανειακή εκδήλωση του ρήγματος : Ισοϋψείς πλαστικών παραμορφώσεων